

VYSOKÁ ŠKOLA STROJNÍ A TEXTILNÍ V LIBERCI  
nositelka řádu práce  
Fakulta strojní

IDENTIFIKACE DYNAMICKÝCH VLASTNOSTÍ JEDNOVLNOVÝCH  
VLNOVCOVÝCH PNEUMATICKÝCH PRUŽIN

Kandidátská disertační práce

Vědní obor: 23-03-9 stavba výrobních strojů  
a zařízení

Aspirant: Ing. Jiří Danča

Odborné vedení: Prof. Ing. Oldřich Krejčíř, CSc.

Liberec, únor 1987

<b>ÚVOD</b>	<b>6</b>
Přehled o současném stavu problematiky	
& odborné literatury	9
Cíl disertace a zvolené metody zpracování	14
1.0. PNEUMATICKÉ PRUŽINY	17
1.1. Geometrické charakteristiky	22
1.2. Tlakové charakteristiky	32
1.3. Zatěžovací charakteristiky	38
1.4. Frekvenční charakteristiky	44
1.5. Tuhost pneumatické pružiny	51
2.0. METODY IDENTIFIKACE DYNAMICKÝCH VLASTNOSTÍ JEDNOVLNOVÝCH VLNOVCOVÝCH PNEUMATICKÝCH PRUŽIN	53
2.1. Základní vztahy statistické dynamiky	56
2.2. Stacionární a ergodický náhodný proces	58
2.2.1. Stacionární náhodný proces	58
2.2.2. Ergodický náhodný proces	60
2.3. Náhodný proces, vlastnosti a popis	60
2.3.1. Momenty prvního řádu	62
2.3.2. Korelační funkce	63
2.3.3. Výkonová spektrální hustota	68

3.0.	PROSTŘEDKY A METODY EXPERIMENTU	68
3.1.	Experimentální zařízení	73
3.2.	Návrh experimentu	77
3.2.1.	Definice úlohy a výběr podmínek experimentu	77
3.3.	Vlastní experiment	78
4.0.	ZPRACOVÁNÍ VÝSLEDKŮ MĚŘENÍ <sup>o</sup>	79
4.1.	Výpočet veličin potřebných pro analýzu vibroizolačních schop- ností PP	79
4.2.	Spektrální výkonová hustota a její nahrazení racionálně lomenou funkcí	86
4.3.	Zpracování experimentálních dat číslicovým počítačem	102
4.3.1.	Vzorkování a chyby způsobené vzorkováním	102
4.3.2.	Programové zabezpečení pro zpra- cování výsledků experimentu	104
5.0.	ANALÝZA ZÍSKANÝCH VÝSLEDKŮ <sup>o</sup>	108
ZÁVĚR		111
a)	Výsledky disertace s uváděním nových poznatků	111
b)	Konkrétní závěry pro realizaci ve společenské praxi a rozvoj vědy	113
LITERATURA		116
Přílohy		

## Přehled základních označení

A	- vztažná hladina zrychlení
$A_i$	- koeficient regresního polynomu
B, Br	- šířka frekvenčního pásma
$C_m$	- jednotková tuhost
C	- konstanta
$C_{xy}(f)$	- koincidenční spektrální hustota
$F(z)$	- síla
$F_p(f_k)$	- efektivní hodnota vstupního zrychlení
$F_v(f_k)$	- efektivní hodnota zrychlení odezvy
$G_{vij}(f_k)$	- spektrální výkonová hustota vstupního procesu
$G_{pij}(f_k)$	- spektrální výkonová hustota výstupního procesu
$G_{xx}$	- spektrální výkonová hustota vstupního procesu
$G_{yy}$	- spektrální výkonová hustota výstupního procesu
$G_{xy}, G_{yx}$	- vzájemná spektrální hustota
$H^*$	- operátor
H	- statická výška
$J_0$	- Besselova funkce
$K_{xy}$	- vzájemná kovarianční funkce
N	- počet vzorků
$Q_{xy}(f)$	- kvadraturní spektrální hustota
Q	- prostor
$R_{xy}, R_{yx}$	- vzájemná korelační funkce
$R_{xx}, R_{yy}$	- korelační funkce vstupního a výstupního procesu
$S_{xx}$	- oboustranná výkonová spektrální hustota vstupního procesu
$S_{yy}$	- oboustranná výkonová spektrální hustota výstupního procesu
$S(z)$	- efektivní plocha
$S_{xy}, S_{yx}$	- vzájemná oboustranná výkonová spektrální hustota
$T_v$	- vzorkovací perioda
T	- čas
U	- ukazatel efektivní plochy, prostor
V	- objem pružiny
$X_T(f)$	- frekvenční spektrum vstupu
$Y_T(f)$	- frekvenční spektrum odezvy

$w_p(j\omega)$	- přenosová funkce
$a_p, a_v$	- výstupní zrychlení, vstupní zrychlení
$a_i, b_i$	- koeficienty regresních polynomů
$f$	- frekvence
$f_i, f_v$	- tvořiví frekvence, vzerkovací frekvence
$i, n$	- vzorek
$j$	- imaginární jednotka
$m$	- hmotnost
$p_p$	- přetlak
$q, u$	- prvky prostoru
$t$	- čas
$w_i$	- váhevá funkce
$w_k$	- moment k-tého řádu
$w_1-w_n$	- funkce rozdělení
$x(t), y(t)$	- časový průběh procesu
$z$	- deformace pružiny
$d, d_i$	- koeficient, koeficienty Gramovových polynomů
$M_x, M_y$	- střední hodnoty procesu
$\chi$	- parametr
$\psi_{xy}$	- fáze
$\lambda_{VP}$	- poměrový součinitel
$\rho$	- normovaná autokorelační funkce
$G_{yy}, G_{xx}$	- disperze odezvy, buzení
$\tau$	- čas, časové posunutí
$\omega$	- frekvence úhlová
$\Psi(w)$	- spektrální hustota

### indexy

$a, abs$	- absolutní
$c$	- celkový
$d$	- doplnkový
$i$	- číslo měření
$j$	- číslo pružiny
$k$	- řád
$m$	- střední

## ÚVOD

"Všeobecná intenzifikace naší ekonomiky je podmíněna podstatným urychlením vědeckotechnického pokroku s důsledným zaváděním jeho výsledků do praxe. Ve vědě a technice probíhá skutečné revoluce s dalekosáhlými vlivy na všechny stránky výroby, na společenské vztahy a celý systém řízení na podmínky života a práce každého člověka. Mluvime-li o revoluci, pak ovšem také musíme k vědě a technice, k jejich zavádění do praxe přistupovat odpovídajícím náročným způsobem. Příkazem aby je radikálně zvýšit schopnost rozvíjet vědu a techniku, realizovat jejich výsledky rychle a v nejvíce míře uplatňovat technologické inovace přinášející výrazný společenský efekt, vysokou technickou úroveň a kvalitu výroby".

(politická zpráva ÚV KSČ XVII. sjezdu Komunistické strany Československa)

Současný přístup k řešení technických problémů nebyvá nové kvalitě tou skutečnosti, že celá řada problémů a jevů dříve řešené empirickými metodami je posuzována a zkoumána za použití moderních vědeckých metod se snahou teoreticky podložit jejich zákonitosti a stanovit podmínky jejich existence. Vytváří se tak i prostor pro jejich využití v technické praxi ku prospěchu kvality vyráběných výrobků, výrobních postupů, pracovního prostředí a tím i člověka a společnosti. Jednou z takovýchto oblastí je i otázka mechanických kmitů a jejich přenosu, kterou se zabývá tato práce. Výroba totiž požaduje stále výkonnější stroje a s růstem výkonu je úzce spojen růst rychlosti pohybu jejich agregátů a mechanismů.

V každém strojním zařízení vznikají mechanické kmity jako produkt jeho funkce. V některých případech je kmitání potřebným jevem pro průběh technologického procesu či správný chod zařízení. Většinou se však jedná o nežádoucí projev funkce celého stroje nebo jeho části. Je proto nezbytně nutné hledat zdroj a příčinu těchto nežádoucích projevů a následně pak tuto příčinu odstranit. Velmi často první příčinu odstranit nelze a je třeba nalézt technický prostředek, který alespoň nežádoucí kmitání eliminuje na přijatelnou míru.

S rozvojem techniky vystupuje před konstruktéry a projektanty stejně důležitý problém, ochrana obsluhy zařízení před nepříznivými účinky rázů, tlaku a vibrací. Ochrana zdraví člověka je v socialistické společnosti povinností státu, a proto především záležitostí všech pracovníků zabývajících se konstruováním nových zařízení či projektováním závodů. Na činnosti těchto pracovníků závisí nejen výkonnost zařízení a jeho provozní spolehlivost, ale i kvalita pracovního prostředí [1]. Úkolem průmyslu je vyrábět a dodávat taková strojní zařízení a výrobní celky, která neznehodnocují pracovní a chráni životní prostředí nás všech [2].

Je tedy nutné pro splnění úkolu ochrany pracovního prostředí obsluh různých zařízení i ochrany technických prostředků před nepříznivým působením mechanických kmítů obsluhující personál i zařízení chránit.

V podstatě existují dva základní přístupy k řešení ochrany před účinky vibrací. Prvním je připojení zvláštěního mechanického systému, jehož parametry jsou vybrány tak, aby bylo zmenšeno kmitání základního systému. Tento způsob se nazývá [3, 4, 5, 6] dynamickým tluměním a mechanickým systém

Dynamickým tlumičem.

Druhá metoda je založena na rozdělení kmitajícího systému na dvě části doplněné mechanickým systémem obsahujícím soustavu pružin a tlumičů. Tato metoda se nazývá vibreizolace a mechanický systém, který obě části spojuje v celek, se jmeneuje vibroizolátor [4,5,6,7].

Většina autorů se shoduje na terminologii a chráněnou část nazývá (např. [3,4,5]) chráněným, tlumeným nebo izolovaným objektem a druhou část (i s vibroizolátorem) pak základem, podpěrným objektem [4,5] nebo pružným uložením [8,9,10].

Jestliže dynamické vlivy působí na základ, je cílem vibreizolace ochrana izolovaného objektu. V případě, že zdroj dynamických vlivů je na izolovaném objektu, je cílem vibreizolace minimalizovat působení na základ. V klasickém rozdělení se prvý případ nazývá pasivní a druhý aktivní vibreizolaci. Zařízení, které izolaci realizuje, je aktivní nebo pasivní vibroizolátor.

V současné době se oba terminy používají rovněž, avšak s novým významem. Pasivní vibreizolátor má přesně definované parametry a jeho charakteristiky nelze během provozu (bez zámeny některé části) prakticky ovlivnit.

Aktivní vibroizolátor sleduje pomocí snímačů chování izolovaného objektu, porovnává veličiny a provádí aktivní zásah do svých charakteristik a tím ovlivňuje chování izolovaného objektu podle požadavků [4,7,11,12].

V současné praxi se nejvíce používají vibreizolátory, které korigují pouze některou veličinu, resp. reagují na její překročení, např. nastavenou statickou výšku [8,9,10,13, 72], nebo vodorovnou polohu [12,14] a pro ně by byl vhodný název semiaktivní vibreizolátory.

## Přehled o současném stavu problematiky a odborné literatuře

Klasické případy řešení pružného ukládání využívají jako pružicích elementů pružin ocelových nebo pryžových [3,5]. Tento způsob je nevýhodný zejména proto, že pro úspěšné vyřešení je třeba znát poměrně přesně polohu těžiště ukládaného zařízení a podle návrhu prostorového uspořádání se musí určit velikost zatížení připadajícího na jednotlivé prvky zařízení. Dále proto, že prakticky nenabízí možnost reguleování nosnosti, tedy jej nelze použít k izolaci zařízení s proměnnou hmotností, nebo zařízení, u kterého se některý element, s relativně vysokou hmotností, pohybuje. Nevýhodou je rovněž to, že neumožňuje reguleování vlastních frekvencí, tj. změnu rezonančních oblastí.

V automobilem průmyslu se již řadu let úspěšně používá pro pérovaní vozidel [15,16,17,18,20,21] pneumatických pružin. Tyto pružiny jsou výhodným konstrukčním prvkem a nacházejí uplatnění i v jiných oblastech techniky, např. pérovaní sedaček řidiče (např. [13,19,22,33,34]), pro pružné ukládání stabilních [10,23,24,25,26,27,28] a mobilních hmot [8,18,29,31,14].

Katedra částí strojů a mechanismů (KST) VŠST v Liberci vyvinula v rámci řešení vědeckovýzkumných úkolů v uplynulém období řadu pneumatických pružin různých typů a únosnosti, tyto pružiny národní podnik Rubena Náchod podle dodaných podkladů vyrábila. Vzhledem k tomu, že výroba pneumatických pružin je technologicky i materiálově náročná a ČSSR jak vývoj tak výrobu pneumatických pružin úspěšně zvládla, zařadili jsme se tím mezi několik málo světových výrobců.

Počátek výzkumných a vývojových prací spadá na KST do počátku 70. let, kdy se s vývojem pneumatických pružin a jejím aplikacním využitím začínalo při ukládání speciální techniky na vozidlech [8,14,29,35].

Po získání prvních zkušeností se záhy objevují další možnosti využití [36,37,38,39,40] vlastností pneumatických pružin při pružném ukládání techniky. Především se jedná o problematiku vibroizolace speciálních měřicích a zkušebních zařízení velmi citlivých na vibrace.

Množství literatury ukazuje, že problematika pružného ukládání (vibreizolace) je v řadě států velmi sledována (dále např. [45,46,47,48,49,50]). Při studiu literatury bylo zjištěno, že dosud je zkoumáno především chevání celého pružně uloženého objektu, resp. je zkoumán přenos vibrací a jejich odezva na objektu jako celku [4,5,18,19,24-28, 39,41, 32,43]. V podstatě lze odberou literaturu, která se problematiky vibreizolace s využitím pneumatických pružin týká, rozdělit na tyto úseky

- literatura týkající se přímo pneumatických pružin;
- literaturu nutnou pro vytvoření matematického aparátu a identifikaci vlastností dynamických soustav;
- literaturu zabývající se přenosem vibrací vibreizolátorem; resp. hledáním optimálních parametrů vibreizolátoru podle charakteru působících vibrací.

K problematice pneumatických pružin existuje rozsáhlá literatura, ale přesto je možno říci, že prakticky všechni z autorů vycházejí z klasických prací Bidermannu [44] a Ljapina [105], ve kterých jsou uvedeny základní hypotézy pro návrh a výpočet pryžokordových prvků. Další práce pak rozšbirají

některé z problémů, se kterými je návrh či využití pneumatických pružin svázáno. Autoři se shodují na tom, že pro charakterizování vlastnosti je nutno určit především závislost změny objemu pružiny na její deformaci a též změny tzv. efektivní plochy při deformacích.

Práce [51,52,53] uvádějí základní vztahy pro výpočet únosnosti, návrh rozměru pneumatických pružin a grafickou metodu řešení průběhu změny poloměru efektivní plochy v závislosti na deformaci.

Práce [54,55] navrhoji, při zanedbání energie nutné k deformaci stěny pneumatické pružiny a při zanedbání problému životnosti, závislost mezi objemem a deformací a odvozuji též výraz pro osovou tuhost pružiny.

V [56,57] vycházejí autoři podobně jako v [44] z bezmomentové teorie, která je podrobně rozpracována v [65] při namáhání stěny rotačně symetrické pryžokordové anizotropní skeřepiny a uvádějí obecné poznatky pro namáhání kordové vrstvy resp. pro určení její velikosti.

V článku [59] je uveden vztah pro výpočet osové tuhosti pneumatické pružiny, která je v superpozici dvou částí. Na základě rozboru je ukázáno, že v určitých případech lze tuto tuhost ovlivňovat i na konkrétním provedení pneumatické pružiny. Autor zavádí pojem statické a dynamické tuhosti pružiny a dokazuje, že vztah mezi nimi závisí na konstrukčních parametrech pneumatické pružiny a na exponentu polytropy.

Článek [60] se zabývá problematikou hermetičnosti autoně plněných pneumatických pružin, především membránových, a dělí hermetičnost na statickou a dynamickou. Uvádí rovněž příčné charakteristiky, které mají tvar hystereszních smyček.

V [61] autor vychází z [55] a navrhuje zatěžovací charakteristiky, které nahrazuje hledkou, ev. po částečných hledkou funkcí. Dokazuje, že zatěžovací charakteristika závisí především na počátečních podmínkách, jež vycházejí z podmínek zadáního prostoru (prostorových možnosti pro umístění pneumatické pružiny). Ukazuje, že charakteristika může mít nestabilní oblast. Objevení nestabilní oblasti způsobené vlivem převodového mechanismu ve funkci pneumatické pružiny je dokázáno ve výzkumné zprávě KST VŠST [34].

V článku [62] je uveden vliv teploty a difuze plynu uzavřeného v pneumatické pružině, je zaveden pojem tzv. difuzní a teplotní deformace (průhybu) u pneumatické pružiny, pro poloměr efektivní plochy je uvedena nelineární funkční závislost. Při změnách teplot se mění stavové veličiny a pro konstantní zatížení se mění i nosnost a její funkční vyjádření vede na transcendentní rovnici, která je uvedena.

V článku [63] autor vychází z prací [55, 59] a provádí výpočet kombinovaných pneumatických pružin, které rozděluje do pěti základních tříd. Pro jednotlivé třídy jsou zde uvedeny vztahy pro výpočet zatěžovacích charakteristik a tuhosti.

V [64] vychází autor ze své práce [61] a dokazuje, že lze zabezpečit nelinearitu charakteristiky pneumatické pružiny tak, aby měla nízkou tuhost v oblasti pracovního bodu (statické výše) a zvýšenou tuhost při plné deformaci (stlačení). Určuje a definuje též hraniční oblasti se zajištěnou funkcí pneumatické pružiny při zadaných a požadovaných parametrech.

Ve výzkumných zprávách [66 až 69] jsou uvedeny výpočty příslušných charakteristik pneumatických pružin vyvinutých na KST VŠST v Liberci v uplynulém období. Nově jsou uvedeny

výpočty příčných charakteristik ve zprávách [67,68]. V těchto výpočtech není uvažován vliv změny efektivní plochy v závislosti na přetlaku. Vliv tlaku je pro jednovlnové vlnovcové pneumatické pružiny uveden v [69]. Ve výzkumné zprávě [67] jsou charakteristiky všech dosud v ČSSR vyrobených pneumatických pružin a též charakteristiky několika pružin zahraničních výrobců.

V článku [70] definuje autor pneumatickou toroidální pružinu a aplikuje pro její výpočet metody vyvinuté pro výpočet pneumatik; pomocí osově symetrických deformací a linearizace definuje koeficienty tuhosti. Vliv konstrukce pružin se projevuje pouze prostřednictvím koeficientu tuhosti.

Pro analytické určování dynamických vlastností pneumatických pružin je nutná znalost základních charakteristik pryžokordového pláště, který je anizotropním materiélem. Monografie [71] zobecňuje zákonitosti mechanického chování kaučuků, pryžových směsí a technických pryží i pryžokordových materiálů (pryžové vrstvy jsou armovány několika navzájem kříženými vrstvami kordů) a podává inženýrsky použitelné výpočty napětí a deformaci nelineárních vazkopružných materiálů. Uvádí dosud nejrozšířejší literaturu. Pro experimentální určování komplexních modulů pružnosti ve smyku je možno využít z práce [72].

Z platnosti 1. věty termodynamiky pro izotermický děj vycházejí výpočty [44, 73] pro určování tuhosti pryžokordových prvků s vnitřním přetlakem.

Pro identifikaci vlastnosti pneumatických pružin je třeba vytvořit jistý matematický operát. Teorie přenosu signálů soustavou je prepracována především v radiotechnice a v teo-

rii regulace.

V [90, 95, 97, 98, 100] je prováděna analýza transformace náhodného vstupního procesu na proces výstupní. V [91] jsou uvedeny základní teorémy umožňující převádět korelační funkce ve spektrální výkonové hustoty a naopak. Práce [92, 93] uvádějí metody, které umožňují na základě experimentálně zjištěných údajů analyzovat náhodné procesy.

Metodami identifikace dynamických vlastností procesů a dějů se zabývají práce [86, 89, 93, 101]. Použitím deterministických vstupů k identifikaci se zabývá [103] a použitím pseudonáhodných vstupů práce [104].

#### Cíl disertace a zvolené metody zpracování

Studiem rozsáhlé literatury zabývající se problematikou projektování, výroby a chování při statickém i dynamickém namáhání, pneumatických pružin bylo zjištěno, že kromě práce [59] se žádná práce nezabývá zkoumáním dynamického chování pružin při působení vibrací.

Předkládaná práce, která vznikla při řešení dílčí etapy úkolu III-3-3/07-1 "Pružné ukládání hmot s použitím pneumatických pružin" úkolů státního plánu základního výzkumu, se zabývá přenosem vibrací přes nejjednodušší vibreizolátor, kterým je samotná pneumatická pružina.

V první části práce jsou shrnutы dosavadní poznatky o pneumatických pružinách pro konkrétní sadu jednovlnových vlnovcových pneumatických pružin, jsou uvedeny ve vzorcích a grafech, používané údaje o geometrických, zatěžovacích a frekvenčních charakteristikách. Tato část je faktickým shrnutím poznatků, které má v současné době k dispozici

konstruktér, projektující vibreizolátor na základě pneumatických pružin.

Vlastní práce si klade za cíl:

- navrhnout jednoduché použitelné experimentální zařízení pro reprodukovatelný experiment,
- vypracovat metodiku zpracování výsledků experimentálního
- vytvořit matematický model jednovlnové vlnovcové pneumatické pružiny.

Metody zpracování byly zvoleny tak, aby byl splněn vytýčený cíl disertace a výsledky výzkumu mohly být použity v dalších výzkumných procesech a při realizaci výrobku.

Jednou z podmínek je možnost reprodukovatelnosti experimentu. Experiment je zcela reprodukovatelný při deterministickém průběhu vibrací nebo podléhá-li vibrace zákonitostem stacionárního náhodného procesu, který je navíc ergodický, ev. tehdy, je-li proces pseudonáhodný.

Analýza experimentálních údajů bude prováděna na číselcovém počítači, a proto ji musí předcházet několik operací. Těmito operacemi je snímání veličin zkoumaného procesu, v našem případě zrychlení obou signálů. Tímto způsobem byly vytvořeny podmínky pro další zpracování experimentálně získaných dat.

Součástí analýzy zkoumaného procesu je posuzení jeho charakteru především zjišťování periodicity. To vše je možné pouze po vytvoření potřebného matematického aparátu.

Pro zpracování výsledků je vytvořeno programové zabezpečení a vytvořený algoritmus je univerzálně použitelný.

Získané výsledky pak dovolují pečlivě transferační závislost mezi vstupním a výstupním zrychlením tzv. přenosovou funkcí. Znalost této funkce umožňuje vytvářet závěry pro pravděpodobné chování srovnatelných systémů vibreizelace.

Pro porovnání výsledků s nezávislou kontrolou kvality nahradby přenosové funkce je proveden výpočet disperzí výstupního procesu.

Vypočítové práce jsou prováděny na počítači ICL 4-72 s grafickým výstupem v oblastním výpočetním centru MŠ ČSR a ve Výpočetním středisku VŠST v Liberci na počítači EC 1033 v jazyce FORTRAN.

## 1.0 PNEUMATICKÉ PRUŽINY

Základním stavebnicovým prvkem vibreizolátoru je pneumatická pružina. V současné době se vyrábí a používá několik základních typů těchto pružin, odlišujících se tvarem pryžového pláště. Jedná se především o pneumatické pružiny vlnovcové (dále se rozdělují podle počtu vln na jedno až třívlnové, výjimečně bývají i čtyřvlnové), vakové (pryžový vak může být válcového tvaru, ev. na koncích seškrben), membránové, kombinované a terciální [70].

Zcela obecně lze říci, že všechny typy pneumatických pružin jsou tvořeny pryžovým pláštěm armovaným několika vrstvami kordových nití, které jsou pod určitým úhlem kříženy [44,15,67]. Pláště je svými konci uchycen ve tvarované armaturě. Pružicím médiem je jednak pláště pneumatické pružiny, ale především uvnitř uzavřený vzduch.

Všechny uvedené typy pneumatických pružin jsou použitelné pro vibreizolátory.

Následující část se bude zabývat pouze pružinami vlnovcovými, přesněji jednovlnovými vlnovcovými pružinami (JVPP).

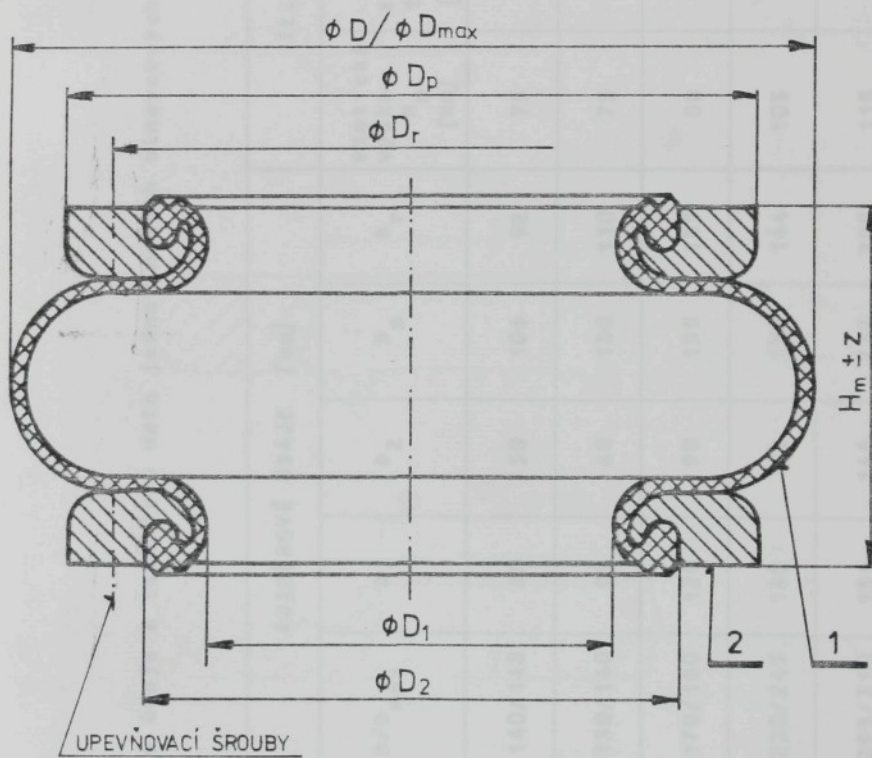
Pro zkoumání dynamických vlastností JVPP byla vybrána sada pěti kusů pružin lišících se velikostí i tvarem upínacích přirub. Zkoumané pružiny jsou označeny VJ 75-3,75, VJ 75-04, VJ 80-07, VJ 105-10 a VJ 115-20. Zde první dvojčíslo označuje přibližně statickou výšku pružiny a druhé únosnost pružiny v kN.

Na obr. 1.1 je znázorněn řez jednovlnovou vlnovcovou pružinou tvořenou rotčně souměrným, dvěma vrstvami kordových nití armovaným pryžovým pláštěm 1, který je na obou koncích zakončen patkami, na nichž jsou vytvořeny těsnící břity.

Na patkách jsou nasazeny připejovací přírubы 2.

Vlastnosti pneumatických pružin se v současné době (např. [15,44,67,53,75]) stanovují podle tzv. geometrických, tlakových, zatěžovacích a frekvenčních charakteristik. Na obr. 1.1 jsou obecně zakresleny charakteristické rozměry pružin a jejich konkrétní hodnoty pro řadu pěti zkoumaných pružin jsou uvedeny v tab. 1. Detailní provedení tvaru přírub jednotlivých pružin je znázorněno na obr. 1.2.

Pro úplnost je třeba stanovit vliv samotného armovaného pryžového pláště. Před měřením zatěžovacích charakteristik byl zkoumán vliv pláště zatěžováním neuzevřené pružiny z výrobní výšky. Experimentálně bylo dokázáno, že sily potřebné k deformaci pružiny se pohybují od 16 do 36 N, tj. kolem 1 % statického zatížení pružiny naplněné a přetlakem 0,1 MPa. Vliv armovaného pryžového pláště na zatěžovací charakteristiky je tedy zanedbatelný.

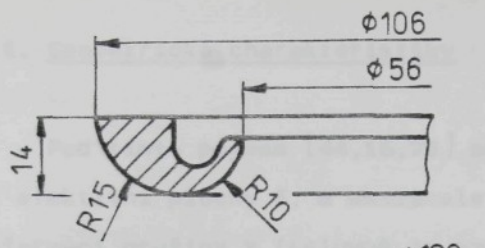


Obr. 1.1. Rezměrové schéma jednovlnové vlnovcové  
pneumatické pružiny

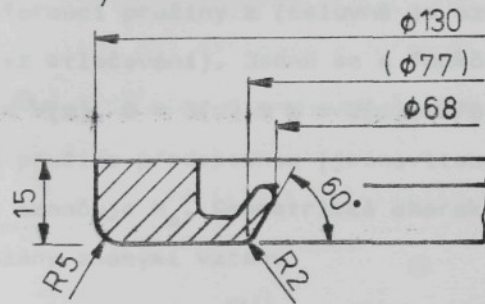
Tab. 1 Rozměrové údaje a technická data jednovlnových vlnovcových pneumatických pružin

JVPP	ROZMĚROVÉ ÚDAJE [mm]				TECHNICKÁ DATA					
	D/D max	D <sub>1</sub>	D <sub>2</sub>	D <sub>P</sub>	D <sub>r</sub>	statická výška H <sub>m</sub> [mm]	zdvíh t z [mm]	efektivní plocha S <sub>m</sub> [cm <sup>2</sup> ]	objem V <sub>m</sub> [cm <sup>3</sup> ]	hmotnost M [kg]
VJ 75-3,75	140/148	80	50	106	92	75	20	68	465	0,6
VJ 75-04	130/140	95	60	130	110	75	30	72,5	640	1,0
VJ 80-07	170/180	120	90	155	135	80	40	120	960	1,20
VJ 105-10	230/245	120	82	170	144	105	45	214	2160	2,45
VJ 115-20	295/310	184	146	232	205	115	60	345	4300	2,45

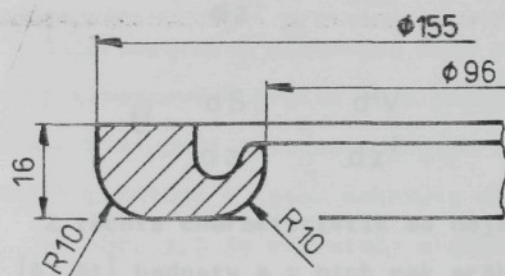
Poznámka: Efektivní plocha S<sub>m</sub> i objem V<sub>m</sub> jsou určeny při smluvním přetlaku p<sub>pn</sub> = 500 kPa



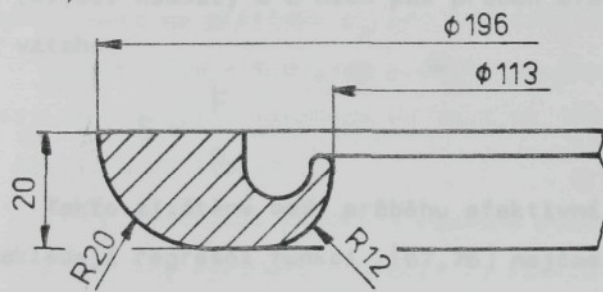
VJ 75 - 3,75



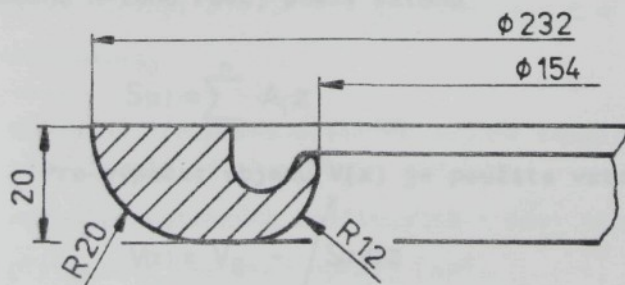
VJ 75 - 04



VJ 80 - 07



VJ 105 - 10



VJ 115 - 20

Obr. 1.2. Tvarové příruba JVPP

### 1.1. Geometrické charakteristiky

Pod tímto pojmem [44,15,75] se rozumí závislost objemu  $V$ , efektivní plochy  $S$ , a ukazatele efektivní plochy  $U$  na deformaci pružiny  $z$  (smluvně je označováno  $-z$  růzstahování a  $+z$  stlačování). Jedná se o funkční závislosti veličin typu  $V = V(z)$ ,  $S = S(z)$  a  $U = U(z)$ . Při deformaci zadané  $z = 0$  má pružina předepsanou (jmenovitou) statickou výšku, která se označuje  $H_0$ . Geometrické charakteristiky jsou vzájemně vázány známými vztahy

$$S = -\frac{dV}{dz} \quad (1.1)$$

$$U = \frac{dS}{dz} = -\frac{d^2V}{dz^2} \quad (1.2)$$

Z těchto charakteristik se nejsnáze experimentálně určují [67,51] hodnoty a z nich pak průběh efektivní plochy  $S(z)$  ze vztahu

$$S = \frac{F}{P_p} \quad (1.3)$$

Takto zjištěné body průběhu efektivní plochy  $S(z)$  se prokládají regresní funkcí [67,76] nejčastěji polynomem (obecně  $n$ -tého řádu) podle vztahu

$$S(z) = \sum_{i=0}^n A_i z^i \quad (1.4)$$

Pro výpočet objemu  $V(z)$  je použito vztahu

$$V(z) = V_0 - \int_{-z}^z S(z) dz \quad (1.5)$$

který lze s použitím (1.4) a následující integraci převést na tvar

$$V(z) = V_0 - \sum_{i=0}^n \frac{A_i}{i+1} z^{i+1} \quad (1.6)$$

Zde hodnota  $V_0$  odpovídá integrační konstantě a je rovna objemu pružiny při definované deformaci (většinou  $z = 0$ , tj. objemu při statické výšce  $H_m$ ) a zjišťuje se podobně jako efektivní plocha experimentálně<sup>1)</sup>.

Funkční závislost ukazatele efektivní plochy je podle (1.2) a (1.4) dána výrazem

$$U(z) = \frac{dS}{dz} = \sum_{i=0}^n i A_i z^{i-1} \quad (1.7)$$

Experimentálně získanými body efektivních ploch jednotlivých vlnovcových pružin byly proloženy regresní polynomy (vesměs 8 stupně) a hodnoty jejich koeficientů  $A_i$  i integračních konstant  $V_0$  jsou zahrnuty do tab. 2.<sup>2)</sup>

Na obr. 1.3 je znázorněn průběh efektivní plochy  $S(z)$  v závislosti na přetlaku  $p_p$  při statické výšce  $H_m$ .

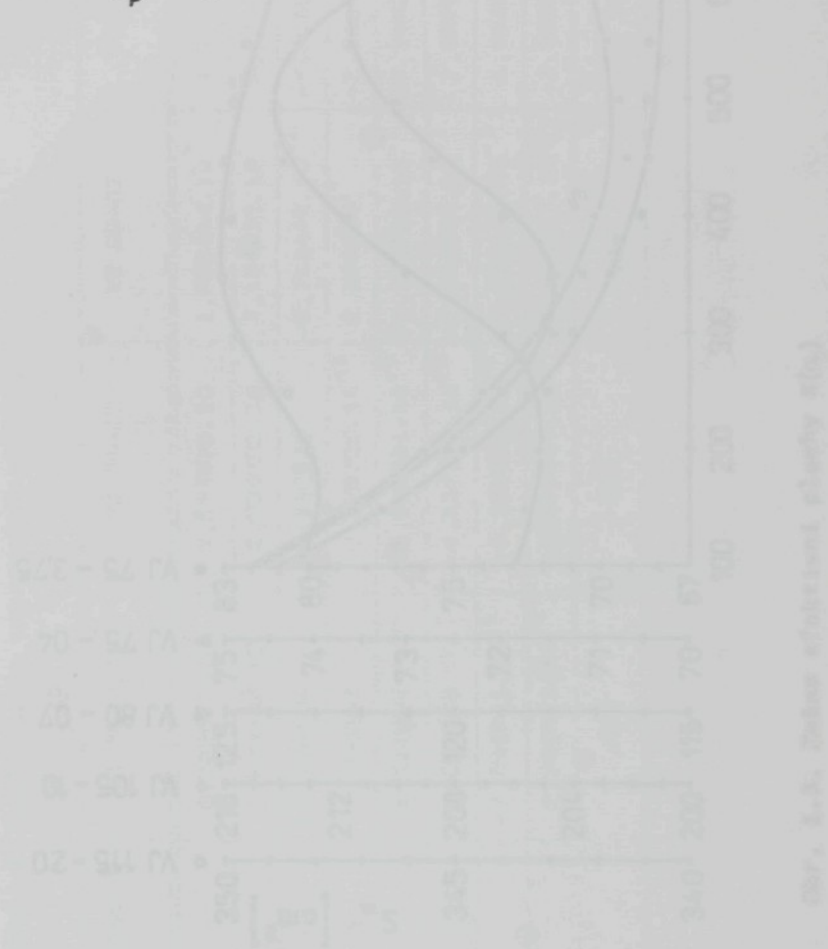
Na obr. 1.4 - 1.8 jsou průběhy geometrických charakteristik pro pružiny označené VJ 75-3,75, VJ 75-04, VJ 80-07, VJ 105-10 a VJ 115-20.

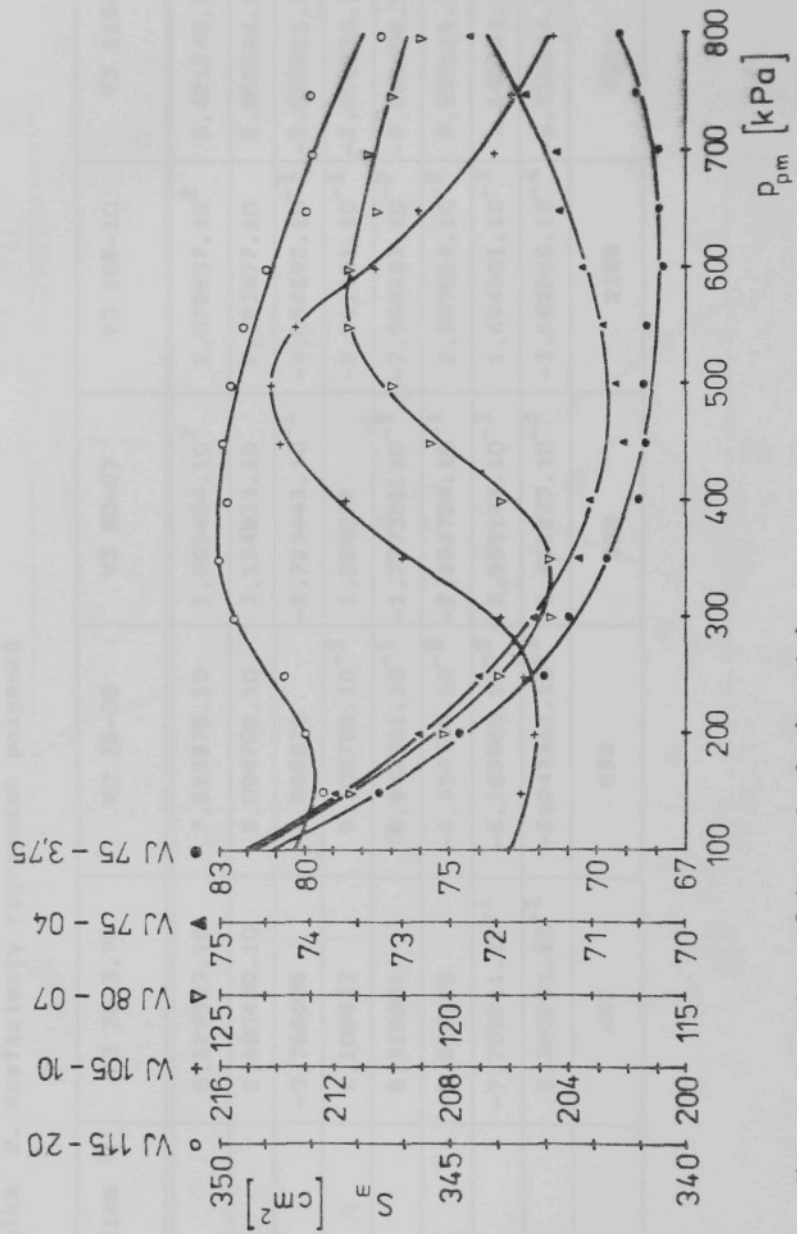
Změna efektivní plochy v rozsahu používaných přetlaků 0,1 - 0,8 MPa dosahuje u pružin VJ 115-20, VJ 105-10, a VJ 80-07 hodnot 0,9 %, 4,3 %, resp. 5,4 % a je prakticky zanedbatelná

-----  
1) Určování efektivní plochy a objemu se provádí při dohodnutém slavném přetlaku  $p_p = 500$  kPa.

2) Hodnoty regresních koeficientů i část charakteristik je převzata z výzkumné zprávy [67].

Situace se mění u pružiny VJ 75-04, kde dosahuje hodnoty 10,6 % v celém rozsahu přetlaku a je proto výhodné využívat této pružiny od přetlaku  $p_p = 0,20$  MPa a nejnepríznivější je situace u pružiny VJ 75-3,75, kde změna efektivní plachy dosahuje největších hodnot, až 22 % a pružina je prakticky použitelná (s minimální změnou efektivní plachy) v rozsahu přetlaků od  $p_p = 0,32$  MPa.

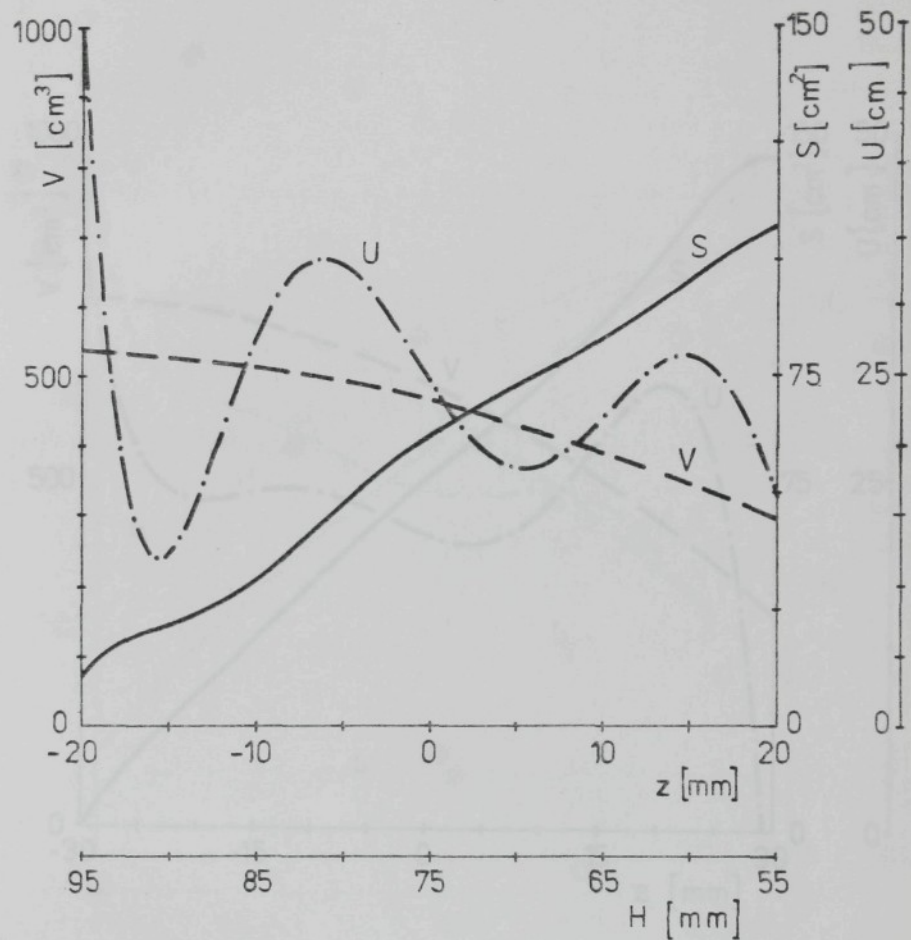




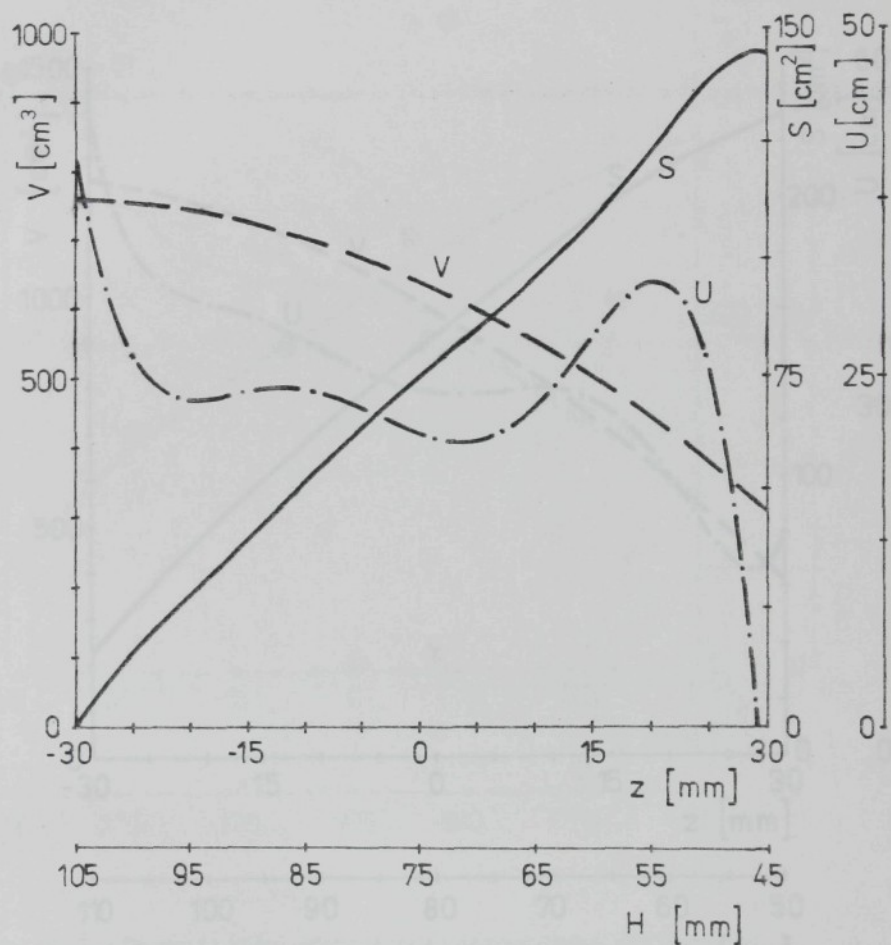
Obr. 1.3. Změna efektivní plochy  $S(p_m)$

Tabuľka 2. Koefficienty regresných polynomov

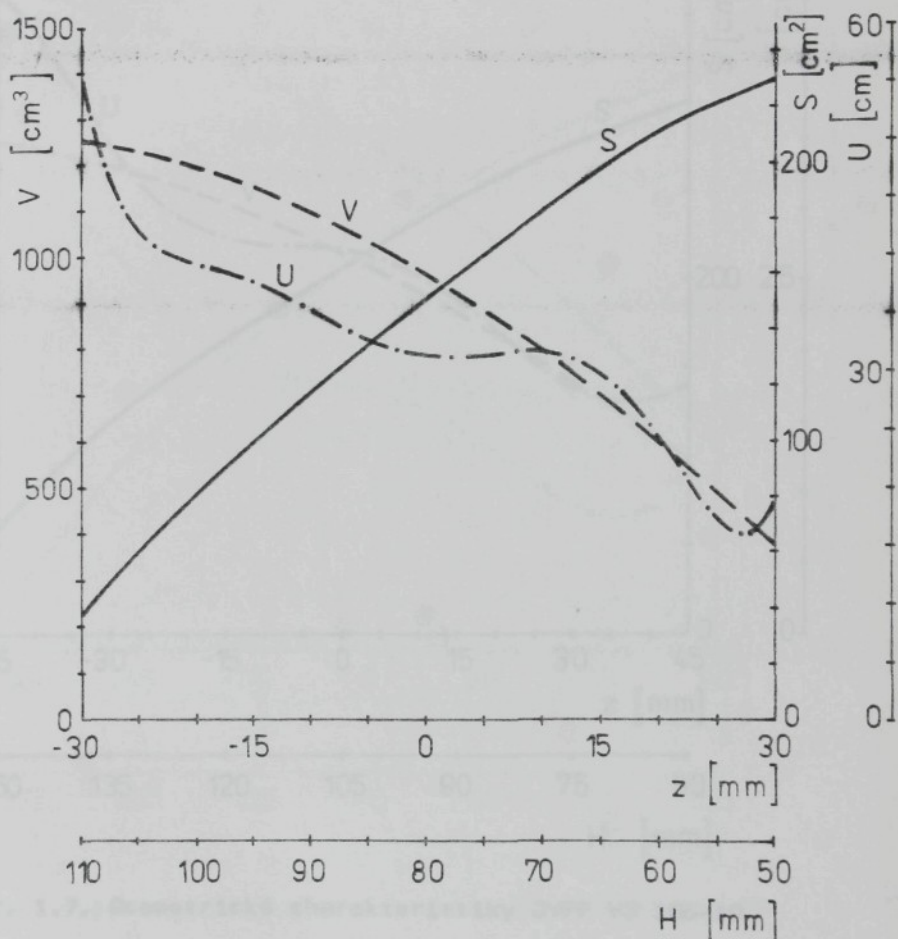
Pružina	VJ 75-3,75	VJ 75-05	VJ 80-07	VJ 105-10	VJ 115-20
A <sub>0</sub>	6,329907.10	7,523975.10	1,503464.10 <sup>2</sup>	2,078837.10 <sup>2</sup>	3,421249.10 <sup>2</sup>
A <sub>1</sub>	2,480430.10	2,094702.10	3,134833.10	2,723877.10	3,652524.10
A <sub>2</sub>	-9,768005	-1,555970	-5,723443.10 <sup>-1</sup>	-4,054592.10 <sup>-1</sup>	-8,692612.10 <sup>-1</sup>
A <sub>3</sub>	2,108637	9,308798.10 <sup>-1</sup>	1,084072	-2,911181.10 <sup>-1</sup>	-2,070533.10 <sup>-1</sup>
A <sub>4</sub>	5,315001	6,942741.10 <sup>-1</sup>	-1,777351.10 <sup>-1</sup>	-7,968263.10 <sup>-2</sup>	-6,580498.10 <sup>-2</sup>
A <sub>5</sub>	-1,620125	-4,334749.10 <sup>-2</sup>	-2,364724.10 <sup>-1</sup>	2,087914.10 <sup>-2</sup>	8,693111.10 <sup>-3</sup>
A <sub>6</sub>	-7,756211.10 <sup>-1</sup>	-6,163966.10 <sup>-2</sup>	2,569142.10 <sup>-3</sup>	1,694501.10 <sup>-3</sup>	1,148633.10 <sup>-3</sup>
A <sub>7</sub>	2,350201.10 <sup>-1</sup>	-2,243361.10 <sup>-3</sup>	1,411277.10 <sup>-2</sup>	-3,582016.10 <sup>-4</sup>	-6,730644.10 <sup>-5</sup>
V <sub>0</sub>	467	633	955	2159	4314



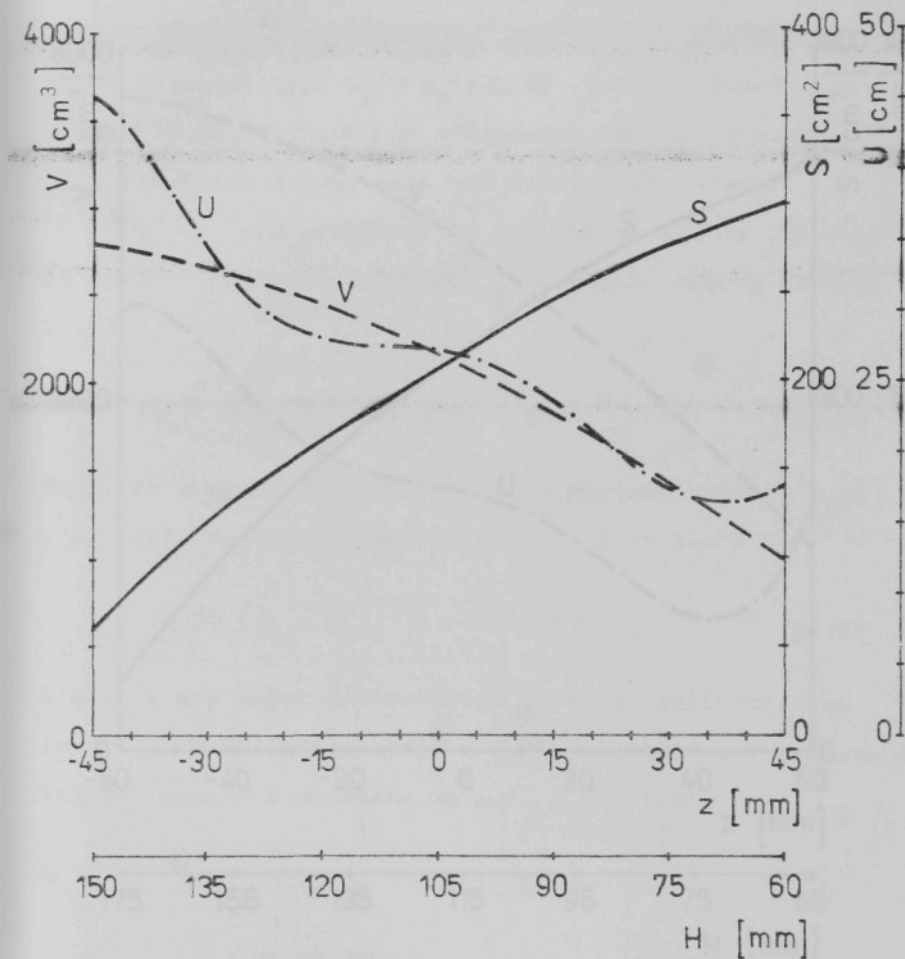
Obr. 1.4. Geometrické charakteristiky JVPP VJ 75-3,75



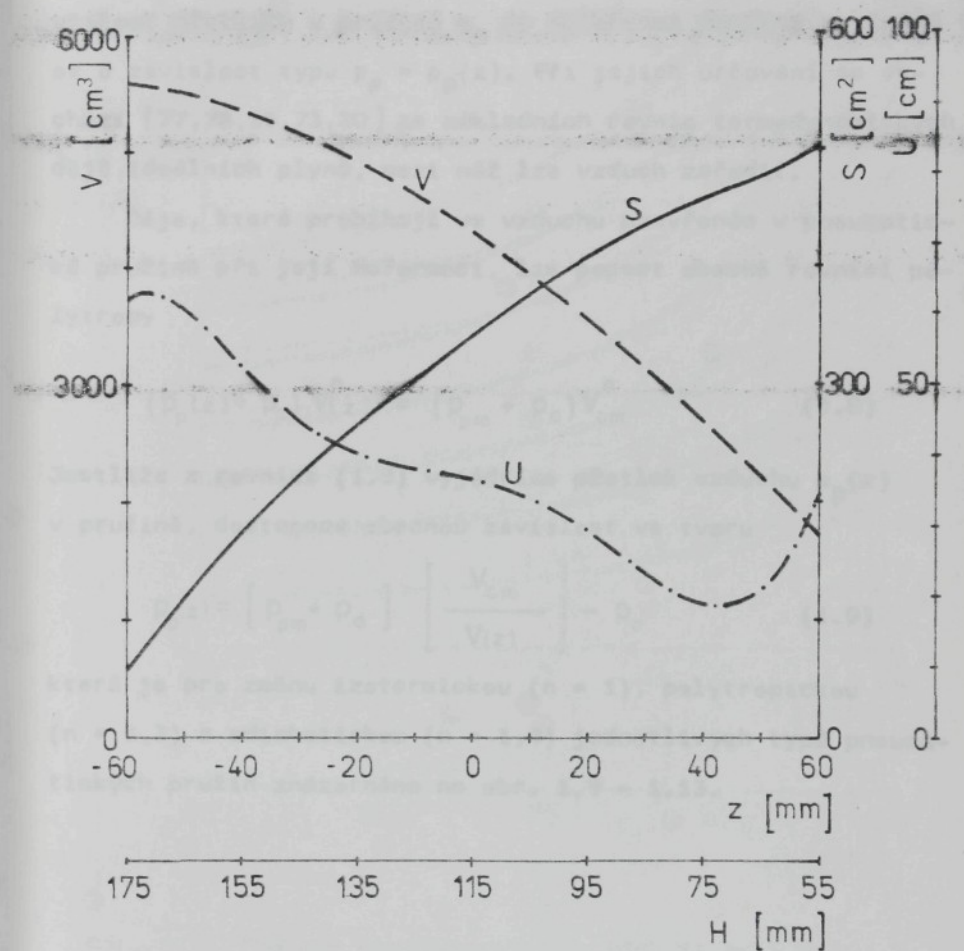
Obr. 1.5. Geometrické charakteristiky JVPP VJ 75-04



Obr. 1.6. Geometrické charakteristiky JVPP VJ 80-07



Obr. 1.7. Geometrické charakteristiky JVPP VJ 105-10



Obr. 1.8. Geometrické charakteristiky JVPP VJ 115-20

## 1.2. Tlakové charakteristiky

Tlakové charakteristiky jsou dalšími určujícími závislostmi, které charakterizují vlastnosti PP a popisují funkční závislost tlaku v pružině  $p_p$  na deformaci pružiny  $z$ . Jde se o závislost typu  $p_p = p_p(z)$ . Při jejich určování se vychází [77, 78, 15, 73, 20] ze základních rovnic termodynamických dějů ideálních plynů, mezi něž lze vzduch zařadit.

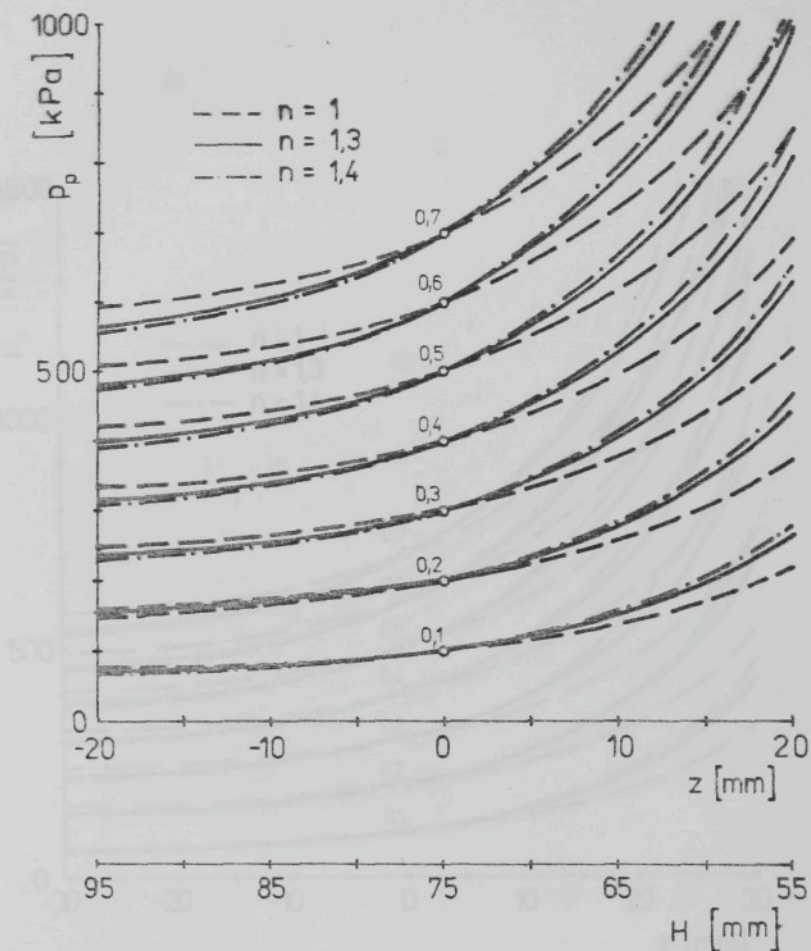
Děje, které probíhají ve vzduchu uzavřeném v pneumatické pružině při její deformaci, lze popsat obecně rovnici polytropu

$$(p_p(z) + p_a)V(z)^n = (p_{pm} + p_a)V_{cm}^n \quad (1.8)$$

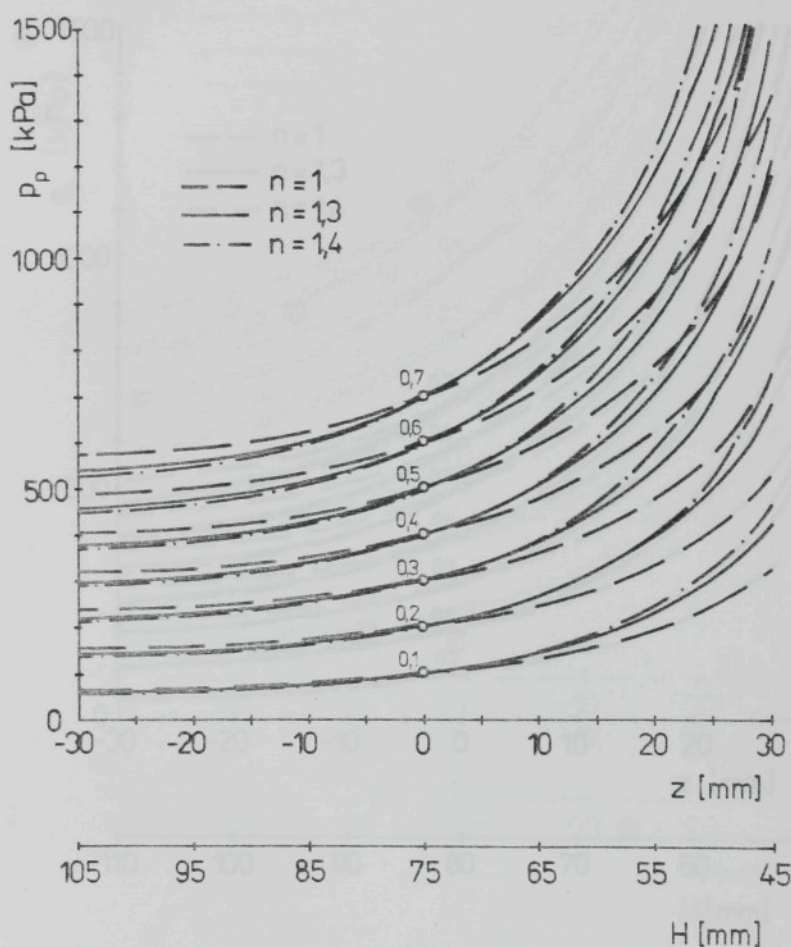
Jestliže z rovnice (1.8) vyjádříme tlak vzduchu  $p_p(z)$  v pružině, dostaneme obecnou závislost ve tvaru

$$p_p(z) = [p_{pm} + p_a] \left[ \frac{V_{cm}}{V(z)} \right]^n - p_a \quad (1.9)$$

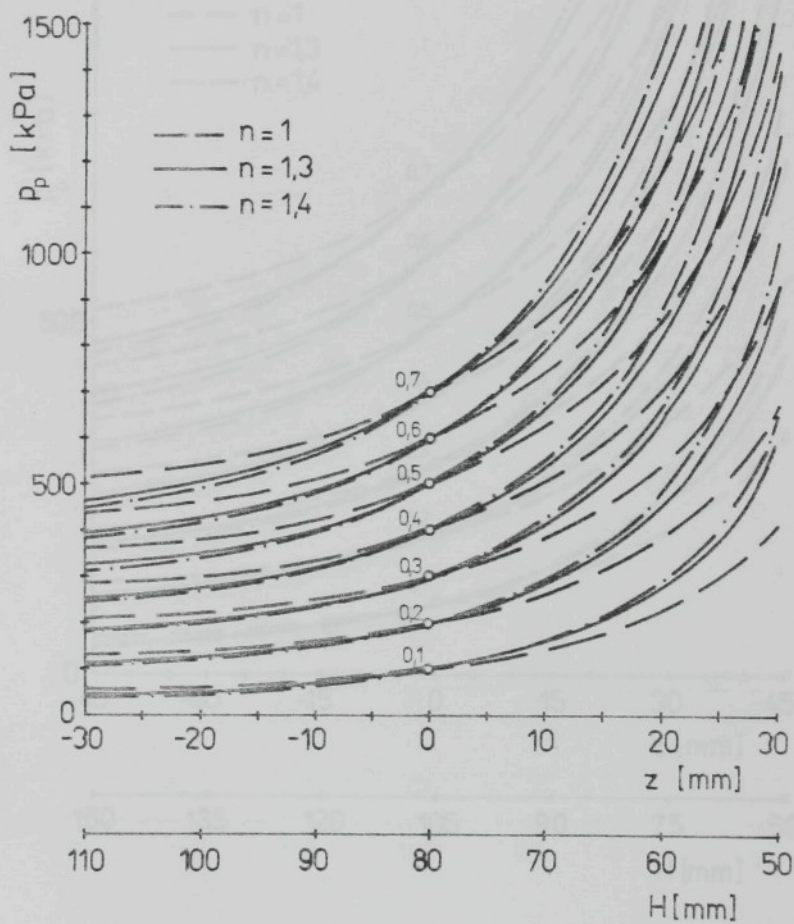
která je pro změnu izotermickou ( $n = 1$ ), polytropickou ( $n = 1,3$ ) a adiabatickou ( $n = 1,4$ ) jednotlivých typů pneumatických pružin znázorněna na obr. 1.9 - 1.13.



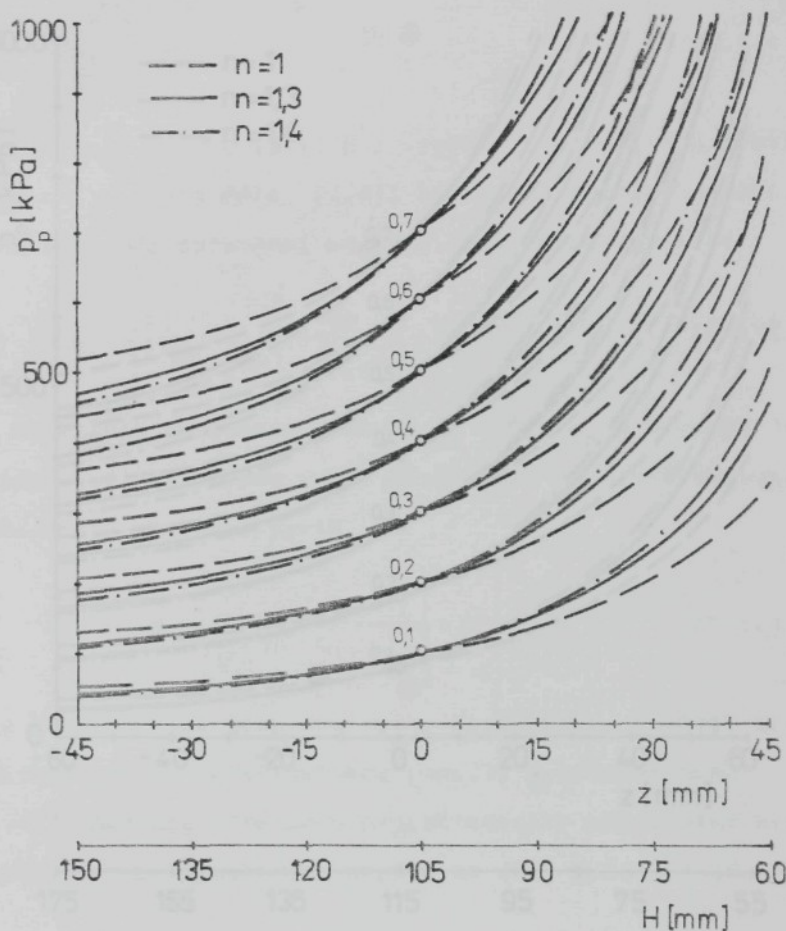
Obr. 1.9. Tlakové charakteristiky JVPP VJ 75-3,75



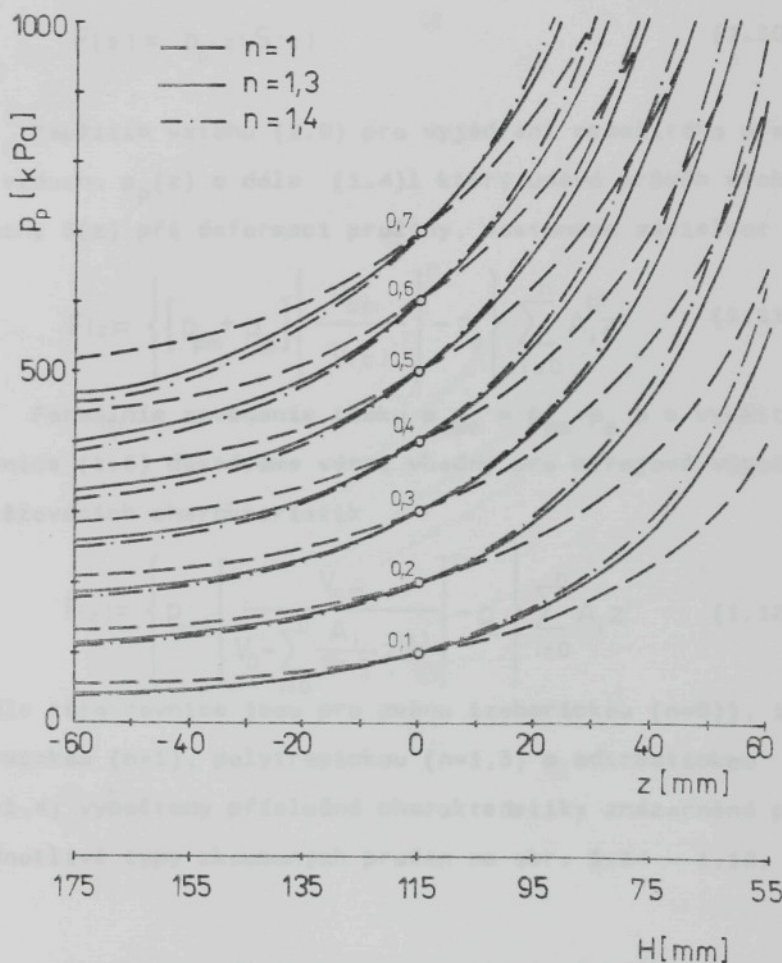
Obr. 1.10. Tlakové charakteristiky JVPP VJ 75-04



Obr. 1.11. Tlakové charakteristiky JVPP 80-07



Obr. 1.12. Tlakové charakteristiky JVPP VJ 105-10



Obr. 1.13. Tlakové charakteristiky JVPP 115-20

### 1.3. Zatěžovací charakteristiky

Zatěžovací charakteristiky udávají závislost síly  $F = F(z)$  na deformaci pružiny  $z$  a jsou obecně popsány vztahem

$$F(z) = p_p(z) S(z) \quad (1.10)$$

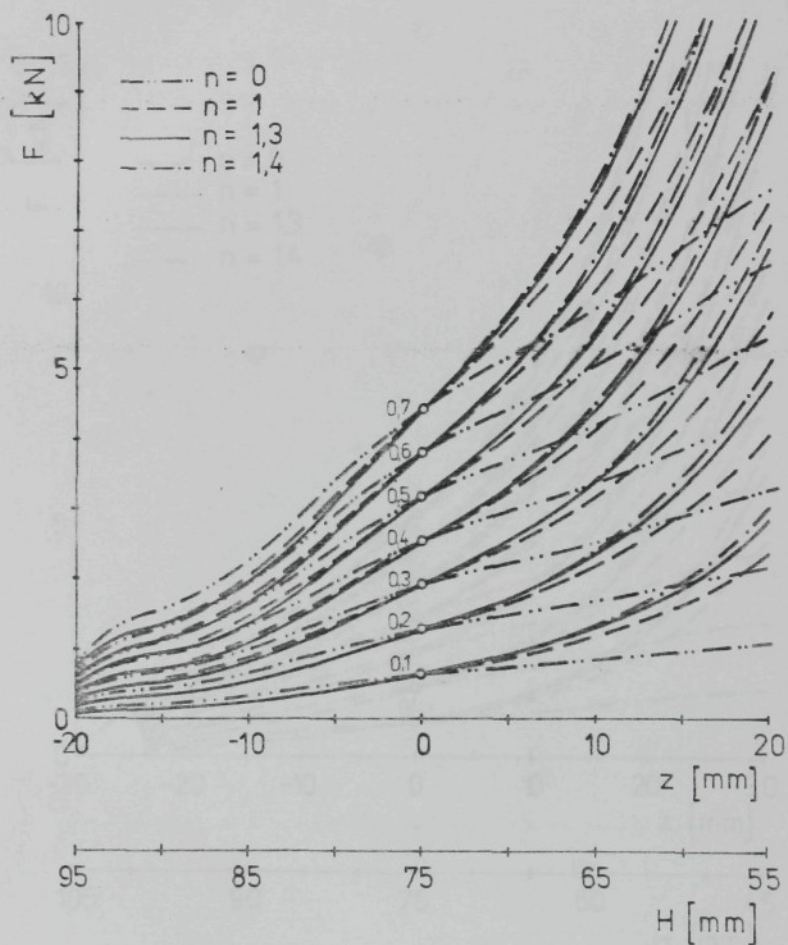
Použitím vztahu (1.9) pro vyjádření okamžitého přetlaku vzduchu  $p_p(z)$  a dále (1.4) který udává průběh efektivní plochy  $S(z)$  při deformaci pružiny, dostaneme závislost

$$F(z) = \left\{ [p_{pm} + p_o] \left[ \frac{V_{cm}}{V(z)} \right]^n - p_o \right\} \sum_{i=0}^n A_i z^i \quad (1.11)$$

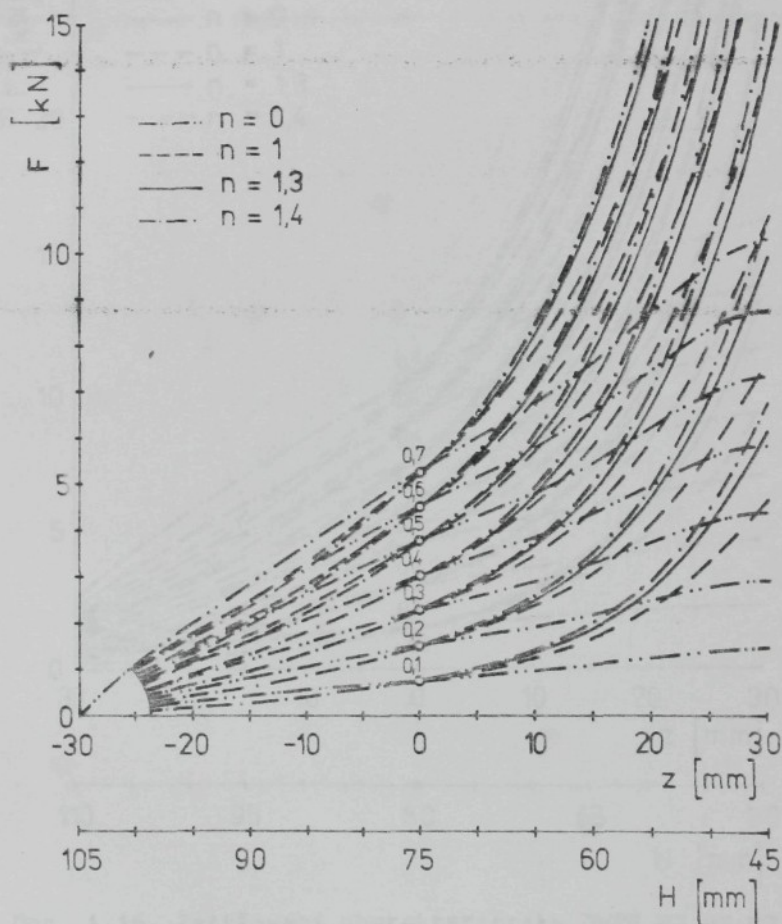
Formálním zavedením tlaku  $p_{abs} = p_{pm} + p_o$  a s využitím rovnice (1.6) dostaváme výraz vhodný pro strojové výpočty zatěžovacích charakteristik

$$F(z) = \left\{ p_{abs} \left[ \frac{V_{cm}}{V_0 - \sum_{i=0}^n \frac{A_i}{i+1} z^{i+1}} \right]^n - p_c \right\} \sum_{i=0}^n A_i z^i \quad (1.12)$$

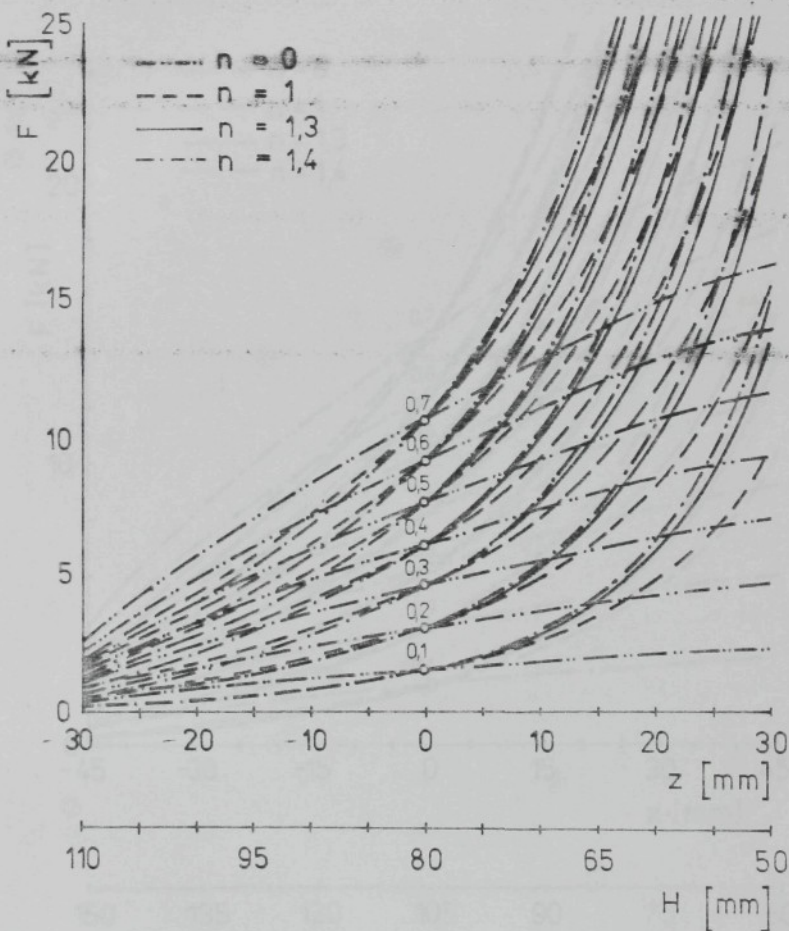
Podle této rovnice jsou pro změnu izobarickou ( $n=0$ ), izotermickou ( $n=1$ ), polytropickou ( $n=1,3$ ) a adiabatickou ( $n=1,4$ ) vypočteny příslušné charakteristiky znázorněné pro jednotlivé typy zkoumaných pružin na obr. 1.14 - 1.18.



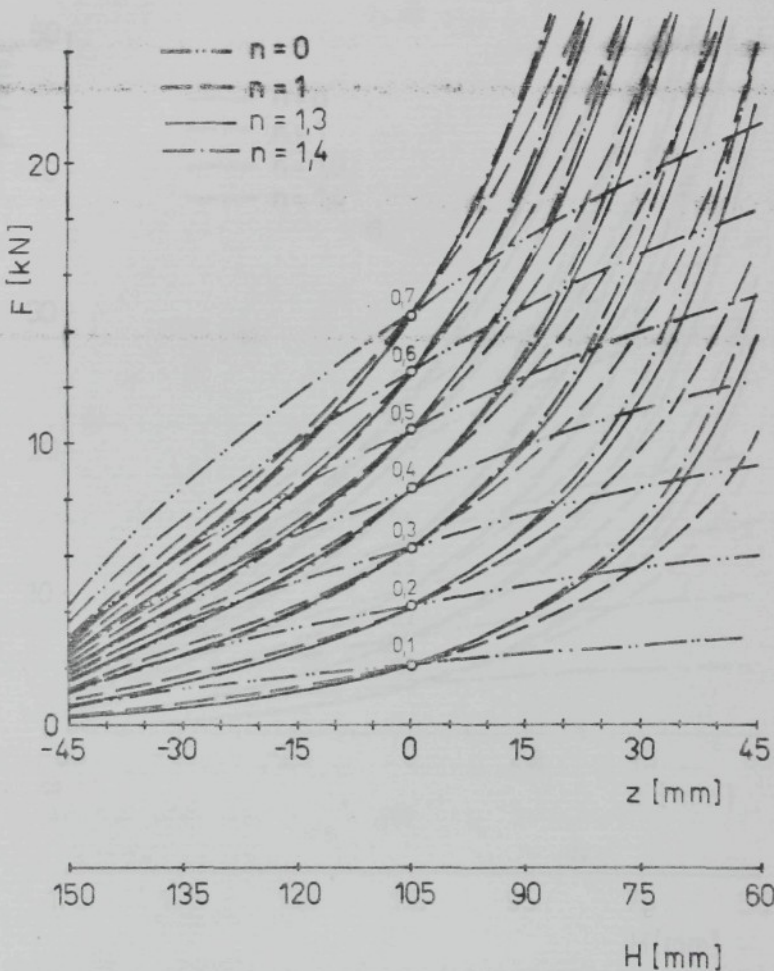
Obr. 1.14. Zatěžovací charakteristiky JVPP VJ-3,75



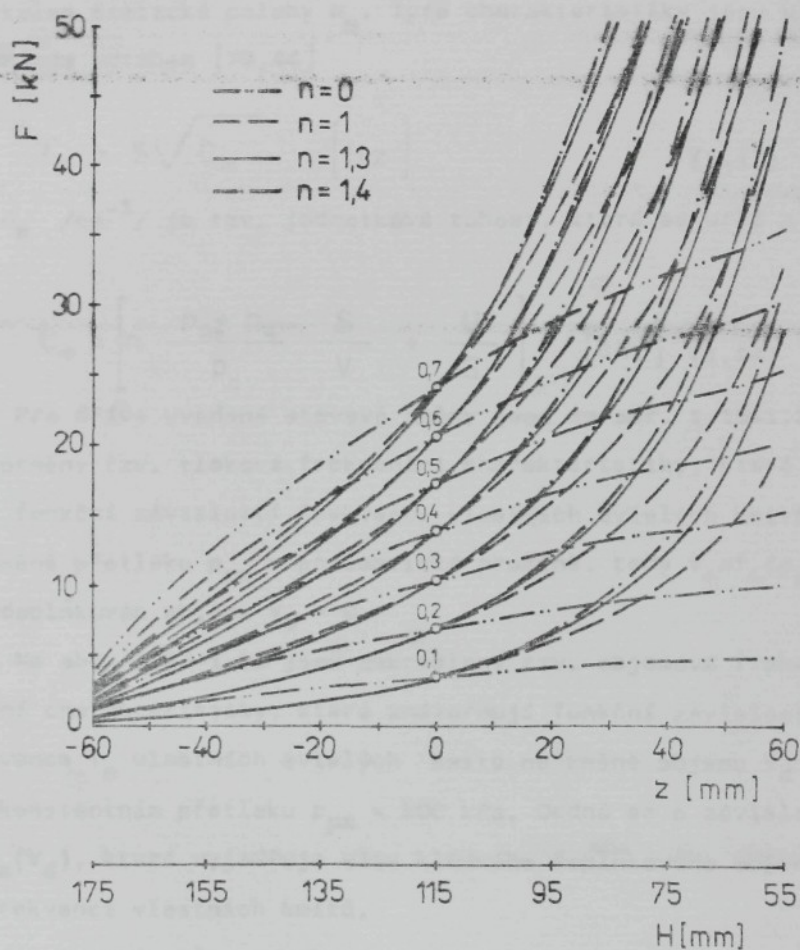
Obr. 1.15. Zatěžovací charakteristiky JVPP VJ 75-04



Obr. 1.16. Zatěžovací charakteristiky JVPP VJ 80-07



Obr. 1.17. Zatěžovací charakteristiky JVPP VJ 105-10



Obr. 1.18. Zatěžovací charakteristiky JVPP VJ 115-20

#### 1.4. Frekvenční charakteristiky

Frekvenční charakteristiky udávají frekvenci  $f_m$  vlastních svíslých kmitů pneumatické pružiny při nulevé amplitudě výkylek, než vlastně odpovídá kmitání s nulevou amplitudou kolem statické polohy  $H_m$ . Tyto charakteristiky jsou určeny známým vztahem [79, 44]

$$f_m = 5\sqrt{C_m} \quad [\text{Hz}] \quad (1.13)$$

kde  $C_m / \text{cm}^{-1}$  je tzv. jednotková tuhost, která se určí z výrazu

$$C_m = \left[ n \frac{P_{pm} + P_0}{P_0} \cdot \frac{S}{V} + \frac{U}{S} \right]_m [\text{cm}^{-1}] \quad (1.14)$$

Pro dříve uvedené stavové změny jsou na obr. 1.19-1.23 znázorněny tzv. tlakové frekvenční charakteristiky, které jsou funkční závislosti frekvence vlastních svíslých kmitů na změně přetlaku  $P_{pm}$  v pneumatické pružině, tedy  $f_m = f_m(P_{pm})$  při doplnkovém objemu  $V_d = 0$ .

Na obr. 1.24-1.28 jsou zakresleny tzv. objemové frekvenční charakteristiky, které znázorňují funkční závislost frekvence  $f_m$  vlastních svíslých kmitů na změně objemu  $V_d$  při konstantním přetlaku  $P_{pm} = 500 \text{ kPa}$ . Jedná se o závislost  $f_m = f_m(V_d)$ , která vyjadřuje vliv kladného doplnkového objemu na frekvenci vlastních kmitů.

Kladným doplnkovým objemem je myšleno zvětšení objemu pneumatické pružiny dalším objemem, např. vzduchem. Pneumatické pružiny mohou mít i negativní doplnkový objem, který objem vzduchu v pružině naopak změnuje. Realizace je velmi snadná a je např. možná zaplněním vnitřního prostoru pružiny

netěkavou a neagresivní kapalinou (tentot způsob umožňuje i plynulou regulaci frekvence), ev. vložením tělesa, např. dorazu do vnitřního objemu pneumatické pružiny.

40

20

10

0

-10

-20

-30

-40

-50

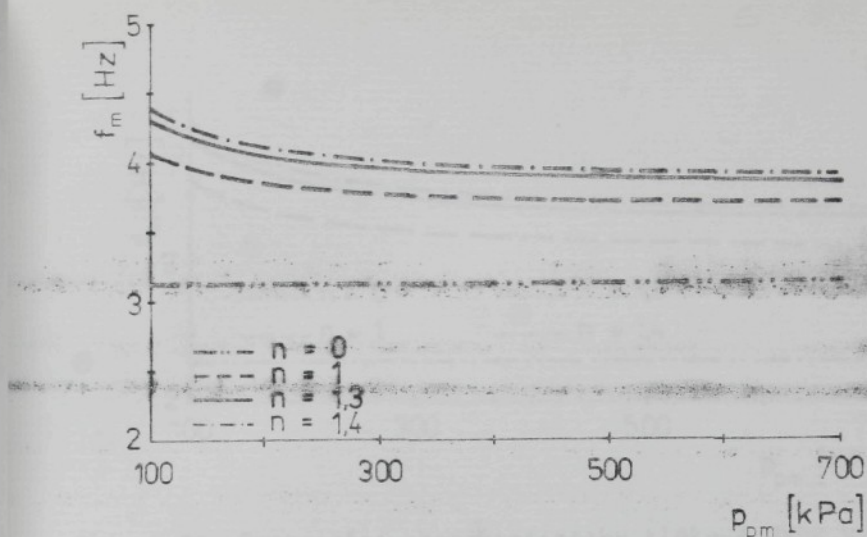
-60

-70

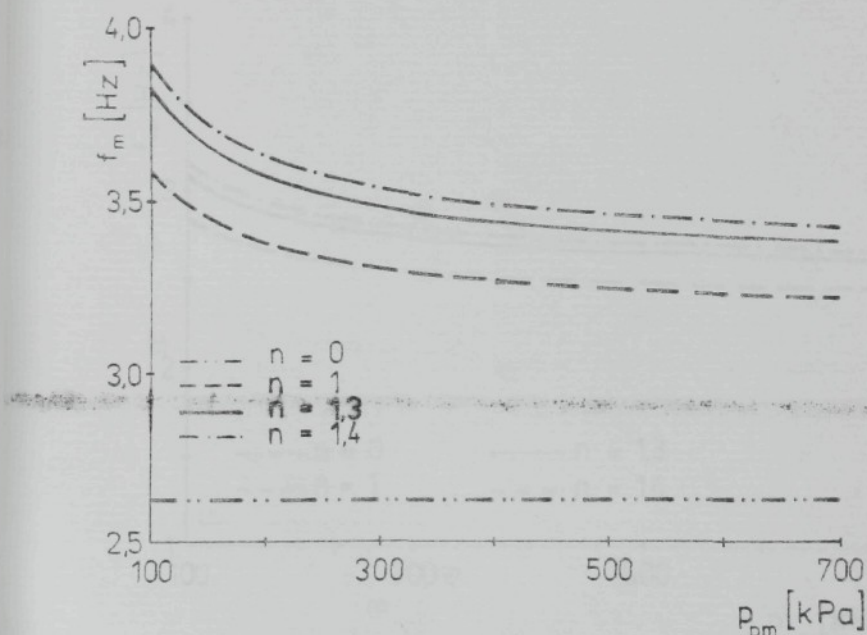
-80

-90

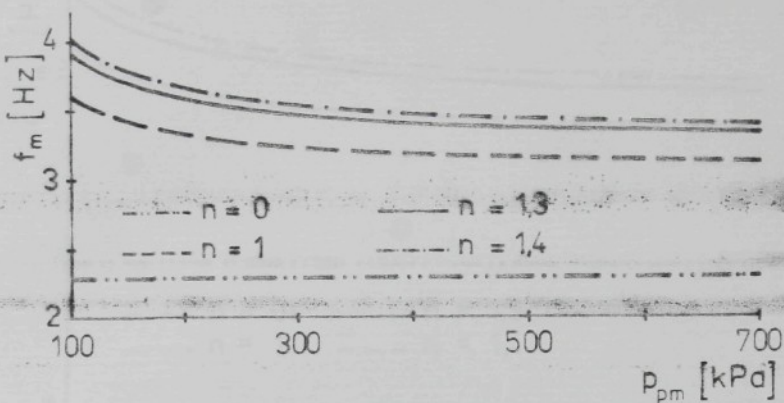
-100



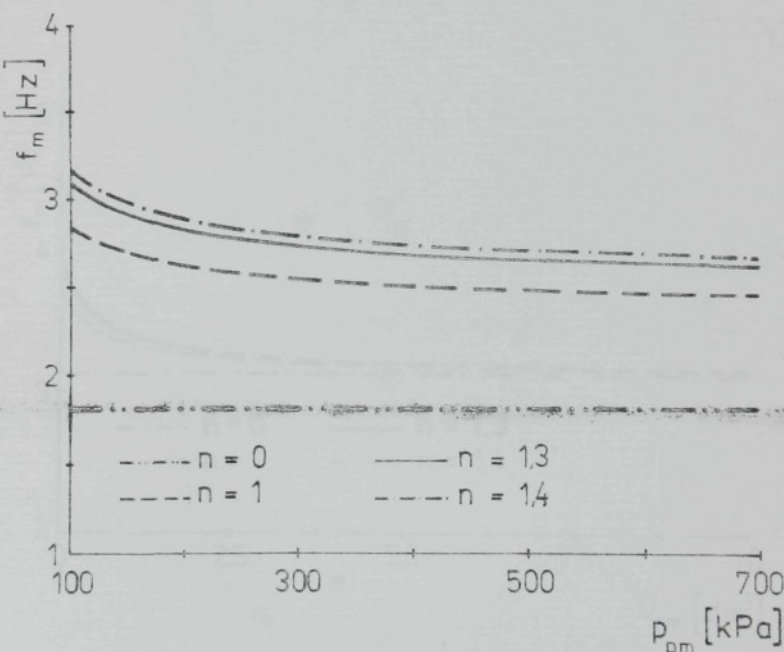
Obr. 1.19. Frekvenční charakteristiky tlakové JVPP VJ 75-3,75



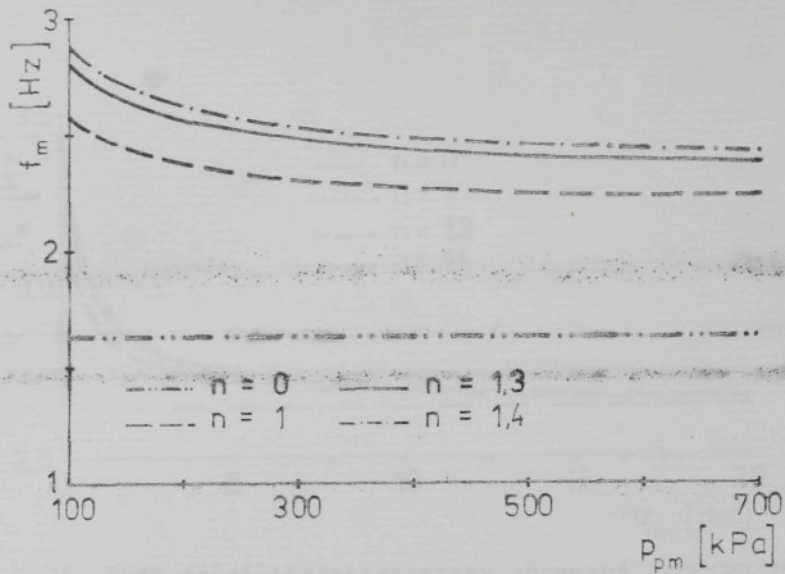
Obr. 1.20. Frekvenční charakteristiky tlakové JVPP VJ75-04



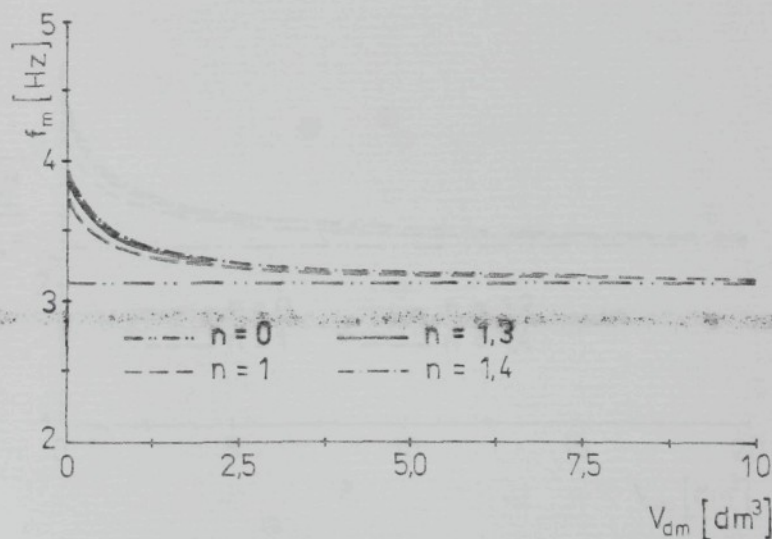
Obr. 1.21. Frekvenční charakteristiky tlakové JVPP VJ 80-07



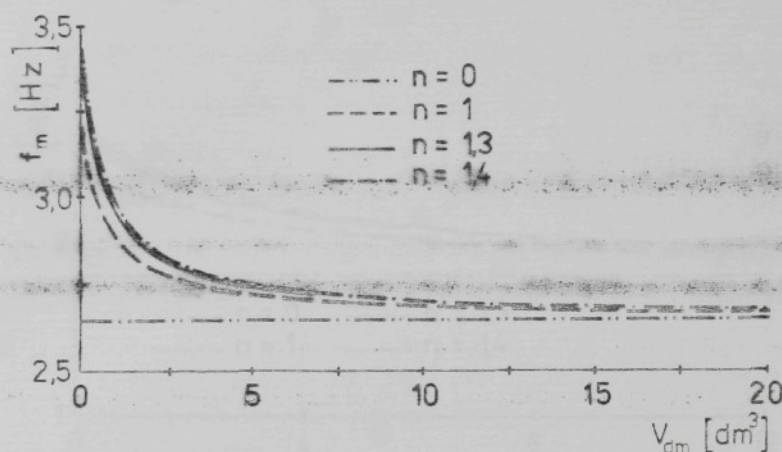
Obr. 1.22. Frekvenční charakteristiky tlakové JVPP VJ 105-10



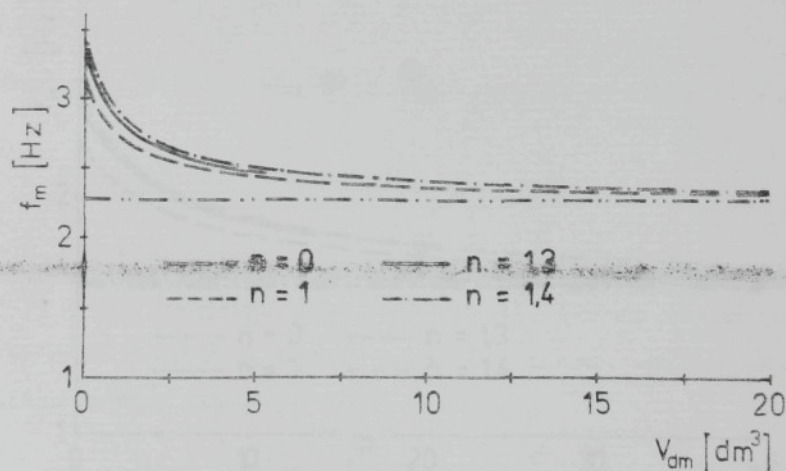
Obr. 1.23. Frekvenční charakteristiky tlakového JV PP VJ 115-20



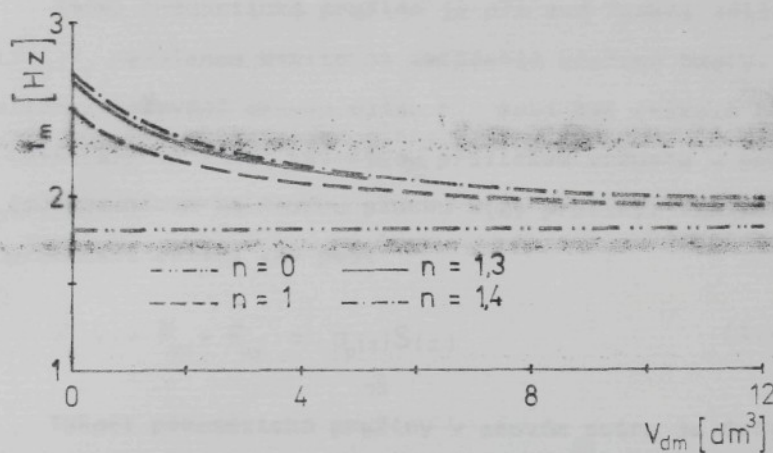
Obr. 1.24. Frekvenční charakteristiky objemové JVPP VJ 75-3,75



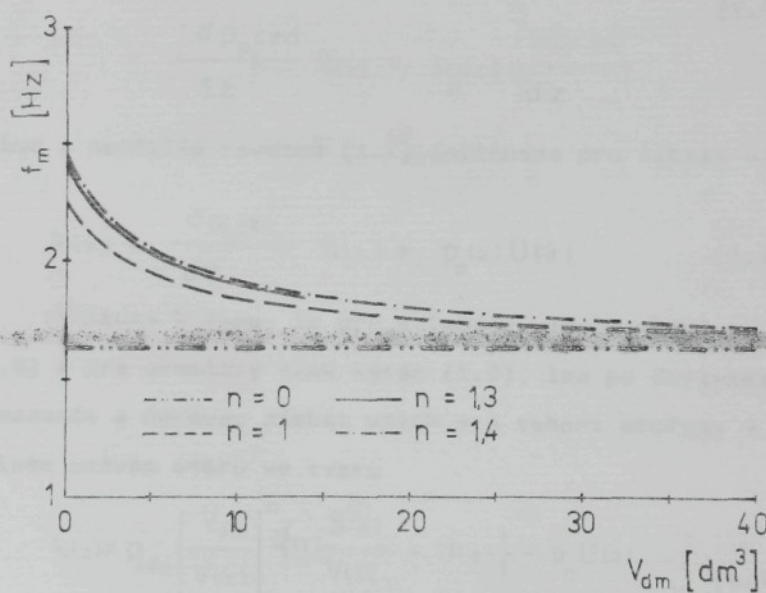
Obr. 1.25. Frekvenční charakteristiky objemové JVPP VJ 75-04



Obr. 1.26. Frekvenční charakteristiky objemové JV PP VJ-80-07



Obr. 1.27. Frekvenční charakteristiky objemové JVPP VJ 105-10



Obr. 1.28. Frekvenční charakteristiky objemové JVPP VJ 115-20

## Ukázat vlnovcové pneumatické pružiny

Každá pneumatická pružina je při své funkci zatěžována silou  $F_m$  vyvolanou statickým zatížením uložené hmoty. Při dalším zatěžování osovou silou  $F_{oy}$  musí být celková síla  $F_c$  v rovnováze se silou vyvolanou přetlakem vzduchu v pružině  $p_p(z)$  působícím na nosnou plochu  $S(z)$  pružiny. Vzhledem k platnosti (1.10) lze psát

$$F_c(z) = F_m + F_{oy} = p_p(z)S(z) \quad (1.15)$$

Tuhost pneumatické pružiny v osovém směru je defino-  
vána poměrem změny síly a deformace (určuje směrnicí tečny  
k zatěžovací charakteristice) podle vztahu

$$\begin{aligned} k(z) &= \frac{dF_c(z)}{dz} = \\ &= \frac{dp_p(z)}{dz} S(z) + p_p(z) \frac{dS(z)}{dz} \end{aligned} \quad (1.16)$$

odkud s použitím rovnice (1.2) dostaneme pro tuhost výraz

$$k(z) = \frac{dp_p(z)}{dz} S(z) + p_p(z) U(z) \quad (1.17)$$

Vzhledem k tomu, že pro stlačený vzduch platí rovnice (1.8) a pro okamžitý tlak výraz (1.9), lze po derivaci (1.9) dosazením a úpravou získat vztah pro tuhost pružiny v po-  
délném osovém směru ve tvaru

$$k(z) = p_{abs} \left[ \frac{V_{cm}}{V(z)} \right]^n \left\{ n \frac{S(z)}{V(z)} + U(z) \right\} - p_a U(z) \quad (1.18)$$

který lze s použitím (1.4), (1.6) a (1.7) formálně upravit do tvaru, který je vhodný pro výpočty na počítači

$$k(z) = p_{\text{abs}} \left( \frac{V_{\text{om}}}{V_0 - \sum_{i=0}^h \frac{A_i}{i+1} z^{i+1}} \right)^n \times \\ \times \left[ n \frac{\left( \sum_{i=0}^h A_i z^i \right)^2}{V - \sum_{i=0}^h \frac{A_i}{i+1} z^i} + \sum_{i=0}^h i A_i z^{i-1} \right] - (1.19)$$

$$- p_0 \sum_{i=0}^h i A_i z^{i-1}$$

Výraz (1.16) platí za předpokladu, že efektivní plocha  $S$  je pouze funkcí deformace  $z$ , tj.  $S = S(z)$ , pokud je uvažována změna efektivní plochy vlivem vnitřního přetlaku  $p_p(z)$  (že taková závislost existuje, dokazují experimentálně zjištěné křivky z obr. 1.3, jde o závislost  $S=S(z, p_p(z))$ ). V tomto případě je nutné nalézt totální diferenciál rovnice (1.16). Pokud budeme uvažovat použití pneumatických pnužin v rozsahu přetlaků, při němž změna efektivní plochy vlivem přetlaku nepřesahuje 5%, platí výše uvedené rovnice.

## 2.0. METODY IDENTIFIKACE DYNAMICKÝCH VLASTNOSTÍ JEDNOVLONOVÝCH VLNOVCOVÝCH PNEUMATICKÝCH PRUŽIN

Všeobecně se uznává, že chování všech reálných konstrukcí (tedy i pneumatických pružin) je podmíněno spolupůsobením celé řady vlivů náhodné (stochastické) povahy. Z tohoto důvodu je možné popsat chování každého mechanického systému, kterým je v tomto případě pneumatická pružina (jako nejjednodušší vibroizolátor), při náhodném vnějším působení (k náhodné změně vlastnosti vyjma porušení pružiny nemůže dojít) metodami statistické dynamiky.

V další části se bude pneumatická pružina nazývat systémem a bude se užívat terminologie běžné v technické kybernetice. Vnější působení se bude nazývat, popisovat a definovat pomocí vstupních parametrů (proměnných veličin či procesů) budicích funkcí nebo krátce buzení a chování pružiny pak výstupními parametry (proměnnými veličinami či procesy) nebo také odesvou.

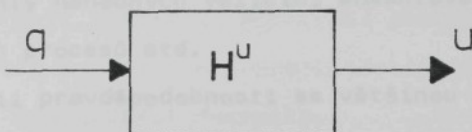
Obecně lze znázornit transformaci vstupních parametrů (přenos vibrací) vibroizolátem operátorovým vztahem

$$u = H^u q \quad (2.1)$$

kde  $q$  jsou prvky prostoru  $Q$  (těmito prvky mohou obecně být čísla, vektory, tenzory, ale i funkce jedné či několika proměnných apod.). Struktura a vlastnosti systému jsou charakterizovány operátorem  $H$ , jehož prostřednictvím každé realizaci  $q \in Q$  přísluší realizace chování  $u \in U$  popisující výstupní veličiny nebo také odesvu systému na vstupní veličinu.

Operátorový vztah (2.1) lze jednoduše znázornit schéma-

tem znázorněným na obr. 2.1. Tímto vztahem je zobrazena vazba mezi prvky  $q \in Q$  prostoru vstupních parametrů a prvky  $u \in U$  prostoru výstupních parametrů. Je ovšem nutné si uvědomit, že výběr prostorů  $Q$  a  $U$  a rovněž operátoru  $H^u$  není jednoznačný [81, 82, 83].



Obr. 2.1. Transformace vstupních parametrů soustavou

Je tomu tak proto, že pojem systému a okolního prostředí je ovlivněn [84,85] schematizací systému a vztahem samotných parametrů systému k jemu samotnému a k okolnímu prostředí [86] (např. parametrické působení, tj. působení, které může být zahrnuto ve vlastnostech systému).

Nejednoznačnost vztahu (2.1) spočívá rovněž ve způsobu výběru výstupních parametrů. V závislosti na výběru se bude měnit i tvar operátoru  $H^u$ . Uvažuje-li se prostor výstupních parametrů  $U$  jako neomezený, neomezený v tom smyslu, že pomocí prvků tohoto prostoru lze popsat chování libovolného systému, pak je zřejmé, že pro každý systém existuje nekonečná množina neomezených prostorů. Všechny tyto prostory jsou ekvivalentní, neboť každý z nich podává úplnou informaci o chování systému [85]. Operátory  $H_1^u$  odpovídající různým neomezeným prostorem musí umožňovat vzájemné vyjádření.

Stochastickým vstupním parametry  $q_1 \in Q$  náleží určitá míra pravděpodobnosti. Např. náhodné číslo jako vstupní para-

metr je charakterizováno hustotou pravděpodobnosti (distribuční funkcí), náhodný vektor vícerozměrným simultáním rozdělením pro jednotlivé složky, atd. Místo úplného popisu pravděpodobnosti zadáním míry ve funkčním prostoru se často přistupuje k popisu částečnému. Při tom se užívá integrálů míry pravděpodobnosti, kterými jsou matematické naděje, rozptyl i jiné momenty náhodných veličin, momentové a korelační funkce náhodných procesů atd.

V teorii pravděpodobnosti se většinou používá statistický výklad pravděpodobnosti, která je definována [87,88] jako "objektivní míra, jež je ekvivalentní empirické četnosti".

Po dle Bernoulliho zákona velkých čísel je pravděpodobnost náhodného jevu mezi, ke které směruje (pravděpodobně) empirická četnost tehdy, jestliže počet pozorování neomezeně roste. Použití pojmu empirické četnosti předpokládá, že jev je hromadný, tedy umožnuje mnohanásobnou reprodukci za statisticky stejných podmínek.

Takový přístup by však značně omezoval oblast použití metod počtu pravděpodobnosti, neboť neumožňuje zkoumat unikátní systémy, ani systémy vyrobene v malém počtu vzájemně srovnatelných vzorků. Z definice vyplývá, že pravděpodobnost je objektivní míra nastoupení jevu nezávislá na počtu výskytu jevu. V běžné praxi však pravděpodobnost nabývá významu "určité" míry důvěry pro některá tvrzení.

K získání pravděpodobnostních charakteristik systému je třeba odpovídající statistická informace a tu je možné získat na základě vyšetření reprezentativního, byť třeba fiktivního souboru.

## 2.1. Základní úlohy statistické dynamiky

Operátorovým vztahem (2.1) je upravena závislost mezi vstupními a výstupními parametry systému. Jsou-li vstupními parametry či (nebo i) parametry systému náhodné veličiny, naskytá se otázka, jaká vazba vzniká mezi příslušnými měrami pravděpodobnosti nebo mezi některými charakteristikami vstupních parametrů systému. Stanovení těchto vazeb je předmětem řešení úloh statistické dynamiky.

První typ úlohy spočívá v nalezení pravděpodobnostních vlastností výstupních parametrů při známých pravděpodobnostních vlastnostech vstupních parametrů a parametrů systému.

Druhá úloha spočívá v nalezení pravděpodobnostních vlastností vstupních parametrů ze známých vlastností výstupních parametrů při známých vlastnostech systému. Jde o úlohu inverzni k úloze prve. Řešení této úlohy je složité, jedná-li se o společné působení několika výstupních parametrů a pak je nutné vyjedřovat působení systému pro každý účinek zvlášť statistickými charakteristikami.

Třetí úloha řeší problém určení pravděpodobnostních charakteristik systému ze známých vstupních a výstupních charakteristik procesu. V zásadě jde o tzv. problém "černé schránky" (black box), kterým je v nejobecnějším případě řešení vnitřní struktury systému. Většinou však nejde o řešení vnitřní struktury, ta bývá, ale spíš částečně, známá ani o informaci o deterministických vlastnostech systému. Výzkum se zabývá sběrem informací a z nich pak analýzou vlastnosti (stochastických) systému.

Nejjednodušší způsob řešení této úlohy je založen na vyšetřování reakcí systému na vhodně zvolené definované deter-

ministické vstupní signály. Jedná se v podstatě o jakési spojení druhé a třetí úlohy.

Poslední úloha je založena na vyhledávání systému, který při zadaném vnějším působení bude mít zadané vlastnosti. Jedná se o řešení úloh syntézy optimálního systému, který má v jistém slova smyslu nejlepší vlastnosti. Kritéria optimálnosti [4, 89] bývají formulována nejčastěji jako maxima nebo minima některých funkcí (vlastností) systému nebo jeho reakcí na vnější působení při změně ostatních funkcí a parametrů.

Způsob řešení úloh statistické dynamiky do značné míry závisí na charakteru systému. Podle chování systému při vnějším působení lze systém rozdělit na lineární a nelineární.

Popišeme-li systém operátorevou rovnici (2.1), pak systém bude lineární, jestliže operátor  $H$  splňuje podmínky

$$H[\alpha q] = \alpha Hq \quad a \quad (2.2)$$

$$H[q_1 + q_2] = Hq_1 + Hq_2 \quad b$$

kde  $\alpha$  je libovolné číslo a  $q$  resp.  $q_1, q_2$  jsou vnější účinky. Pokud operátor  $H$  nevyhovuje podmínce (2.2), je systém nelineární. Z podmínky (2.2b) vyplývá, že v lineárních systémech platí zákon superpozice.

Dalším kritériem pro charakterizování systému je způsob jeho chování v čase. Jsou-li jeho vlastnosti v čase invariantní, nazývá se systém stacionární. Operátor  $H$  je invariantní k posunutí v čase.

Pro hodnocení vlastností systému je třeba vyšetřit i analytické vlastnosti operátoru  $H$ . Tyto vlastnosti mohou být (ale nemusí) spojené se strukturou prostorů  $Q$  vstupních a  $U$  výstupních parametrů. Je vhodné rozlišovat ohrazené a ne-

ohraničené operátory. Operátor je ohraničený, jsou-li prostor Y a U konečné Euklidovy prostory. Podrobný rozbor vlastností lze nalézt např. v [81,82,83,85].

## 2.2. Stacionární a ergodický náhodný proces

### Značení vlastností a charakteristických pružin při

působení vibrací je důležitá při návrzích vibroizolátorů, ale i při návrzích pružných uložení. Problém identifikace dynamických vlastností je, jak bylo řečeno, jednou z úloh statistické dynamiky. K identifikaci lze v zásadě přistupovat buď z hlediska deterministického nebo stochastického.

V této práci budeme používat stochastické identifikace dynamických vlastností. Je tomu tak proto, že přístrojové vybavení katedry části strojů a mechanismů VŠST neumožňuje provádět deterministickou identifikaci. Stochastická identifikace je poměrně jednoduchá z hlediska experimentu, ale naopak je náročnější na zpracování výsledků a na výpočetní techniku.

Vzhledem k tomu, že pro získání objektivní informace o systému je třeba velkého počtu pokusů, nebo za předpokladu, že vstupní signály jsou stacionární a ergodické, stačí jedna, teoreticky nekonečně dlouhá, realizace, v níž je již veškerá míra informace obsažena.

### 2.2.1. Stacionární náhodný proces

Náhodný proces  $\{x(t)\}$  je stacionární, jestliže jsou všechny jeho statistické charakteristiky invariantní vzhledem k libovolné změně počátku času, tedy tehdy, jestliže funkce roz-

dělení  $w_n(x_1, x_2, \dots, x_n; t_1, t_2, \dots, t_n)$ , kde  $n$  je libovolného řádu, se nemění při libovolném pohybu celé skupiny bodů  $t_1, \dots, t_n$  podél časové osy. Tedy, jestliže pro libovolné  $n$  a  $\tau$  platí [90]

$$w_n(x_1, x_2, \dots, x_n; t_1, t_2, \dots, t_n) = \quad (2.3)$$

$$= (x_1, x_2, \dots, x_n; t_1 + \tau, t_2 + \tau, \dots, t_n + \tau)$$

Náhodný proces bude stacionární, jestliže výraz pro funkci rozdělení libovolného řádu nebude záviset na volbě počátku časové osy. Z toho vyplývá, že takový proces bude mít následující vlastnosti:

- první funkce rozdělení nezávisí na čase

$$w_1(x, t) = w_2(x, t + \tau) \quad (2.4)$$

- druhá funkce rozdělení závisí pouze na rozdílu  $t_2 - t_1$

$$w_2(x_1, x_2, t_1, t_2) = w_2(x_1, x_2, t_2 - t_1) \quad (2.5)$$

- třetí funkce rozdělení může záviset pouze na rozdílu  $t_3 - t_2$   
a  $t_2 - t_1$ , tedy

$$w_3(x_1, x_2, x_3, t_1, t_2, t_3) = w_3(x_1, x_2, x_3, t_3 - t_2, t_2 - t_1) \quad (2.6)$$

atd.

Číselnými charakteristikami náhodných veličin jsou tzv. počáteční momenty rozdělení různého řádu, které jsou určeny vztahem

$$m_k\{x(t)\} = \int_{-\infty}^{\infty} x^k w(x) dx \quad (2.7)$$

kde  $k$  značí řád a symbol  $m_k\{x(t)\}$  střední hodnotu náhodné veličiny  $x^k$  v množině jejich možných hodnot. Postupným dosazováním vztahů (2.4), (2.5), (2.6) do (2.7) lze získat počáteční momenty různých řádů. Je však zřejmé, že tyto momenty závisí na rozdílu  $\tau = t_i - t_{i-1}$ . V tomto případě mluvíme o stacionaritě v širším smyslu (stacionaritě ve smyslu A.J. Chinčina [91]).

### Chinčin [91]

#### 2.2.2. Ergodický náhodný proces

Stacionární náhodný proces se nazývá ergodický, jestliže jedna jeho realizace obsahuje veškerou informaci o pravděpodobnostních vlastnostech procesu. Tyto procesy vykazují své vlastnosti nejen na množině realizací, ale rovněž v čase. Jejich zásadní vlastností je to, že dávají možnost záměny množiny realizací jedinou realizací probíhající v dostatečně dlouhém čase. Lze tedy pro centrální moment k-tého řádu napisat vztah

$$m_k\{x(t)\} = m_1\{[x(t)]^k\} = \quad (2.8)$$

$$= \lim_{T \rightarrow \infty} \frac{1}{T} \int_0^T [x^{(r)}(t)]^k dt$$

A.J. Chinčin [91] dokázal, že stacionární náhodné procesy jsou, při dostatečně obecných předpokladech, ergodické.

### 2.3. Náhodný proces, vlastnosti a popis

Předpokládejme, že dále popisované děje jsou stacionární

a ergodické. Ani u těchto procesů nelze jednoznačně říci, jakou hodnotu bude mít náhodná proměnná  $x$  v čase  $t$ . Je však možné určit, s jakou pravděpodobností  $P(x(t))$  se bude náhodná proměnná  $x(t)$  vyskytovat ve zvolených mezích a lze ji charakterizovat pomocí statistických ukazatelů.

V této části budou vysvětleny základní pojmy a charakteristiky náhodných procesů (stacionérních a ergodických).

Důležité je objasnění pojmu náhodného procesu z hlediska matematického a fyzikálního. Matematicky je pod tímto pojmem chápán soubor všech možných realizací se společnými statistickými vlastnostmi [90, 92, 93]. Z hlediska fyzikálního se jím rozumí jev, který v čase probíhá náhodně [94, 95].

Probíhá-li náhodný proces jako náhodné funkce času  $x(t)$  je jej možno, podle toho zda proměnné jsou spojité či diskrétní, rozdělit do čtyř kategorií

- $x(t)$  spojitá -  $t$  spojitý;
- $x(t)$  diskrétní -  $t$  spojitý;
- $x(t)$  spojitá -  $t$  diskrétní;
- $x(t)$  diskrétní - diskrétní.

Nabývá-li náhodná proměnná  $x(t)$  spojitě všech možných hodnot, jedná se o spojitý náhodný proces; nabývá-li těchto hodnot diskrétně, jde o diskrétní náhodný proces. Jedná-li se o proces, jehož proměnná  $x(t)$  je definována v určitých časových okamžicích, označuje se názvem náhodná časová řada.

K náhodným procesům se svými vlastnostmi řadí i procesy [92, 99] pseudonáhodné. Jejich vytváření je poměrně snadné a výhodná je jejich plná reprodukovatelnost.

### 2.3.1. Momenty prvního řádu

Ke stručnému popisu náhodných procesů se používá číselných charakteristik-momentů prvního řádu, které jsou definovány jednak jako číselné charakteristiky souboru všech realizací náhodného procesu v určitém okamžiku, nebo pro stacionární a ergodické procesy, jako číselné charakteristiky v čase jedné realizace. V další části se bude jednat vždy o popis stacionárního ergodického náhodného procesu.

Prvním momentem je střední hodnota v čase

$$\mu_x = \bar{x} = \lim_{T \rightarrow \infty} \frac{1}{T} \int_{-T/2}^{T/2} x(t) dt \quad (2.9)$$

pro spojitý proces a pro diskrétní proces, který má hodnoty  $x(t)$  definované v časových okamžicích  $t_k$

$$\mu_x = \bar{x} = \lim_{n \rightarrow \infty} \frac{1}{2n+1} \sum_{k=-n}^n x(t_k) \quad k = 0, 1, 2, \dots, n \quad (2.10)$$

kde  $\bar{x}$  je stejnosměrná vložka průběhu  $x(t)$  a

$$t_k = k T_v \quad (T = \text{konst.})$$

Druhým momentem je střední hodnota druhé mocniny v čase

$$\bar{x^2} = \lim_{T \rightarrow \infty} \frac{1}{T} \int_{-T/2}^{T/2} x^2(t) dt \quad (2.11)$$

$$\bar{x^2} = \lim_{n \rightarrow \infty} \frac{1}{2n+1} \sum_{k=-n}^n x^2(t_k) \quad (2.12)$$

jehož druhá odmocnina je tzv. efektivní hodnota.

Odečtením stejnosměrné složky  $\bar{x}$  od realizace  $x(t)$  dostáváme časově poměrnou část. Velikost této fluktuace kolem střední hodnoty udává disperze

$$D(x) = \overline{(x(t) - \mu_x)^2} \quad (2.13)$$

### 2.3.2. Korelační funkce

Momenty prvního řádu neposkytují žádné informace o souvislostech mezi hodnotami v různých okamžicích. Tuto informaci dává moment druhého řádu, kterým je korelační ev. kovarianční funkce, která pro popis statistických vlastností jednoho náhodného procesu nese název autokorelační funkce a při popisu dvou a více různých náhodných procesů se označuje jako vzájemná korelační funkce.

Jak bylo ukázáno v kap. 2.2.1, momenty vyšších řádů (tedy i autokorelační funkce) stacionárních náhodných procesů závisí jen na časovém posunutí  $\tau$  nikoliv na čase  $t$ .

$$R'_{xx}(t, t+\tau) = E[x(t)x(t+\tau)] = E[x(t)x(t+\tau)] \quad (2.14)$$

resp. v autokovarianční funkci (při centrovaném procesu)

$$K'_{xx}(t, t+\tau) = E\left\{ [x(t) - \mu_x(t)][x(t+\tau) - \mu_x(t+\tau)] \right\} \quad (2.15)$$

nebo při použití autokorelační funkce v normovaném tvaru

$$\begin{aligned} \rho'_{xx}(t, t+\tau) &= \frac{R'_{xx}(t, t+\tau) - \mu_x(t)\mu_x(t+\tau)}{\bar{G}_x(t)\bar{G}_x(t+\tau)} \\ &= \frac{K'_{xx}(t, t+\tau)}{\bar{G}_x(t)\bar{G}_x(t+\tau)} \end{aligned} \quad (2.16)$$

která je bezrozměrná a její hodnota je max  $\pm 1$ .

Můžeme proto ve vztazích (2.14), (2.15), (2.16) položit  $t=0$ .

Autokorelační funkce je sudá a tedy platí

$$R'_{xx}(\tau) = R'_{xx}(-\tau) \quad (2.17)$$

a pro její velikost platí

$$\left| R'_{xx}(\tau) \right| \leq R'_{xx}(0) \geq 0 \quad (2.18)$$

u stacionárních náhodných procesů bez periodické složky platí

$$\begin{aligned} K'_{xx}(\pm \infty) &= 0 \\ R'_{xx}(\pm \infty) &= M_x^2 \end{aligned} \quad (2.19)$$

Moment druhého řádu v čase realizace stacionárního náhodného procesu  $x(t)$  je rovněž autokorelační funkci

$$R_{xx}(\tau) = x(t)x(t+\tau) \quad (2.20)$$

Pro realizaci, která je spojiteu funkci času, platí

$$R_{xx}(\tau) = \lim_{T \rightarrow \infty} \frac{1}{T} \int_{-T/2}^{T/2} x(t)x(t+\tau) dt \quad (2.21)$$

a pro diskrétní funkci času

$$R_{xx}(\tau) = \lim_{n \rightarrow \infty} \frac{1}{2n+1} \sum_{k=-n}^n x(t_k)x(t_k+\tau) \quad (2.22)$$

kde  $\tau$  je celistvým násobkem časového intervalu

$$\tau = r T_v \quad (r=0,+1,+2,\dots) \quad (2.23)$$

Porovnáním výrazu (2.11) a (2.21), (2.12) a (2.22) dostaneme

$$R_{xx}(0) = \overline{x^2} \quad (2.24)$$

U ergodického náhodného procesu  $x(t)$  je autokorelační funkce sebou (2.14) rovna autokorelační funkce v čase (2.20)

$$E[x(t)x(t+\tau)] = \overline{x(t)x(t+\tau)} \quad (2.25)$$

Charakteristickou hodnotou autokorelační funkce je interval korelace

$$\tau_k = \int_0^\infty \rho_{xx}(\tau) d\tau \quad (2.25a)$$

Maximální interval korelace  $\tau_{km}$  [91,94] je taková hodnota  $\tau$  při níž má autokorelační funkce v normalizovaném tvaru  $\rho_{xx}(\tau)$  hodnotu 0,05 a při  $\tau > \tau_m$  ji nepřesahuje.

Ze vztahu (2.20) vyplývá, že autokorelační funkce periodického signálu  $x(t)$  je rovněž periodická s periodou rovnou periodě signálu.

Pomocí autokorelační funkce je možno rozlišit náhodné procesy od periodických, ev. odkrýt periodickou složku ve směsi náhodných složek.

K autokorelační funkci náhodného procesu  $x(t)$  lze dospět, s využitím Wiener-Chinčinova teorému [91], Fourierovou transformací oboustranné výkonové spektrální hustoty  $S_{xx}(f)$

$$R_{xx}(\tau) = \int_{-\infty}^{\infty} S_{xx}(f) e^{j2\pi f\tau} df \quad (2.26)$$

nebo vzhledem k tomu, že výkonová spektrální hustota je soudou funkcí, vztahem

$$R_{xx}(\tau) = \int_{-\infty}^{\infty} S_{xx}(f) \cos 2\pi f\tau df \quad (2.27)$$

Obdobné vztahy platí pro  $R'_{xx}(\tau)$  a  $S'_{xx}(f)$ . V technické praxi se používá častěji jednostranná výkonová spektrální hustota definovaná v intervalu kladných frekvencí  $0 \leq f < \infty$ . Pak pro autokorelační funkci platí

$$R_{xx}(\tau) = \int_0^{\infty} G_{xx}(f) \cos 2\pi f \tau df \quad (2.28)$$

Obdobné vztahy platí též pro vzájemnou korelační funkci náhodného procesu  $x(t)$  v okamžiku  $t$  a souboru realizací náhodného procesu  $y(t)$  v okamžiku  $t' = t + \tau$ , tedy

$$R'_{xy}(t, t+\tau) = E[x(t) y(t+\tau)] \quad (2.29)$$

Vzájemná kovarianční funkce dvou centrovaných náhodných procesů bude

$$K'_{xy}(t, t+\tau) = E \left\{ [x(t) - \mu_x(t)] [y(t+\tau) - \mu_y(t+\tau)] \right\} \quad (2.30)$$

Přitom platí

$$K'_{xy}(t, t+\tau) = R'_{xy}(t, t+\tau) - \mu_x(t) \mu_y(t+\tau) \quad (2.31)$$

Běžně se užívá také normalizovaného tvaru vzájemné korelační funkce

$$\rho'_{xy}(t, t+\tau) = \frac{K'_{xy}(t, t+\tau)}{\sigma_x(t) \sigma_y(t+\tau)} \quad (2.32)$$

U stacionárních náhodných procesů platí

$$R'_{xy}(\tau) = R'_{yx}(\tau) \quad (2.33)$$

a vzájemná korelační funkce má velikost

$$\left| R'_{xy}(\tau) \right|^2 \leq R'_{xx}(0) R'_{yy}(0) \quad (2.34)$$

Vzájemná korelační funkce v čase mezi realizací  $x(t)$  náhodného procesu a posunutou realizací náhodného procesu  $y(t)$  je dána vztahem

$$R_{xy}(\tau) = \overline{x(t)y(t+\tau)} \quad (2.35)$$

$$R_{yx}(\tau) = \overline{x(t+\tau)y(t)} \quad (2.36)$$

Jsou-li realizace  $x(t)$  a  $y(t)$  spojité funkci času, je vzájemná korelační funkce

$$R_{xy}(\tau) = \lim_{T \rightarrow \infty} \frac{1}{T} \int_{-T/2}^{T/2} x(t)y(t+\tau) dt \quad (2.37)$$

Pro diskrétní časové řady platí

$$R_{xy}(\tau) = \lim_{n \rightarrow \infty} \frac{1}{2n+1} \sum_{k=-n}^n x(t) y(t+\tau) \quad (2.38)$$

Pro ergodické procesy platí

$$R'_{xy}(\tau) = R_{xy}(\tau) \quad (2.39)$$

Jsou-li uvažované náhodné procesy nekorelované, je jejich vzájemná kovariacioní funkce nulová pro všechna posunutí

$$K_{xy}(\tau) = 0 \quad \text{pro všechna } \tau \quad (2.40)$$

a vzájemná korelační funkce

$$R_{xy}(\tau) = \mu_x \mu_y \quad \text{pro všechna } \tau \quad (2.41)$$

Vzájemnou korelační funkci lze, podobně jako (2.26) získat inverzí Fourierovou transformaci vzájemné výkonové spektrální hustoty  $S_{xy}(f)$

$$R_{xy}(\tau) = \int_{-\infty}^{\infty} S_{xy}(f) e^{j2\pi f\tau} df \quad (2.42)$$

ev.

$$R_{xy}(\tau) = \int_0^{\infty} G_{xy}(f) e^{j2\pi f\tau} df \quad (2.43)$$

používáme-li jednostranné vzájemné výkonové spektrální hustoty definované rovněž pro kladné frekvence.

### 2.3.3. Výkonová spektrální hustota

Frekvenční spektra popisují, podobně jako u deterministických jevů, vlastnosti náhodných procesů. Stejně jako korelační funkce lze frekvenční spektrum definovat buď pro soubor realizací nebo pro průběh jedné, dostatečně dlouhé, realizace. Pro každou realizaci dostaneme pomocí Fourierovy transformace frekvenční spektrum

$$X_T(f) = \int_{-\infty}^{\infty} x(t) e^{-j2\pi ft} dt = \int_{-T/2}^{T/2} x(t) e^{-j2\pi ft} dt \quad (2.44)$$

Závislost  $\frac{1}{T} |X_T(f)|^2$  se nazývá periodogram.

Střední hodnota souboru těchto funkcí pro  $T \rightarrow \infty$  se nazývá spektrální výkonová hustota náhodného procesu  $x(t)$  a je vyjádřena vztahem

$$S_{xx}(f) = \lim_{T \rightarrow \infty} E \left\{ \frac{1}{T} |X_T(f)|^2 \right\} \quad (2.45)$$

Vzhledem k tomu, že  $X_T(f)$  je funkci komplexní, platí

$$|X_T(f)|^2 = X_T(f) X_T^*(f) \quad (2.46)$$

kde  $\ast$  je označena komplexní konjugovanost.

Pro realizaci náhodného procesu  $x(t)$  v intervalu

$\langle -T/2; T/2 \rangle$  je výkonová spektrální hustota dána výrazem

$$S_{xx}(f) = \lim_{B \rightarrow 0} \frac{1}{B} \lim_{T \rightarrow \infty} \frac{1}{T} \int_{f-B/2}^{f+B/2} |X_T(f)|^2 df \quad (2.47)$$

V případě, že existuje druhá limita, platí

$$S_{xx}(f) = \lim_{T \rightarrow \infty} \frac{1}{T} |X_T(f)|^2 \quad (2.48)$$

Pro ergodické procesy platí

$$S_{xx}(f) = S'_{xx}(f) \quad (2.49)$$

a výkonová spektrální hustota je sudou funkcí frekvence

$$S_{xx}(-f) = S_{xx}(f) \quad (2.50)$$

V technické praxi je vhodnější pracovat s jednostrannou výkonovou spektrální hustotou  $G_{xx}(f)$

$$G_{xx}(f) = \begin{cases} 2S_{xx}(f) & \text{pro } 0 \leq f < \infty \\ 0 & \text{pro ostatní } f \end{cases} \quad (2.51)$$

která je definována pro kladné frekvence  $0 \leq f < \infty$ . V některých případech je vhodnější pracovat mísť s frekvencí  $f$  naopak s úhlovou frekvencí  $\omega$  a mezi příslušnými spektrálními výkonovými hustotami platí vztah

$$S_{xx}(f) = 2\pi \Psi_{xx}(\omega) \quad (2.52)$$

Frekvenční spektrum, které pro spojité realizaci má tvar vztahu (2.44) se pro diskrétní realizaci náhodné časové

řady s hodnotami  $x$  definovanými v okamžicích  $t_k = k \cdot T_v$   
 $(k = 0, +1, +2, \dots, +n)$  vypočte

$$X_n(f) = T_v \sum_{k=0}^n x(t_k) e^{-j2\pi f t_k} \quad (2.53)$$

Se spektrální výkonovou hustotou

$$S_{xx}(f) = \lim_{n \rightarrow \infty} \frac{1}{2n+1} \left[ \left\{ \frac{1}{T} |X_n(f)|^2 \right\} \right] \quad (2.54)$$

U ergodické náhodné časové řady se výkonová spektrální hustota určí z výrazu

$$S_{xx}(f) = \lim_{n \rightarrow \infty} \frac{1}{(2n+1)T_v} |X_n(f)|^2 \quad (2.55)$$

Pedle Wienera - Chinčinova teorému je výkonová spektrální hustota náhodného procesu  $x(t)$  Fourierovou transformací jeho autokorelační funkce

$$S_{xx}(f) = \int R_{xx}(\tau) e^{-j2\pi f \tau} d\tau \quad (2.56)$$

Výkonová spektrální hustota popisuje vlastnosti náhodného procesu a vzájemná výkonová spektrální hustota pak vztah mezi dvěma (i více) náhodnými procesy.

Vzájemná výkonová spektrální hustota dvou realizací náhodných procesů  $x(t)$  s  $y(t)$  se určí z výrazu

$$S'_{xy}(f) = \lim_{T \rightarrow \infty} \left[ \left\{ \frac{1}{T} X_T^*(f) Y_T(f) \right\} \right] \quad (2.57)$$

U ergodických procesů platí

$$S_{xy}(f) = S'_{xy}(f) \quad (2.58)$$

Obecné vlastnosti vzájemných výkonových spektrálních hustot se vyjádří rovnostmi

$$S_{xy}(-f) = S_{xy}(f) = S_{xy}^*(f) \quad (2.59)$$

$$\left| S_{xy}(f) \right|^2 = S_{xx}(f) S_{yy}(f) \quad (2.60)$$

Rovněž pro jednostrannou vzájemnou výkonovou spektrální hustotu lze použít ekvivalentní výraz, jako je (2.51) pro

$$G_{xy}(f) = 2 S_{xy}(f) \quad (2.61)$$

Vzhledem k tomu, že se jedná o funkci komplexní proměnné, lze

$$G_{xy}(f) = \left| G_{xy}(f) \right| e^{-j\varphi_{xy}(f)} \quad (2.62)$$

kde  $\varphi_{xy}$  je fáze,

eventuálně v ortogonálním tvaru

$$G_{xy}(f) = C_{xy}(f) - j Q_{xy}(f) \quad (2.63)$$

zde  $C_{xy}(f)$  je tzv. koincidenční spektrální hustota a imaginární část  $Q_{xy}(f)$  je tzv. kvadraturní spektrální hustota.

Pro koincidenční a kvadraturní spektrální hustotu platí

$$\begin{aligned} C_{xy}(-f) &= C_{xy}(f) \\ Q_{xy}(-f) &= Q_{xy}(f) \end{aligned} \quad (2.64)$$

Vzájemná výkonová spektrální hustota diskrétních náhodných časových řad

$$S_{xy}(f) = \lim_{n \rightarrow \infty} \frac{1}{(2n+1)T} X_n^*(f) Y_n(f) \quad (2.65)$$

přičemž  $X_n(f)$  a  $Y_n(t)$  se vypočte Fourierovou transformací podle (2.53). Vzájemnou výkonovou spektrální hustotu je mož-

no určit Fourierovou transformaci vzájemné korelační funkce procesů  $x(t)$  a  $y(t)$

$$S_{xy}(f) = \int_{-\infty}^{\infty} R_{xy}(\tau) e^{-j2\pi f\tau} d\tau \quad (2.66)$$

Určení dynamických vlastností pohybovacích pruzin používaných ve vibroisolátorech je možné vycházet ze dvou přístupů - deterministického [106] a saschistického [107]. Váha jednotky základního přístupu je dán jednak metodikou získání výsledků experimentu a hranou mezirostí experimentálních výsledků.

Pro volbu deterministického přístupu novější jednoduchou metodu zpracování výsledků můžeme. Pro určení dynamických vlastností je však třeba provést experiment v několika různých frekvencích a případě definovanou nepříručnou sledování vlivem brzdy pro akcelerometrický přístup je obecně speciální posloupnost experimentů, kterým může vztah, při použití zpracování výsledků, neodpovídat vzhledem k blízké větší vzdálenosti. Současně významný je faktor stabilitu, které může být dosažen výběrem vhodného typu zpracování.

Vzhledem k tomu, že můžeme využít všechny dostupné měřicí přístroje k měření korelačních funkcí mezi vstupními korelačními funkciemi, můžeme tak mít možnost využít všechny akcelerometrické a měřicí zařízení vyroběné v různých zemích. Díky tomu můžeme využít mnoho přesných experimentů měřených v různých zemích na vývoji experimentální

### 3.0. PROSTŘEDKY A METODY EXPERIMENTU

Tato část práce popisuje experimentální zařízení, podmínky experimentu pro vybranou skupinu pěti typů dříve popsaných jednovlnových vlnovcových pneumatických pružin.

#### 3.1. Experimentální zařízení

Při určování dynamických vlastností pneumatických pružin používaných ve vibroizolátorech je možno vycházet ze dvou přístupů - deterministického [106] a stochastického [107]. Volba jednoho z těchto přístupů je dána jednak metodikou zpracování výsledků experimentu a hlavně možnostmi experimentálního zařízení.

Pro volbu deterministického přístupu hovoří jednodušší metoda zpracování výsledků měření. Pro určení dynamických vlastností je však třeba provést experiment v celém rozsahu frekvencí s přesně definovanou amplitudou sledované veličiny.

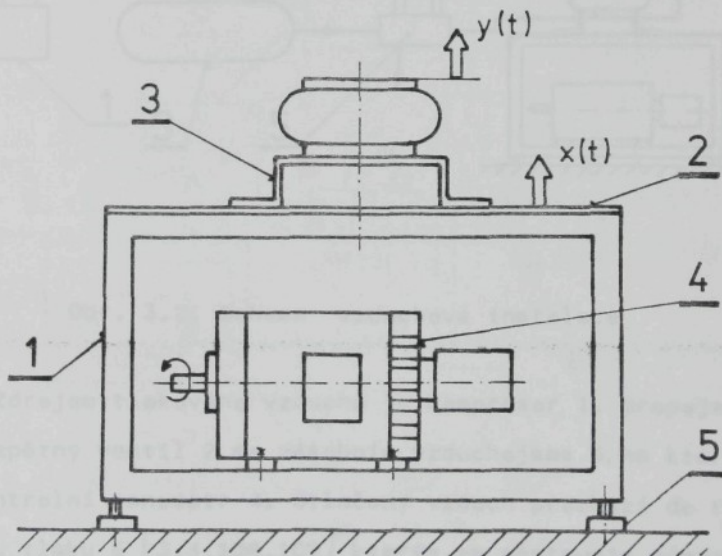
Naopak pro stochastický přístup je charakteristický poměrně jednoduchý experiment, který obecně vzato, při použití výpočetní techniky, nepotřebuje ani příliš složité měřicí zařízení. Samozřejmě existují měřicí aparatury, které naměřené údaje ve spojení s výpočetní technikou zpracovávají.

Vzhledem k tomu, že na KST VŠST nejsou k dispozici měřicí přístroje k měření korelačních funkcí ani vzájemných korelačních funkcí, rovněž tak nelze změřit vzájemnou výkonovou spektrální hustotu a není zde ani zařízení vymlávající (produkující) definované vibrace, bylo nutné před započetím experimentů navrhnut a vyrobit jednoduché experimentální

zařízení, kterým je možné vyvolat náhodné vibrace (s omezeným spektrem a s deterministickou složkou).

Měřicí technika je na katedře zastoupena zařízením pro měření mechanického kmitání formy RFT (NDR) Schwingungsmessgerät SM 231 s piezoelektrickými snímači zrychlení KD 35 a dále Tertzoktawanalysator TGA 01003 pro 1/1 a 1/3 oktávovou analýzu kmitání v rozsahu 2 Hz až 63 kHz. Pro současný záznam vstupního budicího signálu a odezvy na něj se používal osmismyčkový osciloskop Acht Kanal-Lichtschreiber 8LS1, rovněž firmy RFT.

Zdrojem náhodných vibrací je zařízení schematicky znázorněné na obr. 3.1. Skládá se z rámu 1, který je svařen z ocelových Jäckelových uzavřených profilů. V horní části rámu je šrouby upevněna ocelová rezonanční deska 2, na niž se upevňují tvarové přírudy 3, jejichž uchycování rozměry jsou stej-

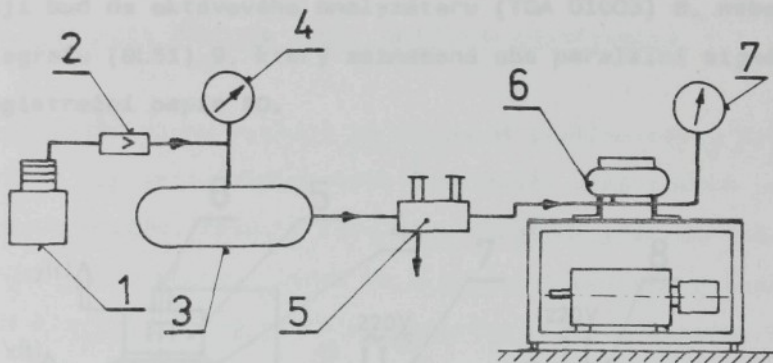


Obr.3.1. Vibrační zařízení

né pro všechny typy zkoumaných pružin. Na tvarové přírudy se připevňují přírudy pneumatických pružin s snímače zrychlení. Je zde rovněž šroubení pro přivedení tlakového vzduchu.

Ve spodní části rámu je na patkách upevněn elektromotor **4** o výkonu **1,7 kW** s regulátorem stářek **ROME**. Celé zařízení je možno pomocí stavěcích šroubů **5** s opěrnými hlavami vyrovnat do vodorovné polohy.

Všechny pneumatické pružiny potřebují pro svou funkci stlačený vzduch. Proto je nevyhnutelnou částí experimentálního zařízení i vzduchová instalace, která je schematicky znázorněna na obr. 3.2.

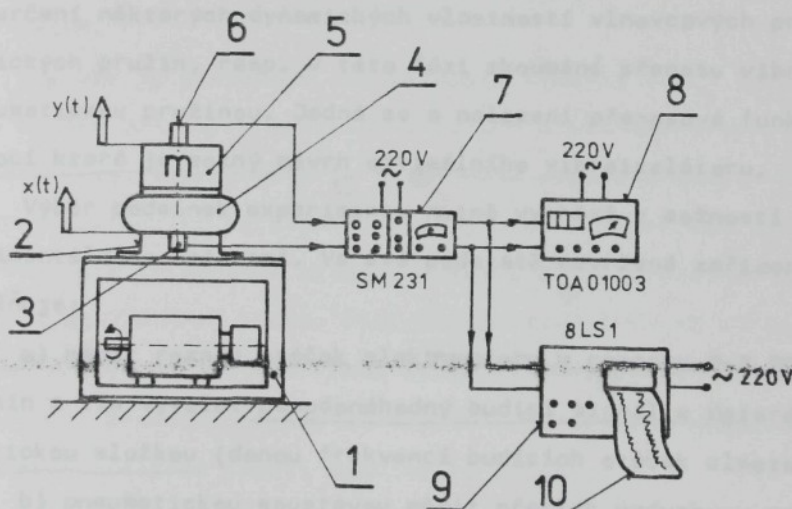


Obr. 3.2. Schéma vzduchové instalace

Zdrojem tlakového vzduchu je kompresor **1**, propojený přes zpětný ventil **2** se zásobním vzduchojemem **3**, na kterém je kontrolní manometr **4**. Stlačený vzduch prochází do regulačního tlaku **5** [3,4,108,109] kterým se nastavuje předepsaný (experimentem požadovaný) tlak v pneumatické pružině **6**. Nastavený tlak je kontrolovaný přistrejovým kontrolním manometrem **7**.

rem 7. K propojení je používána pryžová hadice Je4 ČSN 63 5030.

Na obr. 3.3 je schéma zapojení měřicí a registrační části zařízení. Na zdroji náhodných vibrací 1 je na tvarové příručce 2 upevněn piezoelektrický snímač 3, který snímá budoucí vstupní signály (v tomto případě zrychlení)  $x(t)$  a přicházející na spodní část pneumatické pružiny. Tyto signály se průchodem přes pružinu 4 transformují na výstupní signál (odezvu)  $y(t)$ , kterým je rovněž zrychlení. Odezva  $y$  na vstupní signál  $x$  je snímána piezoelektrickým snímačem 6 a paralelně se vstupním signálem přenášena do přístroje (SM 231) 7, kterým je možno určit hladiny efektivních hodnot zrychlení. Odtud signály postupují buď do oktávového analyzátoru (TOA 01003) 8, nebo do osciloskopu (8LS1) 9, který zaznamená oba paralelní signály na registrační papír 10.



Obr. 3.3. Schéma zapojení měřicího a registračního zařízení

### 3.2. Návrh experimentu

Při návrhu experimentu se vychází z nutnosti získat co největší rozsah informací o zkoumaných pneumatických pružinách. Každý experiment musí pro splnění této podmínky obsahovat tyto etapy [106, 107]

- a) definovat úlohu a vybrat podmínky experimentu,
- b) provést vlastní experiment se shřením dat,
- c) zpracování výsledků experimentu,
- d) analýzu výsledků experimentu.

#### 3.2.1. Definice úlohy a výběr podmínek experimentu

Definice úlohy vychází ze zkoumané problematiky, kterou je určení některých dynamických vlastností vlnovcových pneumatických pružin, resp. v této fázi zkoumaná přenosu vibrací pneumatickou pružinou. Jedná se o nalezení přenosové funkce, pomocí které je možný návrh optimálního vibroizolátoru.

Výběr podmínek experimentu nutně vychází z možnosti experimentálního zařízení. Ve své podstatě navržené zařízení umožňuje:

- a) měnit rozsah otáček elektromotoru v rozsahu 0-2 800 ot/min a tím vyvolat pseudonáhodný budící signál s deterministickou složkou (danou frekvencí budicích otáček elmotoru),
- b) pneumatickou soustavou měnit přetlak vzduchu v pneumatické pružině v rozsahu 0-0,7 MPa (extrémně možno dosáhnout tlaku 1,0 MPa), těmito změnami přetlaku vyvolat změnu únosnosti pneumatických pružin,
- c) měnit nosnou plochu pneumatické pružiny tím, že do tva-

- rové příruby je uchycena další ze sady zkoumaných pružin,
- d) měnit zatížení pneumatické pružiny výměnou závaží umístěného na pružině,
  - e) určit a registrovat průběh zrychlení, resp. efektivních hodnot zrychlení,
  - f) provádět 1/1 oktávovou a 1/3 oktávovou analýzu efektivních hodnot zrychlení v rozsahu 2 Hz-63 kHz (prakticky se analýza provádí podle druhu snímačů v rozsahu 5 Hz-31,5 kHz).
  - g) vyvolat skokovou funkci,
  - h) provést současný časový záznam dvou paralelních signálů.

### 3.3. Vlastní experiment

Průběh vlastního experimentu je rozdělen do dvou základních úseků.

V prvním je prováděna 1/3 oktávová analýza všech pěti typů pružin při dvou budicích otáčkách elektromotoru. V počáteční fázi, experimentu je frekvenčně zkoumána odezva na vstupní vibrace pouze pláště pružiny (vnitřní přetlak  $p_p = 0$ ), v další fázi je podobně zkoumána odezva při přetlácích ( $p_p = 0,2; 0,5 \text{ MPa}$ ) a dvou hmotnostech závaží ( $m_z = 5,1; 8,9 \text{ kg}$ ). V obou fázích je vždy dodržena budící frekvence otáček elektromotoru, přesnost nastavební otáček kontrolovaná nastavením velikosti budicího napětí regulátoru otáček.

V druhém úseku experimentů se provádí paralelní časový záznam průběhu zrychlení spodní části pneumatické pružiny a odezva na horním viku pružiny při dodržení podmínek stejných jako při 1/3 oktávové analýze.

#### 4.0 ZPRACOVÁNÍ VÝSLEDKU MĚŘENÍ

Měření, jak je uvedeno v předešlé kapitole, je prováděno ve dvou úrovních. V prvé je prováděna 1/3 oktávová analýza průběhu efektivních hodnot vstupních a výstupních zrychlení. Ve druhé je prováděn simultánní paralelní záznam časových průběhu zrychlení.

##### 4.1. Výpočet veličin potřebných pro analýzu vibroizolačních schopností PP

Výpočet vychází z naměřených celkových hladin efektivních hodnot zrychlení v osovém (podélném) směru PP. Vstupní veličina je označena  $a_{vij}$  a výstupní pak  $a_{p_{ij}}$ , kde index i označuje číslo pružiny a j číslo měření. Dále se vychází z naměřených podílů efektivních hodnot zrychlení jednotlivých frekvenčních pásem na příslušných celkových hladinách,  $F_{vij}(f_k)$  resp.  $F_{p_{ij}}(f_k)$  ve směru podélné osy PP.

Pro jednodušší zhodnocení měření a snazší orientaci o získaných výsledcích je výhodné vztáhnout veličiny  $F_{vij}(f_k)$  a  $F_{p_{ij}}(f_k)$  ke zvolené vztažné hladině A efektivních hodnot měřené veličiny. Hodnoty podílů efektivních hodnot vstupního  $F_{vij}(f_k)$  a výstupního  $F_{p_{ij}}(f_k)$  procesu lze určit ze vztahů

$$F_{vij}(f_k) = 20 \log \frac{a_{vij}(f_k)}{A} = 10 \log \frac{a_{vij}^2(f_k)}{A^2} \quad (4.1)$$

$$F_{p_{ij}}(f_k) = 20 \log \frac{a_{p_{ij}}(f_k)}{A} = 10 \log \frac{a_{p_{ij}}^2(f_k)}{A^2}$$

Z rovnic (4.1) lze vyjádřit  $a_{vi}(f_k)$  i  $a_{pi}(f_k)$ , což jsou efektivní hodnoty zrychlení vstupního a výstupního procesu v jednotlivých frekvenciálních pásmech příslušných frekvencí  $f_k$  ve tvaru

$$\begin{aligned} a_{vi_j}(f_k) &= A 10^{0,05 F_{vi_j}(f_k)} = A 10^{0,1 F_{vi_j}(f_k)} \\ a_{pi_j}(f_k) &= A 10^{0,05 F_{pi_j}(f_k)} = A 10^{0,1 F_{pi_j}(f_k)} \end{aligned} \quad (4.2)$$

V [112] je uveden poměrový součinitel  $\lambda_{vp}$ , který udává vztah mezi vstupní veličinou  $a_{vi_j}(f_k)$  a výstupní veličinou  $a_{pi_j}(f_k)$  v určitém frekvenciálním pásmu  $f_k$

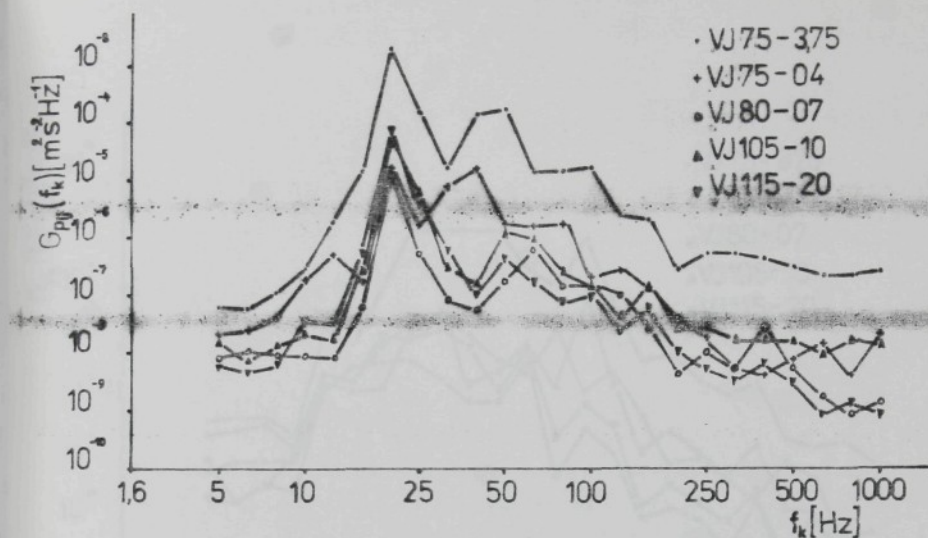
$$\lambda_{vp_{ij}} = 10^{0,05 [F_{vi_j}(f_k) - F_{pi_j}(f_k)]} \quad (4.3)$$

Z průběhu opakovaných experimentů vyplývá, že efektivní hodnoty zrychlení jsou při neměnných provozních poměrech buzení, statisticky stálé veličiny a odpovídají výkonům na jednotlivých frekvenciálních pásmech se šírkou  $B_r$ . Proto z nich lze vypočítat spektrální výkonové hustoty efektivních hodnot zrychlení  $G(f_k)_{pi_j}^{vij}$ . Ze vztahu (4.2) lze po rozdělení výkonu na jednotku frekvence vypočítat výkonovou spektrální hustotu z výrazu

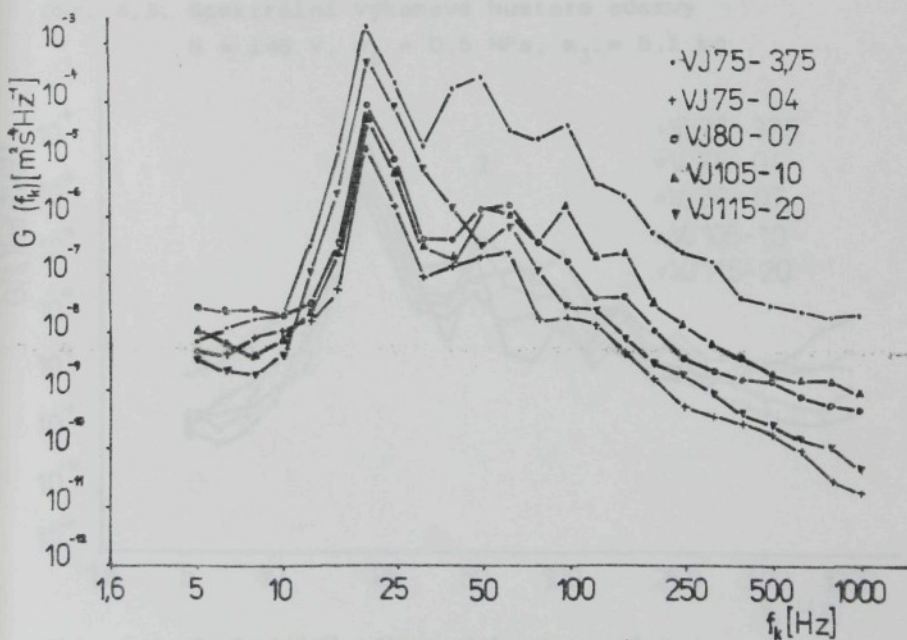
$$G_{vi_j}(f_k) = \frac{A^2}{B_r} 10^{0,1 F_{vi_j}(f_k)} \quad (4.4)$$

$$G_{pi_j}(f_k) = \frac{A^2}{B_r} 10^{0,1 F_{pi_j}(f_k)}$$

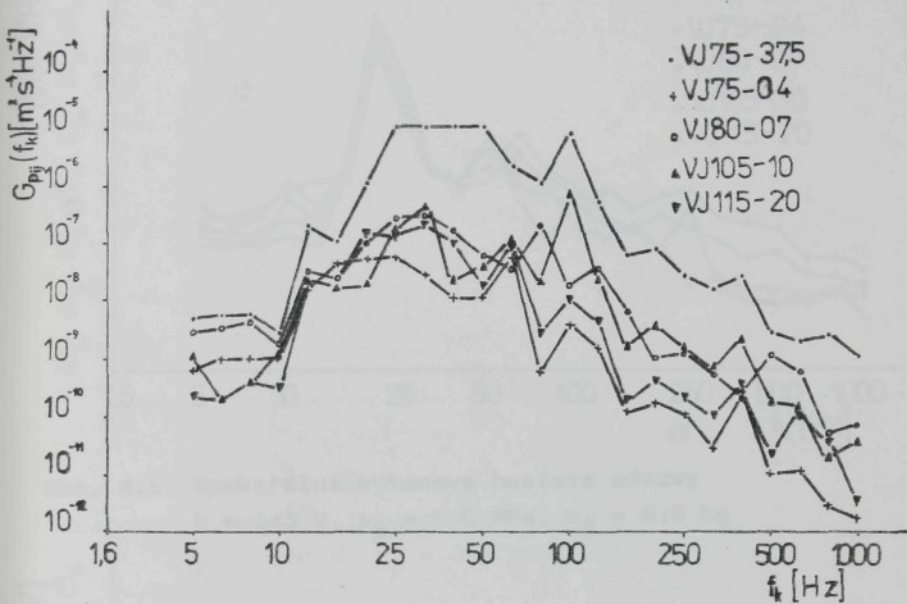
Na obr. 4.1 - 4.9 jsou znázorněny průběhy spektrálních výkonových hustot zrychlení výstupních procesů  $G_{pi_j}(f_k)$  pro jednotlivé pneumatické pružiny. Na obr. 4.10 je znázorněn průběh spektrálních výkonových hustot vstupních procesů



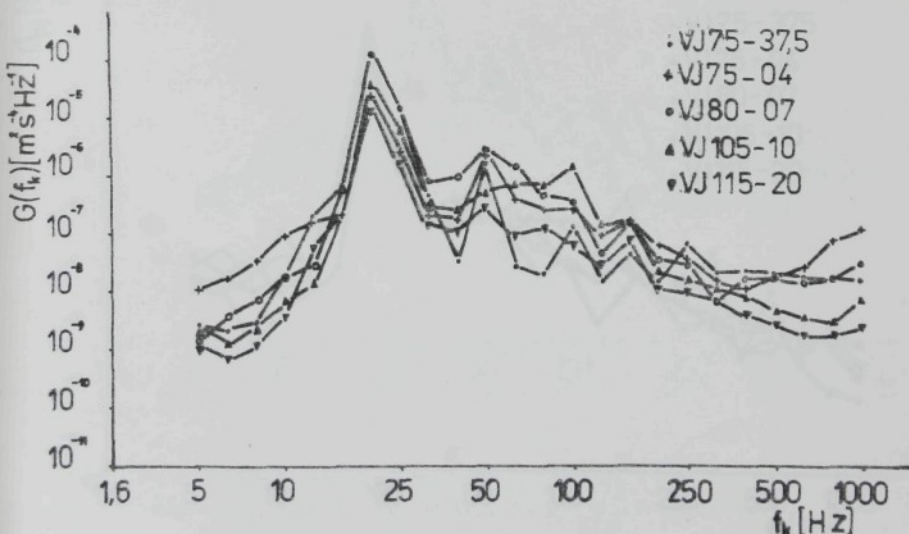
Obr. 4.1. Spektrální výkonová hustota odezvy  
 $b = 145 \text{ V}$ ,  $p_p = 0,0 \text{ MPa}$ ,  $m_1 = 4,1 \text{ kg}$



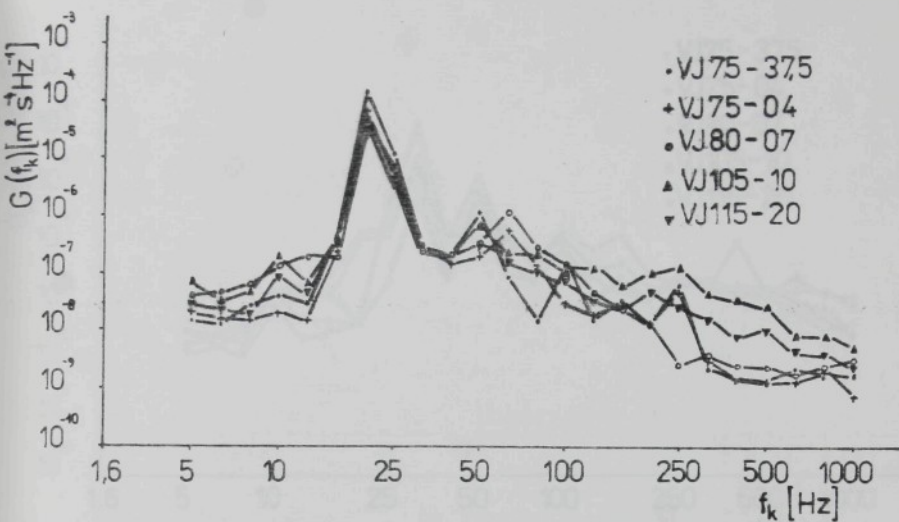
Obr. 4.2. Spektrální výkonová hustota odezvy  
 $b = 145 \text{ V}$ ,  $p_p = 0,2 \text{ MPa}$ ,  $m_1 = 5,1 \text{ kg}$



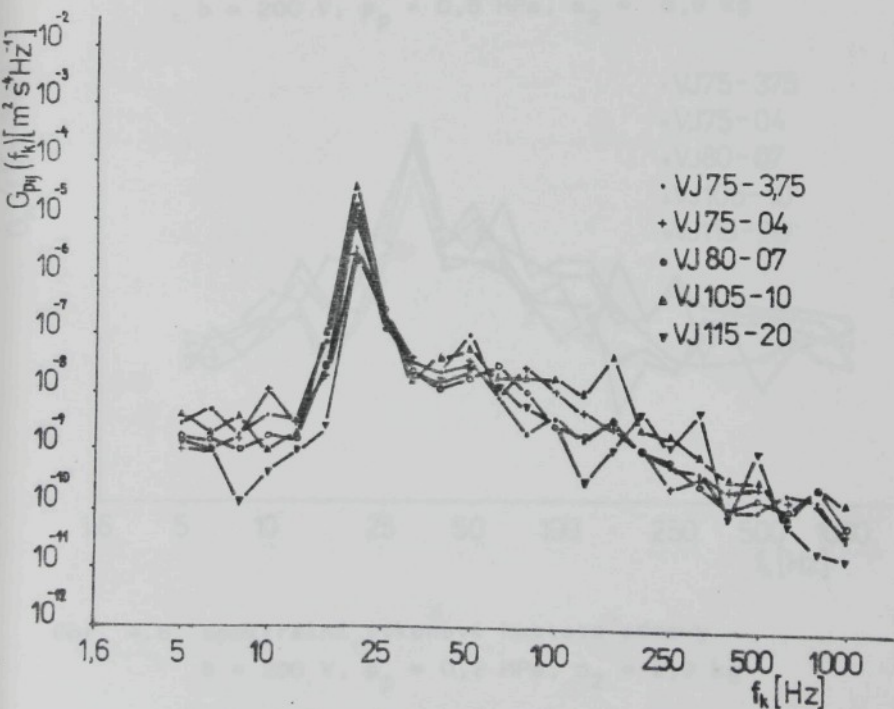
Obr. 4.3. Spektrální výkonová hustota odezvy  
 $b = 145 \text{ V}$ ,  $p_p = 0,5 \text{ MPa}$ ,  $m_1 = 5,1 \text{ kg}$



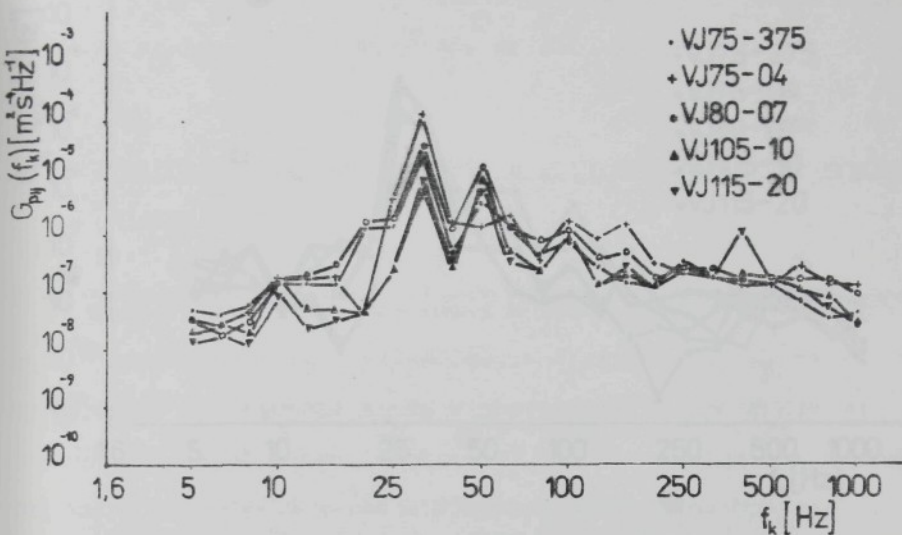
Obr. 4.4. Spektrální výkonová hustota odezvy  
 $b = 145 \text{ V}$ ,  $p_p = 0,0 \text{ MPa}$ ,  $m_1 = 8,9 \text{ kg}$



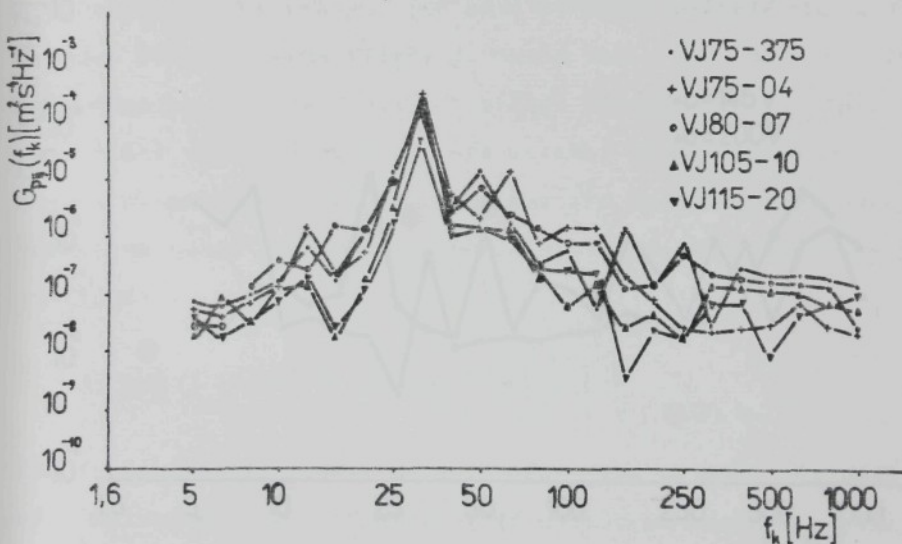
Obr. 4.5. Spektrální výkonová hustota odezvy  
 $b = 145 \text{ V}$ ,  $p_p = 0,0 \text{ MPa}$ ,  $m_2 = 8,9 \text{ kg}$



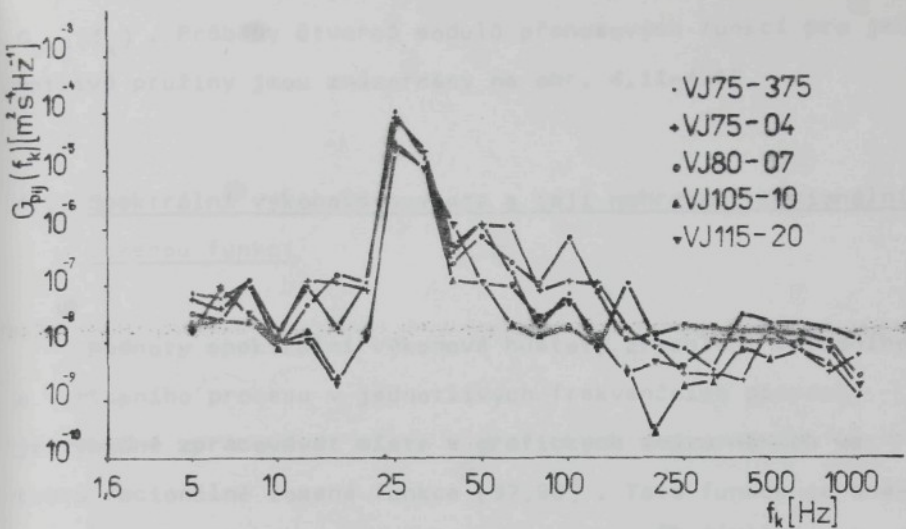
Obr. 4.6. Spektrální výkonová hustota odezvy  
 $b = 145 \text{ V}$ ,  $p_p = 0,5 \text{ MPa}$ ,  $m_2 = 8,9 \text{ kg}$



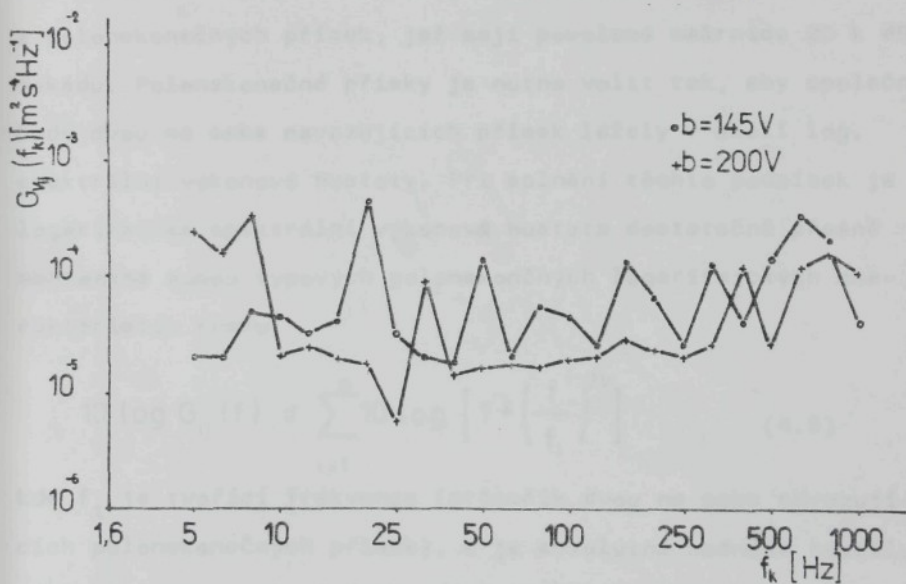
Obr. 4.7. Spektrální výkonová hustota odezvy  
 $b = 200 \text{ V}, p_p = 0,6 \text{ MPa}, m_2 = 8,9 \text{ kg}$



Obr. 4.8. Spektrální výkonová hustota odezvy  
 $b = 200 \text{ V}, p_p = 0,2 \text{ MPa}, m_2 = 8,9 \text{ kg}$



Obr. 4.9. Spektrální výkonová hustota odezvy  
 $b = 200 \text{ V}$ ,  $p_p = 0,5 \text{ MPa}$ ,  $m_2 = 8,9 \text{ kg}$



Obr. 4.10. Spektrální výkonová hustota vstupního  
procesu

$G_{vij}(f_k)$ . Průběhy čtverců modulů přenosových funkcí pro jednotlivé pružiny jsou znázorněny na obr. 4.11-4.19.

#### 4.2. Spektrální výkonová hustota a její nahrazení racionální lomenou funkcí

Hodnoty spektrální výkonové hustoty zrychlení vstupního a výstupního procesu v jednotlivých frekvenčních pásmech je výhodné zpracovávat místo v grafických znázorněních ve tvaru racionálně lomené funkce [97,98]. Tato funkce je analytickým vyjádřením průběhu výkonové spektrální hustoty.

Při tomto způsobu nahrazení je využito metody approximace spektrální výkonové hustoty  $G(f)$  lomenou křivkou složenou z polonekonečných přímek, jež mají povolené směrnice  $20 \text{ dB}/\text{dekádu}$ . Polonekonečné přímky je nutno volit tak, aby společné body dvou na sebe navazujících přímek ležely v okolí log. spektrální výkonové hustoty. Při splnění těchto podmínek je logaritmická spektrální výkonová hustota dostatečně přesně nahrazena sumou typových polonekonečných logaritmických charakteristik tvaru

$$10 \log G_{ij}(f) = \sum_{i=1}^n 10 \log \left[ 1 + \left( \frac{f}{f_i} \right)^{2k} \right] \quad (4.5)$$

kde  $f_i$  je tvořící frekvence (průsečík dvou na sebe navazujících polonekonečných přímek),  $k$  je absolutní hodnota rozdílu náklonu (směrnice) předcházející a následující přímky v místě  $f_i$ .

Aproximujeme-li tímto způsobem funkci  $G(f)$ , dostaneme pro logaritmickou spektrální výkonovou hustotu vztah

$G_{vij}(f_k)$ . Průběhy čtverců modulů přenosových funkcí pro jednotlivé pružiny jsou znázorněny na obr. 4.11-4.19.

#### 4.2. Spektrální výkonová hustota a její nahrazení racionální lomenou funkcí

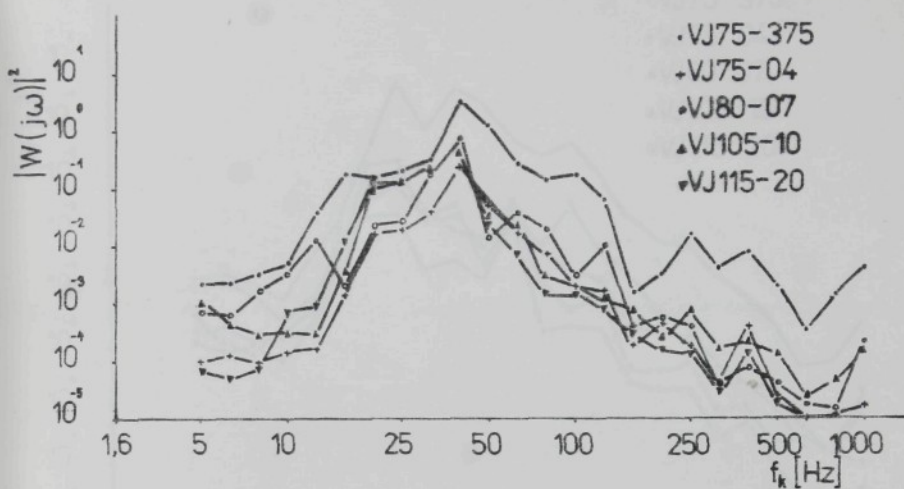
Hodnoty spektrální výkonové hustoty zrychlení vstupního a výstupního procesu v jednotlivých frekvenčních pásmech je výhodné zpracovávat místo v grafických znázorněních ve tvaru racionálně lomené funkce [97,98]. Tato funkce je analytickým vyjádřením průběhu výkonové spektrální hustoty.

Při tomto způsobu nahrazení je využito metody approximace spektrální výkonové hustoty  $G(f)$  lomenou křivkou složenou z polonekonečných přímek, jež mají povolené směrnice  $20 \text{ dB}/\text{dekádu}$ . Polonekonečné přímky je nutno volit tak, aby společné body dvou na sebe navazujících přímek ležely v okolí log. spektrální výkonové hustoty. Při splnění těchto podmínek je logaritmická spektrální výkonová hustota dostatečně přesně nahrazena sumou typových polonekonečných logaritmických charakteristik tvaru

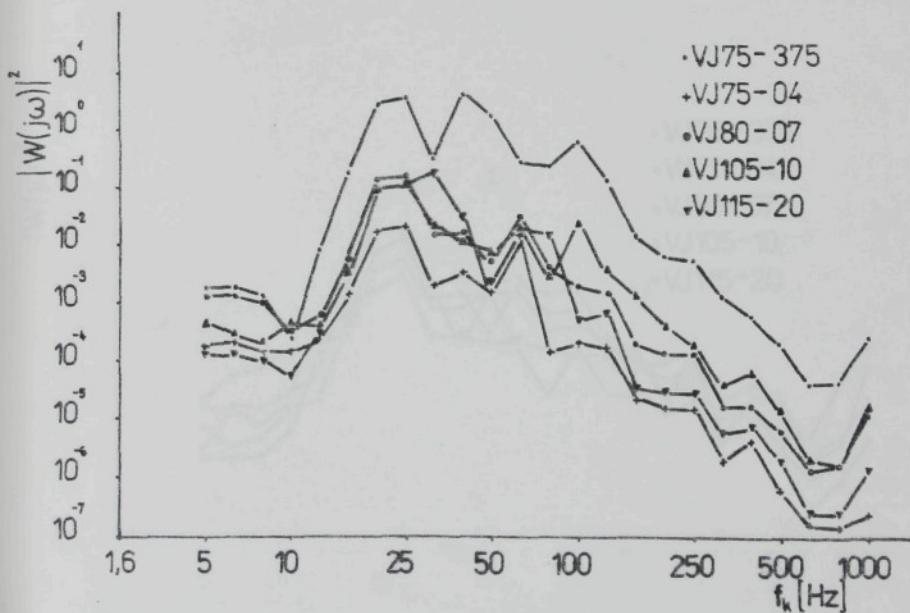
$$10 \log G_{ij}(f) = \sum_{i=1}^n 10 \log \left[ 1 + \left( \frac{f}{f_i} \right)^{2k} \right] \quad (4.5)$$

kde  $f_i$  je tvořící frekvence (průsečík dvou na sebe navazujících polonekonečných přímek),  $k$  je absolutní hodnota rozdílu náklonu (směrnice) předcházející a následující přímky v místě  $f_i$ .

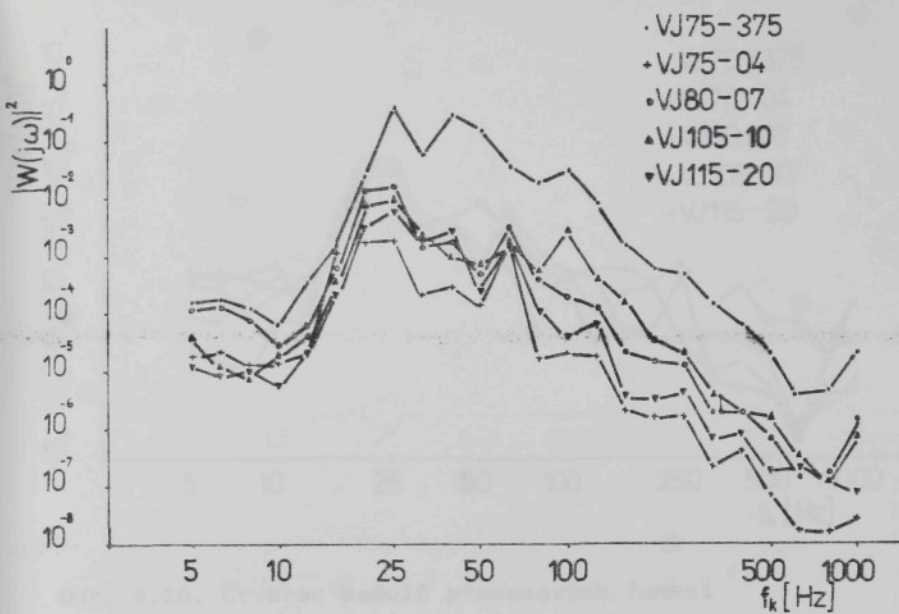
Aproximujeme-li tímto způsobem funkci  $G(f)$ , dostaneme pro logaritmickou spektrální výkonovou hustotu vztah



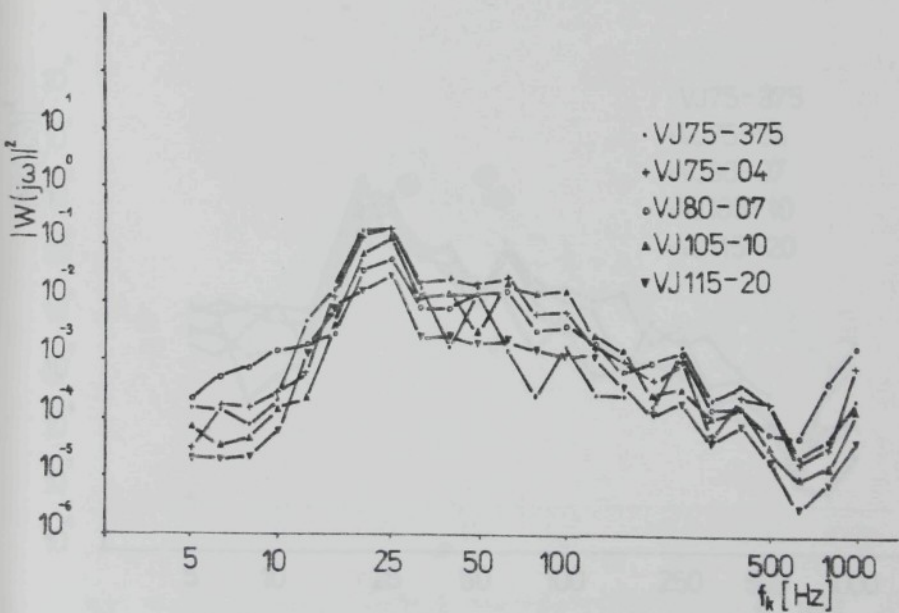
Obr. 4.11. Čtverec modulů přenosových funkcí  
 $b = 145 \text{ V}$ ,  $p_p = 0,0 \text{ MPa}$ ,  $m_1 = 5,1 \text{ kg}$



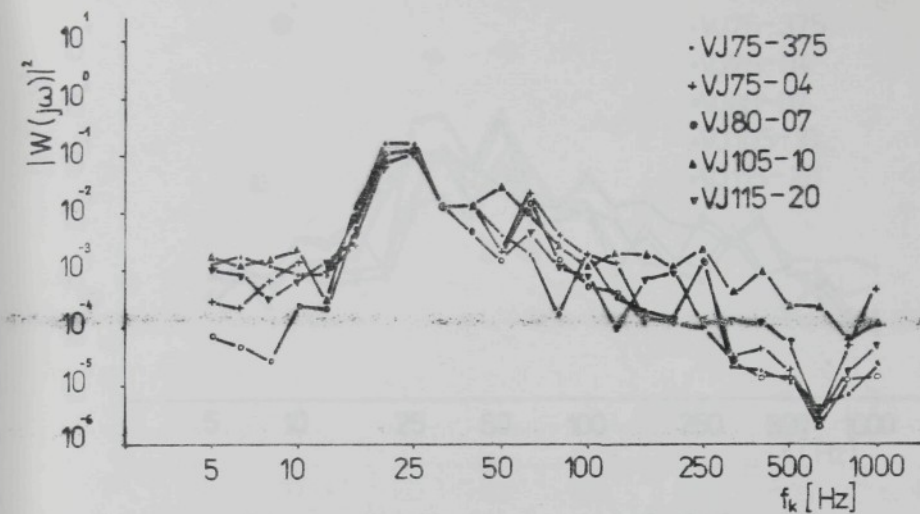
Obr. 4.12. Čtverec modulů přenosových funkcí  
 $b = 145 \text{ V}$ ,  $p_p = 0,5 \text{ MPa}$ ,  $m_1 = 5,1 \text{ kg}$



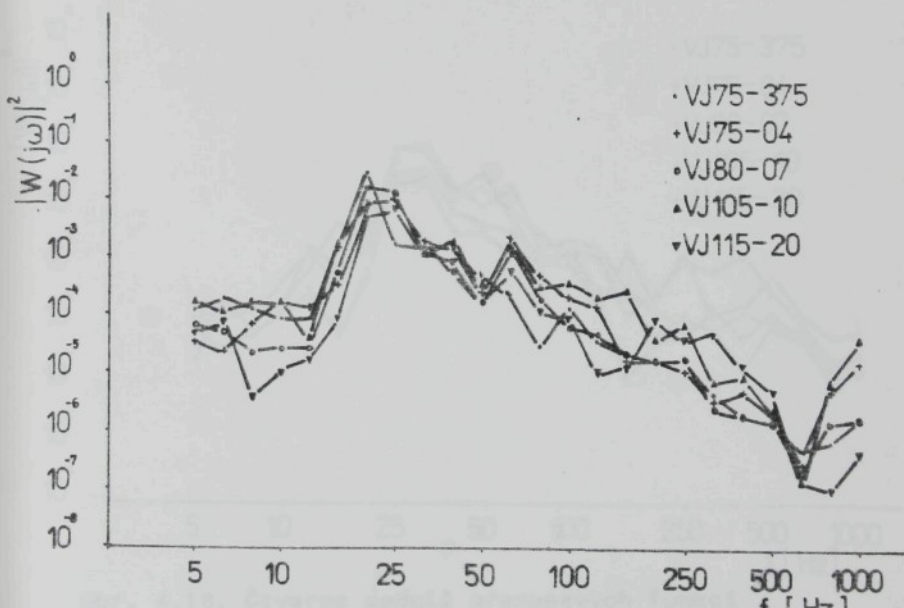
Obr. 4.13. Čtverec modulů přenosových funkcí  
 $b = 145 \text{ V}$ ,  $p_p = 0,8 \text{ MPa}$ ,  $m_1 = 5,1 \text{ kg}$



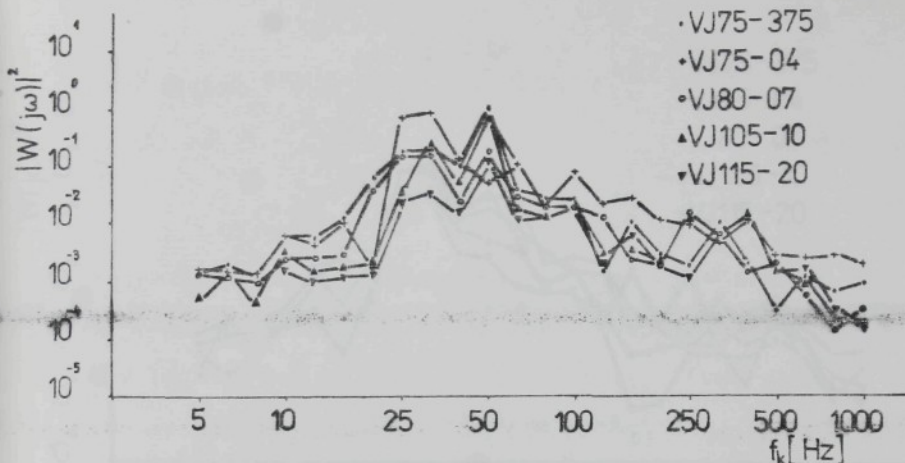
Obr. 4.14. Čtverec modulů přenosových funkcí  
 $b = 145 \text{ V}$ ,  $p_p = 0,0 \text{ MPa}$ ,  $m_2 = 8,9 \text{ kg}$



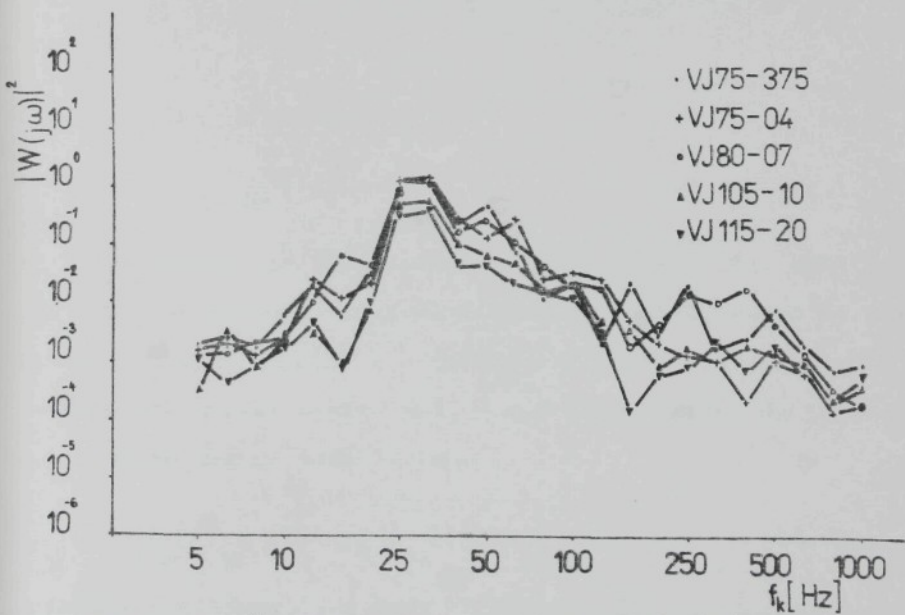
Obr. 4.15. Čtverec modulů přenosových funkcí  
 $b = 145 \text{ V}$ ,  $p_p = 0,2 \text{ MPa}$ ,  $m_2 = 8,9 \text{ kg}$



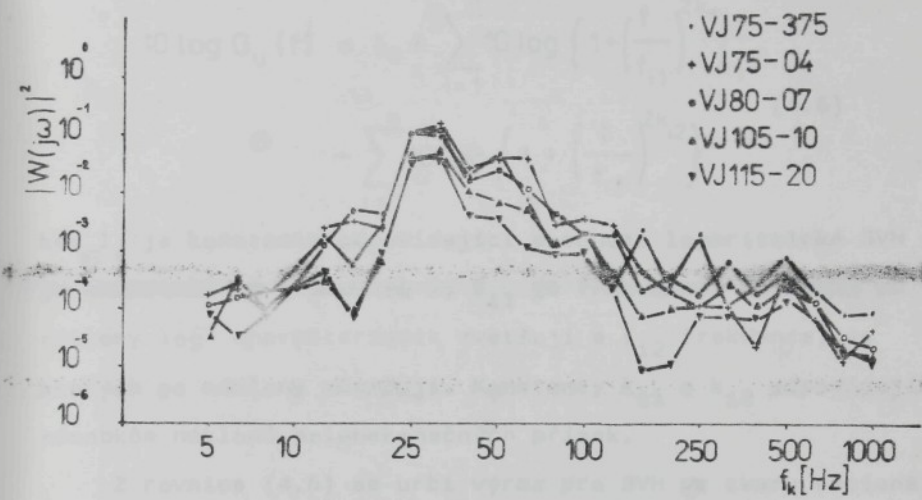
Obr. 4.16. Čtverec modulů přenosových funkcí  
 $b = 145 \text{ V}$ ,  $p_p = 0,5 \text{ MPa}$ ,  $m_2 = 8,9 \text{ kg}$



Obr. 4.17. Čtverec modulů přenosových funkcí  
 $b = 200 \text{ V}$ ,  $p_p = 0,0 \text{ MPa}$ ,  $m_2 = 8,9 \text{ kg}$



Obr. 4.18. Čtverec modulů přenosových funkcí  
 $b = 200 \text{ V}$ ,  $p_p = 0,2 \text{ MPa}$ ,  $m_2 = 8,9 \text{ kg}$



Obr. 4.19. Čtverec modulů přenosových funkcí  
 $b = 200 \text{ V}$ ,  $p_p = 0,2 \text{ MPa}$ ,  $m_2 = 8,9 \text{ kg}$

$$10 \log G_{ij}(f) = l_0 + \sum_{i=1}^n 10 \log \left\{ 1 + \left( \frac{f}{f_{i1}} \right)^{2k_{i1}} \right\} - \\ - \sum_{i=1}^n 10 \log \left\{ 1 + \left( \frac{f}{f_{i2}} \right)^{2k_{i2}} \right\} \quad (4.6)$$

kde  $l_0$  je konstanta odpovídající posunutí logaritmické SVH a je nezávislá na frekvenci  $f$ ;  $f_{i1}$  je frekvence, ve které se náklony log charakteristik zvětšují a  $f_{i2}$  frekvence, ve kterých se náklony změňují. Konstanty  $k_{i1}$  a  $k_{i2}$  odpovídají násobkům náklonů polonekonečných přímek.

Z rovnice (4.6) se určí výraz pro SVH ve tvaru racionální lomené funkce

$$G_{ij}(f) = C \frac{\prod_{i=1}^n \left[ 1 + \left( \frac{f}{f_{i1}} \right)^{2k_{i1}} \right]}{\prod_{i=1}^n \left[ 1 + \left( \frac{f}{f_{i2}} \right)^{2k_{i2}} \right]} \quad (4.7)$$

kde konstanta  $C$  je dána

$$C = 10^{0.1 l_0} \quad (4.8)$$

Prověde-li se approximace výsledků měření log. spektrální výkonové hustoty racionálně lomenou funkcí, získá se v podstatě odhad vyhlazené funkce. Z průběhu spektrálních výkonových hustot z obr. 4.1. - 4.9 přepočtených do logaritmických hodnot podle vztahu

$$G'_{vij}(f)_{\log} = 10 \log G_{vij}(f) \quad (4.9)$$

získáme pro jednotlivé sady PP následující racionálně lomené funkce

a) budicí napětí  $b = 145$  V, hmotnost  $m_1 = 5,1$  kg

přetlak  $p_p = 0 \text{ MPa}$

$$G_{yy}(f)_{11} = 10^{-8} \frac{\left[1 + \left(\frac{f}{6,3}\right)^6\right] \left[1 + \left(\frac{f}{50}\right)^6\right]}{\left[1 + \left(\frac{f}{20}\right)^{12}\right]} \quad (4.10)$$

přetlak  $p_p = 0,2 \text{ MPa}$

$$G_{yy}(f)_{12} = 10^{-8} \frac{\left[1 + \left(\frac{f}{6,3}\right)^6\right] \left[1 + \left(\frac{f}{160}\right)^2\right]}{\left[1 + \left(\frac{f}{20}\right)^8\right]} \quad (4.11)$$

přetlak  $p_p = 0,5 \text{ MPa}$

$$G_{yy}(f)_{13} = 10^{-9} \frac{\left[1 + \left(\frac{f}{4}\right)^2\right] \left[1 + \left(\frac{f}{80}\right)^2\right]}{\left[1 + \left(\frac{f}{25}\right)^4\right]} \quad (4.12)$$

b) budící napětí  $b = 145 \text{ V}$ , hmotnost  $m_2 = 8,9 \text{ kg}$

přetlak  $p_p = 0 \text{ MPa}$

$$G_{yy}(f)_{21} = 10^{-82} \frac{\left[1 + \left(\frac{f}{6,3}\right)^2\right] \left[1 + \left(\frac{f}{63}\right)^2\right]}{\left[1 + \left(\frac{f}{31,5}\right)^4\right]} \quad (4.13)$$

přetlak  $p_p = 0,2 \text{ MPa}$

$$G_{yy}(f)_{22} = 10^{-8} \frac{\left[1 + \left(\frac{f}{5}\right)^2\right] \left[1 + \left(\frac{f}{100}\right)^2\right]}{\left[1 + \left(\frac{f}{31,5}\right)^4\right]} \quad (4.14)$$

přetlak  $p_p = 0,5 \text{ MPa}$

$$G_{yy}(f)_{23} = 10^{-74} \frac{\left[1 + \left(\frac{f}{6,3}\right)^4\right] \left[1 + \left(\frac{f}{90}\right)^4\right]}{\left[1 + \left(\frac{f}{25}\right)^8\right]} \quad (4.15)$$

c) budicí napětí  $b = 200$  V, hmotnost  $m_2 = 8,9$

přetlak  $p_p = 0$  MPa

$$G_{yy}(f)_{31} = 10^9 \frac{\left[1 + \left(\frac{f}{5}\right)^6\right] \left[1 + \left(\frac{f}{40}\right)^2\right]}{\left[1 + \left(\frac{f}{20}\right)^8\right]} \quad (4.16)$$

přetlak  $p_p = 0,2$  MPa

$$G_{yy}(f)_{32} = 10^9 \frac{\left[1 + \left(\frac{f}{63}\right)^6\right] \left[1 + \left(\frac{f}{100}\right)^2\right]}{\left[1 + \left(\frac{f}{20}\right)^8\right]} \quad (4.17)$$

přetlak  $p_p = 0,5$  MPa

$$G_{yy}(f)_{33} = 10^8 \frac{\left[1 + \left(\frac{f}{6,3}\right)^4\right] \left[1 + \left(\frac{f}{90}\right)^4\right]}{\left[1 + \left(\frac{f}{25}\right)^8\right]} \quad (4.18)$$

Spektrální výkonovou hustotu vstupních procesů lze popsat stejným způsobem. Proložením polonekonečných přímek v blízkosti funkce, které jsou v tomto případě rovnoběžné s vodorovnou osou, dostaneme pro spektrální výkonovou hustotu vstupního procesu vztah

pro budicí napětí  $b = 145$  V

$$G_{xx}(f)_1 = \text{konst} = 10^{-4,1} \quad (4.19)$$

a pro budicí napětí  $b = 200$  V

$$G_{xx}(f)_2 = \text{konst} = 10^{-4,6} \quad (4.20)$$

Vzhledem k tomu, že mezi vstupním budicím procesem a odesvou na něj platí operátorový vztah (2.1), je možno s využitím Parsevalovy věty vypočít jednostranné spektrální výkonové hustoty odesvy  $G_{yy}(w)$  ze vztahu

$$\begin{aligned}
 G_{yy}(\omega) &= \lim_{T \rightarrow \infty} \frac{1}{2T} X(j\omega) X(-j\omega) \times \\
 &\quad \times W(j\omega) W(-j\omega) = \\
 &= G_{xx}(\omega) |W(j\omega)|^2
 \end{aligned} \tag{4.21}$$

Úpravou výrazu (4.21) lze získat vztah, který umožní vypočítat kvadrát modulu přenosové funkce

$$|W(j\omega)|^2 = \frac{G_{yy}(\omega)}{G_{xx}(\omega)} \tag{4.22}$$

resp. modul přenosové funkce, pro který se často užívá názvu amplitudová frekvenční charakteristika.

Průběhy nahrazených spektrálních výkonových hustot aproximovaných vztahy (4.12 - 4.19) jsou graficky znázorněny na obr. 4.20 - 4.22 a amplitudové frekvenční charakteristiky jsou zobrazeny na obr. 4.23 - 4.25.

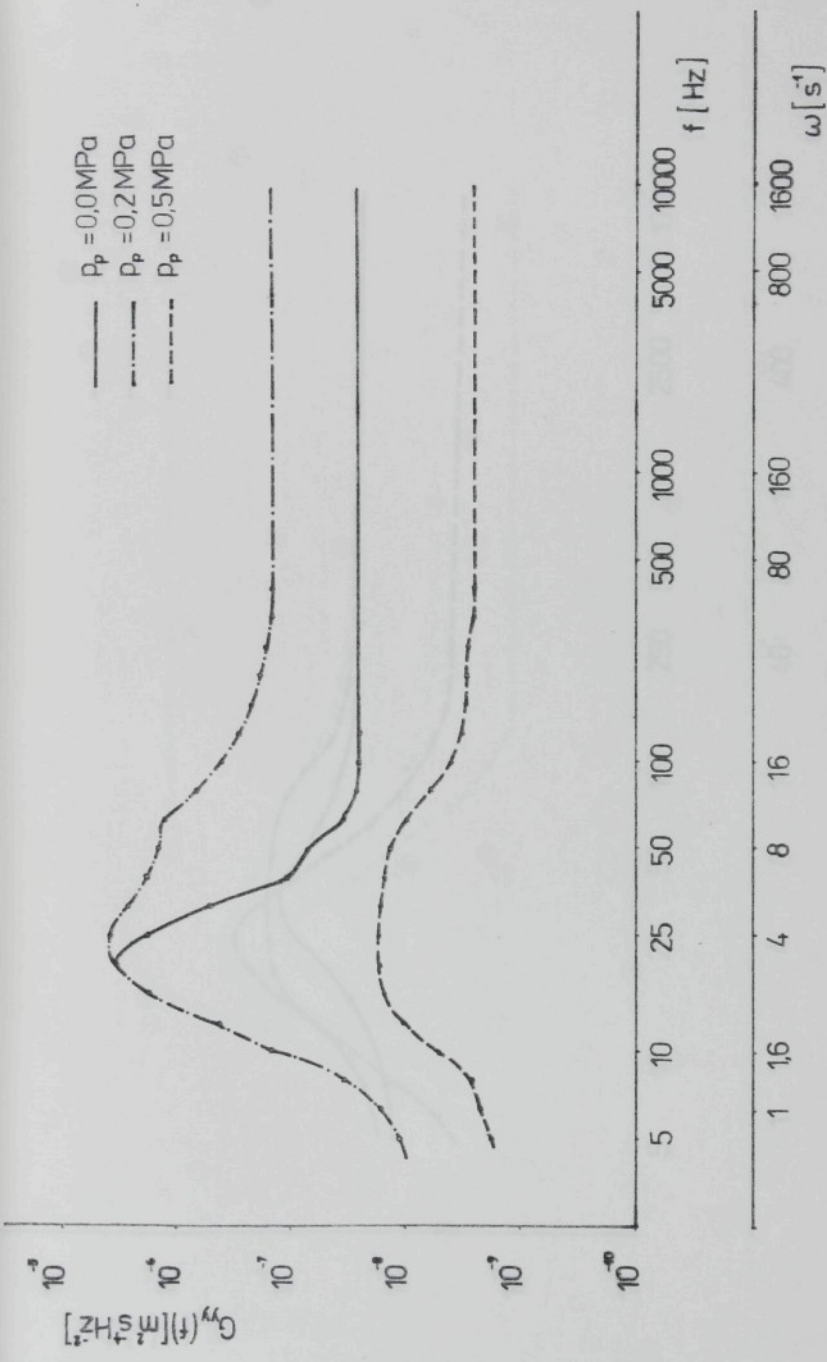
Kvalitu aproximované funkce je v podstatě možno vyjádřit velikostí disperze spektrální výkonové hustoty odesvý  $\tilde{G}_{yy}^2$ , která je určena vztahem

$$\tilde{G}_{yy}^2 = \int_{-\infty}^{\infty} S_{yy}(\omega) d\omega \tag{4.23}$$

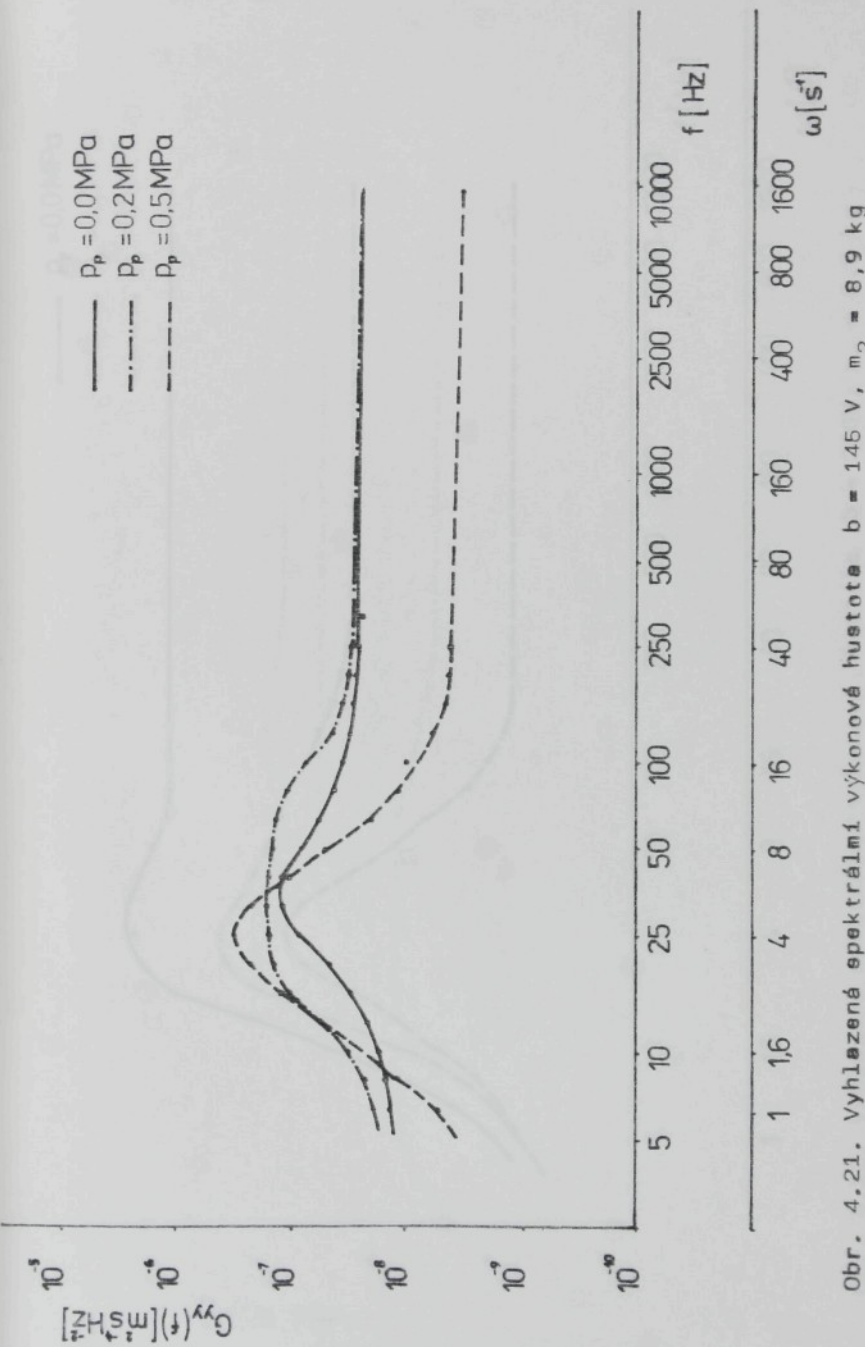
resp.

$$\tilde{G}_{yy}^2 = \int_{-\infty}^{\infty} |W(j\omega)|^2 S_{xx}(\omega) d\omega \tag{4.24}$$

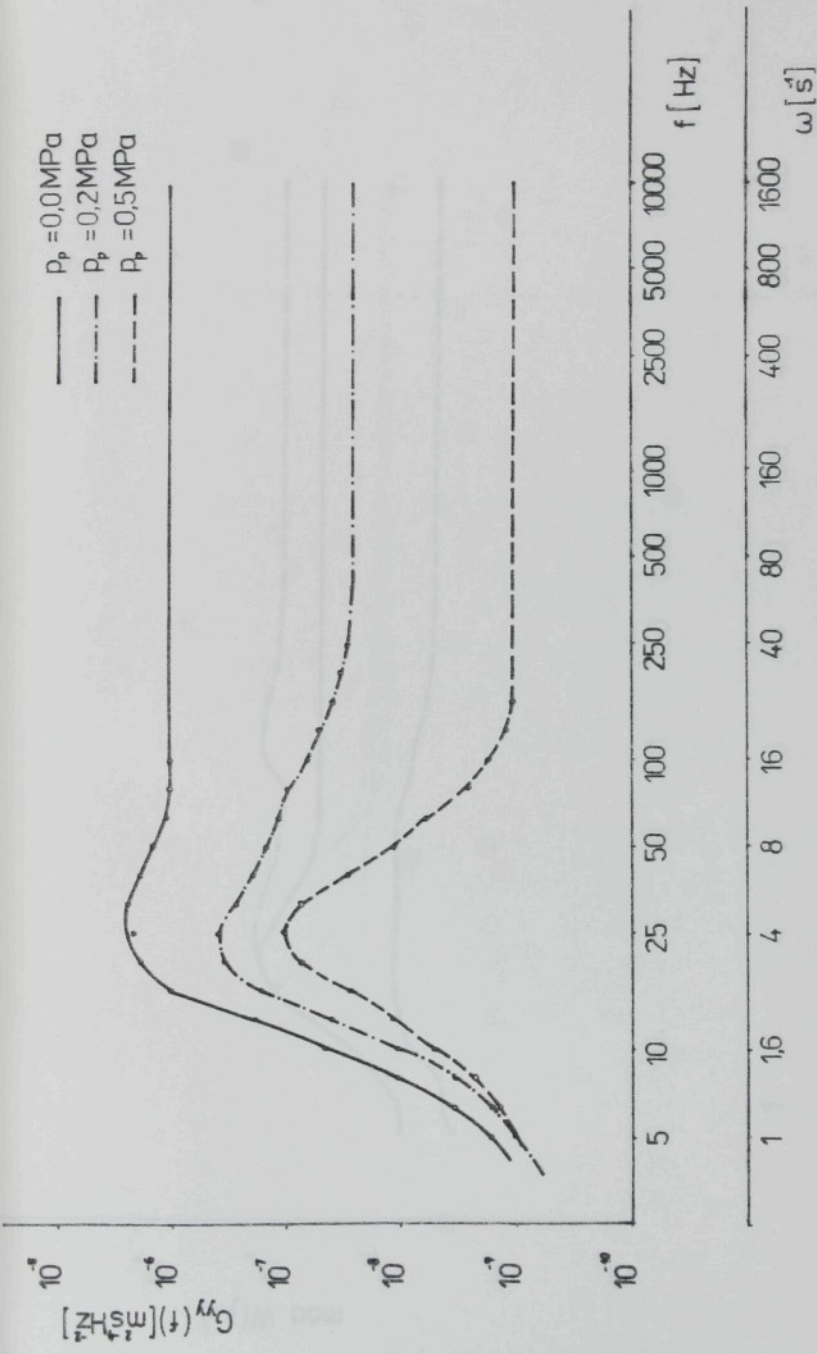
Dosazením vztahů (4.10-4.18)) do výrazu (4.23) lze určit disperzi spektrální výkonové hustoty  $\tilde{G}_{yy}^2$ .



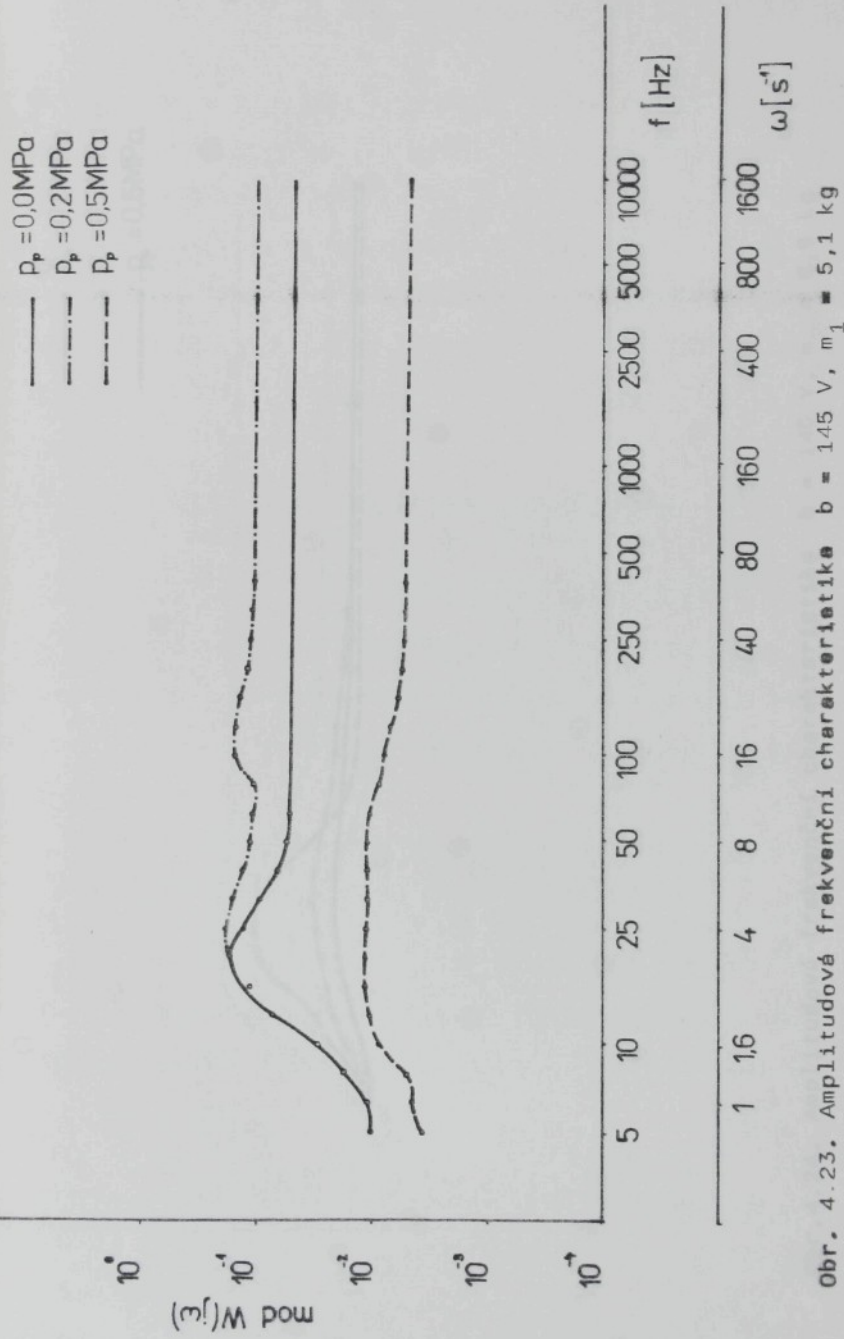
Obr. 4.20. Vyhlažená spektrální výkonová hustota  $b = 145 \text{ V}$ ,  $m_1 = 5,1 \text{ kg}$



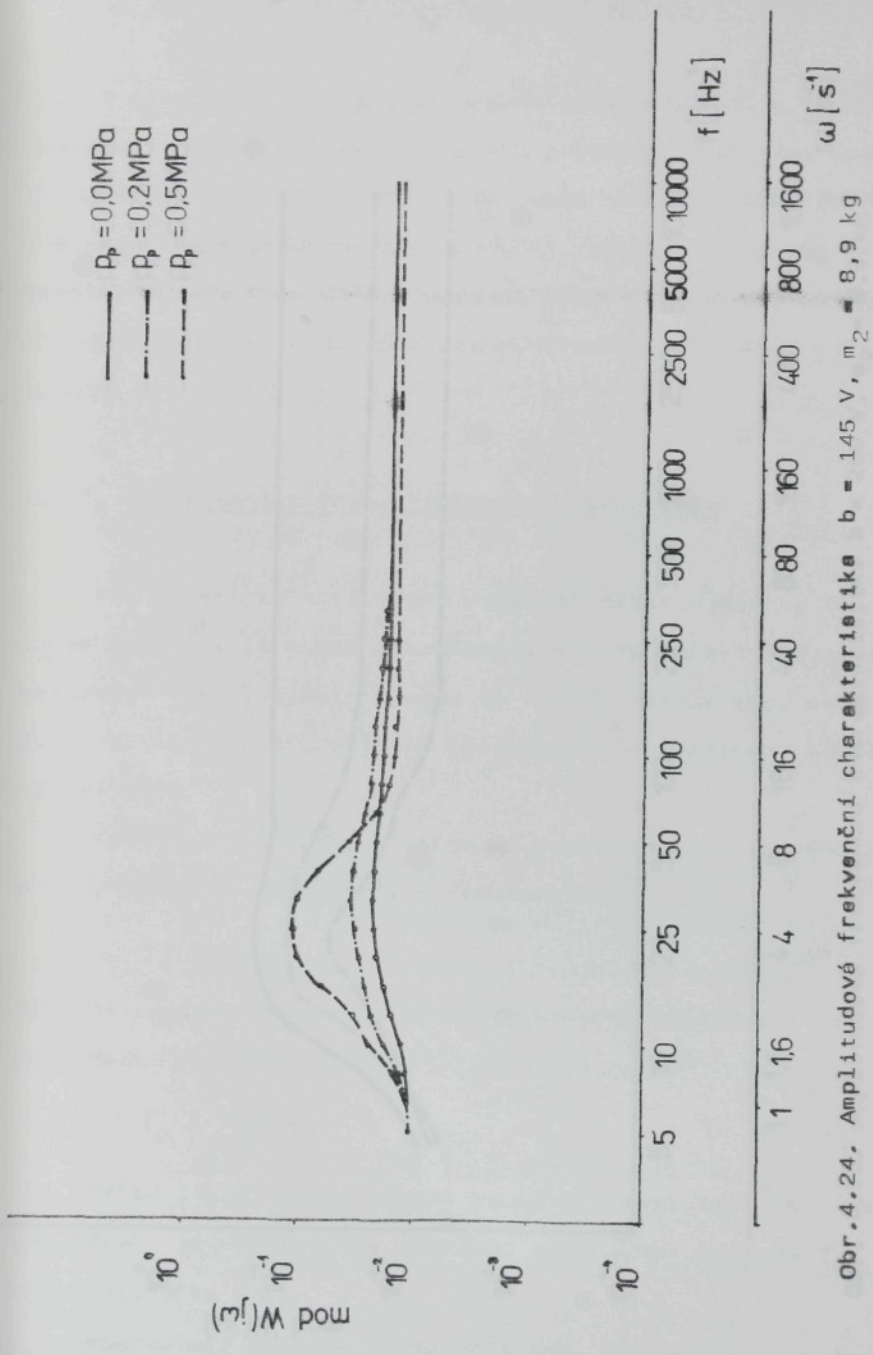
Obr. 4.21. Vyhlažená spektrální výkonová hustota  $b = 145 \text{ V}$ ,  $m_2 = 8,9 \text{ kg}$



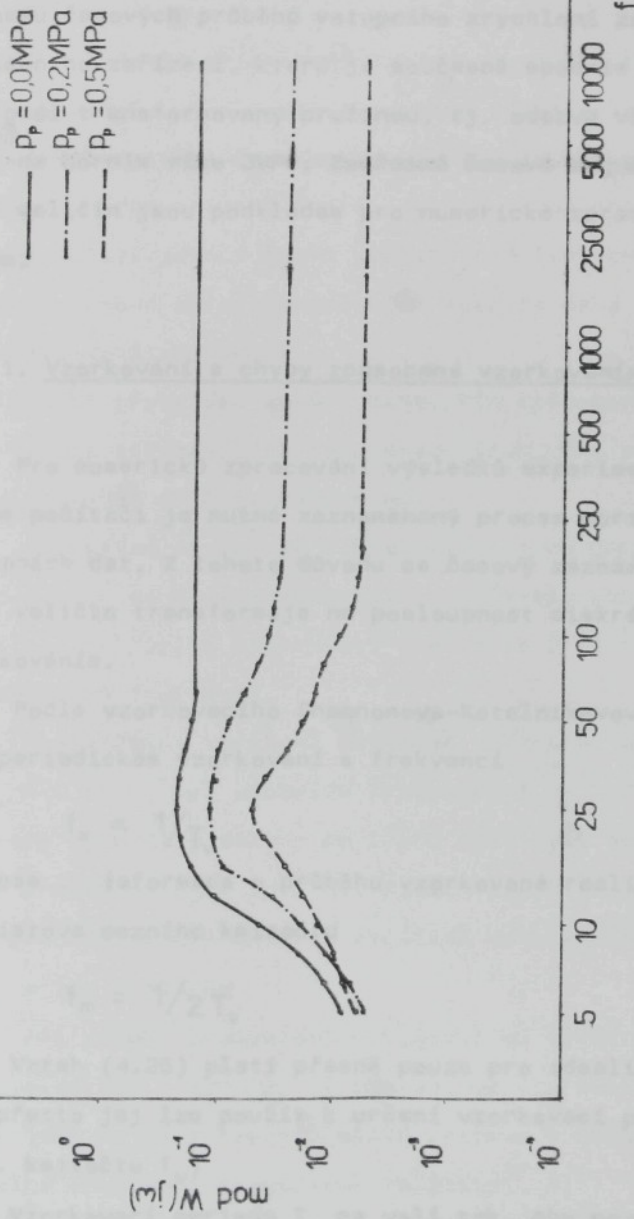
Obr. 4.22. Vyhlažená spektrální výkonová hustota  $b = 200\text{V}$ ,  $m_2 = 8,9 \text{ kg}$



Obr. 4.23. Amplitudová frekvenční charakteristika  $b = 145 \text{ V}$ ,  $m_1 = 5,1 \text{ kg}$



Obr. 4.24. Amplitudové frekvenční charakteristiky  $b = 145 \text{ V}$ ,  $m_2 = 8,9 \text{ kg}$   $\omega [\text{s}^{-1}]$



Obr. 4.25. Amplitudová frekvenciální charakteristika  $b = 200 \text{ V}$ ,  $m_2 = 8,9 \text{ kg}$

#### 4.3. Zpracování experimentálních dat číslicovým počítačem

V předchozí kapitole je popsán způsob měření o současném záznamu časových průběhů vstupního zrychlení základní desky zkušebního zařízení, která je současně spodním víkem JVPP a signál transformovaný pružinou, tj. odezva vstupního zrychlení na horním víku JVPP. Současné časové signály obou snímaných veličin jsou podkladem pro numerické zpracování počítačem.

##### 4.3.1. Vzorkování a chyby způsobené vzorkováním

Pro numerické zpracování výsledků experimentu na číselcovém počítači je nutné zaznamenaný proces upravit do podoby vstupních dat. Z tohoto důvodu se časový záznam obou snímaných veličin transformuje na posloupnost diskrétních údajů vzorkováním.

Podle vzorkovacího Shannonova-Kotelníkovova teorému se při periodickém vzorkování s frekvencí

$$f_v = 1/T_v \quad (4.25)$$

přenese informace o průběhu vzorkované realizace až do Nyquistova mezního kmitočtu

$$f_m = 1/2T_v \quad (4.26)$$

Vztah (4.26) platí přesně pouze pro idealizovaný případ, ale přesto jej lze použít k určení vzorkovací periody  $T_v$  (resp. kmitočtu  $f_v$ )

Vzorkovací perioda  $T_v$  se volí tak, aby mezní kmitočet  $f_m$  byl větší než maximální hodnota kmitočtu  $f_{max}$  obsaženého

ve spektru vzorkované zkoumané realizace. S dostatečnou rezervou se zpravidla volí [92, 93, 97]

$$f_m = (1,5 \div 2) f_{max} \quad (4.27)$$

Obsahuje-li vzorkovaná realizace složky na frekvencích vyšších než  $f_m$ , jsou tyto frekvence transformovány do frekvenci oblasti  $0 - f_m$ . Vzorky pak dévají chybnou představu o spektru vzorkované realizace. Tomuto zkreslení je možno zabránit odfiltrováním části spektra nad frekvencí  $f_m$  před vzorkováním, pokud odfiltrovaná část spektra není pro analyzovanou realizaci významná.

Další chyby vzorkování mohou být způsobeny kolisáním vzorkovací periody. Obě tyto chyby jsou však pro značnou část analyzovaných dějů zanedbatelné.

S ohledem na to, že vibroizolátory na základě pneumatických pružin se většinou užívají v průmyslových prostředích, je třeba při volbě vzorkovací frekvence brát v úvahu rozsah maximálních frekvencí.

Registraci zařízení umožňuje vzorkovat snímané údaje s  $T_v = 0,01$  s, což odpovídá frekvenci  $f_v = 100$  Hz. Veškeré záznamy byly dále děleny po 1/10, čímž bylo dosaženo vzorkovací frekvence  $f_v = 1000$  Hz. Podle vztahu (4.27) je maximální zpracovatelná frekvence obsažená ve zkoumané realizaci  $t_{max} = 200 \div 333$  Hz.

Pro oblast průmyslových vibrací se většinou uvádějí frekvence 250 - 300 Hz. Je zřejmé, že vzorkovací frekvenci  $f_v = 1000$  Hz je vytvořena nízká rezerva v maximální zpracovatelné frekvenci zkoumaných realizací.

#### 4.3.2. Programové zabezpečení pro zpracování výsledků experimentu

Pro zabezpečení zpracování výsledků experimentálně získaných dat a po provedeném vzorkování se data zpracovávala na číslicovém počítači. Při zpracování dat bylo vytvořeno postupně osm programů v jazyce FORTRAN. Jedná se o programy s názvy

- a) PER 1
- b) AFTR
- c) KORFCE
- d) KORFTR
- e) PREN
- f) PRUBVF
- g) KORFSR
- h) PROLOZ

Přesné znění programů je uvedeno v příloze práce A - H.

#### Stručný popis programů

##### Program PER 1

Pomocí téhoto programu je vyhledávána periodicitu v souborech dat o počtu N. Jako perioda se bere prvních i vzorků ( $i = 1, 2, \dots, N/2$ ) a vytvořená periodická funkce se srovnává se zadanými vzorky a zjišťuje se součet čtverců odchylek, který se tiskne. Minimální hodnotě přísluší perioda. V některých případech měření byla periodicitu zjištěna u výstupních dat. U vstupních dat periodicitu zjištěna nebyla v žádném případě.

Pro zpřesnění byl odzkoušen ještě modifikovaný program PER 2 uvažující před periodou j prvých vzorků (pro  $j=1, 2, \dots, N/4$ ) a po ní následující periodu i vzorků stejnou jako u PER 1. Tento program dával pouze mírně lepší výsledky, avšak při podstatně větší spotřebě strojního času počítače. Nebyl proto použit.

### Program AFTR

Umožňuje provádět diskrétní Fourierovu transformaci vzorkovaného časového průběhu dat. Dává velmi dobré výsledky. Nebyl však použit z důvodu velké časové náročnosti.

### Program KORFCE

Načítá a zpracovává vzorkovaná vstupní a výstupní data, z definice korelační funkce provádí výpočet jak korelační, tak i autokorelační funkce, které přes výstupní zařízení graficky znázorňuje.

### Program PREN

Načítá vzorkovaná vstupní a výstupní data (vzorkovaný časový průběh) a pomocí rychlé Fourierovy transformace (FFT) vypočítává spektrální výkonové hustoty vstupní a výstupních realizací i vzájemné výkonové spektrální hustoty a jejich pomocí (poměrem) určuje přenosovou funkci. Umožňuje vypočítat, jak amplitudovou tak i fázovou charakteristiku.

### Program PRUBVF

Graficky znázorňuje průběhy váhových funkcí nutných pro vyhlažování průběhů spektrálních výkonových hustot (a z nich i přenosových funkcí).

### Program KORFSR

Sleduje vliv váhových funkcí na průběh spektrální výkonové hustoty i vzájemné spektrální výkonové hustoty i na průběh přenosové funkce. Výpočet je provádět pomocí FFT.

- Při výpočtu je použito následujících váhových funkcí.
- funkce s konstantním průběhem
  - $w_i = 1 \quad \text{pro } i = 1, 2, \dots, N \quad (4.28)$
  - zvonová funkce (cesinový náběh a ukončení)

$$w_i = 0,5 \left( 1 - \cos \frac{10\pi i}{N} \right) \quad \text{pro } i < 0,1N$$

$$w_i = 1 \quad \text{pro } 0,1N \leq i \leq 0,9N \quad (4.29)$$

$$w_i = 0,5 \left( 1 - \cos \frac{10(N-i)\pi}{N} \right) \quad \text{pro } i > 0,9N$$

Tři následující váhové funkce vycházejí v podstatě z Gramovových funkcí vedoucích na váhovou funkci ve tvaru

$$w_i = \alpha_0 + 2\alpha_1 \cos \frac{\pi(i - N/2)}{N} + 2\alpha_2 \cos \frac{2\pi(i - N/2)}{N} \quad (4.30)$$

přičemž koeficienty pro

- "hanning"

$$\alpha_0 = 0,5, \quad \alpha_1 = 0,25, \quad \alpha_2 = 0$$

- "hamming"

$$\alpha_0 = 0,54, \quad \alpha_1 = 0,23, \quad \alpha_2 = 0$$

- funkci Blackman-Vasile

$$\alpha_0 = -0,42, \quad \alpha_1 = 0,25, \quad \alpha_2 = 0,04$$

- Parzenova funkce

$$w_i = 1 - G \left( \frac{|i - N/2|}{N/2} \right)^2 + \quad (4.31)$$

$$+ G \left( \frac{|i - N/2|}{N/2} \right)^3 \quad \text{pro } N/4 \leq i \leq 3N/4$$

$$w_i = 2 \left( 1 - \frac{|i - N/2|}{N/2} \right)^3 \quad \begin{array}{l} \text{pro } 0 \leq i < N/4 \\ \text{pro } 3N/4 < i \leq N \end{array}$$

kde  $G$  je výkonnová spektrální hustota

- Kaiserova funkce

$$w_i = J_0 \sqrt{1 - \left( \frac{|i - N/2|}{N/2} \right)^2} \quad \text{pro } i=1,2,\dots,N \quad (4.32)$$

kde  $J_0$  je Besselova funkce prvního druhu multého řádu

a  $\alpha$  je volitelný parametr.

Kaiserová váhová funkce přináší nejlepší výsledky pro vyhlazení průběhů spektrálních výkonových hustot a volbou parametru  $\alpha$  lze approximovat mj. i váhové funkce hamming, hanning i Blackman-Vasile.

#### Program PROLOZ

Navazuje na program KORFSR a approximuje průběh spektrálních výkonových hustot (i vzájemných) analytickou funkcí. Uměřuje v podstatě z poměru spektrálních výkonových hustot vstupního a výstupního procesu proximaci analytickou funkcí modelovat pneumatickou pružinu.

## 5.0. ANALÝZA ZÍSKANÝCH VÝSLEDKU

Z rozboru výsledků získaných při vyšetřování geometrických charakteristik vyplývá, že efektivní plocha není závislá pouze na deformaci PP, ale že nastává její změna též vlivem vnitřního přetlaku  $p_p$  vzduchu v pružině.

Na obr. 1.3 jsou znázorněny průběhy efektivní plochy  $S(p_p)$  pro  $H_m = \text{konst.}$  odpovídající příslušným statickým výškám jednotlivých JVPP.

Z porovnání výsledků je zřejmé, že změna efektivní plochy v rozsahu v praxi používaných přetlaků  $p_{pm} = 0,1\text{-}0,8 \text{ MPa}$  dosahuje u pružin VJ 115-20, VJ 105-10 a VJ 80-07 hodnot 0,9 %, 4,3 % resp. 5,4 % hodnot  $S(p_p)$ . Efektivní plocha pak lze uvažovat jako nezávislou na přetlaku, tedy pouze závislou na deformaci pružiny. Jiná situace je u pružiny VJ 75-04, u které se mění až o 10 % a nejhorší je u pružiny VJ 75-3,75 u které změna efektivní plochy dosahuje hodnot až 22 %. Jestliže pro praktická použití lze brát změnu efektivní plochy do cca 5 % za nezávislou na přetlaku, pak pružinu VJ 75-04 lze bez ovlivnění vlastnosti používat od přetlaku 0,23 MPa a pružinu VJ 75-3,75 dokonce až od přetlaku 0,31 MPa.

Je zřejmé, že PP malých rozměrů jsou mnohem náchylnější ke změnám geometrických charakteristik vlivem přetlaku.

Při rozboru výsledků získaných 1/3 oktaovou analýzou, přepočtením určených spektrálních výkonových hustot na jednotlivých frekvenčních pásmech (obr. 4.1-4.9) odezvy se ukazuje, že všechny sledované JVPP vykazují prakticky obdobné vlastnosti. Výsledky graficky znázorněné na obr. 4.1 až 4.9 odpovídají celé zkoumané řadě pružin při stejných

podmírkách tlakových i stejném buzení. Prakticky všechny průběhy jsou si podobné a vedou k těmto závěrům:

- zkoumané pružiny mají v rozsahu frekvencí 20-35 Hz snahu sledovat budicí frekvence (budicí napětí  $b = 145$  V odpovídá otáčkám elektromotoru  $\omega = 22,1 \text{ s}^{-1}$ , budicí napětí  $b = 200$  V otáčkám  $\omega = 31,3 \text{ s}^{-1}$ );
- i v oblasti nejvyšších hodnot výkonové spektrální hustoty je poměr budicího procesu a odezvy na něj  $< 1$ , tak, že pružiny pohltí a utlumi vibrace nejméně 10x;
- pružiny mají vysoké vibroizolační schopnosti v oblasti nad 35 Hz;
- pomocí použitých snímačů zrychlení bylo možno sledovat frekvence pouze nad 5 Hz, v oblasti 5-20 Hz je přenášení vibrací rovněž silně ovlivněno.

Amplitudové frekvenční charakteristiky znázorněné na obr. 4.23-4.25 vypočtené z poměru spektrálních výkonových hustot výstupního a vstupního procesu a nahrazené racionálně lomenou funkcí ukazují, že oblast, ve které PP sleduje vliv budicích frekvencí je mírně širší a obsahuje pásmo frekvencí od 16 - 50 Hz. Nejnižších hodnot dosahuje u pružin s  $p_p=0$  MPa, tedy u samotného pláště pružiny. S rostoucím přetlakem se extrém posouvá ke stále nižším hodnotám. Obecně lze říci, že s růstem ukládané hmoty narůstá i přetlak v pružině a přenos vibrací PP se snižuje.

Při zpracování časových záznamů průběhu zrychlení se v jednom případě prokázala periodicitu u výstupního souboru, který byl proto z dalších výpočtů vyřazen.

Při zpracování se potvrdily výsledky výpočtu vlastních svislých kmitů podle vztahu (1.13) a průběhy přenosových funkcí mají lokální extrémy na frekvencích pod 3 Hz.

Přenosové funkce pružin s  $p_p = 0$  MPa, tj. pouze pro pryžokordový plášť prokazuje dobré vibroizolační schopnosti ve frekvenčních pásmech nad 20 Hz. Rozborem se rovněž potvrzuje, že sledované JVPP sledují ve frekvenčních oblastech 20-35 Hz budící frekvence vibrací.

Přenosovou funkci modelující jednovlnovou vlnovcovou pneumatickou pružinu lze obecně popsat vztahem

$$W(f) = \sum_{i=1}^n \frac{a_i}{b_i + (f - f_i)^2} \quad (5.1)$$

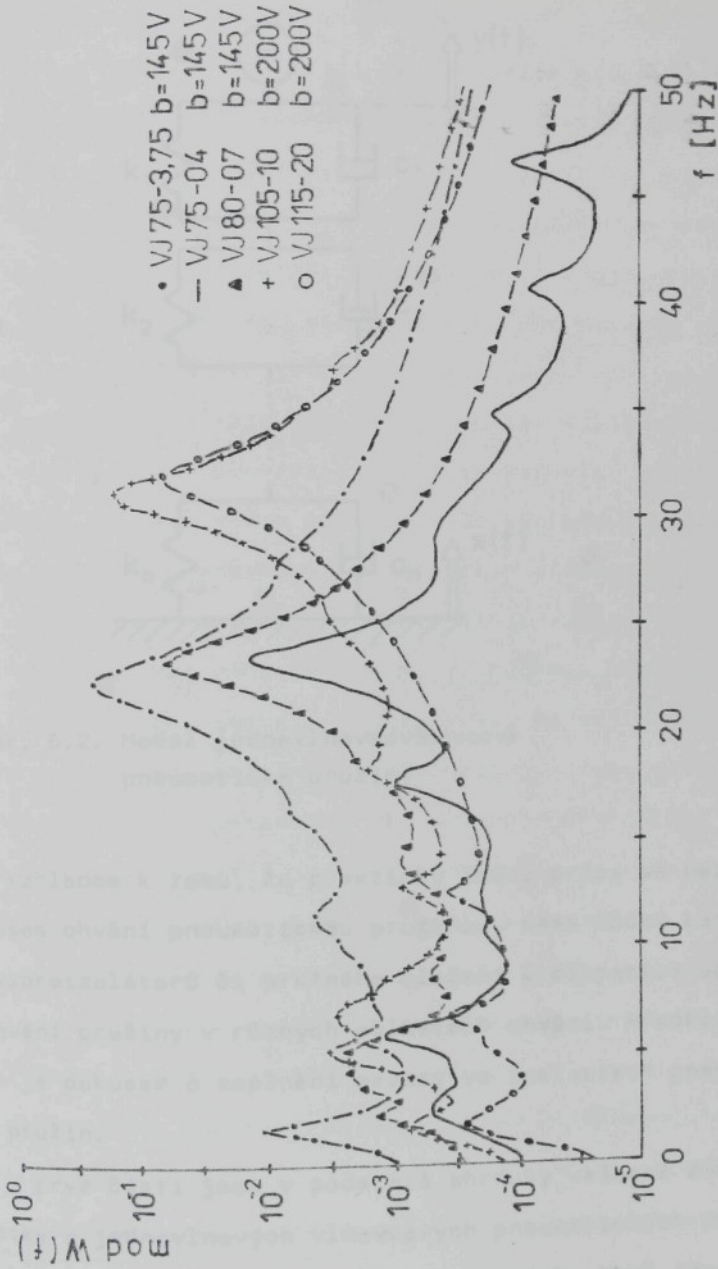
kde  $a_i$ ,  $b_i$  jsou koeficienty a  $f$  je frekvence, na níž má přenosová funkce lokální extrém. Několik typických průběhů přenosové funkce je na obr. 5.1. Přenosová funkce při všech experimentech měla extrémní hodnotu měnší než 1.

Přenosovou funkci popsanou rovnicí (5.1) je možno znázornit modelem vytvořeným z řady sériově spojených Kelvino-vých článků podle obr. 5.2. Počet článků odpovídá počtu lokálních extrémů přenosové funkce.

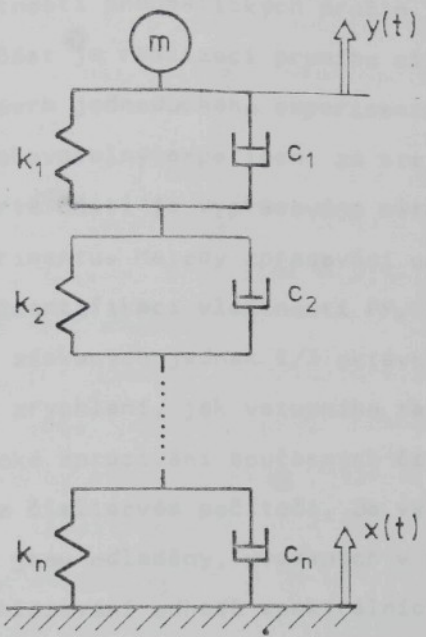
### Závěr

#### a) Výsledky disertace s uvedením nových poznatků

Předkládaná práce, která vznikla v souvislosti s řešením dílčí etapy úkolu III-3-3/07-1 "Pružné ukládání hmot s použitím pneumatických pružin" státního plánu základního výzkumu se zabývá studiem přenosu vibrací přes jednovlnovou vlnovcovou pneumatickou pružinu, která je sama o sobě nejjednodušším vibroizolátorem.



obr. 5.1 Průběh modulu přenosevých funkcí



Obr. 5.2. Model jednovlnové-vlnovcové pneumatické pružiny

Vzhledem k tomu, že prakticky žádná práce se nezabývá přenosem chvění pneumatickou pružinou, nemá žádný konstruktér vibroizolátorů či pružného uložení k dispozici údaje o chování pružiny v různých oblastech chvění. Předkládaná práce je pokusem o zaplnění mezery ve znalostech pneumatických pružin.

V prvé části jsou v podstatě shrnuty veškeré dostupné poznatky o jednovlnových vlnovcových pneumatických pružinách včetně graficky vyjádřených charakteristik. Nově jsou uvedeny grafické průběhy změny efektivní plochy v závislosti na přetlaku vzduchu v pružině.

Druhá část shrnuje dosavadní poznatky pro vytvoření teoretického aparátu potřebného pro stochastickou identi-

fikaci vlastnosti pneumatických pružin.

Třetí část je realizací prvního cíle disertační práce, kterým je návrh jednoduchého experimentálního zařízení umožňujícího opakovatelný experiment za stejných podmínek.

V čtvrté části je vypracována metodika zpracování výsledků experimentu. Metody zpracování umožňují provádět stochastickou identifikaci vlastnosti PP. Je uvedeno zpracování výsledků získaných jednak 1/3 oktávovou analýzou efektivních hodnot zrychlení, jak vstupního tak výstupního zrychlení a numerické zpracování současných časových signálů obou zrychlení na číslicovém počítači. Je vypracována řada programů, které jsou edladěny, uvedených v příloze A-H.

Při vyhlašování odhadů spektrálních výkonových hustot je třeba používat váhové funkce. V programu KORFSR je uvedeno několik váhových funkcí - ukazuje se, že nejvhodnější je Kaiserova funkce, založená na Besselových funkcích, která pomocí proměnného parametru  $\alpha$  umožňuje přiblížení k průběhu funkce s největší přesností a nahrazuje běžně používaná vyhlazení "hanning, hamming i Blackman-Vasile.

Poslední část provádí rozbor získaných výsledků, zde se ukazuje, že JVPP prokazují výborné vibroizolační schopnosti nad frekvencí 40-50 Hz. V oblasti 20-35 Hz sledují pneumatické pružiny budící frekvence, i v této frekvenční oblasti dochází ke snížení přenosu chvění PP. V oblasti do 20 Hz dochází rovněž k intenzivnímu snížení přenosu vibrací.

b) Konkrétní závěry pro realizaci ve společenské praxi  
a další rozvoj vědy

Způsob a použití metody zkoumání dynamických vlastností

sady jednovlnových vlnovcových pneumatických pružin je možno zobecnit i pro zkoumání těchto vlastností u jiných typů pneumatických pružin.

Při vyšetřování geometrických charakteristik je třeba rovněž sledovat vliv přetlaku vzduchu v pružině na změnu efektivní plochy a objemá. Efektivní plocha je u "malých" pružin silně závislá na přetlaku.

Při určování dynamických vlastností stačí pro získání orientačních hodnot průběhu modulů přenosových funkcí provádět 1/3 oktávovou analýzu. Její údaje jsou postačující pro určení kvality vibreizolace na určitých frekvenčních pásmech.

Pomoci programů KORFSR a PROLOZ je při sejmutí vzorkovaných časových záznamů a jejich digitalizování AD provedněm možno provádět výpočet přenosových funkcí metodou *Effline*.

Při výpočtech průběhů spektrálních výkonových hustot a následném vyhlazení pomocí váhových funkcí je nejvhodnější používat Kaiserovy váhové funkce, založené na Besselových funkcích, s volbou proměnného parametru.

Ukazuje se, že jednovlnové vlnovcové pneumatické pružiny je možno modelovat sérií Kelvinových článků.

Závěrem je třeba říci, že výsledky získané při studiu dynamických vlastností jednovlnových vlnovcových pneumatických pružin, resp., pouze při sledování průchodu vibrací pružinami, jsou počátečním vkladem pro zkoumání vlastnosti těchto perspektivních konstrukčních prvků. Vibreizolátory založené na základě pneumatických pružin bude třeba v budoucnu zkoumat komplexně, zabývat se vlivem tlumičů kmitů na přenos vibrací, sledovat vliv regulátoru stálé statické výšky na chování vibreizolátoru. Je tedy zřejmé, že předkládaná

práce, přestože splnila vytčené cíle, je pouze skromným příspěvkem k řešení zajímavé problematiky přenosu chvění pneumatickou pružinou.

Závěrem bych chtěl poděkovat Prof. Ing. Oldřichu Krajčířovi, CSc., vedoucímu kategorie části strojů a mechanismů VŠST za odborné vedení po celou dobu mé vědecké přípravy, svým spolupracovníkům za trpělivou snahu pomoci při hledání odpovědi na řadu otázek, které při řešení práce vyvstaly, pracovníkům ÚMMS SAV v Bratislavě, především Ing. Štefanu Markušovi, DrSc., za pomoc při hledání možnosti návrhů nejjednodušších experimentálních zařízení.

- [1] 8. zasedání ÚV KSČ ve dnech 15.-16.6.1983 k urychlenému uplatňování výsledků vědy a techniky v praxi. Svoboda, Praha 1983.
- [2] 10. zasedání ÚV KSČ ve dnech 17.-18.4.1984 o úkolech a rozvoji strojírenství, elektrotechnického a hutního průmyslu po XVI. sjezdu KSČ. Svoboda, Praha 1984.
- [3] LADA, J.-PUST, L.: Pružné ukládání strojů, SNTL, Praha 1965.
- [4] KOLOVSKIJ, M.Z.: Avtomatičeskoje upravlenije vibrozaščitnymi sistemami. Nauka, Moskva 1976.
- [5] ČELOMEJ, V.N. a jiní: Vibracií v technice. Spravočník v 6. Tomach. Mašinostrojenije, Moskva 1981.
- [6] SINEEV, A.V.: Vybor parametrov sistem vibroizolacii i dynamičeskich gasitelej na osnove metodov teorii cepej. Mašinovedenije No 1., s. 28-34.
- [7] FURMAN, F.A.: Aktivnye vibrozaščitnye sistemy. Vestnik mašinostrojenija, No 5, 1975, s. 31-34.
- [8] KREJČÍŘ, O.-BUREŠ, M., BANDOUCH, M., DANČA, J.: Prototyp pneumatické podložky na dvabarvový tiskový stroj AD-724 (Výzkumná zpráva KST 75-04) VŠST Liberec, 1975.
- [9] KREJČÍŘ, O.-DANČA, J.-BUREŠ, M. a jiní: Universální pneumatický závěs (Výzkumná zpráva KST 75-17) VŠST, Liberec 1975.
- [10] KREJČÍŘ, O.-DANČA, J.: Vibroizolační schopnosti autonivelace stolu. In: Sborník referátů III. konference o teorii strojů a mechanismů. Díl A. Liberec 1980.
- [11] GOJARSKÝ, M.: Analýza některých dynamických vlastností elektropneumatickej aktívnej vibroizolačnej sústavy (kandidátská disertační práce) SAV ŠMMS, Bratislava 1984.
- [12] DANČA, J.: Teorie regulace pružného uložení strojů s použitím logických obvodů. Příspěvek na II. konferenci o teorii strojů a mechanismů. Liberec, 1976.
- [13] KREJČÍŘ, O.-DANČA, J.-STEHLÍK, J.-ZAMASTIL, L.: Sedadlo řídící s pneumatickým pěrováním, varianty E,F,G (výzkumná zpráva KST 78-02). VŠST Liberec 1977.

- [14] DANČA, J.: Pružné uložení tiskového stroje Dominant 714 na vozidle PRAGA V3S. (diplomová práce), VŠST Liberec 1973.
- [15] AKOPJAN, P.A.: Pnevmatičeskoje podressirovaniye avto-transportnyx sredctv. Voprosy teorii i praktiki. N.1., Vyšša škola. Lvov 1979., 217 s.
- [16] KREJCÍŘ, O.: Vlnovcové pružiny pro automobily a užitková vozidla. "Stavba automobilů" 1968, č. 1, s. 8.-12.
- [17] ČECH, I.: Příčné úhlové vypružení vozidla. Strojírenství č. 5, 1976, s. 266-273.
- [18] BUREŠ, M.: Pružně uložená skříň vozidla Praga V3S. (kandidátská disertační práce). VŠST Liberec, 1984.
- [19] STRÁNSKÝ, Z.: Odpérované sedadlo pro řidiče vozidel (kandidátská disertační práce). VŠST Liberec, 1981.
- [20] CHAČATUNOV, A.A.: Dinamika sistemy doroga-šina-avtomobil-voditel. Mašinostrojenije, Moskva 1976, 535 s.
- [21] ROTENBERG, R.V.: Podvěska avtomobilja. Mašinostrojenije, Moskva 1972, 392 s.
- [22] DANČA, J.-VÍT, J.-PAVLU, M.: Odpružené sedadlo pro řidiče a obsluhu vozidel a strojů. Přihláška vynálezu PV 629-86.
- [23] DANČA, J.-MÁLINA, C.-MÁLINA, R.: Autonivelační stůl s pevnou nivelizací. Přihláška vynálezu PV 8616-83, A0 236348
- [24] KREJCÍŘ, O.-DANČA, J.: Autonivelační stůl (funkční model) (Výzkumné zpráva KST 79-19) VŠST Liberec 1979.
- [25] KREJCÍŘ, O.-DANČA, J.: Pasivní kmitová izolace citlivé měřicí a laboratorní techniky. In.: III. mezinárodní vědecké symposium "Racionalizace, konstrukce a technologie. Liberec 1980.
- [26] KREJCÍŘ, O.-BORUVKA, F.: Pneumatická kmitová izolace měřicího stolu. In. Sborník referátů XX. vědecké konference kateder části strojů. Liberec 1979. s. 267.
- [27] PEŠÍK, L.: Pružné uložení motorgenerátoru (kandidátská disertační práce) VŠST Liberec 1982.

- [28] DANČA, J.: Vibroizolační stůl (výzkumná zpráva KST 80-20). VŠST Liberec, 1980.
- [29] KREJČÍŘ, O. a kol.: Pneumatický závěs (výzkumná zpráva KST 75-19) VŠST Liberec 1975.
- [30] KREJČÍŘ, O. a kol.: Studie využitelnosti regulovatelného pružného uložení techniky pro ČSLA (výzkumná zpráva KST 75-17) VŠST Liberec, 1975.
- [31] DANČA, J.-BUREŠ, M.: Pneumatische Fundament für Fahrzeuge KD 19-79. VEB Polygraph ZPB Leipzig, 1979.
- [32] KREJČÍŘ, O.-DANČA, J.-STEHLÍK, J.: Pneumatický podstavec (výzkumná zpráva KST 75-15) VŠST Liberec, 1975.
- [33] KREJČÍŘ, O. a kol.: Rekonstrukce pérování sedadel Karosa (výzkumná zpráva KST 75-03) VŠST Liberec 1975.
- [34] KREJČÍŘ, O.-DANČA, J.-STEHLÍK, J.-ZAMASTIL, L.: Sedadlo řidiče s pneumatickým pérováním (výzkumná zpráva KST 76-18) VŠST Liberec 1976.
- [35] KREJČÍŘ, O.-BUREŠ, M.-JEŘÁBEK, A.: Odpružená podložka pro uložení tiskového stroje AD-714 na vozidle Praga V3S (výzkumná zpráva KST 74-02). VŠST Liberec, 1974.
- [36] PAVLU, M.-DANČA, J.: Konstrukční řešení pružného uložení měřicího stolu pro SVUM Praha, pobočka Brno, (výrobni výkresová dokumentace) Liberec 1984.
- [37] KREJČÍŘ, O.-BUREŠ, M.-MEVALD, J.: Pružné uložení čelistětového drtiče skla. In. Sborník XX. vědecké konference kateder částí strojů. Liberec VŠST 1979.
- [38] DANČA, J.: Pružné uložení elektrodynamického zatěžovacího zařízení INOVA pro VUZS Praha-Chodov, (dokumentace), 1977
- [39] PAVLU, M.-STRNÁDEK, J.: Útlum dynamických účinků Hydro-pulsu. In.: Sborník vědeckých prací VŠST v Liberci sv. XVI, VŠST Liberec 1953, s. 235-245.
- [40] DANČA, J.-KREJČÍŘ, O.: Pneumatická podpora 20 kN pro VUSTE Praha, VŠST Liberec, 1983
- [41] LEITMAN, M.: K problematike zniženia prenosu chvenia pružným uložením pneumatického tkacieho stroja. (kandidátská dizertační práce) VŠST Liberec, 1982.

- [42] BORUVKA, F.: Výpočet pneumatického uložení hmot s aplikacemi na podložky tiskových strojů (kandidátská disertační práce) Liberec, VŠST 1982
- [43] BUREŠ, M.: Vibreizolační schopnosti diferenční pneumatické podložky (Pisemná část odborné zkoušky) Liberec, VŠST 1981
- [44] BIDERMAN, B.L.: Rasčety rezinovych i rezinokordnych detalej. In.: Rasčety na pročnosť v mašinostrojenii. Dil II., Mašgiz, Moskva 1953, s. 487-591
- [45] GRIGORJEV, E.T.: Rasčet i konstruirovaniye rezinovych amortizatorov. Mašgiz, Moskva, 1960, 281 s.
- [46] Iljinskij, V.C.: Zaščita aparátov ot dinamičeskich vozdejstvij. Energija, Moskva 1970, 320 s.
- [47] NAJDENKO, O.K.-PETROV, P.P.: Amortizacija sudovych dvigatelej i mechanizmov. Sudiramgiz Leningrad, 1962, 288 s.
- [48] ŠMAKOV, V.T.: Vyravnivajuščaja pnevmatičeskaja vibroopora dlja precizionnykh stankov. Stanki i instrumenty. No 1, 1970.
- [49] LARIN, V.B.: Vibor napametrov sistemy vibroizolaciji priborov. Prikladnaja mehanikači T2, No2, 1968
- [50] MAKSIMOVIČ, Ju.P.: O dostižnom kačestve vibrozaščity ot periodičeskogo vozdějstvja: Mašinostrojenije No 4, 1970
- [51] Bittel, K.: Die Federnkennlinie der Balg-Luftfeder. ATZ 61, 1959, č. 7, s. 199-202.
- [52] FABIAN, M.: Výpočet pneumatických pružin typu rotačního vlnovce (kandidátské minimum). ÚVMV Praha 1961, 36 s.
- [53] FABIAN, M.: Zjištění průběhu charakteristik základních typů pneumatických pružin (kandidátská disertační práce). ÚVMV Praha 1962, 96 s.
- [54] BIDERMAN, V.L.-BUCHIN, B.L.: Rasčet rezinokordnych pnevmatičeskich amortizatorov. Rasčety na pročnosť. Sb. statej, vyp. 5, Moskva, Mašgiz, 1960.

- [55] BUCHIN, B.L.: K rasčetu rezikordnych uprugich elementov pnevmatičeskoj podveski avtomobilja. Avtomobilnaja promyšlenost. No 9, 1963, s. 15-17.
- [56] GRINERIJA K.I.: Próbližnyj metod opredelenija objema rezino-kordnogo teloma avtomobilnej podveski. Avtomobilnaja promyšlenost. No 9, 1962, s. 25-27.
- [57] KREJČÍŘ, O. a kol.: K teorii tvárování kordem armovaných prýžových elementů pneumatických pružin. Výzkumná zpráva KST 85-10, VŠST Liberec, 1985.
- [58] PUSTKA, Z.: Namáhání vlnovce pneumatické pružiny jako funkce jeho rozměrů. In: Sborník referátů XVI. vědecké konference kateder částí strojů. VUT Brno 1975.,
- [59] GORELIK, A.M.-PEVZNER, J.M.: Rezinokordnyje pnevmatičeskie uprugije elementy. Avtomobilnaja promyšlenost No 11, 1962, s. 21-29.
- [60] VITAŠEVSKIJ, E.P.: Rezinokordnyje uprugije elementy dlja sistem avtonomnogo pnevmatičeskogo podvešivaniya. Avtomobilnaja promyšlenost. No 11, 1975, s. 28-29.
- [61] KUZNĚCOV, J.I.: K rasčetu konstruktivnyh parametrov obespečivajuščich ustojčivuju rabotu rezino-kordnogo uprúgogo elementa. Avtomobilnaja promyšlenost, No 10, 1973, s. 25-27.
- [62] VITAŠEVSKIJ, E.P.-KUZNĚCOV, B.I.: K voprosu o rabiote rezi-  
no-kordnoj pnevmatičeskoj ressory avtonomnogo pnevmopodvěši-  
vaniya. Avtomobilnaja promyšlenost, No 5, 1972, s. 20-24.
- [63] KUZNĚCOV, J.I.: K rasčetu pnevmatičeskikh ressor s kom-  
binirovannymi sistemami rezinokordnych uprugich elemen-  
tov. Avtomobilnaja promyšlenost, No 3, 1976, s. 20-22
- [64] KUZNĚCOV, J.I.: K voprosu projektirovaniya pnevmatičes-  
koj ressory avtomobilja. Avtomobilnaja promyšlenost,  
No 6, 1977, s. 23-25.
- [65] TIMOSHENKO, S.P.-WOINOWSKI-KRIEËR, S.: Theory od pla-  
tes and shells. N.Y. Mc Graw-Hill Book Company, Inc  
1959, 635 s.
- [66] KREJČÍŘ, O.-PUSTKA, Z.: Vlnovcové pružiny pro pneuma-  
tické podložky (výzk. zpráva KST 75-06), VŠST Liberec 1976

- [55] BUCHIN, B.L.: K rasčetu rezíkernych uprugich elementov pnevmatičeskoj podveski avtomobilja. Avtomobilnaja promyšlenost. No 9, 1963, s. 15-17.
- [56] GRINERIJA K.I.: Próblížnyj metod opredelenija objema rezino-kordnogo teloma avtomobilnej podveski. Avtomobilnaja promyšlenost. No 9, 1962, s. 25-27.
- [57] KREJČÍŘ, O. a kol.: K teorii tvarování kordem armovaných prýzových elementů pneumatických pružin. Výzkumná zpráva KST 85-10, VŠST Liberec, 1985.
- [58] PUSTKA, Z.: Namáhání vlnovce pneumatické pružiny jako funkce jeho rozměrů. In: Sborník referátů XVI. vědecké konference kateder částí strojů. VUT Brno 1975.,
- [59] GORELIK, A.M.-PEVZNER, J.M.: Rezinokordnyje pnevmatičeskie uprugije elementy. Avtomobilnaja promyšlenost No 11, 1962, s. 21-29.
- [60] VITAŠEVSKIJ, E.P.: Rezinokordnyje uprugije elementy dlja sistem avtonomnogo pnevmatičeskogo podvešivanija. Avtomobilnaja promyšlenost. No 11, 1975, s. 28-29.
- [61] KUZNĚCOV, J.I.: K rasčetu konstruktivnych parametrov obespečivajuščich ustojčivuju rabotu rezino-kordnogo uprúgogo elementa. Avtomobilnaja promyšlenost, No 10, 1973, s. 25-27.
- [62] VITAŠEVSKIJ, E.P.-KUZNĚCOV, B.I.: K voprosu o rabote rezino-kordnoj pnevmatičeskoj ressory avtonomnogo pnevmopodvěšení. Avtomobilnaja promyšlenost, No 5, 1972, s. 20-24.
- [63] KUZNĚCOV, J.I.: K rasčetu pnevmatičeskikh ressor s kombinovanymi sistemami rezinokordných uprugich elementov. Avtomobilnaja promyšlenost, No 3, 1976, s. 20-22
- [64] KUZNĚCOV, J.I.: K voprosu projektirovaniya pnevmatičeskij ressory avtomobilja. Avtomobilnaja promyšlenost, No 6, 1977, s. 23-25.
- [65] TIMOSHENKO, S.P.-WOINOWSKI-KRIEËBER, S.: Theory od plates and shells. N.Y. Mc Graw-Hill Book Company, Inc 1959, 635 s.
- [66] KREJČÍŘ, O.-PUSTKA, Z.: Vlnovcové pružiny pro pneumatické podložky (výzk. zpráva KST 75-06), VŠST Liberec 1976

- [67] KREJČÍŘ, O. a kol.: Teorie, konstrukce, zkoušení a charakteristiky pneumatických pružin (výzkumná zpráva KST 83-04) VŠST Liberec, 1984
- [68] KREJČÍŘ, O. a kol.: Charakteristiky osově a příčně zatěžovaných pneumatických pružin (výzkumná zpráva KST 80-19) VŠST Liberec, 1980.
- [69] DANČA, J.-BORUVKA, F.: Vyjádření efektivní plochy pneumatických pružin approximačním polynomem. In.: Sborník vědeckých prací VŠST Liberec, sv. XV, Liberec 1982.
- [70] KOUTNÝ, F.: Pneumatické toroidální pružiny. Strojnický časopis, 33, 1982, č. 4, s. 477-486
- [71] LUKOMSKAJA, A.I.-JERSTRAKOV, V.F.: Osnovy prognosirovanija mehaničeskogo povedenija kaučukov i rezin. Chimija, Moskva 1975, 359 s.
- [72] MARKUŠ, Š.-RŮŽIČKA, I.: Experimentálne určovanie komplexného modulu pružnosti ve šmyku. Strojirenství 26, 1976, č. 2, s. 115-118.
- [73] KOUTNÝ, F.: Metoda objemové práce vzduchu v teorii pneumatik. Plasty a kaučuk, 15, 1978, č. 4, s. 101-107.
- [74] PAUER, V.: Regulace pneumatického pružení. Automobil. 1962, č. 3, 4,5.
- [75] GORELIK, A.I.: Rezinovye podveski. CNTI maš. Moskva 1962, 125 s.
- [76] KOLOC, Z.-VÁCLAVÍK, M.: Vyhodnocení grafických záznamů a měření na stolním počítači Hewlett-Packard. Textilní strojirenství 1974, č. 65-66, s. 28-49.
- [77] ENENKL, V.-CHRASTINA, J.: Termomechanika, VUT Brno, 1970, 405 s.
- [78] LITVIN, V.: Techničeskaia termodynamika. Energija, Moskva 1968, 376 s.
- [79] MAGNUS, K.: Schwingungen-eine Einführung in die theoretische Behandlung von Schwingungsproblem. B.G.Taubner Verlagsgesellschaft mbH, Stuttgart 1976, 289 s.
- [80] MEVALD, J.: Modelování a optimalizace pružného regulačního uložení (výzkumná zpráva KST 77-18) VŠST Liberec 1977.

- [81] MAC LANE, S.-BIRKHOFF, G.: Algebra, Alfa, Bratislava, 1973, s. 661
- [82] ANGOT, A.: Užitá matematika pro elektrotechnické inženýry. SNTL-SVTL, Praha 1971, s. 819.
- [83] COLLATZ, L.: Funktionalanalysis und numerische Mathematik. Springer-Verlag Berlin-Göttingen-Heidelberg 1954, s. 411
- [84] WUNSCH, G.: Systemtheorie, Akademische Verlagsgesellschaft Geest und Portig K.G. Leipzig 1975, 252 s.
- [85] MESAROVIC,M.D.-TAKAHARA, Y.: General Systems theory: Mathematical Foundations, Academic Press, New York, San Francisco, London 1975, 298 s.
- [86] FLEMING, W.-RISHEL, R.: Deterministic and stochastic Optimal Control, Springer-Verlag Berlin-Heidelberg-New York 1975, 311 s.
- [87] RENYI,A.: Teorie pravděpodobnosti. Akadémia, Praha 1972. 511 s.
- [88] ANDĚL, J.: Matematická statistika. SNTL-ALFA, Praha 1978. 343 s.
- [89] ÅSTRÖM, K.J.: Introduction to stochastic Control Theory. Academic Press, New York, 1970, 293 s.
- [90] LEVIN, B.R.: Teoriya slúčajných procesov i jeho pri- ménění v radiotehnike. Sovetskoe radio. Moskva 1957.
- [91] CHINČIN, A.Ju.: Teoriya korelacii stacionarnych slúčaj- nych procesov. Uspechy matematičeskikh nauk. 1938, vypusk 5.
- [92] MATYĀŠ, V.: Měření, analýza a vytváření náhodných pro- cesů. SNTL Praha, 1976, 157 s.
- [93] BENDAT, J.-PIERSOL, A.: RANDOM DATA: Analysis and Mea- surement Procedures, John Wiley and sons, New York, London, Sydney, Toronto 1971, 431 s.
- [94] DOOB, J.: Stochastic Processes, John Wiley and sons, New York, London 1953, s. 216
- [95] SOLODOVSKIJ, V.V.: Vvedenije v statičeskiju dinamiku sis- tem avtomatičeskogo upravlenija. Gosstachizdat, Moskva, 1952, s. 386.

- [96] ČSN 01 0101 - Názvosloví z oboru řízení kvality.
- [97] LIVŠIC, M A.-PUGAČEV, V.N.: Verojatnost' analiz sistem avtomatičeskogo upravlenija. Sovětskoje radio, Moskva 1963.
- [98] PUGAČEV, V.S.: Teoriya veroyatnosti i matematicheskaja statistika. Nauka, Moskva 1979, 495 s.
- [99] KOTJUK, A.P.-OLŠEVSKI, V.V.-CVETKOV, E.I.: Metody i aparatura dlja analiza značenij slučajnyh procesov. Energija, Moskva, 1967.
- [100] ALEKSEJEV A.J. a j.: Teoriya primenenija psevdoslučajnyh signalov. Nauka, Moskva 1969.
- [101] OLEHLA, M. VĚCHET, V., - OLEHLA, J.: Řešení úloh matematické statistiky ve Fortranu, Nadaš, Praha 1982, 368 s.
- [102] KOŽEŠNÍK, J.: Kmitání mechanických soustav. Akademie, Praha 1979.
- [103] TIRINDA, P.: Niektoré problémy identifikacie dynamických vlastností gumových pružín. (kandidátská disertační práce). UMS SAV Bratislava 1976.
- [104] PETERKA, V.: Použití pseudonáhodných signálů k identifikaci dynamických soustav. Kybernetika. 5, 1969, č. 2, s. 113-135.
- [105] LAPIN, A.A.: Rezinokordovye oboločki kak uprugije i silovyje elementy mašin. In: Rasčety uprugich elementov mašin i priborov. MVTI um. Baumanova, Mašgiz, 1952.
- [106] TICHOMIROV, V.B.: Planirovaniye i analiz eksperimenta. Legkaja industrija, Moskva 1974.
- [107] DANIEL, C.: Applications of statistics to industrial experimentation. John Wiley and Sons, New York-London-Toronto, 1976.
- [108] KREJCÍŘ, O.-DANČA, J.: Ruční regulátor tlaku vzduchu v nádobách. AO ČSSR, 173 047
- [109] DANČA, J.-DUDĀŠ, L.-PAVLØ, M.: Jednokomorový regulační ventil. AO ČSSR 236889
- [110] DANČA, J.-PAVLØ, M.: Záchranné saně pro svoz raněných. AO ČSSR 236372

- [111] KREJČÍŘ, O.-PEŠÍK, L.: Pneumatická opora s regulačním  
nastavením pro pružné uložení hmot. A.O. ČSSR 236 600
- [112] PAVLŮ, M.: Výpočet veličin potřebných pro vibreizolační  
analýzu pružných pneumatických uložení. In: II. sborník  
vědeckovýzkumných prací MTI Moskva a VŠST Liberec,  
Moskva, Liberec 1983.
- [113] SMETANA, C.: Měření hluku a chvění. Praha, SNTL 1974.

## P R I L O H Y

### SEZNAM PROGRAMÚ:

1. PER 1	str. A1 - A3
2. AFTR	B1 - B11
3. KORFCE	C1 - C13
4. KORFTR	D1 - D8
5. PREN	E1 - E8
6. PRUBVF	F1 - F8
7. KORFSR	G1 - G11
8. PROLOZ	H1 - H6

```

100 C HLEDANI PERIODICITY V DATECH
100 VSTUPNI DATA AZ DO 1000 PRVKU JSOU NA POLI X
100 DIMENSION X(1000),XP(500),IPZAD(10)
100 DIMENSION ITEXT(10),VST(10),KK(10),XX(10)
100 READ(5,320)ITEXT
100 READ(5,302)NPZAD,APARM
100 READ(5,302)ICISM,TZAD
100 READ(5,102)FPGC,FKON
100 FORMAT(2F0.0)
100 102 FORMAT(10F0.0)
100 110 FORMAT(10I0)
100 210 FORMAT(10,F0.0)
100 302 FORMAT(20A4)
100 320 IF(NPZAD.GT.0)GO TO 8
100 READ(5,210)(IPZAD(I),I=1,NRZAD)
100 N=0
100 8 DO 10 I=1,101
100 10 READ(5,110,END=9)VST
100 15 DO 15 J=1,10
100 16 IF(VST(J).LE.0.0)GOTO 15
100 17 IF(N.GT.999)GOTO 10
100 18 N=N+1
100 19 X(N)=VST(J)/APARM
100 20 CONTINUE
100 21 CONTINUE
100 22 WRITE(6,1000)
100 23 1000 FORMAT(//1X,'ZJISTOVANI PERIODICITY V DATECH'//)
100 24 WRITE(6,320)ITEXT
100 25 WRITE(6,1050)N,TZAD
100 26 1050 FORMAT(//1X,'VSTUPNI DATA'//)
100 27 :1X,'POCET',I5/
100 28 :1X,'INTERVAL',2X,F7.5,' S'//
100 29 :1X,7(' P.C.',5X,'HODNOTA',3X)//)
100 30 N7=N/7+1
100 31 DO 80 I=1,N7
100 32 DO 85 J=1,7
100 33 KK(J)=0
100 34 XX(J)=0.0
100 35 K=(J-1)*N7+I
100 36 IF(K.GT.N)GO TO 85
100 37 KK(J)=K
100 38 XX(J)=X(K)
100 39 85 CONTINUE
100 40 WRITE(6,1100)(KK(J),XX(J),J=1,7)
100 41 1100 FORMAT(1X,7(1S,F12.6,3X))
100 42 80 CONTINUE
100 43 IF(NPZAD.LE.0)GO TO 7
100 44 WRITE(6,1200)
100 45 1200 FORMAT(1H1,' PREHLED PRUMERNYCH CTVERCU ODCHYLEK'//)
100 46 :1X,5X,'POCET',2X,'OPT.POC.',5X,'PERIODA',4X,'OPT.POR.',1
100 47 :2X,'PRUM.ODCH.'//)
100 48 MAXPER=N/3+1
100 49 DIFM=1.0E+70
100 50 IPER=0
100 51 DO 20 I=1,MAXPER
100 52 IP=I
100 53 DIFS=DIF(N,X,IP)
100 54 IF(DIFS.LT.DIFM)IPER=IP
100 55 IF(DIFS.LT.DIFM)DIFM=DIFS
100 56 TP=IP*TZAD
100 57 TOPT=IPER*TZAD
100 58 WRITE(6,1300)IP,IPER,TP,TOPT,DIFS
100 59 1300 FORMAT(1X,2I10,0P2F12.3,1PE12.3)

```

```

CONTINUE
NPUPR=1
IF(NPZAD.LT.0)NPUPR=NPZAD
DO 50 ICYKL=1,NPUPR
IF(NPZAD.LT.0)IPER=IPZAD(ICYKL)
TOPT=TZAD*FLOAT(IPER)
WRITE(6,1400)TOPT
1400 FORMAT(1H1,1X,'OPT. PERIODA',F6.3,' S'/
1X,4X,'PORADI',4X,'STR.HOD.',3X,'DIFERENCE',4X,'REL.DIF.')
NOPA=N/IPER+1
DO 30 I=1,IPER
NJ=0
XS=0.0
XMIN=X(I)
XMAX=X(I)
DO 40 J=1,NOPA
K=I+(J-1)*IPER
IF(K.GT.N)GOTO 40
XS=XS+X(K)
NJ=NJ+1
IF(X(K).LT.XMIN)XMIN=X(K)
IF(X(K).GT.XMAX)XMAX=X(K)
CONTINUE
XS=XS/FLOAT(NJ)
XDA=XMAX-XMIN
XDR=100.0*XDA/XS
WRITE(6,1500)I,XS,XDA,XDR
1500 FORMAT(1X,I10,1P2E12.3,0PF12.2)
CONTINUE
CONTINUE
STOP 777
END

```

```

REAL FUNCTION DIF(N,X,IP)
DIMENSION X(1000),XS(50),XD(500)
JOPA=N/IP+1
DO 10 I=1,IP
NJ=0
XS(I)=0.0
DO 20 J=1,JOPA
K=I+(J-1)*IP
IF(K.GT.N)GOTO 20
XS(I)=XS(I)+X(K)
NJ=NJ+1
CONTINUE
XS(I)=XS(I)/FLOAT(NJ)
NJ=0
XD(I)=0.0
DO 30 J=1,JOPA
K=I+(J-1)*IP
IF(K.GT.N)GOTO 30
XD(I)=XD(I)+(X(K)-XS(I))**2
NJ=NJ+1
CONTINUE
XD(I)=XD(I)/FLOAT(NJ)
CONTINUE
D=0.0
DO 50 I=1,IP
D=D+XD(I)
CONTINUE
DIF=D/FLOAT(IP)

```

RETURN  
END

```

DIMENSION ITEXT(10),VST(10)
: APAR(10),KK(5),ERT(5),UTT(5),FZT(5),AP(5),AA(5) -
COMPLEX H(300),IJ,CARG
DIMENSION ITEXT(10),VST(10)
READ(5,320)ITEXT
READ(5,302)NPZAD,APARM
READ(5,303)ICISM,TZAD,STRVST
READ(5,103)FPOC,FKON,PRI'R
FORMAT(2F0.0)
102 FORMAT(3F0.0)
103 FORMAT(10F0.0)
110 FORMAT(10I0)
210 FORMAT(10,F0.0)
302 FORMAT(10,2F0.0)
303 FORMAT(20A4)
320 T=TZAD
FP=FPOC
FK=FKON
DF=PRI'R
IPAR(1)=ICISM
PI=3.14159
IJ=(0.0,1.0)
FS=1.0/T
WRITE(6,1000)
1000 1000 FORMAT(1X,'ANALOGOVA FOURIEROVA TRANSFORMACE '
:'RELATIVNIHO PRENOSU'//)
1500 WRITE(6,320)ITEXT
1700 WRITE(6,1050)T,FS
1050 FORMAT(1X,'VZORKOVACI INTERVAL',F10.3,' S'//
:1X,'STREDNI FREKVENCE',F10.3,' Hz'//)
N=0
DO_10 I=1,210
    READ(5,110,END=9)VST
    DO_15 J=1,10
        IF(VST(J).LE.0.0)GOTO 15
        IF(N.GT.999)GOTO 10
        N=N+1
        A(N)=VST(J)/APARM
10 15 CONTINUE
10 10 CONTINUE
10 9 IF(N.LE.0)STOP 111
10 100 IF(N.GT.1000)N=1000
1200 AS=0.0
1300 DO_25 J=1,N
    AS=AS+A(J)
1500 25 CONTINUE
1600 AS=AS/FLOAT(N)
1700 WRITE(6,1070)N
1700 1070 FORMAT(//1X,'POCET VZORKU',I5//)
1800 :1X,'PREHLED VZORKU'//)
1900 :1X,5(1X,'P.C.',3X,'PUVODNI',2X,'UPRAVENE',5X)//)
2000 N5=N/S+1
2100 ASTR=0.0
2200 DO_80 I=1,N5
    DO_85 J=1,S
        KK(J)=0
        AP(J)=0.0
        AA(J)=0.0
        K=(J-1)*N5+I
        IF(K.GT.N)GO TO 85
        KK(J)=K
        AP(J)=A(K)
        A(K)=(A(K)-AS)/STRVST

```

```

      A(J)=1.0
CONTINUE
      WRITE(6,1100)(KK(J),AP(J),A(J),J=1,5)
      FORMAT(1X,5(15.0P2E10.6,5X))
1100 CONTINUE
      ASTR=ASTR*STRVST/FLOAT(N)
      APAR(1)=ASTR/STRVST
      WRITE(6,1150)ASTR
      FORMAT(//1X,'STREDNI RELATIVNI HODNOTA VYSTUPU',1PE12.3//)
1150 WRITE(6,1200)
      FORMAT(1H1,1X,'FREKVENCNI CHARAKTERISTIKA'//
      : 1X,5('FREKVENCE',4X,'UTLUM',5X,'FAZE',3X)//)
      NF=(FK-FP)/DF
      IF(NF.GT.300)NF=300
      UTMAX=-1000.0
      DO 20 J=1,NF
      H(J)=0.0
      FR=(FP+FLOAT(J-1)*DF)/FS
      CARG=2.0*PI*FR*IJ
      DO 30 I=1,N
      AI=FLOAT(I)
      H(J)=H(J)+A(I)*CEXP(-CARG*AI)
CONTINUE
      H(J)=H(J)*T
      AH=CABS(H(J))
      UT(J)=-1000.0
      IF(AH.GT.0.0)UT(J)=20.0* ALOG10(AH)
      IF(AH.GT.0.0)
*     FZ(J)=(180.0/PI)*ATAN2(AIMAG(H(J)),REAL(H(J)))
      IF(UT(J).GT.UTMAX)UTMAX=UT(J)
20 CONTINUE
      DO 60 I=1,NF
      GR(1,I)=UT(I)
CONTINUE
      N5=NF/5+1
      DO 40 I=1,N5
      DO 45 J=1,5
      K=(J-1)*N5+I
      IF(K.GT.NF)K=NF
      FRT(J)=FP+DF*FLOAT(K-1)
      UTT(J)=UT(K)
      FZT(J)=FZ(K)
40 CONTINUE
      WRITE(6,1300)(FRT(J),UTT(J),FZT(J),J=1,5)
1300 FORMAT(1X,5(3E9.3,3X))
45 CONTINUE
      IF(NPZAD.GT.0)GO TO 3
      NF=5*(NF/5)
      WRITE(7,5201)NF
      WRITE(7,5103)FP,FK,DF
      WRITE(7,5105)(UT(I),I=1,NF)
5103 FORMAT(3F10.5)
5105 FORMAT(5F10.3)
5201 FORMAT(11.)
      IPAR(1)=1
      CALL GDAFY(GR,1,NF,0.0,0.0,IPAR,APAR,FP,DF,
      : 15,3,T,N)
      STOP 777
      END

```

SUBROUTINE ZAPORN, ZD, PARAV, Y1, X1(300),  
\*LX, LY, APAR, IPAR)  
DIMENSION YY(1,300), IC(10), PARAM(10), Y1(300), X1(300),  
\*DEL0(10), MET(10)

YY - POLE ZAPOROVANYCH HODNOT V POCTU MM X MM  
YDOLNI, YHORN - DOLNI A HORNI MEZ ZAVISLE PROMENNE.  
JE-LI LX ZAPORNE  
XD,XH,DIFX - HRANICE A KROK NEZAVISLE PROMENNE  
LX, LY - DELKA OSY X A POLOVICNI DELKA OSY Y V CM,  
JE-LI LX ZAPORNE.  
POZADUJU SE MEZE NA PARAMETRECH YDOLNI, YHORN

FORMAT('SPOJITE FOUR. TRAN. RELATIVNIHO PRENOSU')

FORMAT('FREKV.')

FORMAT('REL.PR. (DB)')

FORMAT('FAZE')

FORMAT('T=')

FORMAT('N=')

FORMAT('POPIS KRIVEK')

FORMAT('PARAMETR')

M=MM

IF(M.GT.10)M=10

N=NN

IF(N.GT.300)N=300

IF(LX.LT.0)YD=YDOLNI

IF(LX.LT.0)YH=YHORN

IF(LX.LT.0)GO TO 9

YD=YY(1,1)

YH=YY(1,1)

DO 10 I=1,M

  DO 10 J=1,N

    IF(YY(I,J).LT.YD)YD=YY(I,J)

    IF(YY(I,J).GT.YH)YH=YY(I,J)

10 CONTINUE

LX=IABS(LX)

ZAKLADNI VOLANI

CALL GRAFOR(1,50000,-0,-1.0,LX,LY)

IPOLY=10\*IFIX(0.2\*FLOAT(LX))

CALL GRAFOR(3,0.1,0.1,IPOLY,0,3100)

VYPOCET MERITEK A NAKRTESELENI STUPNIC

WRITE(6,1000)

FORMAT(1H1,' INFORMACE O GRAFIKEM ZPRACOVANE UDAJU'//)

CALL STUPCE(1,XD,XH,XP,XK,DX,IRX,XDM,XHM,NX,DXD,YY,M,N)

CALL STUPCE(2,YD,YH,YP,YK,DY,IRY,YDM,YHM,NY,NYD,YY,M,N)

IF(NX.LE.0.OR.NY.LE.0)STOP 111

DELKAX=8.5\*FLOAT(LX)

DELKAY=8.5\*FLOAT(LY)

DXG=DELKAX/FLOAT(NX)

DYG=DELKAY/FLOAT(NY)

CALL GRAFOR(4,DXG,DYG,100\*NX+1,100\*NY+1)

NX1=NX+1

YTISK=0.05\*DELKAY

DO 50 I=1,NX1

  AI=FLOAT(I-1)-0.25

  X=XP+FLOAT(I-1)\*DX

  CALL GRAFOR(5,AI\*DXG,-YTISK)

  CALL GRAFOR(9,X,FLOAT(NYD),2,0)

50 CONTINUE

CALL GRAFOR(7,0.85\*DELKAX,-2.0\*YTISK,2,0,3200)

```

      IF( I=1, Y1 = 0.0 )
      Y1 = FLOAT(I-1)
      Y2 = FLOAT(I+1)
      Y3 = FLOAT(I+2)
      CALL GRAFOR(5,-1.8*DYG,A1*DYG)
      CALL GRAFOR(0,Y2*FLOAT(NYD),2.0)
CONTINUE
IF(CMET(10).EQ.1)
:CALL GRAFOR(7,-DXG,0.95*DELKAY,2.0,8300)
:IF(CMET(10).EQ.2)
:CALL GRAFOR(7,-DXG,0.95*DELKAY,2.0,8310)
:IF(IRX.EQ.0) GO TO 11
CALL GRAFOR(7,0.0,-2.0*YTISK,2.0,'MERITKO OSY X: ')
CALL GRAFOR(10,3.0,2.0,IRX,0)
IF(IRY.EQ.0) GO TO 12
CALL GRAFOR(7,0.0,-3.0*YTISK,2.0,'MERITKO OSY Y: ')
CALL GRAFOR(10,3.0,2.0,IRY,0)
IE(XDM,EQ.0.C.DR.YHM.EQ.0.0) GO TO 13
XMAX=AMAX1(ABS(XD1),ABS(XHM))
IF(ABS(XHM-XDM)/XMAX.GT.0.01) GO TO 13
IRDY=IRAD(XDM)
DMM=XDM*10.0**(-1RDY)
CALL GRAFOR(7,0.5*DELKAX,-2.0*YTISK,2.0,
*'POCACTENI HOD-STUP.X: ')
CALL GRAFOR(9,DMM,6.0,2.0)
CALL GRAFOR(3,0.0,0.0,2.0,' E')
CALL GRAFOR(10,2.0,2.0,IRDY,0)
IF(YDM.EQ.0.C.DR.YHM.EQ.0.0) GO TO 14
YMAX=AMAX1(ABS(YDH),ABS(YHM))
IF(ABS(YHM-YDM)/YMAX.GT.0.01) GO TO 14
IRDY=IRAD(YDM)
DMM=YDM*10.0**(-1RDY)
CALL GRAFOR(7,0.5*DELKAX,-3.0*YTISK,2.0,
*'POCACTENI HOD-STUP.X: ')
CALL GRAFOR(9,DMM,6.0,2.0)
CALL GRAFOR(3,0.0,0.0,2.0,' E')
CALL GRAFOR(10,2.0,2.0,IRDY,0)
CALL GRAFOR(5,0.0,0.0)

KRESLENI GRAFU
UX,UY = MERTITKO = MM/JEDN.
UX=DELKAX/(XHM-XD1)
UY=DELKAY/(YHM-YD1)
DO 210 I=1,N
  IC(I)=MET(I)
CONTINUE
DO 110 I=1,N
  DO 120 J=1,N
    X=XD+FLOAT(J-1)*DIFX
    X1(J)=(Y-XDM)*UX
    Y1(J)=(YY(I,J)-YDM)*UY
    XPP=X-XD
    YPP=YY(I,J)-YD
CONTINUE
  CALL TYPCC(1,DELKAX/30,'MCARA,DELG')
  CALL KRINKA(1,X1,Y1,'MCARA,DELG')
  WRITE(6,110) I
110  FORMAT(1X,' NAKRESLEN GRAF C.',13)
CONTINUE
XTP=0.7*DELKAX
YTP=0.75*DELKAY
YTISK=0.15*DELKAY
YTISK=0.15*DELKAY

```

```

CALL GRAFOR(0,APAR,4.0,2.0)
CALL GRAFOR(7,XTP,YTP-YTISK,2.0,8500)
CALL GRAFOR(10,2.0,5.0,IPAR,0)
CALL GRAFOR(7,XTP,YTP-2.0*YTISK,2.0,3000)
CALL GRAFOR(7,XTP,YTP-3.0*YTISK,2.0,'PERENI')
CALL GRAFOR(7,XTP+XTISK,YTP-3.0*YTISK,2.0,8700)
DO 150 I=1,M
    CALL GRAFOR(7,XTP,YTP-FLOAT(I+3)*YTISK,2.0,' ')
    CALL GRAFOR(10,2.0,2.0,MET(I),0)
    CALL GRAFOR(7,XTP+XTISK,YTP-FLOAT(I+3)*YTISK,2.0,' ')
    CALL GRAFOR(7,PARA'(I),3.0,2.0)
CONTINUE
CALL GRAFOR(2)
WRITE(6,1200)
FORMAT ('/ ZPRACOVANI GRAFICKYCH UDAJU UKONCENO//')
RETURN
END

```

```

SUBROUTINE STUPCE(IOSA,PD,PH,PP,PK,DP,IR,PDM,PHM,N,ND,
*Y,MM,NN)
DIMENSION Y(5,300)
DATA IX,IY/1HX,1HY/
IF(IOSA.EQ.1)IXY=IX
IF(IOSA.EQ.2)IXY=IY
WRITE(6,1000)IXY
1000 FORMAT(' POPIS OSY',2X,A1/)
IF(PD.GE.PH.AND.IOSA.EQ.1)CALL TISK1(1,PD,PH)
IF(PD.GE.PH.AND.IOSA.EQ.2)CALL TISK2(1,PD,PH,Y,MM,NN)
IF(PD.GE.PH)N=0
IF(PD.GE.PH)RETURN
IF(ABS(PD).LT.1.0E-75)PD=0.0
IF(ABS(PH).LT.1.0E-75)PH=0.0
IF(PD.EQ.0.0)GO TO 1
IF(PH.EQ.0.0)GO TO 2
IF(PD.NE.0.0.AND.PH.NE.0.0)GO TO 3

```

```

DOLNI HODNOTA PROMENNE NULova
1 IR=IRAD3(ABS(PH))
2 REDH=ABS(PH)/10.0**IR
3 PP=0.0
4 CALL VYPST(REDH,PK,DP,N,ND)
5 PDM=0.0
6 PHM=PK*10.0**IR
7 GO TO 99

```

```

HORNI HODNOTA PROMENNE NULova
1 IR=IRAD3(ABS(PD))
2 REDH=ABS(PD)/10.0**IR
3 PK=0.0
4 CALL VYPST(REDH,PKK,DP,N,ND)
5 PP=-PKK
6 PHM=0.0
7 PDM=PP*10.0**IR
8 GO TO 99

```

```

OBE HODNOTY PROMENNE JSOU NENULOVE
1 PODIL=ABS(PH/PD)
2 POM=ABS(PH)
3 IF(POM.LT.ABS(PD))POM=ABS(PD)
4 IR=IRAD3(POM)

```

```

REDMIN=PD/10.0**ER
REDMAX=PH/10.0**ER
IF(PODIL.GT.1000.0)CALL TISK1(2,PD,PH)
IF(PODIL.GT.1000.0.AND.IOSA.EQ.2)CALL TISK1(2,PD,PH,
+MM,NH)
IF(PODIL.GT.1000.0)REDMIN=0.001*REDMAX
IF(PODIL.LT.0.001.AND.IOSA.EQ.1)CALL TISK1(2,PD,PH)
IF(PODIL.LT.0.001.AND.IOSA.EQ.1)CALL TISK2(2,PD,PH,
+MM,NH)
IF(PODIL.LT.0.001)REDMAX=0.001*REDMIN
DIF=REDMAX-REDMIN
PDM=ABS(REDMIN)
IF(PDM.LT.ABS(PODIL))PCM=ABS(PODIL)
RDIF=DIF/PDM
IF(RDIF.GE.0.01) GO TO 5
IF(RDIF.LT.0.01) GO TO 6
CALL VYPST(DIF,DIFRED,DP,N,ND)
NSROV=ICC(REDMIN/DP)
IF(REDMIN.LT.0.0)NSROV=NSROV-1
PP=DP*FLOAT(NSROV)
PK=PP*DIFRED
PDM=PP*10.0**IR
PKM=PK*10.0**IR
GO TO 99
IF(IOSA.EQ.1)CALL TISK1(3,PD,PI)
IF(IOSA.EQ.2)CALL TISK2(3,PD,PI,MM,NH)
IRD=IRAD3(DIF)
IRC=IR+IRD
DIF=DIF/10.0**IRD
CALL VYPST(DIF,DIFRED,DP,N,ND)
PB=0.0
PK=DIFRED
NSROV=ICC(REDMIN/(DP*10.0**IRD))
IF(REDMIN.LT.0.0)NSROV=NSROV-1
PDM=NSROV*DP*10.0**IRC
PHM=PDM+(DIFRED+DP)*10.0**IRC
IR=IRD
99 WRITE(6,1100)PD,PH,PP,PK,DP,PDM,PHM
1100 FORMAT(1X,'MIN.HODN.',1PE15.6,5X,'MAX.HODN.',1PE15.6/
+1X,'POCATEK',OPF15.3,5X,'KONEC',4X,OPF15.3,5X/
+'PRIRUST',OPF15.3/
+1X,'DOLNI MEZ',1PE15.6,5X,'HORNI MEZ',1PE15.6)
WRITE(6,1200)IR,N,ND
1200 FORMAT(1X,'RAD',15.20X,'POC.DILKU',15.15X,'POC.CISL',15/)
RETURN
END

```

```

SUBROUTINE VYPST(H,UH,DH,N,NM)
UH=1000.0
DH=100.0
N=10
NM=4
IF(H.LT.0.01)CALL POZN(4)
IF(H.LT.0.01)RETURN
IF(H.GT.1000.0)CALL POZN(5)
IF(H.GT.1000.0)RETURN
IF(H.GE.0.01.AND.H.LT.0.1)UPR=100.0
IF(H.GE.0.1.AND.H.LT.1.0)UPR=10.0
IF(H.GE.1.0.AND.H.LT.10.0)UPR=1.0
IF(H.GE.10.0.AND.H.LT.100.0)UPR=0.1
IF(H.GE.100.0.AND.H.LE.1000.0)UPR=0.01

```

```

1 IF(HH.GE.1.0.AND.HH.LE.1.4)GO TO 1
2 IF(HH.GT.1.4.AND.HH.LE.2.0)GO TO 2
3 IF(HH.GT.2.0.AND.HH.LE.3.0)GO TO 3
4 IF(HH.GT.3.0.AND.HH.LE.4.0)GO TO 4
5 IF(HH.GT.4.0.AND.HH.LE.5.0)GO TO 5
6 IF(HH.GT.5.0.AND.HH.LE.7.0)GO TO 6
7 IF(HH.GT.7.0.AND.HH.LE.10.0)GO TO 7
8 CALL PCZN(6)
9 UH=1.4
10 DH=0.2
11 N=7
12 GO TO 11
13 UH=2.0
14 DH=0.2
15 N=10
16 GO TO 11
17 UH=3.0
18 DH=0.3
19 N=10
20 GO TO 11
21 UH=4.0
22 DH=0.5
23 N=3
24 GO TO 11
25 UH=5.0
26 DH=0.5
27 N=10
28 GO TO 11
29 UH=7.0
30 DH=1.0
31 N=7
32 GO TO 11
33 UH=10.0
34 DH=1.0
35 N=10
36 UH=UH/UPR
37 DH=DH/UPR
38 IF(UPR.LT.0.02)NM=4
39 IF(UPR.GT.0.09.AND.UPR.LT.0.11)NM=3
40 IF(UPR.GT.0.9.AND.UPR.LT.1.1)NM=2
41 IF(UPR.GT.9.0.AND.UPR.LT.11.0)NM=3
42 IF(UPR.GT.99.0)NM=4
43 RETURN
44 END
45 C
46 C
47 C
48 C
49 C
50 C
51 C
52 C
53 C
54 C
55 C
56 C
57 C
58 C
59 C
60 C
61 C
62 C
63 C
64 C
65 C
66 C
67 C
68 C
69 C
70 C
71 C
72 C
73 C
74 C
75 C
76 C
77 C
78 C
79 C
80 C
81 C
82 C
83 C
84 C
85 C
86 C
87 C
88 C
89 C
90 C
91 C
92 C
93 C
94 C
95 C
96 C
97 C
98 C
99 C

```

```

1 INTEGER FUNCTION IRAD3(X)
2 IR=IRAD(X)
3 IRA=IAES(IR)
4 IR3=3*(IRA/3)
5 IZ3=IR-IR3
6 IF(IR.LT.0)IR3=-IR3
7 IF(IR.LT.0.AND.IZ3.GT.0)IR3=IR3-3
8 IRAD3=IR3
9 RETURN
10 END
11 C
12 C
13 C
14 C
15 C
16 C
17 C
18 C
19 C
20 C
21 C
22 C
23 C
24 C
25 C
26 C
27 C
28 C
29 C
30 C
31 C
32 C
33 C
34 C
35 C
36 C
37 C
38 C
39 C
40 C
41 C
42 C
43 C
44 C
45 C
46 C
47 C
48 C
49 C
50 C
51 C
52 C
53 C
54 C
55 C
56 C
57 C
58 C
59 C
60 C
61 C
62 C
63 C
64 C
65 C
66 C
67 C
68 C
69 C
70 C
71 C
72 C
73 C
74 C
75 C
76 C
77 C
78 C
79 C
80 C
81 C
82 C
83 C
84 C
85 C
86 C
87 C
88 C
89 C
90 C
91 C
92 C
93 C
94 C
95 C
96 C
97 C
98 C
99 C

```

```

1 INTEGER FUNCTION IRAD(X)
2 AX=AES(X)
3
```

```
1000 IF(AX.EQ.0.0)RETURN  
1010 IF(AX.GE.1.0.AND.AX.LE.10.0)GO TO 1  
1020 IF(AX.LT.1.0)GO TO 2  
1030 IF(AX.GT.10.0)GO TO 2  
1040 RETURN  
1050 IR=0  
1060 DO 10 I=1,80  
1070 AX=10.0*AX
```

```
1080 IR=IR-1  
1090 IF(AX.GE.1.0.AND.AX.LE.10.0)GO TO 11
```

```
1100 CONTINUE
```

```
1110 IR=0  
1120 DO 20 I=1,80  
1130 AX=0.1*AX
```

```
1140 IR=IR+1  
1150 IF(AX.GE.1.0.AND.AX.LE.10.0)GO TO 11  
1160 CONTINUE
```

```
1170 IRAD=IR
```

```
1180 RETURN
```

```
1190 END
```

```
1200 INTEGER FUNCTION ICC(X)
```

```
1210 I=IFIX(X)
```

```
1220 IF(ABS(X-FLOAT(I)).GT.0.299)I=I+1
```

```
1230 ICC=I
```

```
1240 RETURN
```

```
1250 END
```

```
1260 SUBROUTINE TISK1(IP0Z,D,H)
```

```
1270 CALL POZN(IP0Z)
```

```
1280 WRITE(6,1000)D,H
```

```
1290 FORMAT(//'* DOLNI MEZ',1PE15.6,' HORNJI MEZ',1PE15.6/)
```

```
1300 RETURN
```

```
1310 END
```

```
1320 SUBROUTINE TISK2(IP0Z,D,H,Y,M,N)
```

```
1330 DIMENSION Y(5,300)
```

```
1340 CALL POZN(IP0Z)
```

```
1350 WRITE(6,1000)D,H
```

```
1360 FORMAT(//'* DOLNI MEZ',1PE15.6,' HORNJI MEZ',1PE15.6/)
```

```
1370 WRITE(6,1100)
```

```
1380 FORMAT(* ZOBRAZOVANE UDAJE*)
```

```
1390 DO 10 I=1,M
```

```
1400 WRITE(6,1200)I
```

```
1410 FORMAT(' KRIVKA',13/)
```

```
1420 WRITE(6,1300)(Y(I,J),J=1,N)
```

```
1430 FORMAT(1P5E15.6)
```

```
1440 CONTINUE
```

```
1450 RETURN
```

```
1460 END
```

```
1470 SUBROUTINE POZN(I)
```

```
1480 FORMAT(/' POUHOZENE NEBO STEJNE MEZE - KONEC'/)
```

```
1490 FORMAT(/' PRILIS VELKE ROZDILY HODNOT - UPRAVENY MEZE'/)
```

```
1500 FORMAT(/' PRILIS MALE ROZDILY HODNOT - ZVLASTNI STUPNICE'/)
```

```
1510 FORMAT(/' MALY ROZSAH STUPNICE - STANDARDNI HODNOTY'/)
```

```
1520 FORMAT(/' VELKY ROZSAH STUPNICE - STANDARDNI HODNOTY'/)
```

```

1000 1000 FORMAT(' PREKROCEŃ 2. ROZMIER POLE - GRAF CHYBNE')
1000 1700 FORMAT(' PREKROCEŃ ROZSĄK POLE - GRAF CHYBNE')
1000 1600 GO TO (1,2,3,4,5,6,7,8),I
1000 1500 WRITE(6,1100)
1000 1400 1 RETURN
1000 1300 2 WRITE(6,1200)
1000 1200 3 RETURN
1000 1100 4 WRITE(6,1300)
1000 1000 5 RETURN
1000 900 6 WRITE(6,1400)
1000 800 7 RETURN
1000 700 8 WRITE(6,1500)
1000 600 9 RETURN
1000 500 10 WRITE(6,1600)
1000 400 11 RETURN
1000 300 12 WRITE(7,1700)
1000 200 13 RETURN
1000 100 14 WRITE(8,1800)
1000 100 END
1000 C
1000 C
1000 3200 SUBROUTINE KRIWK(X,N,Y,M,DEL)
1000 3100 REAL X(N),Y(N),DEL(M)
1000 3000 IF(M.GT.10)M=10
1000 2900 IF(N.GT.300)N=300
1000 2800 P1=X(1)
1000 2700 Q1=Y(1)
1000 2600 CALL GRAFOR(S,P1,Q1)
1000 2500 IP=2
1000 2400 IC=1
1000 2300 DELZN=DEL(IC)
1000 2200 DELKA=ABS(DELZN)
1000 2100 IPIS=6
1000 2000 IF(DELZN.LE.0.0)IPIS=5
1000 1900 N1=N-1
1000 1800 DO 10 I=1,N1
1000 1700 X1=X(I+1)
1000 1600 Y1=Y(I+1)
1000 1500 IF(P1.EQ.X1)P2=P1
1000 1400 IF(P1.EQ.X1)Q2=Q1+DELKA
1000 1300 IF(P1.LT.X1)CALL PRUS(P1,Q1,X1,Y1,DELKA,P2,Q2)
1000 1200 IF(P1.EQ.X1.AND.Q2.LE.Y1)DELKA=0.0
1000 1100 IF(P1.EQ.X1.AND.Q2.GT.Y1)GO TO 1
1000 1000 IF(P2.LE.X1)DELKA=0.0
1000 900 IF(P2.GT.X1)GO TO 1
1000 800 DO 20 J=1,1000
1000 700 CALL GRAFOR(IPIS,P2,Q2)
1000 600 IF(DELKA.GT.0.0)GO TO 2
1000 500 IC=IC+1
1000 400 IF(IC.GT.M)IC=1
1000 300 P1=P2
1000 200 Q1=Q2
1000 1900 DELZN=DEL(IC)
1000 1800 DELKA=ABS(DELZN)
1000 1700 IPIS=6
1000 1600 IF(DELZN.LE.0.0)IPIS=5
1000 1500 CALL PRUS(P1,Q1,X1,Y1,DELKA,P2,Q2)
1000 1400 IF(P1.EQ.X1.AND.Q2.LE.Y1)DELKA=0.0
1000 1300 IF(P1.EQ.X1.AND.Q2.GT.Y1)GO TO 1
1000 1200 IF(P2.LE.X1)DELKA=0.0

```

```
10 CONTINUE
20 CALL GRAFOR(IPIG,X1,Y1)
30 DELKA=DELKA-SQRT((X1-P1)**2+(Y1-Q1)**2)
40 P1=X1
50 Q1=Y1
60 CONTINUE
70 RETURN
80 END
```

```
10 SUBROUTINE PRUS(P1,Q1,X1,Y1,D,P2,Q2)
20 A=(Y1-Q1)/(X1-P1)
30 A1=SQRT(1.0+A**2)
40 P2=D/A1+P1
50 Q2=A*D/A1+Q1
60 RETURN
70 END
```

```
10 SUBROUTINE TYPCC(I,D,MC,DC)
20 REAL DC(10)
30 DC(1)=0.5*D
40 DC(2)=-0.2*D
50 DC(3)=0.2*D
60 DC(4)=-0.2*D
70 DC(5)=0.2*D
80 DC(6)=-0.2*D
90 DC(7)=0.2*D
100 DC(8)=-0.2*D
110 DC(9)=0.2*D
120 DC(10)=-0.2*D
130 GO TO (1,2,3,4,5,6,7,8,9,10),I
140 MC=1
150 DC(1)=D
160 RETURN
170 MC=2
180 DC(1)=0.7*D
190 DC(2)=-0.3*D
200 RETURN
210 MC=2
220 DC(1)=0.7*D
230 DC(2)=-0.5*D
240 RETURN
250 MC=2
260 DC(1)=0.5*D
270 DC(2)=-0.5*D
280 RETURN
290 MC=4
300 RETURN
310 MC=6
320 RETURN
330 MC=8
340 RETURN
350 MC=10
360 RETURN
370 MC=2
380 DC(1)=0.3*D
390 DC(2)=-0.3*D
400 RETURN
410 MC=2
```

400  
500  
600  
700  
DC(1)=  
DC(2)=-0.2\*D  
RETURN  
END

```
VYPOCTY KORELAQNICH FUNKCI  
DIMENSION-X(1024),Y(1024),  
RXX(128),PYX(128),RXY(128),RYX(128),XX(128),YY(128),  
ITX(20),ITY(20),A(10),IKRIV(10),PARAM(10),GR(6,300),GMAX(6),  
GMU(6),  
IT(5),T1(5),T2(5),T3(5),T4(5)  
LOGICAL GRAFX  
DATA ITVST,ITVYS/4HVST.,4HVYS./
```

```

100 READ(5,320)ITX
101 READ(5,302)NPOCX,ANKOR
102 N1=IFIX(ANKOR)
103 PARX=ANKOR
104 IF(N1.GT.128)N1=128
105 READ(5,303)IMERY,TX,STRX
106 GRAFX=.FALSE.
107 IF(NPOCX.LT.0)GRAFX=.TRUE.
108 IF(NPOCX.LT.0)NPOCX=IABS(NPOCX)
109 READ(5,103)TPX,TKX,DTX
110 K=0
111 DO 90 I=1,1024
112   X(I)=0.0
113   Y(I)=0.0
114 90 CONTINUE
115 DO 80 I=1,128
116   RXX(I)=0.0
117   RYY(I)=0.0
118   RXY(I)=0.0
119   RYX(I)=0.0
120   XX(I)=0.0
121   YY(I)=0.0
122 80 CONTINUE
123 DO 40 I=1,NPOCX
124   READ(5,110)A
125   KDT=1
126   CALL KONEC(KDT,A)
127   IF(KDT.LE.0)GO TO 1
128   DO 10 J=1,10
129     IF(A(J).LE.1.0E-30)GO TO 10
130     K=K+1
131     IF(K.GT.1024)GOTO 10
132     X(K)=A(J)
133 10 CONTINUE
134 NX=K
135 READ(5,320)ITY
136 READ(5,302)NPCCY,PARY
137 READ(5,303)IMERY,TY,STRY
138 READ(5,103)FPY,FKY,DFY
139 K=0
140 DO 20 I=1,NPOCY
141   READ(5,110,END=2)A
142   DO 20 J=1,10
143     IF(A(J).LE.1.0E-30)GO TO 20
144     K=K+1
145     IF(K.GT.1024)GOTO 20
146     Y(K)=A(J)
147 20 CONTINUE
148 FORMAT(3F0.0)
149 FORMAT(10FC.0)
150 FORMAT(10,F0.0)
151 FORMAT(10,2F0.0)

```

```

FORMAT(20A4)
100  NY=K
    IF(NX.LE.0)CALL CHYBA(1,NX,0)
    IF(NY.LE.0)CALL CHYBA(2,0,NY)
    IF(NX.LE.0.AND.NY.LE.0)CALL CHYBA(3,NX,NY)

    H=NX
    IF(N.GT.NY)N=NY
    IF(N.GT.1024)N=1024
    XST=0.0
    YST=0.0
    DO 30 I=1,N
        XST=XST+X(I)
        YST=YST+Y(I)
    CONTINUE
    XST=XST/FLOAT(N)
    YST=YST/FLOAT(N)
    XKV=0.0
    YKV=0.0
    DO 40 I=1,N
        X(I)=X(I)-XST
        XKV=XKV+X(I)*X(I)
        Y(I)=Y(I)-YST
        YKV=YKV+Y(I)*Y(I)
    CONTINUE
    XSTD=SQRT(XKV/FLOAT(N-1))
    YSTD=SQRT(YKV/FLOAT(N-1))
    WRITE(6,1000)ITX,ITY,NX,HY,TX,TY,PAX,PARY
1000  FORMAT(1H1,'VYPOCET KORELACNICH FUNKCI'//
1204//20A4//)
11X,'POCET VSTUPNICH A VYSTUPNICH MERENI',2I7// 
11X,'ZORKOVACI INTERVAL VSTUPU A VYSTUPU',2F12.6// 
11X,'PARAMETR VSTUPU A VYSTUPU',2F12.6//)
DXMAX=6.0*XSTD
DYMAX=3.0*YSTD
DO 420 I=1,N
    IF(ABS(X(I)).GT.DXMAX)WRITE(6,1050)ITVST,I,X(I)
    IF(ABS(X(I)).GT.DXMAX)X(I)=0.0
    IF(ABS(Y(I)).GT.DYMAX)WRITE(6,1050)ITVYS,I,Y(I)
    IF(ABS(Y(I)).GT.DYMAX)Y(I)=0.0
1050  FORMAT(1X,'OPRAVENA VYRAZNA ODCHYLKA',1X,A4,'DAT'-
11X,'PORADI',15.5X,'PUVODNI HODNOTA',F12.6//)
120  CONTINUE
    WRITE(6,1100)
1100  FORMAT(1H1,'VZORKY VSTUPU A VYSTUPU'//,
11X,5(2X,'P.C.',7X,'VSTUP',6X,'VYSTUP'))/
    NS=5
    NR=N/NS+1
    DO 50 I=1,NR
        DO 60 J=1,NS
            K=I+NR*(J-1)
            IT(J)=K
            T1(J)=0.0
            T2(J)=0.0
            IF(K.GT.N)GOTO 60
            T1(J)=X(K)
            T2(J)=Y(K)
        CONTINUE
        WRITE(6,1200)(IT(J),T1(J),T2(J),J=1,NS)
1200  FORMAT(1X,5(16.2F12.3))
    CONTINUE
    WRITE(6,1300)XSTD,YSTD
1300  FORMAT(1X,'STANDARDNI ODCHYLKA VSTUPU',E12.3//)
1400  FORMAT(1X,'STANDARDNI ODCHYLKA VYSTUPU',E12.3//)

```

```

100 IP=IFIX(TPX/DTX+0.1)
110 IK=IFIX(TKX/DTX+0.1)
120 DO 130 I=1,N1
130   RXX(I)=0.0
140   RYY(I)=0.0
150   RXY(I)=0.0
160   RYX(I)=0.0
170   II=I+IP
180   IF(II.LT.1.OR.II.GT.N)GOTO 4
190   XX(I)=X(II)*X(II)
200   YY(I)=Y(II)*Y(II)
210   N2=N-I
220   DO 140 J=1,N1
230     K=J+II-1
240     IF(J.LT.1.OR.J.GT.N.OR.K.LT.1.OR.K.GT.N)GO TO 141
250     RXX(I)=RXX(I)+X(J)*X(K)
260     RYY(I)=RYY(I)+Y(J)*Y(K)
270     RXY(I)=RXY(I)+X(J)*Y(K)
280     RYX(I)=RYX(I)+Y(J)*X(K)
290   CONTINUE
300   RXX(I)=RXX(I)/FLOAT(N2)
310   RYY(I)=RYY(I)/FLOAT(N2)
320   RXY(I)=RXY(I)/FLOAT(N2)
330   RYX(I)=RYX(I)/FLOAT(N2)
340 130 /CONTINUE
350   WRITE(6,1400)
360 1400 FORMAT(1H1,'KORELACNI FUNKCE'//,
370 :1X,2('POR.C.',9X,'RXX',9X,'RYY',9X,'RXY',9X,'RYX'))/
380   NS=2
390   NR=N1/NS+1
400   DO 150 I=1,NR
410     DO 160 J=1,NS
420       K=I+NR*(J-1)
430       IT(J)=K
440       T1(J)=RXX(K)
450       T2(J)=RYY(K)
460       T3(J)=RXY(K)
470       T4(J)=RYX(K)
480   CONTINUE
490   WRITE(6,1500)(IT(J),T1(J),T2(J),T3(J),T4(J),J=1,NS)
500 1500 FORMAT(1X,2(I6,4E12.3))
510 150 /CONTINUE
520   XXM=-1.0E50
530   YYM=-1.0E50
540   RXXM=-1.0E50
550   RYYM=-1.0E50
560   RXYM=-1.0E50
570   RYXM=-1.0E50
580   NG=N1
590   IF(NG.GT.300)NG=300
600   DO 240 I=1,NG
610     IF(CXX(I).GT.XXM)XXM=CXX(I)
620     IF(CYY(I).GT.YYM)YYM=CYY(I)
630     IF(CRXX(I).GT.PXXM)PXXM=CRXX(I)
640     IF(CRYY(I).GT.RYYM)RYYM=CRYY(I)
650     IF(CRXY(I).GT.RXYM)RXYM=CRXY(I)
660     IF(CRYX(I).GT.RYXM)RYXM=CRYX(I)
670   CONTINUE
680   TPOC=TPX
690   TPRI=TX
700   TKON=TPOC+FLOAT(I-1)*TPRI
710   APAR=IMERX
720   IPAR=IMERY

```

```

270 00 27v I=1,4
    IKRIV(I)=2*I-1
CONTINUE
IF(.NOT.GRAFX)GOTO 3
GMAX(1)=XXM
GMAX(2)=RXXM
CALL SMAX(2,GMAX,GMU)
DO 250 I=1,NG
    GR(1,I)=XX(I)/GMU(1)
    GR(2,I)=RXX(I)/GMU(2)
CONTINUE
250 DO 330 I=1,2
    PARAM(I)=GMU(I)
CONTINUE
CALL GRAFY(GR,2,NG,0.0,0.0,IKRIV,PARAM,TPOC,TKON,TPRI,
:15.8,APAR,IPAR)
GMAX(1)=YYM
GMAX(2)=RYYM
GMAX(3)=RXYM
GMAX(4)=RYXM
CALL SMAX(4,GMAX,GMU)
DO 260 I=1,NG
    GR(1,I)=YY(I)/GMU(1)
    GR(2,I)=RYY(I)/GMU(2)
    GR(3,I)=RXY(I)/GMU(3)
    GR(4,I)=RYX(I)/GMU(4)
260 CONTINUE
DO 340 I=1,4
    PARAM(I)=GMU(I)
340 CONTINUE
CALL GRAFY(GR,4,NG,0.0,0.0,IKRIV,PARAM,TPOC,TKON,TPRI,
:15.8,APAR,IPAR)
STOP 777
END

```

```

SUBROUTINE KONEC(K,A)
DIMENSION A(10)
K=1
IF(A(1).LT.0.0.AND.
:A(2).LT.0.0.AND.
:A(3).LT.0.0.AND.
:A(4).LT.0.0.AND.
:A(5).LT.0.0)K=-1
RETURN
END

```

```

SUBROUTINE CHYBA(I,NX,NY)
IF(I.LT.1.OR.I.GT.3)GO TO 11
1 GO TO (1,2,3),I
2 WRITE(6,1000)NX
1000 FORMAT(///1X,'PRAZDNY SOUBOR NEZAVISLE PROMENNE',I10//)
3 STOP 111
4 WRITE(6,1100)NY
1100 FORMAT(///1X,'PRAZDNY SOUBOR ZAVISLE PROMENNE',I10//)
5 STOP 111
6 WRITE(6,1200)NX,NY
1200 FORMAT(///1X,'PRAZDNY SOUBOR NEZAVISLE I ZAVISLE PROMENNE',
:1210//)
7 STOP 111

```

```

11 RETURN
END

SUBROUTINE GRAFY(YY,MM,NN,YDOLNI,YHORNI,MET,PARAM,XD,XH,DIFX,
+LX,LY,APAR,IPAR)
DIMENSION YY(6,300),IC(10),PARAM(10),Y1(300),X1(300),
+DELC(10),MET(10)

YY - POLE TABELOVANYCH HODNOT V POCTU MM X NN
YDOLNI, YHORNI - DOLNI A HORNI MEZ ZAVISLE PROMENNE,
JE-LI LX, ZAPORNE
XD,XH,DIFX - HRANICE A KROK NEZAVISLE PROMENNE
LX, LY - DELKA OSY X A POLOVICNI DELKA OSY Y V CM,
JE-LI LX ZAPORNE,
POZADUJU SE MEZE NA PARAMETRECH YDOLNI, YHORNI

FORMAT('KORELACE CASOVENHO PRUBEHU')
FORMAT('CAS (S)')
FORMAT('AMPLIT.')
FORMAT('MERENI X')
FORMAT('MERENI Y')
FORMAT('POPIS KPIVEK')
FORMAT('ZVETSENI')
M=MM
IF(M.GT.10)M=10
N=NN
IF(N.GT.300)N=300
IF(LX.LT.0)YD=YDOLNI
IF(LX.LT.0)YH=YHORNI
IF(LX.LT.0)GO TO 9
YD=YY(1,1)
YH=YY(1,1)
DO 10 I=1,M
  DO 10 J=1,N
    IF(YY(I,J).LT.YD)YD=YY(I,J)
    IF(YY(I,J).GT.YH)YH=YY(I,J)
CONTINUE
LX=IABS(LX)

ZAKLADNI VOLANI
CALL GRAFOR(1,50000.0,-1.0,LX,LY)
IPOLY=10*IIFIX(0.2*FLOAT(LX))
CALL GRAFOR(3,0.1,0.1,IPOLY,0,3100)

VYPOCET MERITEK A NAKRTESENÍ STUPNIC
WRITE(6,1000)
FORMAT(1H1,' INFORMACE C GRAFICKEM ZPRACOVANI UDAJU//')
CALL STUPCE(1,XD,YH,XD,XK,DX,IRX,XDM,XHM,NX,NXD,YY,M,N)
CALL STUPCE(2,YD,YH,YP,YK,DY,IRY,YDM,YHM,NY,NYD,YY,M,N)
IF(NX.LE.0.OR.NY.LE.0)STOP 111
DELKAX=8.5*FLOAT(LX)
DELKAY=8.5*FLOAT(LY)
DXG=DELKAX/FLOAT(NX)
DYG=DELKAY/FLOAT(NY)
CALL GRAFOR(4,DXG,DYG,100*(NX+1),100*NY+1)
NX1=NX+1
YTISK=0.05*DELKAY
DO 50 I=1,NX1
  AI=FLOAT(I-1)-0.25

```

```

X=XP+FLOAT(I-1)*DX
CALL GRAFOR(5,A1K0XG,-YTISK)
CALL GRAFOR(9,X,FLOAT(NXD),2,0)
CONTINUE
CALL GRAFOR(7,0.85*DELKAX,-2.0*YTISK,2,0,&200)
NY1=NY+1
DO 60 I=1,NY1
  AI=FLOAT(I-1)
  Y=Yp+AI*Dy
  CALL GRAFOR(5,-0.8*DXG,AI*DYG)
  CALL GRAFOR(9,Y,FLOAT(NYD),2,0)
CONTINUE
CALL GRAFOR(7,-DXG,0.95*DELKAY,2,0,&300)
IF(IRX.EQ.0) GO TO 11
CALL GRAFOR(7,0.0,-2.0*YTISK,2,0,'MERITKO OSY X: ')
CALL GRAFOR(10,3.0,2.0,IRX,0)
IF(IRY.EQ.0) GO TO 12
CALL GRAFOR(7,0.0,-3.0*YTISK,2,0,'MERITKO OSY Y: ')
CALL GRAFOR(10,3.0,2.0,IRY,0)
IF(XDM.EQ.0.0.OR.XHM.EQ.0.0) GO TO 13
XMAX=AMAX1(ABS(XDM),ABS(XHM))
IF(ABS(XHM-XDM)/XMAX.GT.0.01) GO TO 13
IRDm=IRAD(XDM)
DMM=XDM*10.0**(-IRDm)
CALL GRAFOR(7,0.5*DELKAX,-2.0*YTISK,2,0,
*'POCATECNI HOD-STUP.X: ')
CALL GRAFOR(9,DMM,6.0,2,0)
CALL GRAFOR(3,0.0,0.0,2,0,' E')
CALL GRAFOR(10,2.0,2,0,IRDm,0)
IF(YDM.EQ.0.0.OR.YHM.EQ.0.0) GO TO 14
YMAX=AMAX1(ABS(YDM),ABS(YHM))
IF(ABS(YHM-YDM)/YMAX.GT.0.01) GO TO 14
IRDm=IRAD(YDM)
DMM=YDM*10.0**(-IRDm)
CALL GRAFOR(7,0.5*DELKAX,-3.0*YTISK,2,0,
*'POCATECNI HOD-STUP.X: ')
CALL GRAFOR(9,DMM,6.0,2,0)
CALL GRAFOR(3,0.0,0.0,2,0,' E')
CALL GRAFOR(10,2.0,2,0,IRDm,0)
CALL GRAFOR(5,0.0,0.0)

```

```

KRESLENI GRAFU
UX,UY - MERTITKO = MM/JEDN.
UX=DELKAX/(XHM-XDM)
UY=DELKAY/(YHM-YDM)
DO 210 I=1,M
  IC(I)=MET(I)
CONTINUE
DO 110 I=1,M
  DO 120 J=1,N
    X=XD+FLOAT(J-1)*DIFX
    X1(J)=(X-XDM)*UX
    Y1(J)=(YY(I,J)-YDM)*UY
    XPP=X-XP
    YPP=YY(I,J)-YP
  CONTINUE
  CALL TYPc(MET(I),DELKAX/30,MCARA,DELC)
  CALL KRIVKA(N,X1,Y1,MCARA,DELC)
  WRITE(6,1100) I
  FORMAT(' NAKRESLEN GRAF C.',I3)
CONTINUE
XP=0.7*DELKAX
YP=0.25*DELKAY

```

```

YTISK=0.15+DECKR7
YTISK=0.05+DECKR7
CALL GRAFOR(7,XTP,YTP,2,0,2400)
CALL GRAFOR(2,ARAR,4.0,2,0)
CALL GRAFOR(7,XTP,YTP-YTISK,2,0,2500)
CALL GRAFOR(10,2,0,5,0,IPAR,0)
CALL GRAFOR(7,XTP,YTP-2,0*YTISK,2,0,2600)
CALL GRAFOR(7,XTP,YTP-3,0*YTISK,2,0,'MERENI')
CALL GRAFOR(7,XTP+XTISK,YTP-3,0*YTISK,2,0,2700)
DO 150 I=1,M
    CALL GRAFOR(7,XTP,YTP-FLOAT(I+3)*YTISK,2,0,' ')
    CALL GRAFOR(10,2,0,2,0,MET(I),0)
    CALL GRAFOR(7,XTP+XTISK,YTP-FLOAT(I+3)*YTISK,2,0,' ')
    CALL GRAFOR(2,PARAM(I),6,0,2,0)
CONTINUE
CALL GRAFOR(2)
WRITE(6,1200)
FORMAT ('/' ZPRACOVANI GRAFICKYCH UDAJU UKONCENO'//)
RETURN
END

```

```

SUBROUTINE STUPCE(IOSA,PD,PH,PP,PK,DP,IR,PDM,PHM,N,ND,
*Y,MM,NN)
DIMENSION Y(6,300)
DATA IX,IY/1HX,1HY/
IF(IOSA.EQ.1)IXY=IX
IF(IOSA.EQ.2)IXY=IY
WRITE(6,1000)IXY
1000 FORMAT(//' POPIS OSY',2X,A1/)
IF(PD.GE.PH.AND.IOSA.EQ.1)CALL TISK1(1,PD,PH)
IF(PD.GE.PH.AND.IOSA.EQ.2)CALL TISK2(1,PD,PH,Y,MM,NN)
IF(PD.GE.PH)N=0
IF(PD.GE.PH)RETURN
IF(ABS(PD).LT.1.0E-75)PD=0.0
IF(ABS(PH).LT.1.0E-75)PH=0.0
IF(PD.EQ.0.0)GO TO 1
IF(PH.EQ.0.0)GO TO 2
IF(PD.NE.0.0.AND.PH.NE.0.0)GO TO 3

```

```

DOLNI HODNOTA PROMENNE NULOVA
IR=IRAD3(ABS(PH))
REDH=ABS(PH)/10.0**IR
PP=0.0
CALL VYPST(REDH,PK,DP,N,ND)
PDM=0.0
PHM=PK*10.0**IR
GO TO 99

```

```

HORNI HODNOTA PROMENNE NULOVA
IR=IRAD3(ABS(PD))
REDH=ABS(PD)/10.0**IR
PK=0.0
CALL VYPST(REDH,PKK,DP,N,ND)
PP=-PKK
PHM=0.0
PDM=PP*10.0**IR
GO TO 99

```

```

OBE HODNOTY PROMENNE JSOU NEHULOVE
PODIL=ABS(PH/PD)
POM=ABS(PH)

```

```

IF(POM.LT.ABS(PD)) POM=ABS(PD)
RE=IRAD3(POM)
REDMIN=PD/10.0**IR
REDMAX=PH/10.0**IR
IF(PODIL.GT.1000.0.AND.IOSA.EQ.1) CALL TISK1(2,PD,PH)
IF(PODIL.GT.1000.0.AND.IOSA.EQ.2) CALL TISK2(2,PD,PH,
+Y,MM,NN)
IF(PODIL.GT.1000.0) REDMIN=0.001*REDMAX
IF(PODIL.LT.0.001.AND.IOSA.EQ.1) CALL TISK1(2,PD,PH)
IF(PODIL.LT.0.001.AND.IOSA.EQ.1) CALL TISK2(2,PD,PH,
+Y,MM,NN)
IF(PODIL.LT.0.001) REDMAX=0.001*REDMIN
DIFREDMAX-REDMIN
POM=ABS(REDMAX)
IF(POM.LT.ABS(REDMIN)) POM=ABS(REDMIN)
RDIF=DIF/POM
IF(RDIF.GE.0.01) GO TO 5
IF(RDIF.LT.0.01) GO TO 6
CALL VYPST(DIF,DIFRED,DP,N,ND)
NSROV=ICC(REDMIN/DP)
IF(REDMIN.LT.0.0) NSROV=NSROV-1
PP=DP*FLOAT(NSROV)
PK=PP+DIFRED
PDM=PP*10.0**IR
PHM=PK*10.0**IR
GO TO 99
IF(IOSA.EQ.1) CALL TISK1(3,PD,PH)
IF(IOSA.EQ.2) CALL TISK2(3,PD,PH,Y,MM,NN)
IRD=IRAD3(DIF)
IRC=IR+IRD
DIF=DIF/10.0**IRD
CALL VYPST(DIF,DIFRED,DP,N,ND)
PP=0.0
PK=DIFRED
NSROV=ICC(REDMIN/(DP*10.0**IRD))
IF(REDMIN.LT.0.0) NSROV=NSROV-1
PDM=NSROV*DP*10.0**IRC
PHM=PDM+(DIFRED+DP)*10.0**IRC
IR=IRD
1100 WRITE(6,1100) PD,PH,PP,PK,DP,PDM,PHM
FORMAT(1X,'MIN.HODN.',1PE15.6,5X,'MAX.HODN.',1PE15.6/
*1X,'POCATEK ',0PF15.3,5X,'KONEC',4X,0PF15.3,5X,
*'PRIURST.',0PF15.3/
*1X,'DOLNI MEZ',1PE15.6,5X,'HORNI MEZ',1PE15.6)
1200 WRITE(6,1200) IR,N,ND
FORMAT(1X,'RAD',I5,20X,'POC.DILKU',I5,15X,'POC.CISL.',I5/)
RETURN
END

```

```

SUBROUTINE VYPST(H,UH,DH,N,NM)
UH=1000.0
DH=100.0
N=10
NM=4
IF(H.LT.0.01)CALL POZN(4)
IF(H.LT.0.01)RETURN
IF(H.GT.1000.0)CALL POZN(5)
IF(H.GT.1000.0)RETURN
IF(H.GE.0.01.AND.H.LT.0.1)UPR=100.0
IF(H.GE.0.1.AND.H.LT.1.0)UPR=10.0
IF(H.GE.1.0.AND.H.LT.10.0)UPR=1.0

```

```

100 IF(H.GE.100.0.AND.H.LE.100.0)UPR=0.1
100 IF(H.GE.100.0.AND.H.LE.1000.0)UPR=0.01
100 HH=UPR*H
100 IF(HH.GE.1.0.AND.HH.LE.1.4)GO TO 1
100 IF(HH.GT.1.4.AND.HH.LE.2.0)GO TO 2
100 IF(HH.GT.2.0.AND.HH.LE.3.0)GO TO 3
100 IF(HH.GT.3.0.AND.HH.LE.4.0)GO TO 4
100 IF(HH.GT.4.0.AND.HH.LE.5.0)GO TO 5
100 IF(HH.GT.5.0.AND.HH.LE.7.0)GO TO 6
100 IF(HH.GT.7.0.AND.HH.LE.10.0)GO TO 7
100 CALL PCZN(6)
100
100 UH=1.4
100 1 DH=0.2
100 N=7
100 GO TO 11
100 2 UH=2.0
100 DH=0.2
100 N=10
100 GO TO 11
100 3 UH=3.0
100 DH=0.3
100 N=10
100 GO TO 11
100 4 UH=4.0
100 DH=0.5
100 N=8
100 GO TO 11
100 5 UH=5.0
100 DH=0.5
100 N=10
100 GO TO 11
100 6 UH=7.0
100 DH=1.0
100 N=7
100 GO TO 11
100 7 UH=10.0
100 DH=1.0
100 N=10
100 UH=UH/UPR
100 DH=DH/UPR
100 IF(UPR.LT.0.02)NM=4
100 IF(UPR.GT.0.02.AND.UPR.LT.0.11)NM=3
100 IF(UPR.GT.0.2.AND.UPR.LT.1.1)NM=2
100 IF(UPR.GT.2.0.AND.UPR.LT.11.0)NM=3
100 IF(UPR.GT.22.0)NM=4
100 RETURN
100 END
100 C
100 C
100 C
100 C

```

```

100 INTEGER FUNCTION IRAD3(X)
100 IR=IRAD(X)
100 IRA=IABS(IR)
100 IR3=3*(IRA/3)
100 IZB=IP-IR3
100 IF(IR.LT.0)IR3=-IR3
100 IF(IZB.LT.0.AND.IZB.GT.0)IR3=IR3-3
100 IRAD3=IR3
100 RETURN
100 END
100 C
100 C

```

```
1 INTEGER FUNCTION IRAD(X)
2 AX=ABS(X)
3 IF(AX=0)RETURN
4 IF(AX.GE.1.0.AND.AX.LE.10.0)RETURN
5 IF(AX.LT.1.0)GO TO 1
6 IF(AX.GT.10.0)GO TO 2
7 RETURN
8 I=0
9 DO 10 I=1,80
10 AX=10.0*AX
11 IR=IR+1
12 IF(AX.GE.1.0.AND.AX.LE.10.0)GO TO 11
13 CONTINUE
14 I=0
15 DO 20 I=1,80
16 AX=0.1*AX
17 IR=IR+1
18 IF(AX.GE.1.0.AND.AX.LE.10.0)GO TO 11
19 CONTINUE
20 IRAD=IR
21 RETURN
22 END
```

```
1 INTEGER FUNCTION ICC(X)
2 I=IFIX(X)
3 IF(ABS(X-FLOAT(I)).GT.0.299)I=I+1
4 ICC=I
5 RETURN
6 END
```

```
1 SUBROUTINE TISK1(IP0Z,D,H)
2 CALL POZN(IP0Z)
3 WRITE(6,1000)D,H
4 1000 FORMAT ('//', 'DOLNI MEZ', 1PE15.6, ' HORNJI MEZ', 1PE15.6/)
5 RETURN
6 END
```

```
1 SUBROUTINE TISK2(IP0Z,D,H,Y,M,N)
2 DIMENSION Y(5,300)
3 CALL POZN(IP0Z)
4 WRITE(6,1000)D,H
5 1000 FORMAT ('//', 'DOLNI MEZ', 1PE15.6, ' HORNJI MEZ', 1PE15.6/)
6 1100 FORMAT(' ZOBRAZOVANE UDAJE')
7 DO 10 I=1,M
8 1000 WRITE(6,1200)I
9 1200 FORMAT(' KRIVKA', I3)
10 1300 WRITE(6,1300)(Y(I,J), J=1,N)
11 1400 FORMAT(1P5E15.6)
12 CONTINUE
13 RETURN
14 END
```

```
1100 SUBROUTINE POZN(I)
1200 FORMAT(/' PREHOZENE NERO STEJNE MEZE - KONEC' /)
1300 FORMAT(/' PRILIS VELKE ROZDILY HODNOT - UPRAVENY MEZE' /)
1400 FORMAT(/' PRILIS MALE ROZDILY HODNOT - ZVLASTNI STUPNICE' /)
```

```
000 1400 FORMAT(1, "MALY ROZSAH STUPNICE - STANDARDNI HODNOTY")
000 1500 FORMAT(7, "VELKY ROZSAH STUPNICE - STANDARDNI HODNOTY")
000 1600 FORMAT(1, "PRIKAZ IF NEUVAZUJE VSECHNY MOZNOSTI - STAND.HODN.")
000 1700 FORMAT(1, "PREKROČEN 2. ROZMER POLE - GRAF CHYBNE")
000 1800 FORMAT(1, "PREKRUCEN ROZSAH POLE - GRAF CHYBNE")
000 1900 GO TO (1,2,3,4,5,6,7,8),I
000 2000 1 WRITE(6,1100)
000 2100 RETURN
000 2200 2 WRITE(6,1200)
000 2300 RETURN
000 2400 3 WRITE(6,1300)
000 2500 RETURN
000 2600 4 WRITE(6,1400)
000 2700 RETURN
000 2800 5 WRITE(6,1500)
000 2900 RETURN
000 3000 6 WRITE(6,1600)
000 3100 RETURN
000 3200 7 WRITE(7,1700)
000 3300 RETURN
000 3400 8 WRITE(2,1800)
000 3500 RETURN
000 3600 END
```

```

SUBROUTINE KRIVKACH(X,Y,M,DEL)
REAL X(N),Y(N),DEL(M)
IF(M.GT.10)M=10
IF(N.GT.300)N=300
P1=X(1)
Q1=Y(1)
CALL GRAFOR(S,P1,Q1)
IP=2
IC=1
DELZN=DEL(IC)
DELKA=ABS(DELZN)
IPIS=6
IF(DELZN.LE.0.0)IPIS=5
N1=N-1
DO 10 I=1,N1
X1=X(I+1)
Y1=Y(I+1)
IF(P1.EC.X1)P2=P1
IF(P1.EC.X1)Q2=Q1+DELKA
IF(P1.LT.X1)CALL PRUS(P1,Q1,X1,Y1,DELKA,P2,Q2)
IF(P1.EQ.X1.AND.Q2.LE.Y1)DELKA=0.0
IF(P1.EQ.X1.AND.Q2.GT.Y1)GO TO 1
IF(P2.LE.X1)DELKA=0.0
IF(P2.GT.X1)GO TO 1
DO 20 J=1,1000
CALL GRAFOR(IPIS,P2,Q2)
IF(DELKA.GT.0.0)GO TO 2
IC=IC+1
IF(IC.GT.M)IC=1
P1=P2
Q1=Q2
DELZN=DEL(IC)
DELKA=ABS(DELZN)
IPIS=6
IF(DELZN.LE.0.0)IPIS=5
CALL PRUS(P1,Q1,X1,Y1,DELKA,P2,Q2)
IF(P1.EQ.X1.AND.Q2.LE.Y1)DELKA=0.0

```

```
IF(P1.EQ.X1.AND.Q2.GT.Y1)GO TO 1  
IF(P2.LE.X1)DELKA=0.0  
IF(P2.GT.X1)GO TO 1  
CONTINUE  
CALL GRAFOR(IPIS,X1,Y1)  
DELKA=DELKA-SQRT((X1-P1)**2+(Y1-Q1)**2)  
P1=X1  
Q1=Y1  
CONTINUE  
RETURN  
END
```

```
SUBROUTINE PRUS(P1,Q1,X1,Y1,D,P2,Q2)  
A=(Y1-Q1)/(X1-P1)  
A1=SQRT(1.0+A**2)  
P2=D/A1+P1  
Q2=A*D/A1+Q1  
RETURN  
END
```

```
SUBROUTINE TYPCC(I,D,MC,DC)  
REAL DC(10)  
DC(1)=0.5*D  
DC(2)=-0.2*D  
DC(3)=0.2*D  
DC(4)=-0.2*D  
DC(5)=0.2*D  
DC(6)=-0.2*D  
DC(7)=0.2*D  
DC(8)=-0.2*D  
DC(9)=0.2*D  
DC(10)=-0.2*D  
GO TO (1,2,3,4,5,6,7,8,9,10),I  
MC=1  
DC(1)=0  
RETURN  
MC=2  
DC(1)=0.7*D  
DC(2)=-0.3*D  
RETURN  
MC=2  
DC(1)=0.7*D  
DC(2)=-0.5*D  
RETURN  
MC=2  
DC(1)=0.5*D  
DC(2)=-0.5*D  
RETURN  
MC=4  
RETURN  
MC=6  
RETURN  
MC=8  
RETURN  
MC=10  
RETURN  
MC=2  
DC(1)=0.3*D  
DC(2)=-0.3*D
```

```
100      RETURN  
100      MC=2  
100      DC(1)=0.2*D  
100      DC(2)=-0.2*D  
100      RETURN  
100      END  
  
100      C  
100      C  
100      SUBROUTINE SMAX(N,VSTM,AM)  
100      DIMENSION VSTM(10),AM(10)  
100      IF(N.GT.10)RETURN  
100      ASTM=-1.0E50  
100      DO 10 I=1,N  
100      IF(VSTM>VSTM)VSTM=VSTM  
100      CONTINUE  
100      IF(ABS(VSTM).LE.1.0E-50)VSTM=1.0  
100      DO 20 I=1,N  
100      AM(I)=VSTM/AM(I)  
100      A=ABS(AM(I))  
100      IR=IRAD(A)  
100      A=A*10.0**(-IR)  
100      AZ=1.0  
100      AA=ABS(A)  
100      IF(AA.GT.1.0.AND.AA.LT.1.5)AZ=1.5  
100      IF(AA.GE.1.5.AND.AA.LT.2.0)AZ=2.0  
100      IF(AA.GE.2.0.AND.AA.LT.3.0)AZ=3.0  
100      IF(AA.GE.3.0.AND.AA.LT.5.0)AZ=5.0  
100      IF(AA.GE.5.0.AND.AA.LT.7.0)AZ=7.0  
100      IF(AA.GE.7.0.AND.AA.LT.10.0)AZ=10.0  
100      A1=ABS(AA-1.0)  
100      IF(A1.LT.1.0E-5)AZ=1.0  
100      AM(I)=AZ*10.0**IR  
100      CONTINUE  
100      RETURN  
100      END
```

100 PRINT OF XLBTE1:JRNL .DANCA (D2690 )/D FOR USER XLBTE1

STANOVANIA .KCRETR(FOOC00 77

VYPOCTY KORELACHNICH FUNKCI  
DIMENSION X(4100),Y(4100),GXX(513),GYXX(513),GYY(513),  
:GYYY(513),GXY(513),FP(513),FX(513),  
:ITX(20),ITY(20),A(10),IKRIV(10),PARAH(10),  
:GR(5,300),GMAX(4),GMU(4),  
:IT(5),T1(5),T2(5),T3(5),T4(5)  
LOGICAL GRAFX  
DATA ITVST,ITVYS/4HVST.,4HVYS./

PI=3.14159  
READ(5,320)ITX  
READ(5,302)NPOCX,PARX  
READ(5,303)IMERX,TX,ARX  
GRAFX=.FALSE.  
IF(NPOCX.LT.0)GRAFX=.TRUE.  
IF(NPOCX.LT.0)NPOCX=IABS(NPOCX)  
READ(5,103)FPX,FKX,DFX  
NR0Z=IFIX(ARX+0.1)  
NCEL=1024\*NR0Z  
IF(NCEL.GT.4100)NCEL=4100  
DO 420 I=1,NCEL  
  X(I)=0.0  
  Y(I)=0.0  
420 CONTINUE  
K=0  
DO 10 J=1,NPOCX  
  READ(5,110)A  
  KDT=1  
  CALL KONEC(KDT,A)  
  IF(KDT.LE.0)GO TO 1  
  DO 10 J=1,10  
    IF(A(J).LE.1.0E-30)GO TO 10  
    IF(K.GT.1024)GO TO 10  
    K=K+1  
    X(K)=A(J)  
10 CONTINUE  
NX=K  
READ(5,320)ITY  
READ(5,302)NPOCY,PARY  
READ(5,303)IMERY,TY,STRY  
READ(5,103)FPY,FKY,DFY  
K=0  
DO 20 I=1,NPOCY  
  READ(5,110,END=2)A  
  DO 20 J=1,10  
    IF(A(J).LE.1.0E-30)GO TO 20  
    IF(K.GT.1024)GO TO 20  
    K=K+1  
    Y(K)=A(J)  
20 CONTINUE  
FORMAT(2E0.0)  
FORMAT(10F0.0)  
FORMAT(10,F0.0)  
FORMAT(10,2F0.0)  
FORMAT(20A4)  
NY=K  
IF(NX.LE.0)CALL CHYBA(1,NX,0)  
IF(NY.LE.0)CALL CHYBA(2,0,NY)  
IF(NX.LE.0.AND.NY.LE.0)CALL CHYBA(3,NX,NY)

```

IF(N.GT.1024)N=1024
XST=0.0
YST=0.0
DO 30 I=1,N
  XST=XST+X(I)
  YST=YST+Y(I)
CONTINUE
30  XST=XST/FLOAT(N)
YST=YST/FLOAT(N)
XKV=0.0
YKV=0.0
DO 40 I=1,N
  X(I)=X(I)-XST
  XKV=XKV+X(I)*X(I)
  Y(I)=Y(I)-YST
  YKV=YKV+Y(I)*Y(I)
CONTINUE
40  XSTD=SQRT(XKV/FLOAT(N-1))
YSTD=SQRT(YKV/FLOAT(N-1))
WRITE(6,1000)ITX,ITY,NX,NY,TX,TY,PARX,PARY
1000 FORMAT(1H1,'VYPOCET KORELACNICH FUNKCI'//)
:20A4//20A4//  

:1X,'POCET VSTUPNICH A VYSTUPNICH MERENI',2I7//  

:1X,'VZORKOVACI INTERVAL VSTUPU A VYSTUPU',2F12.6//  

:1X,'PARAMETR VSTUPU A VYSTUPU',2F12.6//)  

DXMAX=6.0*XSTD  

DYMAX=3.0*YSTD  

DO 430 I=1,N
  IF(ABS(X(I)).GT.DXMAX)WRITE(6,1050)ITVST,I,X(I)
  IF(ABS(X(I)).GT.DXMAX)X(I)=0.0
  IF(ABS(Y(I)).GT.DYMAX)WRITE(6,1050)ITVYS,I,Y(I)
  IF(ABS(Y(I)).GT.DYMAX)Y(I)=0.0
1050  FORMAT(1X,'OPRAVENA VYRAZNA ODCHYLKA',1X,A4,'DAT',  

: 5X,'PORADI',15.5X,'PUVODNI HODNOTA',F12.6/)  

130  CONTINUE
IF(.NOT.GRAFX)GOTO 8
WRITE(6,1100)
1100 FORMAT(1H1,'VZORKY VSTUPU A VYSTUPU'//  

:1X,5(2X,'P.C.',7X,'VSTUP',6X,'VYSTUP')//)
NS=5
NR=N/NS+1
DO 50 I=1,NR
  DO 60 J=1,NS
    K=I+NR*(J-1)
    IT(J)=K
    T1(J)=X(K)
    T2(J)=Y(K)
CONTINUE
1200  WRITE(6,1200)(IT(J),T1(J),T2(J),J=1,NS)
      FORMAT(1X,5(16,2F12.3))
CONTINUE
1300  WRITE(6,1300)XSTD,YSTD
      FORMAT(1X,'STANDARDNI ODCHYLKA VSTUPU',E12.3//  

:1X,'STANDARDNI ODCHYLKA VYSTUPU',E12.3//)
NN=1
K=1
DO 230 I=1,13
  K=K+2
  IF(K.LE.NCEL)NN=K
CONTINUE
NCEL=NN
IF(.NOT.GRAFX)GOTO 8

```



```

180 IF(AGXX.GT.1.0E-50.AND.AGYY.GT.1.0E-50)
    : FK(I)=(AGXY/AGXX)*((AGXY/AGYY))
    : CONTINUE
    : FPRI=1.0/(FLOAT(NCEL)*TX)
    : NG1=IFIX(FPX/FPRI)
    : NG2=IFIX(FKX/FPRI)
    : IF(NG2-NG1.GT.299)NG2=NG1+299
    : FPOC=FPRI*FLOAT(NG1)
    : FKON=FPRI*FLOAT(NG2)
    : NG=NG2-NG1
    : WRITE(6,1800)
1800 FORMAT(1H1,'FREKVENCNI ZPRACOVANI DAT'//,
    : 1X,3X,'FREKV =',
    : 9X,'GXX',8X,'GVXX',5X,9X,'GYY',8X,'GVYY',5X,9X,'GXY',
    : 5X,6X,'PRENOS',5X,3X,'KOHERENCE'//)
    : DO 290 I=1,NG
    : FF=FLOAT(I-1)*FPRI
    : WRITE(6,1900) FF,GXX(I),GVXX(I),GYY(I),GVYY(I),
    : GXY(I),FP(I),FK(I)
    : 1900 FORMAT(1X,0PF9.3,1P2E12.3,5X,2E12.3,5X,3(E12.3,5X))
    : 299 CONTINUE
    : APAR=IMERX
    : IPAR=IMERY
    : AM=-1.0E50
    : GXXM=AM
    : GYYM=AM
    : DO 350 I=1,NG
    : IF(I.GT.NP1)GOTO 350
    : IF(GXX(I).GT.GXXM)GXXM=GXX(I)
    : IF(GYY(I).GT.GYYM)GYYM=GYY(I)
350 CONTINUE
    : GMAX(1)=GXXM
    : GMAX(2)=GYYM
    : CALL SMAX(2,GMAX,GMU)
    : DO 330 I=1,NG
    : J=NG1+I-1
    : IF(J.GT.NP1)J=NP1
    : IF(.NOT.GRAFX)GOTO 3
    : GR(1,I)=10.0* ALOG10(ABS(GXX(J)))
    : GR(2,I)=10.0* ALOG10(ABS(GVXX(J)))
    : GO TO 330
    : GR(1,I)=10.0* ALOG10(ABS(GYY(J)))
    : GR(2,I)=10.0* ALOG10(ABS(GVYY(J)))
    : 330 CONTINUE
    : DO 390 I=1,2
    : IKRIV(I)=2*I-1
    : PARAM(I)=GMU(I)
    : CONTINUE
    : CALL GRAFY(GR,2,NG,0.0,0.0,IKRIV,PARAM,FPOC,FKON,FPRI,
    : 15,8,APAR,IPAR)
    : IF(GRAFX)GOTO 9
    : AM=-1.0E50
    : GVYYM=AM
    : FPM=AM
    : FKM=AM
    : DO 360 I=1,NG
    : IF(I.GT.NP1)GOTO 360
    : IF(GXY(I).GT.GXYM)GXYM=GXY(I)
    : IF(FP(I).GT.FPM)FPM=FP(I)
    : IF(FK(I).GT.FKM)FKM=FK(I)
    : 360 CONTINUE
    : GMU=1

```

```

125300      GMAX(2)=FKN
125400      CALL SMAX2,GMAX,GMU)
125500      DO 340 I=1,NG
125600      J=NG1+I-1
125700      IF(J.GT.NP1)J=NP1
125800      GR(1,I)=10.0*ALOG10(ABS(FP(J)/GMU(1)))
125900      GR(2,I)=10.0*ALOG10(ABS(GAY(J)/GMU(2)))
126000      CONTINUE
126100      DO 370 I=1,2
126200      IKRIV(I)=2*I-1
126300      PARAM(I)=GMU(I)
126400      CONTINUE
126500      CALL GRAFY(GR,2,NC,0.0,0.0,IKRIV,PARAM,FPOC,FKON,FPRI,
126600      :15,3,APAR,IPAR)
126700      STOP 777
126800      END
126900      C
127000      C
127100      C
127200      SUBROUTINE KONECK,A)
127300      DIMENSION A(10)
127400      K=1
127500      IF(A(1).LT.0.0.AND.
127600      :A(2).LT.0.0.AND.
127700      :A(3).LT.0.0.AND.
127800      :A(4).LT.0.0.AND.
127900      :A(5).LT.0.0)K=-1
128000      RETURN
128100      END
128200      C
128300      C
128400      C
128500      SUBROUTINE CHYBA(I,NX,NY)
128600      IF(I.LT.1.OR.I.GT.3)GOTO 11
128700      GO TO (1,2,3),I
128800      1  WRITE(6,1000)NX
128900      1000  FORMAT(///1X,'PRAZDNY SOUBOR NEZAVISLE PROMENNE',I10//)
129000      STOP 111
129100      2  WRITE(6,1100)NY
129200      1100  FORMAT(///1X,'PRAZDNY SOUBOR ZAVISLE PROMENNE',I10//)
129300      STOP 111
129400      3  WRITE(6,1200)NX,NY
129500      1200  FORMAT(///1X,'PRAZDNY SOUBOR NEZAVISLE I ZAVISLE PROMENNE',I10//)
129600      :2I10//)
129700      STOP 111
129800      11  RETURN
129900      END
130000      C
130100      C
130200      C
130300      C
130400      SUBROUTINE GRAFY(YY,IM,NN,YDOLNI,YHORN,NET,PARAM,XD,X
130500      *LX,LY,APAR,IPAR)
130600      DIMENSION YY(5,300),IC(10),PARAM(10),Y1(300),X1(300),
130700      *DEL(10),NET(10)
130800      C
130900      YY - POLE TADELOVANYCH HODNOT V POCT - NN X NN
131000      YDOLNI, YHORN - DOLNI A HORNI MEZ ZAVISLE PROMENNE,
131100      JE-LI LX ZAPORNE
131200      XD,XH,DIFX - HRANICE A KROK NEZAVISLE PROMENNE
131300      LX, LY - DELKA OSY X A POLOVICKA DELKA OSY Y V CM,
131400      JE-LI LX ZAPORNE,
131500      JE-LI LY ZAPORNE,
131600      NET - NA PARAMETRECH YDOLNI, YHORN

```

```

1000 C
1100 100 FORMAT('KORELACE VE FREKVENCNI OBLASTI')
1200 200 FORMAT('F(HZ)')
1300 300 FORMAT('AMPL')
1400 400 FORMAT('MERENI X')
1500 500 FORMAT('MERENI Y')
1600 600 FORMAT('POPIS KRIVEK')
1700 700 FORMAT('ZVETSENI')
M=MM
IF(M.GT.10)M=10
N=NN
IF(N.GT.300)N=300
IF(LX.LT.0)YD=YDOLNI
IF(LX.LT.0)YH=YHORN
IF(LX.LT.0)GO TO 9
YD=YY(1,1)
YH=YY(1,1)
DO 10 I=1,N
  DO 10 J=1,N
    IF(YY(I,J).LT.YD)YD=YY(I,J)
    IF(YY(I,J).GT.YH)YH=YY(I,J)
10 CONTINUE
LX=IABS(LX)

ZAKLADNI VOLANI
CALL GRAFOR(1,50000.0,-1.0,LX,LY)
IPOLY=10*IFIX(0.2*FLOAT(LX))
CALL GRAFOR(3,0.1,0.1,IPOLY,0.8100)

VYPOCET MERITEK A NAKRTESENÝ STUPNIC
WRITE(6,1000)
1000 1000 FORMAT(1H1,' INFORMACE O GRAFICKEM ZPRACOVANI UDAJU//')
CALL STUPCE(1,XD,XH,XP,XK,DX,IRX,XDM,XHM,NX,NXD,YY,M,N)
CALL STUPCE(2,YD,YH,YP,YK,DY,IRY,YDM,YHM,NY,NYD,YY,M,N)
IF(NX.LE.0.OR.NY.LE.0)STOP 111
DELKAX=8.5*FLOAT(LX)
DELKAY=8.5*FLOAT(LY)
DXG=DELKAX/FLOAT(NX)
DYG=DELKAY/FLOAT(NY)
CALL GRAFOR(4,DXG,DYG,100*NX+1,100*NY+1)
NX1=NX+1
YTISK=0.05*DELKAY
DO 50 I=1,NX1
  AI=FLOAT(I-1)-0.25
  X=XP+FLOAT(I-1)*DX
  CALL GRAFOR(5,AI*DXG,-YTISK)
  CALL GRAFOR(9,X,FLOAT(NXD),2,0)
50 CONTINUE
CALL GRAFOR(7,0.85*DELKAX,-2.0*YTISK,2,0,8200)
NY1=NY+1
DO 60 I=1,NY1
  AI=FLOAT(I-1)
  Y=YP+AI*DY
  CALL GRAFOR(5,-0.8*DXG,AI*DYG)
  CALL GRAFOR(9,Y,FLOAT(NYD),2,0)
60 CONTINUE
CALL GRAFOR(7,-DXG,0.95*DELKAY,2,0,8300)
IF(IRX.EQ.0)GO TO 11
CALL GRAFOR(7,0.0,-2.0*YTISK,2,0,'MERITKO OSY X: ')
CALL GRAFOR(10,3.0,2.0,IRX,0)
IF(IRY.EQ.0)GO TO 12
CALL GRAFOR(7,0.0,-3.0*YTISK,2,0,'MERITKO OSY Y: ')

```

3STE1:DANCA .KORFTR(FO000C )/N:

```
      CALL GRAFOR(10,3.0,2.0,IRY,0)
  3700 12 IF(XDM.EQ.0.0.OR.XHM.EQ.0.0) GO TO 13
  3810C XMAX=AMAX1(ABS(XDM),ABS(XHM))
  3820C IF(ABS(XHM-XDM)/XMAX.GT.0.01) GO TO 13
  3830C IRDM=IRAD(XDM)
  3840C DMM=XDM*10.0**(-IRDM)
  3850C CALL GRAFOR(7,0.5*DELKAX,-2.0*YTISK,2.0,
  *'POCATECNI HOD-STUP-X: ')
  3860C CALL GRAFOR(9,DMM,6.0,2.0)
  3870C CALL GRAFOR(8,0.0,0.0,2.0,' E')
  3880C CALL GRAFOR(10,2.0,2.0,IRDM,0)
  3890C IF(YDM.EQ.0.0.OR.YHM.EQ.0.0) GO TO 14
  3900 13 YMAX=AMAX1(ABS(YDM),ABS(YHM))
  3910C IF(ABS(YHM-YDM)/YMAX.GT.0.01) GO TO 14
  3920C IRDM=IRAD(YDM)
  3930C DMM=YDM*10.0**(-IRDM)
  3940C CALL GRAFOR(7,0.5*DELKAX,-3.0*YTISK,2.0,
  *'POCATECNI HOD-STUP-X: ')
  3950C CALL GRAFOR(9,DMM,6.0,2.0)
  3960C CALL GRAFOR(8,0.0,0.0,2.0,' E')
  3970C CALL GRAFOR(10,2.0,2.0,IRDM,0)
  3980C CALL GRAFOR(5,0.0,0.0)
  4000 14
  4100 C
  4200 C KRESLENI GRAFU
  4300 C UX,UY = MERTITKO = MM/JEDN.
  4400C UX=DELKAX/(XHM-XDM)
  4500C UY=DELKAY/(YHM-YDM)
  4600C DO 210 I=1,M
  4700C IC(I)=MET(I)
  4800 210 CONTINUE
  4900C DO 110 I=1,M
  5000C DO 120 J=1,N
  5100C     X=XD+FLOAT(J-1)*DX
  5200C     X1(J)=(X-XDM)*UX
  5300C     Y1(J)=(YY(I,J)-YDM)*UY
  5400C     XPP=X-XP
  5500C     YPP=YY(I,J)-YP
  5600 120 CONTINUE
  5700C     CALL TYPCC(MET(I),DELKAX/30,MCARA,DELC)
  5800C     CALL KRIVKAK(N,X1,Y1,MCARA,DELC)
  5900C     WRITE(6,1100)I
  6000 1100 FORMAT(/' NAKRESLEN GRAF C.',I3/)
  6100 110 CONTINUE
  6200C     XTP=0.7*DELKAX
  6300C     YTP=0.75*DELKAY
  6400C     XTISK=0.15*DELKAX
  6500C     YTISK=0.05*DELKAY
  6600C     CALL GRAFOR(7,XTP,YTP,2.0,8400)
  6700C     CALL GRAFOR(9,APAR,4.0,2.0)
  6800C     CALL GRAFOR(7,XTP,YTP-YTISK,2.0,8500)
  6900C     CALL GRAFOR(10,2.0,5.0,IPAR,0)
  7000C     CALL GRAFOR(7,XTP,YTP-2.0*YTISK,2.0,8600)
  7100C     CALL GRAFOR(7,XTP,YTP-3.0*YTISK,2.0,'HERENI')
  7200C     CALL GRAFOR(7,XTP+XTISK,YTP-3.0*YTISK,2.0,8700)
  7300C     DO 150 I=1,11
  7400C         CALL GRAFOR(7,XTP,YTP-FLDAT(I+3)+YTISK,2.0,' ')
  7500C         CALL GRAFOR(10,2.0,2.0,MET(I),0)
  7600C         CALL GRAFOR(7,XTP+XTISK,YTP-FLDAT(I+3)*YTISK,2.0,' ')
  7700C         CALL GRAFOR(9,PARAH(I),6.0,2.0)
  7800 150 CONTINUE
  7900C     CALL GRAFOR(2)
  8000C     WRITE(6,1200)
  8100C     END 'GRAFIICKYCH HRADJI UKONCENO'//
```

RETURN  
END

SUBROUTINE SMAX(N,VSTMAX,AM)  
DIMENSION VSTMAX(10),AM(10)  
IF(N.GT.10)RETURN  
ASTM=-1.0E50  
DO 10 I=1,N  
 IF(VSTMAX(I).GT.VSTM)VSTM=VSTMAX(I)  
CONTINUE  
IF(ABS(VSTM).LE.1.0E-50)VSTM=1.0  
DO 20 I=1,N  
 AM(I)=VSTMAX(I)/VSTM  
 A=ABS(AM(I))  
 IR=IRAD(A)  
 A=A\*10.0\*\*(-IR)  
 AZ=1.0  
 AA=ABS(A)  
 IF(AA.GT.1.0.AND.AA.LT.1.5)AZ=1.5  
 IF(AA.GE.1.5.AND.AA.LT.2.0)AZ=2.0  
 IF(AA.GE.2.0.AND.AA.LT.3.0)AZ=3.0  
 IF(AA.GE.3.0.AND.AA.LT.5.0)AZ=5.0  
 IF(AA.GE.5.0.AND.AA.LT.7.0)AZ=7.0  
 IF(AA.GE.7.0.AND.AA.LT.10.0)AZ=10.0  
 A1=ABS(AA-1.0)  
 IF(A1.LT.1.0E-5)AZ=1.0  
 AM(I)=AZ\*10.0\*\*IR  
20 CONTINUE  
RETURN  
END

```

12700      WRITE(6,1200)T1(J),T2(J),J=1,NS)
12800 1200      FORMAT(1X,5(I6,2F12.3))
12900 50      CONTINUE
13000 8      WRITE(6,1300)XSTD,YSTD
13100 1300      FORMAT(1X,'STANDARDNI ODCHYLKA VSTUPU',E12.3//)
13200 :1X,'STANDARDNI ODCHYLKA VYSTUPU',E12.3//)
13300      NN=1
13400      K=1
13500      DO 230 I=1,13
13600      K=K*2
13700      IF(K.LE.NCEL)NN=K
13800 230      CONTINUE
13900      NCEL=NN
14000      DO 240 I=1,N
14100      C=VFCE(ITVF,I,N,0.0)
14200      X(I)=X(I)*C
14300      Y(I)=Y(I)*C
14400 240      CONTINUE
14500      CALL FFA4(X,NCEL)
14600      CALL FFA4(Y,NCEL)
14700      NP=N/2
14800      NP1=NP+1
14900      IF(NP1.GT.513)NP1=513
15000      FPRI=1.0/(FLOAT(NCEL)*TX)
15100      NG1=IFIX(FPX/FPRI)
15200      IF(NG1.LT.1)NG1=1
15300      NG2=IFIX(FKX/FPRI)+1
15400      IF(NG2-NG1.GT.299)NG2=NG1+299
15500      FPOC=FPRI*FLOAT(NG1)
15600      FKON=FPRI*FLOAT(NG2)
15700      NG=NG2-NG1
15800      DO 260 I=1,NP1
15900      II=2*I
16000      IR=II-1
16100      IF(I.EQ.1)UF=2.*PI*FLOAT(I)*FPRI
16200      IF(I.GT.1)UF=2.*PI*FLOAT(I-1)*FPRI
16300      X(IR)=X(IR)/UF
16400      Y(IR)=Y(IR)/UF
16500      X(II)=-X(II)/UF
16600      Y(II)=-Y(II)/UF
16700      GXX(I)=X(IR)**2+X(II)**2
16800      GYY(I)=Y(IR)**2+Y(II)**2
16900      AGXX=ABS(GXX(I))
17000      AGYY=ABS(GYY(I))
17100      GXX(I)=-200.0
17200      GYY(I)=-200.0
17300      IF(AGXX.GT.ANULA)GXX(I)=10.0*ALOG10(AGXX)
17400      IF(AGYY.GT.ANULA)GYY(I)=10.0*ALOG10(AGYY)
17500      FP(I)=GYY(I)-GXX(I)
17600 260      CONTINUE
17700      DO 230 I=1,NG
17800      J=NG1+I-1
17900      IF(J.GT.NP1)J=NP1
18000      GR(1,I)=FP(J)
18100      GR(2,I)=GYY(J)
18200      GR(3,I)=GXX(J)
18300 280      CONTINUE
18400      WRITE(6,1800)
18500 1800      FORMAT(1H1,'FREKVENCI ZPRACOVANI DAT'//)
18600      :1X,3(3X,'FREKV.',9X,'GXX',2X,'GYY',6X,'PRENOS',5X)//)
18700      NS=3
18800      NR=NP1/NS+1
18900      DO 460 I=1,NR

```

```

DO 440 J=1,NS
K=I+NR*(J-1)
IF(K.GT.NP1)K=NP1
T1(J)=FLOAT(K-1)*FPRI
T2(J)=GXX(K)
T3(J)=GYY(K)
T4(J)=FPC(K)
CONTINUE
440
1900 WRITE(6,1900)(T1(J),T2(J),T3(J),T4(J),J=1,NS)
FORMAT(1X,3(F9.3,3F12.3,5X))
CONTINUE
1900
460 APAR=IMERX
IPAR=IMERY
DO 390 I=1,3
IKRIV(I)=2*I-1
CONTINUE
PARAM(1)=YSTD/XSTD
PARAM(2)=YSTD
PARAM(3)=XSTD
NKRIV=2
IF(GRAFX)NKRIV=3
CALL GRAFY(GR,NKRIV,NG,0.0.0.0.IKRIV,PARAM,FPOC,FKON,FPRI,
:15,8,APAR,IPAR)
WRITE(7,3001)IMERY
3001 FORMAT(I5)
DO 290 I=1,NG
K=NG1+I-1
F=FLOAT(K)*FPRI
TISK=FP(K)
IF(VYSKOR)TISK=GYY(K)
IF(VYSKOR.AND.GRAEX)TISK=GXX(K)
WRITE(7,2002)F,TISK
290 FORMAT(2F12.3)
CONTINUE
P1=-1.0
P2=P1
WRITE(7,2002)P1,P2
STOP 777
END

```

```

SUBROUTINE KONEC(K,A)
DIMENSION A(10)
K=1
IF(A(1).LT.0.0.AND.
:A(2).LT.0.0.AND.
:A(3).LT.0.0.AND.
:A(4).LT.0.0.AND.
:A(5).LT.0.0)K=-1
RETURN
END

```

```

SUBROUTINE CHYBA(I,NX,NY)
IF(I.LT.1.OR.I.GT.3)GOTO 11
1 GO TO (1,2,3),I
1000 WRITE(6,1000)NX
FORMAT(//1X,'PRAZDNY SOUBOR NEZAVISLE PROMENNE',I10//)
2 STOP 111
1100 WRITE(6,1100)NY
FORMAT(//1X,'PRAZDNY SOUBOR ZAVISLE PROMENNE',I10//)

```

```

STOP 111
WRITE(6,1200)NX,NY
FORMAT(//17,'PRZENOVY SOUBOR NEZAVISLE I ZAVISLE PROMENNE',
:210//)
STOP 111
RETURN
END

SUBROUTINE GRAFY(YY,MM,NN,YDOLNI,YHORNI,MET,PARAM,XD,XH,DIFX,
*LX,LY,APAR,IPAR)
DIMENSION YY(5,300),IC(10),PARAM(10),Y1(300),X1(300),
*DELC(10),MET(10)

YY - POLE TABELOVANYCH HODNOT V POCTU MM X NN
YDOLNI, YHORNI - DOLNI A HORNI MEZ ZAVISLE PROMENNE,
JE-LI LX ZAPORNE
XD,XH,DIFX - HRANICE A KROK NEZAVISLE PROMENNE
LX, LY - DELKA OSY X A POLOVICNI DELKA OSY Y V CM,
JE-LI LX ZAPORNE,
POZADUJU SE MEZE NA PARAMETRECH YDOLNI, YHORNI

FORMAT('SPEKTRALNI HUSTOTA A PRENOSEVA FUNKCE')
FORMAT('F(HZ)')
FORMAT('AMPL')
FORMAT('MERENI X')
FORMAT('MERENI Y')
FORMAT('POPIS KRIVEK')
FORMAT('SM-ODCH.')
M=MM
IF(M.GT.10)M=10
N=NN
IF(N.GT.300)N=300
IF(LX.LT.0)YD=YDOLNI
IF(LX.LT.0)YH=YHORNI
IF(LX.LT.0)GO TO 9
YD=YY(1,1)
YH=YY(1,1)
DO 10 I=1,M
    DO 10 J=1,N
        IF(YY(I,J).LT.YD)YY(I,J)=YY(I,J)
        IF(YY(I,J).GT.YH)YY(I,J)=YY(I,J)
CONTINUE
LX=IABS(LX)

ZAKLADNI VOLANI
CALL GRAFOR(1,50000.0,-1.0,LX,LY)
IPOLY=10*IFIX(0.2*FLOAT(LX))
CALL GRAFOR(3,0.1,0.1,IPOLY,0,8100)

VYPOCET MERITEK A NAKRTESELI STUPNIC
WRITE(1,1000)
FORMAT(1H1,' INFORMACE O GRAFICKEM ZPRACOVANI UDAJU'//)
CALL STUPCE(1,XD,XH,XP,XK,DX,IRX,XDM,XHM,NX,NXD,YY,M,N)
CALL STUPCE(2,YD,YH,YP,YK,DY,IRY,YDM,YHM,NY,NYD,YY,M,N)
IF(NX.LE.0.OR.NY.LE.0)STOP 111
DELKAX=8.5*FLOAT(LX)
DELKAY=8.5*FLOAT(LY)
DXG=DELKAX/FLOAT(NX)
DYG=DELKAY/FLOAT(NY)
CALL GRAFOR(4,DXG,DYG,100*NX+1,100*NY+1)

```

```

NXTPNX+1
YTISK=0.05*DELKAY
DO 50 I=1,NX1
    AI=FLOAT(I-1)-0.25
    X=Xp+FLOAT(I-1)*DX
    CALL GRAFOR(5,AI*DXG,-YTISK)
    CALL GRAFOR(9,X,FLOAT(NXD),2,0)
CONTINUE
CALL GRAFOR(7,0.85*DELKAX,-2.0*YTISK,2,0,&200)
NY1=NY+1
DO 60 I=1,NY1
    AI=FLOAT(I-1)
    Y=Yp+AI*Dy
    CALL GRAFOR(5,-0.8*DXG,AI*DyG)
    CALL GRAFOR(9,Y,FLOAT(NyD),2,0)
CONTINUE
CALL GRAFOR(7,-DXG,0.95*DELKAY,2,0,&300)
IF(IRX.EQ.0) GO TO 11
CALL GRAFOR(7,0.0,-2.0*YTISK,2,0,'MERITKO OSY X: ')
CALL GRAFOR(10,3.0,2.0,IRX,0)
IF(IRY.EQ.0) GO TO 12
CALL GRAFOR(7,0.0,-3.0*YTISK,2,0,'MERITKO OSY Y: ')
CALL GRAFOR(10,3.0,2.0,IRY,0)
IF(XDM.EQ.0.0.OR.XHM.EQ.0.0) GO TO 13
XMAX=AMAX1(ABS(XDM),ABS(XHM))
IF(ABS(XHM-XDM)/XMAX.GT.0.01) GO TO 13
IRDm=IRAD(XDM)
DMM=XDM*10.0**(-IRDm)
CALL GRAFOR(7,0.5*DELKAX,-2.0*YTISK,2,0,
*'POCATECNI HOD-STUP.X: ')
CALL GRAFOR(9,DMM,6.0,2,0)
CALL GRAFOR(8,0.0,0.0,2,0,' E')
CALL GRAFOR(10,2.0,2.0,IRDm,0)
IF(YDM.EQ.0.0.OR.YHM.EQ.0.0) GO TO 14
YMAX=AMAX1(ABS(YDM),ABS(YHM))
IF(ABS(YHM-YDM)/YMAX.GT.0.01) GO TO 14
IRDm=IRAD(YDM)
DMM=YDM*10.0**(-IRDm)
CALL GRAFOR(7,0.5*DELKAX,-3.0*YTISK,2,0,
*'POCATECNI HOD-STUP.X: ')
CALL GRAFOR(9,DMM,6.0,2,0)
CALL GRAFOR(8,0.0,0.0,2,0,' E')
CALL GRAFOR(10,2.0,2.0,IRDm,0)
CALL GRAFOR(5,0.0,0.0)

14 C
KRESLENI GRAFU
UX,UY = MERTITKO = MM/JEDN.
UX=DELKAX/(XHM-XDM)
UY=DELKAY/(YHM-YDM)
DO 210 I=1,M
    IC(I)=MET(I)
CONTINUE
DO 110 I=1,M
    DO 120 J=1,N
        X=XD+FLOAT(J-1)*DIFX
        X1(J)=(X-XDM)+UX
        Y1(J)=(YY(I,J)-YDM)+UY
        XPP=X-XP
        YPP=YY(I,J)-YP
    CONTINUE
    CALL TYPc(MET(I),DELKAX/30,MCARA,DELC)
    CALL KRIvKA(N,X1,Y1,MCARA,DELC)
    WRITE(1,1100) I

```

```

1100 FORMAT(// NAKRESLEN GRAF C.',I3/)
110 CONTINUE
110 XTP=0.7*DELKAX
110 YTP=0.95*DELKAY
1200 XTISK=0.15*DELKAX
1200 YTISK=0.05*DELKAY
1300 CALL GRAFOR(7,XTP,YTP,2.0,2400)
1300 CALL GRAFOR(9,APAR,4.0,2.0)
1300 CALL GRAFOR(7,XTP,YTP-YTISK,2.0,8500)
1300 CALL GRAFOR(10,2.0,5.0,IPAR,0)
1300 CALL GRAFOR(7,XTP,YTP-2.0*YTISK,2.0,8600)
1300 CALL GRAFOR(7,XTP,YTP-3.0*YTISK,2.0,'MERENI')
1300 CALL GRAFOR(7,XTP+XTISK,YTP-3.0*YTISK,2.0,8700)
1300 DO 150 I=1,N
1300   CALL GRAFOR(7,XTP,YTP-FLOAT(I+3)*YTISK,2.0,' ')
1300   CALL GRAFOR(10,2.0,2.0,MET(I),0)
1300   CALL GRAFOR(7,XTP+XTISK,YTP-FLOAT(I+3)*YTISK,2.0,' ')
1300   CALL GRAFOR(7,PARAM(I),6.0,2.0)
1300 150 CONTINUE
1300 CALL GRAFOR(2)
1300 WRITE(1,1200)
1300 1200 FORMAT ('/ ZPRACOVANI GRAFICKYCH UDAJU UKONCENO!/')
1300 RETURN
1300 END

0300 C
0400 C
0500 C
0600 SUBROUTINE SMAX(N,VSTMAX,AM)
0700 DIMENSION VSTHAX(10),AM(10)
0800 IF(N.GT.10)RETURN
0900 ASTM=-1.0E50
1000 DO 10 I=1,N
1100   IF(VSTMAX(I).GT.VSTM)VSTM=VSTMAX(I)
1100 CONTINUE
1200 10 IF(ABS(VSTM).LE.1.0E-50)VSTM=1.0
1300 DO 20 I=1,N
1400   AM(I)=VSTMAX(I)/VSTM
1500   A=ABS(AM(I))
1600   IR=IRAD(A)
1700   A=A*10.0**(-IR)
1800   AZ=1.0
1900   AA=ABS(A)
2000   IF(AA.GT.1.0.AND.AA.LT.1.5)AZ=1.5
2100   IF(AA.GE.1.5.AND.AA.LT.2.0)AZ=2.0
2200   IF(AA.GE.2.0.AND.AA.LT.3.0)AZ=3.0
2300   IF(AA.GE.3.0.AND.AA.LT.5.0)AZ=5.0
2400   IF(AA.GE.5.0.AND.AA.LT.7.0)AZ=7.0
2500   IF(AA.GE.7.0.AND.AA.LT.10.0)AZ=10.0
2600   A1=ABS(AA-1.0)
2700   IF(A1.LT.1.0E-5)AZ=1.0
2800   AM(I)=AZ*10.0**IR
2900
3000 20 CONTINUE
3100 RETURN
3200 END

3300 C
3400 C
3500 C
3600 REAL FUNCTION VFCE(IT,I,N,AB)
3700 ZFCE(A,B,C,X)=A+2.0*B*COS(X)+2.0*C*COS(2.0*X)
3800 VFCE=0.0
3900 PI=3.14159
4000 AI=FLOAT(I)
4100 AN=FLOAT(N)

```

```
N2=N/2
AN2=FLOAT(N2)
J=I-N2
AJ=FLOAT(J)
GO TO (1,2,3,4,5,6),IT
VFCE=1.0
1 RETURN
IP=N/10
IK=9*IP
IF(I.GE.IP.AND.I.LE.IK)VFCE=1.0
IF(I.LT.IP)VFCE=0.5*(1.0-COS(10.0*PI*AT/AN))
IF(I.GT.IK)VFCE=0.5*(1.0-COS(10.0*PI*FLOAT(N-I)/AN))
RETURN
3 ARG=2.0*PI*AJ/AN
VFCE=ZFCE(0.5,0.25,0.0,ARG)
RETURN
4 ARG=2.0*PI*AJ/AN
VFCE=ZFCE(0.54,0.23,0.0,ARG)
RETURN
5 ARG=2.0*PI*AJ/AN
VFCE=ZFCE(0.42,0.25,0.04,ARG)
RETURN
6 IP=0.25*N
IK=0.75*N
IF(I.LT.IP.OR.I.GT.IK)VFCE=2.0*(1.0-ABS(AJ)/AN2)**3
IF(I.GE.IP.OR.I.LE.IK)
: VFCE=1.0-6.0*(AJ/AN2)**2+6.0*(ABS(AJ)/AN2)**3
RETURN
END
```

```

C
DIMENSION X(4100),Y(4100),GXX(513),GYY(513),FP(513),
:ITX(20),ITY(20),A(10),IKRIV(10),PARAM(10),GR(5,300),
:IT(5),T1(5),T2(5),T3(5),T4(5)
LOGICAL VYPIS,GRAFX,VYSKOR
DATA ITVST,ITVYS/4HVST.,4HVYS./

C
C
PI=3.14159
ANULA=1.0E-30
ANEK=1.0/ANULA
READ(5,320)ITX
READ(5,302)NPOCX,PARX
READ(5,303)IMERX,TX,ARX
VYPIS=.FALSE.
IF(NPOCX.LT.0)VYPIS=.TRUE.
IF(NPOCX.LT.0)NPOCX=IABS(NPOCX)
GRAFX=.FALSE.
IF(PARX.LE.0.0)GRAFX=.TRUE.
IF(PARX.LE.0.0)PARX=ABS(PARX)
VYSKOR=.FALSE.
IF(IMERX.LT.0)VYSKOR=.TRUE.
IF(IMERX.LT.0)IMERX=IABS(IMERX)
READ(5,103)FPX,FKX,DFX
NROZ=IFIX(ARX+0.1)
NCEL=1024*NROZ
ITVF=IFIX(PARX+0.1)
IF(ITVF.LT.1.OR.ITVF.GT.6)ITVF=1
DO 430 I=1,513
  GXX(I)=0.0
  GYY(I)=0.0
  FP(I)=0.0
CONTINUE
IF(NCEL.GT.4100)NCEL=4100
DO 420 I=1,NCEL
  X(I)=0.0
  Y(I)=0.0
CONTINUE
K=0
DO 10 I=1,NPOCX
  READ(5,110)A
  KDT=1
  CALL KONEC(KDT,A)
  IF(KDT.LE.0)GO TO 1
  DO 10 J=1,10
    IF(A(J).LE.1.0E-30)GO TO 10
    IF(K.GT.1024)GO TO 10
    K=K+1
    X(K)=A(J)
CONTINUE
NX=K
READ(5,320)ITY
READ(5,302)NPOCY,PARY
READ(5,303)IMERY,TY,STRY
READ(5,103)FPY,FKY,DFY
K=0
DO 20 I=1,NPOCY
  READ(5,110,END=2)A
  DO 20 J=1,10
    IF(A(J).LE.1.0E-30)GO TO 20
    IF(K.GT.1024)GO TO 20
    K=K+1

```

```

      Y(K)=A(J)
20    CONTINUE
600 103  FORMAT(3F0.0)
700 110  FORMAT(10F0.0)
800 302  FORMAT(I0,F0.0)
800 303  FORMAT(I0,2F0.0)
800 320  FORMAT(20A4)
900 2    NY=K
100 109  IF(NX.LE.0)CALL CHYBA(1,NX,0)
100 110  IF(NY.LE.0)CALL CHYBA(2,0,NY)
100 111  IF(NX.LE.0.AND.NY.LE.0)CALL CHYBA(3,NX,NY)
100 112  N=NX
100 113  IF(N.GT.NY)N=NY
100 114  IF(N.GT.1024)N=1024
100 115  XST=0.0
100 116  YST=0.0
100 117  DO 30 I=1,N
100 118    XST=XST+X(I)
100 119    YST=YST+Y(I)
100 120  CONTINUE
100 121  XST=XST/FLOAT(N)
100 122  YST=YST/FLOAT(N)
100 123  XKV=0.0
100 124  YKV=0.0
100 125  DO 40 I=1,N
100 126    X(I)=X(I)-XST
100 127    XKV=XKV+X(I)*X(I)
100 128    Y(I)=Y(I)-YST
100 129    YKV=YKV+Y(I)*Y(I)
100 130  CONTINUE
100 131  XSTD=SQRT(XKV/FLOAT(N-1))
100 132  YSTD=SQRT(YKV/FLOAT(N-1))
100 133  WRITE(6,1000)ITX,ITY,NX,NY,TX,TY,PAX,PARY
100 1000 FORMAT(1H1,'VYPOCET KORELACNICH FUNKCI'//
100 :20A4//20A4//)
100 :1X,'POCET VSTUPNICH A VYSTUPNICH MERENI',2I7//,
100 :1X,'VZORKOVACI INTERVAL VSTUPU A VYSTUPU',2F12.6//,
100 :1X,'PARAMETR VSTUPU A VYSTUPU',2F12.6//)
100 134  DXMAX=6.0*XSTD
100 135  DYMAX=3.0*YSTD
100 136  DO 510 I=1,N
100 137    IF(ABS(X(I)).GT.DXMAX)WRITE(6,1050)ITVST,I,X(I)
100 138    IF(ABS(X(I)).GT.DXMAX)X(I)=0.0
100 139    IF(ABS(Y(I)).GT.DYMAX)WRITE(6,1050)ITVYS,I,Y(I)
100 140    IF(ABS(Y(I)).GT.DYMAX)Y(I)=0.0
100 141    PARAM(1)=XKV
100 142    PARAM(2)=YKV
100 143    FORMAT(1X,'OPRAVENA VYRAZNA ODCHYLKA',1X,A4,'DAT',
100 : 5X,'PORADI',I5,5X,'PUVODNI HODNOTA',F12.6/)
100 510  CONTINUE
100 144  IF(.NOT.VYPIS)GOTO 8
100 145  WRITE(6,1100)
100 1100 FORMAT(1H1,'VZORKY VSTUPU A VYSTUPU'//,
100 :1X,5(2X,'P.C.',7X,'VSTUP',6X,'VYSTUP'))/
100 146  NS=5
100 147  NR=N/NS+1
100 148  DO 50 I=1,NR
100 149    DO 60 J=1,NS
100 150      K=I+NR*(J-1)
100 151      IT(J)=K
100 152      T1(J)=X(K)
100 153      T2(J)=Y(K)
100 154  CONTINUE

```

```

00100 C KONTROLA PRUBEHU VAHOVYCH FUNKCI
00200 C
00300 DIMENSION Y(5,300),PAR(5),IC(5)
00400 NB=150
00500 NNB=300
00600 NVF=0
00700 DO 50 I=1,5
00800 READ(5,302,END=1)IC(I),PAR(I)
00900 302 FORMAT(10,F0.0)
01000 NVF=NVF+1
01100 50 CONTINUE
01200 1 IF(NVF.GT.5)NVF=5
01300 WRITE(7,1100)(PAR(I),I=1,NVF)
01400 1100 FORMAT(1H1,'VAHOVE FUNKCE'//,
01500 :1X,4X,'NEZ.PR.',5(4X,'ZAV.PR.')/
01600 :1X,11X,10F11.3/)
01700 WRITE(7,1200)(IC(I),I=1,NVF)
01800 1200 FORMAT(1X,11X,10I11/)
01900 DO 10 I=1,NVF
02000 DO 10 J=1,NNB
02100 Y(I,J)=0.0
02200 10 CONTINUE
02300 DX=1.0/FLOAT(NNB)
02400 DO 20 I=1,NNB
02500 X=DX*FLOAT(I-1)
02600 DO 30 J=1,NVF
02700 ABES=PAR(J)
02800 IVF=IC(J)
02900 Y(J,I)=VFCE(IVF,I,NNB,ABES)
03000 30 CONTINUE
03100 20 CONTINUE
03200 CALL GRAFY (Y,NVF,NNB,0.0,1.0,IC,PAR,0.0,0.99,DX,
03300 :15,10,ABES,NVF)
03400 STOP 777
03500 END
03600 C
03700 C
03800 C

```

```

03900 REAL FUNCTION VFCE(IT,I,N,AB)
04000 ZFCE(A,B,C,X)=A+2.0*B*COS(X)+2.0*C*COS(2.0*X)
04100 VFCE=0.0
04200 PI=3.14159
04300 AI=FLOAT(I)
04400 AN=FLOAT(N)
04500 N2=N/2
04600 AM2=FLOAT(N2)
04700 J=I-N2
04800 AJ=FLOAT(J)
04900 GO TO (1,2,3,4,5,6,7),IT
05000 1 VFCE=1.0
05100 RETURN
05200 2 IP=N/10
05300 IK=2*IP
05400 IF(I.GE.IP.AND.I.LE.IK)VFC=1.0
05500 IF(I.LT.IP)VFC=0.5*(1.0-COS(10.0*PI*AI/AN))
05600 IF(I.GT.IK)VFC=0.5*(1.0-COS(10.0*PI*FLOAT(N-I)/AN))
05700 RETURN
05800 3 ARG=2.0*PI*AJ/AN
05900 VFCE=ZFCE(0.5,0.25,0.0,ARG)
06000 RETURN
06100 4 ARG=2.0*PI*AJ/AN
06200 VFCE=ZFCE(0.54,0.23,0.0,ARG)
06300 RETURN
0VC VERS 3.11

```

```

ARG=2.0*PI*AJ/AN
VFCE=ZFCE(0.42,0.25,0.04,ARG)
RETURN
IP=0.25*N
IK=0.75*N
IF(I.LT.IP.OR.I.GT.IK)VFCE=2.0*(1.0-ABS(AJ)/AN2)**3
IF(I.GE.IP.OR.I.LE.IK)
  VFCE=1.0-6.0*(AJ/AN2)**2+6.0*(ABS(AJ)/AN2)**3
RETURN
ARG=(AJ/AN2)**2
P=ARG
ANOR=BESIC(AB)
IF(ABS(ANOR).LT.1.0E-50)ANOR=1.0
IF(P.LT.1.0)VFCB=BESI0(AB*SQRT(1.0-ARG))/ANOR
RETURN
END

```

```

FUNCTION BESIK(X)
LOGICAL L,E
ENTRY EBESI0(X)
E=.TRUE.
GO TO 1
ENTRY BESIC(X)
E=.FALSE.
1 L=.TRUE.
V=ABS(X)
IF(V .GE. 8.0) GO TO 4
8 F=0.0625*X**2-2.0
A = 0.00000 00000 00002
B = F * A + 0.00000 00000 00120
A = F * B - A + 0.00000 00000 06097
B = F * A - B + 0.00000 00002 68828
A = F * B - A + 0.00000 00101 69727
B = F * A - B + 0.00000 03260 91051
A = F * B - A + 0.00000 87383 15497
B = F * A - B + 0.00019 24693 59688
A = F * B - A + 0.00341 63317 66012
B = F * A - B + 0.04771 87487 98174
A = F * B - A + 0.50949 33654 39983
B = F * A - B + 4.01167 37601 79349
A = F * B - A + 22.27481 92424 62231
B = F * A - B + 82.48903 27440 24100
A = F * B - A + 190.49432 01727 42844
A = F * A - B + 255.46687 96243 62167
BESIK=0.5*(A-B)
IF(L .AND. E) BESIK=EXP(-V)*BESIK
IF(L) RETURN
A = 0.00000 00000 00003
B = F * A + 0.00000 00000 00159
A = F * B - A + 0.00000 00000 07658
B = F * A - B + 0.00000 00005 18588
A = F * B - A + 0.00000 00112 81211
B = F * A - B + 0.00000 03351 95256
A = F * B - A + 0.00000 82160 25940
B = F * A - B + 0.00016 27083 79043
A = F * B - A + 0.00253 63081 88086
B = F * A - B + 0.03008 07224 20512
A = F * B - A + 0.25908 44324 34900
B = F * A - B + 1.51153 56760 29228
A = F * B - A + 5.28363 28668 73920
B = F * A - B + 8.00536 88687 00334

```

```

A = F * B - A = 4.56343 35864 48395
A = F * A - B = 21.05766 01774 02440
BESIK=-ALOG(0.125*X)*BESIK+0.5*(A-B)
IF(E) BESIK=EXP(X)*BESIK
RETURN
4 F=32.0/V-2.0
B = - 0.00000 00000 00001
A = F * B = - 0.00000 00000 00001
B = F * A - B + 0.00000 00000 00004
A = F * B - A + 0.00000 00000 00019
B = F * A - B - 0.00000 00000 00024
A = F * B - A - 0.00000 00000 00104
B = F * A - B + 0.00000 00000 00032
A = F * B - A + 0.00000 00000 00966
B = F * A - B + 0.00000 00000 01800
A = F * B - A - 0.00000 00000 04427
B = F * A - B - 0.00000 00000 33427
A = F * B - A - 0.00000 00000 78957
B = F * A - B + 0.00000 00000 29802
A = F * B - A + 0.00000 00012 38425
B = F * A - B + 0.00000 00085 13091
A = F * B - A + 0.00000 00568 16966
B = F * A - B + 0.00000 05135 37727
A = F * B - A + 0.00000 72475 91100
B = F * A - B + 0.00017 27006 30778
A = F * B - A + 0.00844 51226 24921
A = F * A - B + 2.01655 84109 17480
BESIK=0.199471140200717*(A-B)/SQRT(V)
IF(E) RETURN
BESIK=EXP(V)*BESIK
RETURN
ENTRY EBESI1(X)
E=.TRUE.
GO TO 2
ENTRY BESI1(X)
E=.FALSE.
2 L=.TRUE.
V=ABS(X)
IF(V .GE. 8.0) GO TO 3
7 F=0.0625*X**2-2.0
A = + 0.00000 00000 00001
B = F * A + 0.00000 00000 00031
A = F * B - A + 0.00000 00000 01672
B = F * A - B + 0.00000 00000 79291
A = F * B - A + 0.00000 00032 2761
B = F * A - B + 0.00000 01119 46285
A = F * B - A + 0.00000 32641 3812
B = F * A - B + 0.00007 87567 85754
A = F * B - A + 0.00154 30190 15627
B = F * A - B + 0.02399 30791 47841
A = F * B - A + 0.28785 55113 04672
B = F * A - B + 2.57145 00063 47755
A = F * B - A + 18.23455 05525 22066
B = F * A - B + 69.30521 76337 34442
A = F * B - A + 181.31261 60405 70265
A = F * A - B + 259.89023 72064 77222
BESIK=0.0625*(A-B)*X
IF(L .AND. E) BESIK=EXP(-V)*BESIK
IF(L) RETURN
A = + 0.00000 00000 00001
B = F * A + 0.00000 00000 00042
A = F * B - A + 0.00000 00000 02163
B = F * A - B + 0.00000 00000 26660

```

```

A = F * B - A + 0.00000 00056 96783
B = F * A - B + 0.00000 01193 67971
A = F * B - A + 0.00000 32025 10692
B = F * A - B + 0.00007 00106 27855
A = F * B - A + 0.00121 70569 94516
B = F * A - B + 0.01630 00492 89816
A = F * B - A + 0.16107 43016 56148
B = F * A - B + 1.10146 19930 04852
A = F * B - A + 4.6638 70268 62842
B = F * A - B + 9.36161 78313 95389
A = F * B - A - 1.83923 92242 86199
A = F * A - B - 26.68809 54808 62668
BESIK=ALOG(0.125*X)*BESIK+1.0/X-0.0625*(A-B)*X
IF(E) BESIK=EXP(X)*BESIK
RETURN
3 F=32.0/V-2.0
B = + 0.00000 00000 00001
A = F * B + 0.00000 00000 00001
B = F * A - B - 0.00000 00000 00005
A = F * B - A - 0.00000 00000 00010
B = F * A - B + 0.00000 00000 00026
A = F * B - A + 0.00000 00000 -00107
B = F * A - B - 0.00000 00000 00053
A = F * B - A - 0.00000 00000 01024
B = F * A - B - 0.00000 00000 01804
A = F * B - A + 0.00000 00000 05103
B = F * A - B + 0.00000 00000 35408
A = F * B - A + 0.00000 00000 81531
B = F * A - B - 0.00000 00000 47563
A = F * B - A - 0.00000 00014 01141
B = F * A - B - 0.00000 00096 13873
A = F * B - A - 0.00000 00659 61142
B = F * A - B - 0.00000 06297 24239
A = F * B - A - 0.00000 97321 46728
B = F * A - B - 0.00027 72053 60764
A = F * B - A - 0.02446 74429 63276
A = F * A - B + 1.95160 12046 52572
BESIK=0.199471140200717*(A-B)/SQRT(V)
IF(X .LT. 0.0) BESIK=-BESIK
IF(E) RETURN
BESIK=EXP(V)*BESIK
RETURN
ENTRY EBESKO(X)
E=.TRUE.
GO TO 11
ENTRY BESKO(X)
E=.FALSE.
11 IF(X .LE. 0.0) GO TO 9
L=.FALSE.
V=X
IF(X .LT. 5.0) GO TO 8
F=20.0/X-2.0
A = - 0.00000 00000 00002
B = F * A + 0.00000 00000 00011
A = F * B - A - 0.00000 00000 00079
B = F * A - B + 0.00000 00000 00581
A = F * B - A - 0.00000 00000 04580
B = F * A - B + 0.00000 00000 39044
A = F * B - A - 0.00000 00003 64547
B = F * A - B + 0.00000 00037 92996
A = F * B - A - 0.00000 00450 47338
B = F * A - B + 0.00000 06325 75109
A = F * B - A - 0.00001 11066 85197

```

```

      B = F * A - B + 0.00076 25326 12763
      A = F * B - A - 0.01131 05046 46928
      A = F * A - B + 1.97681 63484 61652
      BESIK=0.626657068657750*(A-B)/SQRT(X)
      IF(E) RETURN
      Z=BESIK
      BESIK=0.
      IF(X.LT.180.) BESIK=EXP(-X)*Z
      RETURN
      ENTRY EBESK1(X)
      E=.TRUE.
      GO TO 12
      ENTRY BESK1(X)
      E=.FALSE.
12   IF(X .LE. 0.0) GO TO 9
      L=.FALSE.
      V=X
      IF(X .LT. 5.0) GO TO 7
      F=20.0/X-2.0
      A =          + 0.00000 00000 00002
      B = F * A     - 0.00000 00000 00013
      A = F * B - A + 0.00000 00000 00089
      B = F * A - B - 0.00000 00000 00663
      A = F * B - A + 0.00000 00000 05288
      B = F * A - B - 0.00000 00000 45757
      A = F * B - A + 0.00000 00004 35417
      B = F * A - B - 0.00000 00046 45555
      A = F * B - A + 0.00000 00571 32218
      B = F * A - B - 0.00000 03451 72048
      A = F * B - A + 0.00001 61850 63810
      B = F * A - B - 0.00046 84750 28167
      A = F * B - A + 0.03546 52912 43331
      A = F * A - B + 2.07190 17175 44716
      BESIK=0.626657068657750*(A-B)/SQRT(X)
      IF(E) RETURN
      Z=BESIK
      BESIK=0.
      IF(X.LT.180.) BESIK=EXP(-X)*Z
      RETURN
9    BESIK=0.
      PRINT 100,X
100  FORMAT(1X,36HBESIK ... NON-POSITIVE ARGUMENT X = ,E15.4)
      RETURN
      END

```

SUBROUTINE GRAFY(YY,MM,NN,YDOLNI,YHORNI,MET,PARAM,XD,XII,DIFX,  
 \*LX,LY,APAR,IPAR)  
 DIMENSION YY(5,300),IC(5),PARAM(5),Y1(300),X1(300),  
 \*DELC(5),MET(5)

POUZIVA PODPROGRAMU STUPCE,IRAD,IRADZ,TISK1,TISK2,POZN,  
 KRIVKA,PRUS,TypC

YY - POLE TABELOVANYCH HODNOT V POCTU MM X NN

MM, NN MEZE POLE YY

VE VOLAJICI PROGRAMOVE JEDNOTCE MUSI MIT DVOUROZMERNE

YY TYTEZ MEZE JAKO JSOU UVEDENY ZDE V PRIKAZE DIMENSION

POKUD SE POUZIJI JINE MEZE V HLAVNIM PROGRAMU

MUSI SE OPRAVIT MEZE POLE YY V TENTO PODPROGRAMU

A MEZE POLE Y V PODPROGRAMU TISK2

YDOLNI, YHORNI - DOLNI A HORNI MEZ ZAVISLE PRONENNE,

JE-LI LX ZAPORNE  
 JINAK SE DOSAZUJI HULY  
 NA POLI MET JE UVEDEN TYP CARY PRO JEDNOTLIVE GRAFY  
 V ROZSAHU 1 AZ 10,  
 GRAFY SE SOUSEDNIMI CISLY TEKTRONIX NEROZLISI  
 KE KAZDEMU CISLU LZE PRIRADIT URCITY TEXT, KTERY  
 SE NACHAZI NA KONCI TETO PROGRAMOVE JEDNOTKY  
 POD SYMBOLICKYMI JEMENY CARA 1, CARA 2, ...  
 UZIVETEL JEJ MUZE PODLE POTREBY MENIT  
 POLE PARAM SE NEPOUZIVA  
 XD,XH,DIFX - HRANICE A KROK NEZAVISLE PROMENNE  
 LX, LY - DELKA OSY X A POLOVICNI DELKA OSY Y V CM,  
 JE-LI LX ZAPORNE,  
 POZADUJU SE MEZE NA PARAMETRECH YDOLNI, YHORNI  
 POMOCI PARAMETRU APAR SE VYPISE JEDNA HODNOTA TYPU REAL,  
 POMOCI PARAMETRU IPAR SE VYPISE JEDNA HODNOTA TYPU INTEGER  
 PROSTREDNICTVIM FORMATU, KTERE NASLEDUJU V ZAPETI A NA  
 KONCI PROGRAMOVE JEDNOTKY, SE VOLI POPIS GRAFU

```

100 100 FORMAT('PRUBEH VAHOVE FUNKCE')
100 200 FORMAT('X')
100 300 FORMAT('Y')
100 400 FORMAT('KODY')
100 500 FORMAT('N=')
100 600 FORMAT('POPIS KRIVEK')
100 700 FORMAT('VAH.FUNKCE')
100
100 M=MM
100 IF(M.GT.5)M=5
100 N=NN
100 IF(N.GT.300)N=300
100 IF(LX.LT.0)YD=YDOLNI
100 IF(LX.LT.0)YH=YHORNI
100 IF(LX.LT.0)GO TO 9
100 YD=YY(1,1)
100 YH=YY(1,1)
100 DO 10 I=T,M
100   DO 10 J=1,N
100     IF(YY(I,J).LT.YD)YD=YY(I,J)
100     IF(YY(I,J).GT.YH)YH=YY(I,J)
100 10 CONTINUE
100 9 LX=IAbs(LX)

100 ZAKLADNI VOLANI
100 CALL GRAFOR(1,50000.0,-1.0,LX,LY)
100 IPOLY=10*IFIX(0.2*FLOAT(LX))
100 CALL GRAFOR(3,0.1,0.1,IPOLY,0,&100)

100 VYPOCET MERITEK A MAKRESLENI STUPNIC
100 WRITE(6,1000)
100 1000 FORMAT(1H1,' INFORMACE O GRAFICKEM ZPRAKOVANI UDAJU'//)
100 CALL STUPCE(1,XD,XH,XP,XK,DX,IRX,XDM,XHM,NX,NXD,YY,M,N)
100 CALL STUPCE(2,YD,YH,YP,YK,DY,IRY,YDM,YHM,NY,NYD,YY,M,N)
100 IF(NX.LE.0.OR.NY.LE.0)STOP 111
100 DELKAX=8.5*FLOAT(LX)
100 DELKAY=8.5*FLOAT(LY)
100 DXG=DELKAX/FLOAT(NX)
100 DYG=DELKAY/FLOAT(NY)
100 CALL GRAFOR(4,DXG,DYG,100*NX+1,100*NY+1)
100 NX1=NX+1
100 YTISK=0.05*DELKAY
100 DO 50 I=1,NX1
100   AI=FLOAT(I-1)-0.25

```

```

      X=X+FLOAT(I-1)*DX
      CALL GRAFOR(5,AI*DXG,-YTISK)
      CALL GRAFOR(9,X,FLOAT(NXD),2,0)
CONTINUE
      CALL GRAFOR(7,0.85*DELKAX,-2.0*YTISK,2,0,&200)
      NY1=NY+1
      DO 60 I=1,NY1
         AI=FLOAT(I-1)
         Y=YP+AI*DY
         CALL GRAFOR(5,-0.8*DXG,AI*DYG)
         CALL GRAFOR(9,Y,FLOAT(NYD),2,0)
CONTINUE
      CALL GRAFOR(7,-DXG,0.95*DELKAY,2,0,&300)
      IF(IRX.EQ.0)GO TO 11
      CALL GRAFOR(7,0.0,-2.0*YTISK,2,0,'MERITKO OSY X: ')
      CALL GRAFOR(10,3.0,2.0,IRX,0)
      IF(IRY.EQ.0)GO TO 12
      CALL GRAFOR(7,0.0,-3.0*YTISK,2,0,'MERITKO OSY Y: ')
      CALL GRAFOR(10,3.0,2.0,IRY,0)
      IF(XDM.EQ.0.0.OR.XHM.EQ.0.0) GO TO 13
      XMAX=AMAX1(ABS(XDM),ABS(XHM))
      IF(ABS(XHM-XDM)/XMAX.GT.0.01) GO TO 13
      IRDM=IRAD(XDM)
      DMM=XDM*10.0**(-IRDM)
      CALL GRAFOR(7,0.5*DELKAX,-2.0*YTISK,2,0,
*'POCATECHNI HOD-STUP.X: ')
      CALL GRAFOR(9,DMM,6.0,2,0)
      CALL GRAFOR(8,0.0,0.0,2,0,' E')
      CALL GRAFOR(10,2.0,2.0,IRDM,0)
      IF(YDM.EQ.0.0.OR.YHM.EQ.0.0) GO TO 14
      YMAX=AMAX1(ABS(YDM),ABS(YHM))
      IF(ABS(YHM-YDM)/YMAX.GT.0.01) GO TO 14
      IRDM=IRAD(YDM)
      DMM=YDM*10.0**(-IRDM)
      CALL GRAFOR(7,0.5*DELKAX,-3.0*YTISK,2,0,
*'POCATECHNI HOD-STUP.X: ')
      CALL GRAFOR(9,DMM,6.0,2,0)
      CALL GRAFOR(8,0.0,0.0,2,0,' E')
      CALL GRAFOR(10,2.0,2.0,IRDM,0)
      CALL GRAFOR(5,0.0,0.0)

1400 C
14100 C      KRESLENI GRAFU
14200 C      UX,UY = MERITITKO = MH/JEDN.
14300 C      UX=DELKAX/(XHM-XDM)
14400 C      UY=DELKAY/(YHM-YDM)
14500 C      DO 210 I=1,M
14600 C          IC(I)=MET(I)
14700 C      CONTINUE
14800 C      IC(1)=1
14900 C      IC(2)=2
15000 C      IC(3)=4
15100 C      IC(4)=6
15200 C      IC(5)=8
15300 C      DO 110 I=1,M
15400 C          DO 120 J=1,N
15500 C              X=XD+FLCAT(J-1)*DIFX
15600 C              X1(J)=(X-XDM)*UX
15700 C              Y1(J)=(YY(I,J)-YDM)*UY
15800 C      CONTINUE
15900 C      CALL TYPCC(IC(I),DELKAX/Z0,NCARA,DELC)
16000 C      CALL KRIVK(A,N,X1,Y1,NCARA,DELC)
16100 C      WRITE(6,1100)
16200 C      1100 FORMAT(/' NAKRESLEN GRAF C.'//3/)

OVC VS PRAHA

```

```

110 CONTINUE
100 XTP=0.7*DELKAX
100 YTP=0.95*DELKAY
100 XTISK=0.15*DELKAX
100 YTISK=0.05*DELKAY
100 IF(APAR.EQ.0.0)APAR=IC(1)+10*IC(2)+100*IC(3)+  

100 :1000*IC(4)+10000*IC(5)
100 CALL GRAFOR(7,XTP,YTP,2,0,&400)
100 CALL GRAFOR(9,APAR,4.0,2,0)
100 CALL GRAFOR(7,XTP,YTP-YTISK,2,0,&500)
100 CALL GRAFOR(10,2.0,5.0,M,0)
100 CALL GRAFOR(7,XTP,YTP-2.0*YTISK,2,0,&8600)
100 CALL GRAFOR(7,XTP,YTP=3.0*YTISK,2,0,'PARAMETR')
100 CALL GRAFOR(7,XTP+XTISK,YTP=3.0*YTISK,2,0,&8700)
100 DO 150 I=1,M
100   CALL GRAFOR(7,XTP,YTP-FLOAT(I+3)*YTISK,2,0,' ')
100   CALL GRAFOR(9,PARAH(I),4.0,2,0)
100   IV=NET(I)
100   XXTSK=XTP+XTISK
100   YYTSK=YTP-FLOAT(I+3)*YTISK
100   IF(IV.EQ.1) CALL GRAFOR(7,XXTSK,YYTSK,2,0,'JEDNOTKOVA')
100   IF(IV.EQ.2) CALL GRAFOR(7,XXTSK,YYTSK,2,0,'OKR.KOSINUS')
100   IF(IV.EQ.3) CALL GRAFOR(7,XXTSK,YYTSK,2,0,'HANNING')
100   IF(IV.EQ.4) CALL GRAFOR(7,XXTSK,YYTSK,2,0,'HAMMING')
100   IF(IV.EQ.5) CALL GRAFOR(7,XXTSK,YYTSK,2,0,'VASILE')
100   IF(IV.EQ.6) CALL GRAFOR(7,XXTSK,YYTSK,2,0,'PARZEN')
100   IF(IV.EQ.7) CALL GRAFOR(7,XXTSK,YYTSK,2,0,'KAISER')
150 CONTINUE
100 CALL GRAFOR(2)
100 WRITE(6,1200)
1200 FORMAT ('/' ZPRACOVANI GRAFICKYCH UDAJU UKONCENO'//)
100 RETURN
100 END

```

```

100 C      VYROBCTY KODEKLAICH FUNKCI
100 C      DIMENSION X(2100),Y(4100),AXY(513),
100 C      :ITY(20),ITY(20),A(10),IKRIV(10),PARAU(10),
100 C      :ITVF(10),ABES(10),
100 C      :GR(5,200),
100 C      :TX1(10),TX2(10),TU1(10),TU2(10),TBES(10),
100 C      :IT(5),T1(5),T2(5),T3(5),T4(5),T5(5),T6(5),T7(5)
100 C      LOGICAL ZPRACTX
100 C      DATA
100 C      :TX1(1),TX2(1)/4HJEDN,4HOT/,TU1(1),TU2(1)/4H   ,4H  //
100 C      :TX1(2),TX2(2)/4HCOSI,4HN/,TU1(2),TU2(2)/4H   ,4H  //
100 C      :TX1(3),TX2(3)/4HHANN,4HING/,TU1(3),TU2(3)/4H   ,4H  //
100 C      :TX1(4),TX2(4)/4HHANM,4HING/,TU1(4),TU2(4)/4H   ,4H  //
100 C      :TX1(5),TX2(5)/4HVASI,4HLE/,TU1(5),TU2(5)/4H   ,4H  //
100 C      :TX1(6),TX2(6)/4HPARZ,4HEN/,TU1(6),TU2(6)/4H   ,4H  //
100 C      :TX1(7),TX2(7)/4HKAIS,4HER/,TU1(7),TU2(7)/4H   ,4H  //
100 C
100 C
100 C      PI=3.14159
100 C      CALL OPENAP(6,ICH)
100 C      IF(ICH.NE.0)WRITE(1,029)ICH
100 C      FORMAT('OPNEAP S CHYBOU',I2)
100 C      999 READ(5,210)ITVF
100 C      READ(5,110)ABES
100 C      READ(5,320)ITY
100 C      READ(5,302)NPOCX,PARY
100 C      ZPRACTX=.FALSE.
100 C      IF(NPOCX.LT.0)ZPRACTX=.TRUE.
100 C      IF(NPOCX.LT.0)NPOCX=IABS(NPOCX)
100 C      READ(5,303)IMERX,TX,ARX
100 C      READ(5,103)FPX,FKX,DFX
100 C      NROZ=IFIX(ARX+0.1)
100 C      NCEL=1024*NROZ
100 C      IF(NCEL.GT.4100)NCEL=4100
100 C      DO 420 I=1,NCEL
100 C          X(I)=0.0
100 C          Y(I)=0.0
100 C      420 CONTINUE
100 C      K=0
100 C      DO 10 I=1,NPOCX
100 C          READ(5,110)A
100 C          KDT=1
100 C          CALL KONEC(KDT,A)
100 C          IF(KDT.LE.0)GO TO 1
100 C          DO 10 J=1,10
100 C              IF(A(J).LE.1.0E-30)GO TO 10
100 C              K=K+1
100 C              IF(K.GT.1024)GOTO 10
100 C              X(K)=A(J)
100 C      10 CONTINUE
100 C      NX=K
100 C      READ(5,320)ITY
100 C      READ(5,302)NPOCY,PARY
100 C      READ(5,303)IMERY,TY,STRY
100 C      READ(5,103)FPY,FKY,DFY
100 C      K=0
100 C      DO 20 I=1,NPOCY
100 C          READ(5,110,END=2)A
100 C          DO 20 J=1,10
100 C              IF(A(J).LE.1.0E-30)GO TO 20
100 C              K=K+1
100 C              IF(K.GT.1024)GOTO 20

```

```

Y(K)=A(J)
CONTINUE
FORMAT(3F0.0)
FORMAT(10F0.0)
FORMAT(10I0)
FORMAT(10,F0.0)
FORMAT(10,2F0.0)
FORMAT(20A4)
NY=K
IF(NX.LE.0)CALL CHYBA(1,NX,0)
IF(NY.LE.0)CALL CHYBA(2,0,NY)
IF(NX.LE.0.AND.NY.LE.0)CALL CHYBA(3,NX,NY)
NX=NX
IF(N.GT.NY)N=NY
IF(N.GT.1024)N=1024
XST=0.0
YST=0.0
DO 30 I=1,N
  XST=XST+X(I)
  YST=YST+Y(I)
CONTINUE
XST=XST/FLOAT(N)
YST=YST/FLOAT(N)
XKV=0.0
YKV=0.0
DO 40 I=1,N
  X(I)=X(I)-XST
  FORMAT(1P2E12.3)
  IF(ABS(X(I)).GT.1.0E30)X(I)=0.0
  XKV=XKV+X(I)*X(I)
  Y(I)=Y(I)-YST
  YKV=YKV+Y(I)*Y(I)
CONTINUE
XSTD=SQRT(XKV/FLOAT(N-1))
YSTD=SQRT(YKV/FLOAT(N-1))
WRITE(6,1000)ITX,ITY,NX,NY,TX,TY,PAX,PARY
1000 FORMAT(1H1,'VYPOCET-KORELACNICH FUNKCI'//
:20A4//20A4//)
:1X,'POCET VSTUPNICH MERENI',217//,
:1X,'VZORKOVACI INTERVAL VSTUPU A VYSTUPU',2F12.6//,
:1X,'PARAMETR VSTUPU A VYSTUPU',2F12.6//)
IF(.NOT.ZPRACX)GOTO 8
WRITE(6,1100)
1100 FORMAT(1H1,'VZORKY VSTUPU A VYSTUPU'//,
:1X,5('POR.C.',7X,'VSTUP',6X,'VYSTUP'))/
NS=5
NR=N/NS+1
DO 50 I=1,MR
  DO 60 J=1,NS
    K=I+NR*(J-1)
    IT(J)=K
    T1(J)=X(K),
    T2(J)=Y(K)
CONTINUE
  WRITE(6,1200)(IT(J),T1(J),T2(J),J=1,NS)
1200 FORMAT(1X,5(I6,2F12.3))
50 CONTINUE
  WRITE(6,1300)XSTD,YSTD
1300 FORMAT(1X,'STANDARDNI ODCHYLKA VSTUPU',E12.3//,
:1X,'STANDARDNI ODCHYLKA VYSTUPU',E12.3//)
8 NN=1
K=1
DO 230 I=1,13

```

```

      K=K+2
      IF(K.LE.NCEL)NPK
CONTINUE
      NCEL=NN
      FPRI=1.0/(FLOAT(NCEL)*TX)
      NC1=IFIX(FDX/FPRI)
      NG2=IFIX(FKX/FPRI)
      IF(NG1.LT.1)NG1=1
      IF(NG2-NC1.GT.299)NG2=NC1+299
      FPOC=FPRI*FLOAT(NG1)
      FKON=FPRI*FLOAT(NG2)
      NG=NG2-NG1
      NP=N/2
      NP1=NP+1
      IF(ZPRACTX)APAR=APAR+0.1
      APAR=IMERX
      IPAR=IMERY
      NVF=0
      IF(.NOT.ZPRACTX)GOTO 7
      DO 520 I=1,NCEL
         X(I)=Y(I)
CONTINUE
      DO 430 I=1,5
         IF(ITVF(I).GT.0)NVF=NVF+1
CONTINUE
      IF(NVF.GT.5)NVF=5
      IF(NG.GT.300)NG=300
      DO 440 IG=1,NVF
         II=ITVF(IG)
         IF(II.LT.1.OR.II.GT.10)GOTO 440
         IKRIV(IG)=II
         ARGB=ABES(IG)
         TBES(IG)=ARGB
         DO 450 I=1,NCEL
            Y(I)=X(I)+VFCE(II,I,N,ARGB)
CONTINUE
      CALL FFA4(Y,NCEL)
      DO 460 I=1,NP1
         II=2*I
         IR=I-1
         GXY(I)=Y(IR)*Y(IR)*Y(II)*Y(II)
CONTINUE
      DO 470 I=1,NG
         J=NG1+I-1
         IF(J.GT.NP1)J=NP1
         P=ABS(GXY(J))
         GR(IG,I)=-999.0
         IF(P.GT.0.0)GR(IG,I)=10.0*ALOG10(P)
CONTINUE
      DO 440 I=1,NVF
         APAR=ABES(I)
         IPAR=100*IMERX+IMERY
         CALL GRAFY(GR,NVF,NG,0.0,0.0,IKRIV,PARAM,
:FPOC,FKON,FPRI,15,7,APAR,IPAR)
         DO 480 I=1,NVF
            J=ITVF(I)
            TU1(I)=TX1(J)
            TU2(I)=TX2(J)
            TPES(I)=TPES(J)
CONTINUE
      WRITE(6,1800)(TU1(I),TU2(I),I=1,NVF)
1800   FORMAT(1H1,'FREKVENCNI CHARAKTERISTIKY VAHOVYCH FUNKCI'//
:1X,TX,'FREKV.',7(4X,2A4))

```

```

00 WRITE(6,1700)(TBES(I),I=1,NVF)
00 1700 FORMAT(1X,2X,0P7E12.3//)
00 DO 290 I=1,NG
00 FF=FLOAT(NG1+I-1)*FPRI
00 WRITE(6,1900)FF,(GR(J,I),J=1,NVF)
00 1900 FORMAT(1X,0PF9.3,1P7E12.3)
00 CONTINUE
00 STOP 777
00 END
00 C
00 C
00 C
```

```

SUBROUTINE KONEC(K,A)
DIMENSION A(10)
K=1
IF(A(1).LT.0.0.AND.
:A(2).LT.0.0.AND.
:A(3).LT.0.0.AND.
:A(4).LT.0.0.AND.
:A(5).LT.0.0)K=-1
RETURN
END
```

```

C
C
C
SUBROUTINE CHYBA(I,NX,NY)
IF(I.LT.1.OR.I.GT.3)GOTO 11
GO TO (1,2,3),I
1 WRITE(6,1000)NX
1000 FORMAT(//1X,'PRAZDNY SOUBOR NEZAVISLE PROMENNE',I10//)
STOP 111
2 WRITE(6,1100)NY
1100 FORMAT(//1X,'PRAZDNY SOUBOR ZAVISLE PROMENNE',I10//)
STOP 111
3 WRITE(6,1200)NX,NY
1200 FORMAT(///1X,'PRAZDNY SOUBOR NEZAVISLE I ZAVISLE PROMENNE',
:2I10//)
STOP 111
11 RETURN
END
```

```

C
C
C
REAL FUNCTION VFCE(IT,I,N,AB)
ZFCE(A,B,C,X)=A+2.0*B*COS(X)+2.0*C*COS(2.0*X)
VFCE=0.0
PI=3.14159
AI=FLOAT(I)
AN=FLOAT(N)
N2=N/2
AN2=FLOAT(N2)
J=I-N2
AJ=FLOAT(J)
GO TO (1,2,3,4,5,6,7),IT
1 VFCE=1.0
RETURN
2 IP=N/10
IK=9*IP
IF(I.GE.IP.AND.I.LE.IK)VFCE=1.0
IF(I.LT.IP)VFCE=0.5*(1.0-COS(10.0*PI*AI/AN))
IF(I.GT.IK)VFCE=0.5*(1.0-COS(10.0*PI*FLOAT(N-I)/AN))
RETURN
```

```

25300 3 ARG=2.0*PI*AJ/AN
25400 VFCE=ZFCE(0.5,0.25,0.0,ARG)
25500 RETURN
25600 4 ARG=2.0*PI*AJ/AN
25700 VFCE=ZFCE(0.54,0.23,0.0,ARG)
25800 RETURN
25900 5 ARG=2.0*PI*AJ/AN
26000 VFCE=ZFCE(0.42,0.25,0.04,ARG)
26100 RETURN
26200 6 IP=0.25+N
26300 IK=0.75*N
26400 IF(I.LT.IP.OR.I.GT.IK)VFCF=2.0*(1.0-ABS(AJ)/AN2)**3
26500 IF(I.GE.IP.OR.I.LE.IK)
26600 : VFCE=1.0-6.0*(AJ/AN2)**2+6.0*(ABS(AJ)/AN2)**3
26700 RETURN
26800 7 ARG=(AJ/AN2)**2
26900 P=ARG
27000 ANOR=BESIO(AB)
27100 IF(ABS(ANOR).LT.1.0E-50)ANOR=1.0
27200 IF(P.LT.1.0)VFCF=BESIO(AB*SQRT(1.0-ARG))/ANOR
27300 RETURN
27400 END
27500 C
27600 C
27700 C

17800 FUNCTION BESIK(X)
17900 LOGICAL L,E
18000 ENTRY EBESIO(X)
18100 E=.TRUE.
18200 GO TO 1
18300 ENTRY BESIO(X)
18400 E=.FALSE.
18500 1 L=.TRUE.
18600 V=ABS(X)
18700 IF(V.GE.8.0) GO TO 4
18800 8 F=0.0625*X**2-2.0
18900 A = 0.00000 00000 00002
19000 B = F * A + 0.00000 00000 00120
19100 A = F * B - A + 0.00000 00000 06097
19200 B = F * A - B + 0.00000 00002 68828
19300 A = F * B - A + 0.00000 00101 69727
19400 B = F * A - E + 0.00000 03260 91051
19500 A = F * B - A + 0.00000 87383 15497
19600 B = F * A - P + 0.00019 24693 59688
19700 A = F * B - A + 0.00341 62317 66012
19800 B = F * A - B + 0.04771 87487 28174
19900 A = F * B - A + 0.50949 32654 32983
20000 B = F * A - E + 4.01167 37601 79349
20100 A = F * B - A + 22.27481 92424 62231
20200 B = F * A - B + 32.48903 27440 24.00
20300 A = F * B - A + 100.49432 01727 42844
20400 A = F * A - B + 255.46687 26243 62167
20500 BESIK=0.5*(A-B)
20600 IF(L .AND. E) BESIK=EXP(-V)+BESIK
20700 IF(L) RETURN
20800 A = 0.00000 00000 00003
20900 B = F * A + 0.00000 00000 00159
21000 A = F * B - A + 0.00000 00000 07658
21100 B = F * A - B + 0.00000 00003 10583
21200 A = F * B - A + 0.00000 00112 81.11
21300 B = F * A - P + 0.00000 03351 95256
21400 A = F * B - A + 0.00000 82160 25240
21500 B = F * A - B + 0.00016 27083 76043

```

```

A = F * B - A + 0.00253 63081 88086
B = F * A - B + 0.03008 07224 20512
A = F * B - A + 0.5908 44324 34900
B = F * A - B + 1.51153 56760 29228
A = F * B - A + 5.28363 28668 73920
B = F * A - B + 8.00536 88687 00334
A = F * B - A - 4.56343 35864 48395
A = F * A - B - 21.05766 01774 02440
BESIK=-ALOG(0.125*X)*BESIK+0.5*(A-B)
IF(E) BESIK=EXP(X)*BESIK
RETURN
4 F=32.0/V-2.0
B = F * B - 0.00000 00000 00001
A = F * A - B - 0.00000 00000 00001
B = F * A - B + 0.00000 00000 00004
A = F * B - A + 0.00000 00000 00010
B = F * A - B - 0.00000 00000 00024
A = F * B - A - 0.00000 00000 00104
S = F * A - B + 0.00000 00000 00039
A = F * B - A + 0.00000 00000 00966
B = F * A - B + 0.00000 00000 01800
A = F * B - A - 0.00000 00000 04497
B = F * A - B - 0.00000 00000 33127
A = F * B - A - 0.00000 00000 78957
B = F * A - B + 0.00000 00000 29802
A = F * B - A + 0.00000 00012 38425
B = F * A - B + 0.00000 00085 13091
A = F * B - A + 0.00000 00568 16966
B = F * A - B + 0.00000 -05135 87727
A = F * B - A + 0.00000 72475 91100
B = F * A - B + 0.00017 27006 30778
A = F * B - A + 0.00844 51226 24921
A = F * A - B + 2.01655 84109 17480
BESIK=0.199471140200717*(A-B)/SQRT(V)
IF(E) RETURN
BESIK=EXP(V)*BESIK
RETURN
ENTRY EBESI1(X)
E=.TRUE.
GO TO 2
ENTRY BESI1(X)
E=.FALSE.
2 L=.TRUE.
V=ABS(X)
IF(V .GE. 0.0) GO TO 3
7 F=0.0625*X**2-2.0
A = F + 0.00000 00000 00001
B = F * A + 0.00000 00000 00031
A = F * B - A + 0.00000 00000 01679
B = F * A - B + 0.00000 00000 79291
A = F * B - A + 0.00000 00032 27617
B = F * A - B + 0.00000 01119 46285
A = F * B - A + 0.00000 32641 38122
A = F * B - A + 0.00007 87567 85754
B = F * A - B + 0.00154 30190 15627
A = F * B - A + 0.02399 30791 47841
B = F * A - B + 0.28785 55118 04672
A = F * B - A + 0.57145 99065 47755
D = F * A - B + 16.33455 05525 22066
A = F * B - A + 69.39591 76337 34448
B = F * A - B + 181.31261 60405 70265
A = F * B - A + 259.39023 78064 77292
BESIK=0.0625*(A-B)**X

```

```

1700      IF(L .AND. E) BESIK=EXP(-V)*BESIK
1800      IF(L) RETURN
1900      A =          + 0.00000 00000 00001
2000      B = F * A   + 0.00000 00000 00042
2100      A = F * B - A + 0.00000 00000 02163
2200      B = F * A - B + 0.00000 00000 96660
2300      A = F * B - A + 0.00000 00036 96783
2400      B = F * A - B + 0.00000 01103 67971
2500      A = F * B - A + 0.00000 32025 10692
2600      B = F * A - B + 0.00007 00106 27855
2700      A = F * B - A + 0.00121 70569 94516
2800      B = F * A - B + 0.01630 00492 89816
2900      A = F * B - A + 0.16107 43016 56148
3000      B = F * A - B + 1.10146 19930 04852
3100      A = F * B - A + 4.66638 70268 62842
3200      B = F * A - B + 9.36161 70313 95389
3300      A = F * B - A - 1.83923 92242 86199
3400      A = F * A - B - 26.68809 54808 62668
3500      BESIK=ALOG(0.125*X)*BESIK+1.0/X-0.0625*(A-B)*X
3600      IF(E) BESIK=EXP(X)*BESIK
3700      RETURN

```

3 F=32.0/V-2.0

```

3800      B =          + 0.00000 00000 00001
3900      A = F * B   + 0.00000 00000 00001
4000      B = F * A - B - 0.00000 00000 00005
4100      A = F * B - A - 0.00000 00000 00010
4200      B = F * A - B + 0.00000 00000 00026
4300      A = F * B - A + 0.00000 00000 00107
4400      B = F * A - B - 0.00000 00000 00053
4500      A = F * B - A - 0.00000 00000 01024
4600      B = F * A - B - 0.00000 00000 01804
4700      A = F * B - A + 0.00000 00000 05103
4800      B = F * A - B + 0.00000 00000 35408
4900      A = F * B - A + 0.00000 00000 81531
5000      B = F * A - B - 0.00000 00000 47563
5100      A = F * B - A - 0.00000 00014 01141
5200      B = F * A - B - 0.00000 00026 13873
5300      A = F * B - A - 0.00000 00659 61142
5400      B = F * A - B - 0.00000 06227 24222
5500      A = F * B - A - 0.00000 97321 46728
5600      P = F * A - B - 0.00027 72053 60764
5700      A = F * B - A - 0.02446 74429 63276
5800      A = F * A - B + 1.25160 12046 52572
5900      BESIK=0.199471140200717*(A-B)/SORT(V)
6000      IF(X .LT. 0.0) BESIK=-BESIK
6100      IF(E) RETURN
6200      BESIK=EXP(V)*BESIK
6300      RETURN
6400      ENTRY EBESK0(X)
6500      E=.TRUE.
6600      GO TO 11
6700      ENTRY BESK0(X)
6800      E=.FALSE.
6900      11 IF(X .LE. 0.0) GO TO 9
7000      L=.FALSE.
7100      V=X
7200      IF(X .LT. 5.0) GO TO 8
7300      F=20.0/X-2.0
7400      A =          - 0.00000 00000 00002
7500      B = F * A   + 0.00000 00000 00011
7600      A = F * B - A - 0.00000 00000 00079
7700      B = F * A - B + 0.00000 00000 00581
7800      A = F * B - A - 0.00000 00000 04580

```

```

B = F * A - B + 0.00000 00000 59044
A = F * B - A - 0.00000 00003 64547
B = F * A - B + 0.00000 00037 92996
A = F * B - A - 0.00000 00450 47338
B = F * A - B + 0.00000 06325 75109
A = F * B - A - 0.00001 11066 85197
B = F * A - B + 0.00026 95326 12763
A = F * B - A - 0.01131 05046 46928
A = F * A - B + 1.97681 63484 61652
BESIK=0.626657068657750*(A-B)/SQRT(X)
IF(E) RETURN
Z=BESIK
BESIK=0.
IF(X.LT.180.) BESIK=EXP(-X)*Z
RETURN
ENTRY EBESK1(X)
E=.TRUE.
GO TO 12
ENTRY BESK1(X)
E=.FALSE.
12 IF(X .LE. 0.0) GO TO 9
L=.FALSE.
V=X
IF(X .LT. 5.0) GO TO 7
F=20.0/X-2.0
A = + 0.00000 00000 00002
B = F * A - 0.00000 00000 00013
A = F * B - A + 0.00000 00000 00089
B = F * A - B - 0.00000 00000 00663
A = F * B - A + 0.00000 00000 05288
S * F * A - B - 0.00000 00000 45757
A = F * B - A + 0.00000 00004 35417
B = F * A - B - 0.00000 00046 45555
A = F * B - A + 0.00000 00571 32218
B = F * A - B - 0.00000 08451 72048
A = F * B - A + 0.00001 61850 63810
B = F * A - B - 0.00046 84750 28167
A = F * B - A + 0.03546 52912 43331
A = F * A - B + 2.07190 17175 44716
BESIK=0.626657068657750*(A-B)/SQRT(X)
IF(E) RETURN
Z=BESIK
BESIK=0.
IF(X.LT.180.) BESIK=EXP(-X)*Z
RETURN
9 BESIK=0.
PRINT 100,X
100 FORMAT(1X,36HBESIK ... NON-POSITIVE ARGUMENT X = ,E15.4)
RETURN
END

```

```

SUBROUTINE GRAFY(YY,MM,NN,YDOLNI,YHORNI,MET,PARAM,XD,XH,DIFX,
*LX,LY,APAR,IPAR)
DIMENSION YY(5,300),IC(10),PARAM(10),Y1(300),X1(300),
*DELC(10),MET(10)
POUZIVA PODPROGRAMU STUPCE,IRAD,IRAD3,TISK1,TISK2,POZN,
KRIKVA,PRUS,TYPC
YY - POLE TABELOVANYCH HODNOT V POCTU MM X NN
MM, NN MEZE POLE YY

```

VE VOLAJICI PROGRAMOVE JEDNOTCE JIHOE MIT POUZUROZMERNE  
YY TYTEZ MEZE JAKO JSCU UVEDENY ZDE V DRIKAZE DIMENSION  
POKUD SE POUZIJI JINE MEZE V HLAVNIH PROGRAMU  
MUSI SE OPRAVIT MEZE POLE YY V TOMTO PODPROGRAMU  
A MEZE POLE Y V PODPROGRAMU TISK2  
YDOLNI, YHORNI - DOLNI A HORNÍ MEZ ZAVISLE PROMENNE.  
JE-LI LX ZAPORNE  
JINAK SE DOSAZUJI NULY  
NA POLI NET JE UVEDEN TYP CARY PRO JEDNOTLIVE GRAFY  
V ROZSAHU 1 AZ 10,  
GRAFY SE SOUSEDNIMI CISLY TEKTRONIX HEROZLISI  
KE KAZDEMU CISLU LZE PRIRADIT URCITY TEXT, KTERY  
SE NACHAZI NA KONCI TETO PROGRAMOVE JEDNOTKY  
POD SYMBOLICKYMI JHENY CARA 1, CARA 2, ...  
UZIVETEL JEJ MUZE PODLE POTREBY MENIT  
POLE PARAM SE NEPOUZIVA  
XD,XH,DIFX - HRANICE A KROK NEZAVISLE PROMENNE  
LX, LY - DELKA OSY X A POLOVICNI DELKA OSY Y V CM.  
JE-LI LX ZAPORNE,  
POZADUJUJ SE MEZE NA PARAMETRECH YDOLNI, YHORNI  
POMOCI PARAMETRU APAR SE VYPISE JEDNA HODNOTA TYPU REAL,  
POMOCI PARAMETRU IPAR SE VYPISE JEDNA HODNOTA TYPU INTEGER  
PROSTREDNICTVIM FORMATU, KTERE NASLEDUJU V ZAPETI A NA  
KONCI PROGRAMOVE JEDNOTKY, SE VOLI POPIS GRAFU

FORMAT('VLIV VAHOVE FUNKCE NA AUTOKORELACI')  
FORMAT('F(HZ)')  
FORMAT('AMPL')  
FORMAT('MERENI X')  
FORMAT('MERENI Y')  
FORMAT('POPIS KRIVEK')  
FORMAT('VAHOVA FUNKCE')  
H=MM  
IF(H.GT.10)H=10  
N=NN  
IF(N.GT.300)N=300  
IF(LX.LT.0)YD=YDOLNI  
IF(LX.LT.0)YH=YHORNI  
IF(LX.LT.0)GO TO 9  
YD=YY(1,1)  
YH=YY(1,1)  
DO 10 I=1,H  
DO 10 J=1,N  
IF(YY(I,J).LT.YD)YD=YY(I,J)  
IF(YY(I,J).GT.YH)YH=YY(I,J)  
CONTINUE  
LX=IABS(LX)  
  
ZAKLADNI VOLANI  
CALL GRAFOR(1,50000.0,-1.0,LX,LY)  
IPOLY=10\*IFIX(0.2\*FLOAT(LX))  
CALL GRAFOR(2,0.1,0.1,IPOLY,0,2100)  
  
VYPOCET MERITEK A NAKRESLENI STUPNIC  
WRITE(6,1000)  
FORMAT(1H1,' INFORMACE O GRAFICKEM ZPRACOVANI UDAJU')  
CALL STUPCE(1,XD,XH,XP,XK,DX,IRX,XDM,XHM,NX,NXD,YY,H,H)  
CALL STUPCE(2,YD,YH,YP,YK,DY,IRY,YDM,YHM,NY,NYD,YY,H,N)  
IF(NX.LE.0.OR.NY.LE.0)STOP 111  
DELKAX=2.5\*FLOAT(LX)  
DELKAY=3.5\*FLOAT(LY)  
DXG=DELKAY/FLOAT(NX)

```

000 DYG=DELKAY/FLOAT(NY)
000 CALL GRAFOR(4,DYG,DYG,100*NX+1,100*NY+1)
000 NX1=NX+1
000 YTISK=0.05*DELKAY
000 DO 50 I=1,NX1
000   AI=FLOAT(I-1)-0.25
000   X=XP+FLOAT(I-1)*DX
000   CALL GRAFOR(5,AI*DXG,-YTISK)
000   CALL GRAFOR(9,X,FLOAT(NXD),2.0)
000 CONTINUE
000 CALL GRAFOR(7,0.85*DELKAX,-2.0*YTISK,2.0,8200)
000 NY1=NY+1
000 DO 60 I=1,NY1
000   AI=FLOAT(I-1)
000   Y=YP+AI*DY
000   CALL GRAFOR(5,-0.8*DXG,AI*DYG)
000   CALL GRAFOR(9,Y,FLOAT(NYD),2.0)
000 CONTINUE
000 CALL GRAFOR(7,-DXG,0.95*DELKAY,2.0,8300)
000 IF(IRX.EQ.0) GO TO 11
000 CALL GRAFOR(7,0.0,-2.0*YTISK,2.0,'MERITKO OSY X: ')
000 CALL GRAFOR(10,3.0,2.0,IRX,0)
000 IF(IRY.EQ.0) GO TO 12
000 CALL GRAFOR(7,0.0,-3.0*YTISK,2.0,'MERITKO OSY Y: ')
000 CALL GRAFOR(10,3.0,2.0,IRY,0)
000 IF(XDM.EQ.0.0.OR.XHM.EQ.0.0) GO TO 13
000 XMAX=AMAX1(ABS(XDM),ABS(XHM))
000 IF(ABS(XHM-XDM)/XMAX.GT.0.01) GO TO 13
000 IRDM=IRAD(XDM)
000 DMM=XDM*10.0**(-IRDM)
000 CALL GRAFOR(7,0.5*DELKAX,-2.0*YTISK,2.0,
000 *'POCATECNI HOD-STUP.X: ')
000 CALL GRAFOR(9,DMM,6.0,2.0)
000 CALL GRAFOR(8,0.0,0.0,2.0,' E')
000 CALL GRAFOR(10,2.0,2.0,IRDM,0)
000 IF(YDM.EQ.0.0.OR.YHM.EQ.0.0) GO TO 14
000 YMAX=AMAX1(ABS(YDM),ABS(YHM))
000 IF(ABS(YHM-YDM)/YMAX.GT.0.01) GO TO 14
000 IRDM=IRAD(YDM)
000 DMM=YDM*10.0**(-IRDM)
000 CALL GRAFOR(7,0.5*DELKAX,-3.0*YTISK,2.0,
000 *'POCATECNI HOD-STUP.X: ')
000 CALL GRAFOR(9,DMM,6.0,2.0)
000 CALL GRAFOR(8,0.0,0.0,2.0,' E')
000 CALL GRAFOR(10,2.0,2.0,IRDM,0)
000 CALL GRAFOR(5,0.0,0.0)

00 C
00 C     KRESLENI GRAFU
00 C     UX,UY - MERTITKO = MH/JEDN.
00 C     UX=DELKAX/(XHM-XDM)
00 C     UY=DELKAY/(YHM-YDM)
00 DO 210 I=1,M
00   IC(I)=MET(I)
00 210 CONTINUE
00 DO 110 I=1,M
00   DO 120 J=1,N
00     X=XD+FLOAT(J-1)*DIFX
00     X1(J)=(X-XDM)*UX
00     Y1(J)=(YY(I,J)-YDM)*UY
00 120 CONTINUE
00 CALL TYP(C(IC(I)),DELKAX/30,MCARA,DELC)
00 CALL KRIVK(A(N,X1,Y1,MCARA,DELC)
00 WRITE(6,1100) I

```

```

3100 1100 FORMAT('! NAKRESLEN GRAF.C.',13/)
3200 110 CONTINUE
3300 XTP=0.7*DELKAX
3400 YTP=0.95*DELKAY
3500 XTISK=0.15*DELKAX
3600 YTISK=0.05*DELKAY
3700 CALL GRAFOR(7,XTP,YTP,2.0,8400)
3800 CALL GRAFOR(7,APAR,4.0,2,0)
3900 CALL GRAFOR(7,XTP,YTP-YTISK,2.0,8500)
4000 CALL GRAFOR(10,2.0,5.0,IPAR,0)
4100 CALL GRAFOR(7,XTP,YTP-2.0*YTISK,2.0,8600)
4200 CALL GRAFOR(7,XTP,YTP-3.0*YTISK,2.0,'CARA')
4300 CALL GRAFOR(7,XTP+XTISK,YTP-3.0*YTISK,2.0,8700)
4400 DO 150 I=1,M
4500 CALL GRAFOR(7,XTP,YTP-FLOAT(I+3)*YTISK,2.0,' ')
4600 CALL GRAFOR(10,2.0,2.0,I,0)
4700 IV=MET(I)
4800 XXTSK=XTP+XTISK
4900 YYTSK=YTP-FLOAT(I+3)*YTISK
5000 IF(IV.EQ.1) CALL GRAFOR(7,XXTSK,YYTSK,2.0,'JEDNOTKOVA')
5100 IF(IV.EQ.2) CALL GRAFOR(7,XXTSK,YYTSK,2.0,'OKR.KOSINUS')
5200 IF(IV.EQ.3) CALL GRAFOR(7,XXTSK,YYTSK,2.0,'HANNING')
5300 IF(IV.EQ.4) CALL GRAFOR(7,XXTSK,YYTSK,2.0,'HAMMING')
5400 IF(IV.EQ.5) CALL GRAFOR(7,XXTSK,YYTSK,2.0,'VASILE')
5500 IF(IV.EQ.6) CALL GRAFOR(7,XXTSK,YYTSK,2.0,'PAZEM')
5600 IF(IV.EQ.7) CALL GRAFOR(7,XXTSK,YYTSK,2.0,'KAISER')
5700 150 CONTINUE
5800 CALL GRAFOR(2)
5900 WRITE(6,1200)
6000 1200 FORMAT('! ZPRACOVANI GRAFICKYCH UDAJU UKONCENO'//)
6100 RETURN
6200 END

```



```

JL=JL+1
IF(JL.GT.100)GO TO 12
LMAX(I,JL)=J
YMAX(I,JL)=YB(I,J)
CONTINUE
NLMAX(I)=JL
CONTINUE
KNK=0
DO 220 I=1,NK
N=NLMAX(I)
AMABS=-ANEK
DO 230 J=1,N
IF(AMABS.LT.-YMAX(I,J))AMABS=YMAX(I,J)
CONTINUE
AMUVA=AMABS-ABSM
JL=C
DO 250 J=1,N
IF(YMAX(I,J).LE.-AMUVA)GOTO 250
IF(JL.GT.20)GOTO 250
JL=JL+1
YMAX(I,JL)=YMAX(I,J)
LMAX(I,JL)=LMAX(I,J)
CONTINUE
IF(JL.LE.0)WRITE(6,1300)MER(I)
1300 FORMAT(//1X,'NAHRADNI OBVOD PRUZINY PPT MERENI',15,2X,
'NEOBSAHUJE ANI JEDEN PRVEK'//)
IF(JL.LE.0)GOTO 220
KNK=KNK+1
IF(JL.GT.20)JL=20
NLMAX(KNK)=JL
CONTINUE
IF(KNK.LE.0)STOP 111
NK=KNK
DO 50 I=1,NK
N=NLMAX(I)
NN=NB(I)
FPRI=(XB(I,NN)-XB(I,1))/FLOAT(NN-1)
DO 60 J=1,N
R(I,J)=0.0
C(I,J)=0.0
K=LMAX(I,J)
FO=XB(I,K)
FR(I,J)=FO
DO=10.0***(YB(I,K)/10.0)
KM1=K-1
PM1=10.0***(YB(I,KM1)/10.0)
PR=PO/PM1
IF(PR.LE.1.0)GOTO 60
R(I,J)=FPRI*FPRI/(PR-1.0)
C(I,J)=PO*R(I,J)
CONTINUE
CONTINUE
FP=1000.0
FK=0.0
DO 70 I=1,NK
J=NB(I)
IF(FP.GT.XB(I,1))FP=XB(I,1)
IF(FK.LT.XB(I,J))FK=XB(I,J)
CONTINUE
DF=(FK-FP)/300.0
DO 120 I=1,NK
NSP=300/XP(I)

```

TE1:DANCA - PROLOZ(F0000 0/0)

```
5100      NGR=NG(I)+NSR
5200      IF(NGR.LT.10)NGR=10
5300      IF(NGR.GT.300)NGR=300
5400      DF=(FK-FP)/FLOAT(NGR-1)
5500      N=LMAX(I)
5600      DO 130 J=1,NGR
5700          F=FP+DF*FLOAT(J-1)
5800          DF=0.0
5900      DO 140 K=1,N
6000          AJ=R(I,K)+(F-FR(I,K))**2
6100          IF(CARS(AJ).LT.ANULA)GOTO 140
6200          PFP=CF(I,K)/AJ
6300      CONTINUE
6400      PFA=ABS(PF)
6500      IF(PFA.LT.ANULA)GR(I,J)=-100.0
6600      IF(PFA.GE.ANULA)GR(I,J)=10.0*ALOG10(PFA)
6700 140    CONTINUE
6800      DO 150 J=1,N
6900          PMAX(I,J)=YMAX(I,J)
7000          IMAX(I,J)=1
7100 150    CONTINUE
7200      DO 160 J=1,N
7300          AM=-ANEK
7400          IM=0
7500      DO 170 K=1,N
7600          PM=PMAX(I,K)
7700          IF(AM.LE.PM)IM=K
7800          IF(AM.LE.PM)AM=PM
7900 170    CONTINUE
8000      IF(IM.LE.0)GO TO 160
8100          IMAX(I,J)=IM
8200          PMAX(I,IM)=-2.0*ANEK
8300 160    CONTINUE
8400      WRITE(6,1100)MER(I)
8500 1100    FORMAT(1H1,'MEBENI',13/)
8600      WRITE(6,1000)RELM,ADSM
8700 1000    FORMAT(//1X,'MATematicky popis prenosove funkce pruziny'//
8800 :     1X,'ODSTUP LOKALNI',F10.3,' DB'/
8900 :     1X,'ODSTUP ABSOL.',F10.3,' DB'//
9000 :     1X,'LOKALNI EXTREMY',20X,'KOEFICIENTY POPISU'//'
9100 :     1X,5X,'PC',11X,'F',10X,'PF',6X,2X,'PC',10X,'FR',11X,'A',
9200 :     11X,'R')/
9300      DO 270 J=1,N
9400          KK=IMAX(I,J)
9500          JJ=LMAX(I,KK)
9600          X=XB(I,JJ)
9700          Y=YB(I,JJ)
9800          WRITE(6,1200)J,X,Y,J,FR(I,J),CF(I,J),RK(I,J)
9900 1200    FORMAT(1X,I5,0P2E12.3,6X,I5,F12.3,1P2E12.3/)
1000 270    CONTINUE
1010 120    CONTINUE
1020 280    DO 280 I=1,NK
1030          NET(I)=2*I-1
1040          PARAM(I)=MER(I)
1050 280    CONTINUE
1060      CALL GRAFY(NK,NK,NGR,XB,YB,DP,
1070      :0.0,0.0,NET,PARAM,FP,FK,DF,
1080      :15,7,ANABE,N)
1090      STOP 777
1100 290    END
```

C  
S

```
SUBROUTINE GRAFY(YY,MM,NN,XB,YB,NBD,
:YDOLNI,YHORNI,MET,PARAM,XD,XH,DIFX,
*LX,LY,APAR,IPAR)
DIMENSION YY(5,300),IC(10),PARAM(10),Y1(300),X1(300),
:XB(5,300),YB(5,300),NBD(10),
*DELC(10),MET(10)
```

POUZIVA PODPROGRAMU STUPCE,IRAD,IRAD3,TISK1,TISK2,POZN,  
KRIVKA,PRUS,TPYC

YY - POLE TABELOVANYCH HODNOT V POCTU MM X NN  
MM, NN HEZE POLE YY

VE VOLAJICI PROGRAMOVE JEDNOTCE MUSI MIT DVOUROZMERNE  
YY TYTEZ MEZE JAKO JSOU UVEDENY ZDE V PRIKAZE DIMENSION  
POKUD SE POUZIJI JINE MEZE V HLAVNIM PROGRAMU  
MUSI SE OPRAVIT MEZE POLE YY V TOMTO PODPROGRAMU

A MEZE POLE Y V PODPROGRAMU TISK2

XB - X-OVE SOURADNICE EXPERIMENTALNICH BODU  
JEDNOTLIVYCH KRIVEK

YB - Y-OVE SOURADNICE EXPERIMENTYLNICH BODU  
JEDNOTLIVYCH KRIVEK

NDB - POCTY EXPERIMENTALNICH BODU PRO JEDNOTLIVE KRIVKY  
... MEZE POLI XB, YB MUSI BYT STEJNE V TOMTO PODPROGRAMU

A VE VOLAJICI PROGRAMOVE JEDNOTCE  
PRVNI ROZNER TECHTO POLI BY MEL SOUHLASIT S PRVNIM  
ROZHEREM POLE YY

... NEJSOU-LI EXPERIMENTALNI BODY, DOSAZUJI SE DO POLE  
NBD NULY

YDOLNI, YHORNI - DOLNI A HORNI MEZ ZAVISLE PROMENNE,  
JE-LI LX ZAPORNE

JINAK SE DOSAZUJI NULY

NA POLI MET JE UVEDEN TYP CARY PRO JEDNOTLIVE GRAFY  
V ROZSAHU 1 AZ 10.

GRAFY SE SOUSEDNIMI CISLY TEKTRONIX NEROZLISI  
V POLI PARAM JE UVEDEN PARAMETR PRO CARU NA ODPOVIDAJICIM  
PRVKU POLE MET, TENTO PARAMETR SE VYKRESLI V TABULCE

XD,XH,DIFX - HRANICE A KROK NEZAVISLE PROMENNE  
LX, LY - DELKA OSY X A POLOVICNI DELKA OSY Y V CM,

JE-LI LX ZAPORNE,

POZADUJI SE MEZE NA PARAMETRECH YDOLNI, YHORNI  
POMOCI PARAMETRU APAR SE VYPISE JEDNA HODNOTA TYPU REAL,  
POMOCI PARAMETRU IPAR SE VYPISE JEDNA HODNOTA TYPU INTEGER  
PROSTREDNICTVIM FORMATU, KTERE NASLEDUJI V ZAPETI,  
LZE VOLIT POPIS GRAFU NAHRADOU SYMBOLICKYCH JMEN

FORMAT('PRENOS PRUZINY')

FORMAT('F(HZ)')

FORMAT('P(DB)')

FORMAT('MAX')

FORMAT('NMAX')

FORMAT('POPIS KRIVEK')

FORMAT('MERENI')

M=MM

IF(M.GT.10)M=10

N=NN

IF(N.GT.300)N=300

DO 15 I=1,II

IF(NBD(I).GT.300)NBD(I)=300

CONTINUE

IF(LX.LT.0)YD=YDOLNI

IF(LX.LT.0)YH=YHORNI

IF(LX.LT.0)GO TO ?

1111:DANCA • PROLOZ(FC0000 )/H  
 530 YD=YY(1,1)  
 540 YH=YY(1,1)  
 550 DO 10 I=1,N  
 560 DO 10 J=1,N  
 570 IF(YY(I,J).LT.YD)YD=YY(I,J)  
 580 IF(YY(I,J).GT.YH)YH=YY(I,J)  
 590 10 CONTINUE  
 600 LX=IABS(LX)  
 610 C  
 620 C ZAKLADNI VOLANI  
 630 CALL GRAFOR(1,50000.0,-1.0,LX,LY)  
 640 IPOLY=10\*IIFIX(0.2\*FLOAT(LX))  
 650 CALL GRAFOR(3,0.1,0.1,IPOLY,0,2100)  
 660 C  
 670 C VYPOCET MERITEK A NAKRESLENI STUPNIC  
 680 WRITE(1,1000)  
 690 1000 FORMAT(1H1,' INFORMACE O GRAFICKEM ZPRACOVANI UDAJU')/  
 700 CALL STUPCE(1,XD,XH,XP,XK,DX,IRX,XDM,XHM,NX,NXD,YY,M,N)  
 710 CALL STUPCE(2,YD,YH,YP,YK,DY,IRY,YDM,YHM,NY,NYD,YY,M,N)  
 720 IF(NX.LE.0.OR.NY.LE.0)STOP 111  
 730 DELKAX=3.5\*FLOAT(LX)  
 740 DELKAY=3.5\*FLOAT(LY)  
 750 DXG=DELKAX/FLOAT(NX)  
 760 DYG=DELKAY/FLOAT(NY)  
 770 CALL GRAFOR(4,DXG,DYG,100\*NX+1,100\*NY+1)  
 780 NX1=NX+1  
 790 YTISK=0.05\*DELKAY  
 800 DO 50 I=1,NX1  
 810 AI=FLOAT(I-1)-0.25  
 820 X=XP+FLOAT(I-1)\*DX  
 830 CALL GRAFOR(5,AI\*DXG,-YTISK)  
 840 CALL GRAFOR(9,X,FLOAT(NYD),2,0)  
 850 50 CONTINUE  
 860 CALL GRAFOR(7,0.85\*DELKAX,-2.0\*YTISK,2,0,8200)  
 870 NY1=NY+1  
 880 DO 60 I=1,NY1  
 890 AI=FLOAT(I-1)  
 900 Y=YP+AI\*DY  
 910 CALL GRAFOR(5,-0.8\*DXG,AI\*DYG)  
 920 CALL GRAFOR(9,Y,FLOAT(NYD),2,0)  
 930 60 CONTINUE  
 940 CALL GRAFOR(7,-DXG,0.95\*DELKAY,2,0,8300)  
 950 IF(IRX.EQ.0)GO TO 11  
 960 CALL GRAFOR(7,0.0,-2.0\*YTISK,2,0,'MERITKO OSY X: ')  
 970 CALL GRAFOR(10,3.0,2.0,IRX,0)  
 980 11 IF(IRY.EQ.0)GO TO 12  
 990 CALL GRAFOR(7,0.0,-3.0\*YTISK,2,0,'MERITKO OSY Y: ')  
 1000 CALL GRAFOR(10,3.0,2.0,IRY,0)  
 1010 12 IF(XDN.EQ.0.0.OR.XHM.EQ.0.0) GO TO 13  
 1020 XMAX=AMAX1(ABS(YDH),ABS(XHM))  
 1030 IF(ABS(XHM-XDH)/XMAX.GT.0.01) GO TO 13  
 1040 IRDN=IRAD(XDH)  
 1050 DNM=IRDN\*10.0\*\*(-IRDM)  
 1060 CALL GRAFOR(7,0.5\*DELKAX,-2.0\*YTISK,2,0,  
 \*'POCATECHNI HOD.STUP.X: ')  
 1070 CALL GRAFOR(9,DNM,6.0,2,0)  
 1080 CALL GRAFOR(7,0.0,0.0,2,0,' E')  
 1090 CALL GRAFOR(10,2.0,2.0,IRDH,0)  
 1100 13 IF(YDN.EQ.0.0.OR.YHM.EQ.0.0) GO TO 14  
 1110 YMAX=AMAX1(ABS(YDH),ABS(YHM))  
 1120 IF(ABS(YHM-YDH)/YMAX.GT.0.01) GO TO 14  
 1130 IRDN=IRAD(YDH)  
 1140 DNM=IRDN\*10.0\*\*(-IRDN)

```

CALL GRAFOR(7,0.5*DELKAX,-3.0*YTISK,2,0,
*POCATECNI HOD-STUP.(: ')
CALL GRAFOR(9,DMM,6.0,2,0)
CALL GRAFOR(8,0.0,0.0,2,0,' E')
CALL GRAFOR(10,2.0,2.0,IRDM,0)
CALL GRAFOR(5,0.0,0.0)

14 C
15 C KRESLENI GRAFU
16 UX,UY = MERTITKO = MH/JEDN.
17 UX=DELKAX/(XHM-XDM)
18 UY=DELKAY/(YHM-YDM)
19 DO 210 I=1,M
20 IC(I)=MET(I)
210 CONTINUE
220 DO 110 I=1,M
230 DO 120 J=1,N
24 X=XD+FLOAT(J-1)*DIFX
25 X1(J)=(X-XDM)*UX
26 Y1(J)=(YY(I,J)-YDM)*UY
27 CONTINUE
28 CALL TYPG(IC(I),DELKAX/30,MCARA,DELC)
29 CALL KRIVKAC(N,X1,Y1,MCARA,DELC)
30 WRITE(1,1100)
31 1100 FORMAT(/' NAKRESLEN GRAF G.',I5/)
32 CONTINUE
33 DO 230 I=1,M
34 NI=NBD(I)
35 DO 220 J=1,NI
36 XJ=(XB(I,J)-XDM)*UX
37 YJ=(YB(I,J)-YDM)*UY
38 CALL GRAFOR(5,XJ,YJ)
39 CALL GRAFOR(11,1.0,1.0)
40 220 CONTINUE
41 230 CONTINUE
42 XTP=0.7*DELKAX
43 YTP=0.95*DELKAY
44 XTISK=0.15*DELKAX
45 YTISK=0.05*DELKAY
46 CALL GRAFOR(7,XTP,YTP,2,0,&400)
47 CALL GRAFOR(9,APAR,4.0,2,0)
48 CALL GRAFOR(7,XTP,YTP-YTISK,2,0,&500)
49 CALL GRAFOR(10,2.0,5.0,IPAR,0)
50 CALL GRAFOR(7,XTP,YTP-2.0*YTISK,2,0,&600)
51 CALL GRAFOR(7,XTP,YTP-3.0*YTISK,2,0,'CARA')
52 CALL GRAFOR(7,XTP+XTISK,YTP-3.0*YTISK,2,0,&700)
53 DO 150 I=1,M
54 CALL GRAFOR(7,XTP,YTP-FLOAT(I+3)*YTISK,2,0,' ')
55 CALL GRAFOR(10,2.0,2.0,I,0)
56 CALL GRAFOR(7,XTP+XTISK,YTP-FLOAT(I+3)*YTISK,2,0,' ')
57 CALL GRAFOR(9,PARAM(I),3.0,2,0)
58 150 CONTINUE
59 CALL GRAFOR(2)
60 WRITE(1,1200)
61 1200 FORMAT (/' ZPRACOVANI GRAFICKYCH UDAJU UKONCENO'//)
62 RETURN
63 END

```